

LINISTEAL EDUCAȚIEI SI INVATAMINTULUI
INSTITUTUL POLITEHNIC „TRAIAN VUIA” TIMIȘOARA
FACULTATEA DE MECANICA

Ing. Hartwig Michels

CONTRIBUTII LA STUDIUL SI CERCETAREA ORGANIZARII
MISCARII AERULUI IN TIMPUL ADMISIUNII LA MOTOARELE
CU APRINDERE PRIN COMPRESIUNE CU CAMERA DE ARDERE
UNITARA

VOLUMUL
II.

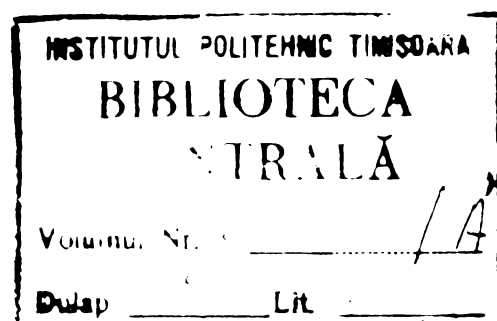
C U P R I N S

1. 158 figuri din textul volumului I.
2. A N E X E
- 2.1. 50 figuri cu oscilograme determinate cu ajutorul modelului dinamic
- 2.2. Programul în limbaj FORTRAN IV pentru calcularea mișcării organizate a aerului în timpul admisiunii

BIBLIOTECA CENTRALĂ
UNIVERSITATEA „POLITEHNICA”
TIMIȘOARA

CONDUCATOR STIINTIFIC
Prof.dr.ing. Vasile Berindean

- 1976 -



L E G E N D A F I G U R I L C RFigura

- 2.1. Canalul de admisiune cu intrare tangențială
- 2.2. Canalul de admisiune cu formă spirală
- 2.3. Supapa de admisiune prevăzută cu paravan /ecran/
- 2.4. Scaunul de supapă de admisiune prevăzut cu un ecran
- 2.5. Canalul de admisiune prevăzut cu o lamelă directoare
- 2.6. Canalul de admisiune prevăzut cu un dispozitiv de direcțare
- 2.7. Curgerea idealizată a aerului printr-un canal de admisiune cu o intrare tangențială
- 2.8. Curgerea aerului printr-un canal de admisiune cu formă spirală
- 2.9. Schema unui motor cu camera de ardere unitară pentru stabilirea cifrei de turbionare a admisiunii
- 2.10. Schema unui motor cu camera de ardere unitară pentru stabilirea cifrei de turbionare relative
- 3.1.1. -a. Curgerea idealizată a unui fluid printr-un canal
b. Modelarea electrică umedă/intr-un vas electrolitic/
-c. Modelarea electrică uscată/cu hîrtie electro-conductoare/
- 3.1.2. Secțiune prin hîrtia electro-conductoare /conform Western-Union Telegraph Company, New York/
1.Strat de lac de aluminiu/neconductibil/
2.Strat de hîrtie și cărbune /conductibil/
3.Strat de tiocianat de cupru /neconductibil/
- 3.1.3. Măsurarea liniilor de curent
- 3.1.4. Măsurarea vitezelor
- 3.1.5. Schemele electrice pentru sistemul de analogie A și B
- 3.1.6. Standul pentru modelarea electrică cu hîrtie electro-conductoare a curgerii gazodinamice prin canalul de admisiune
- 3.1.7. Schema electrică a instalației pentru modelarea electrică cu hîrtie electro-conductoare
- 3.2.1. Canal de admisiune secționat pentru vizualizarea mișcării aerului în canalul de admisiune
- 3.2.2. Vizualizarea mișcării aerului în canalul de admisiune prin metoda cu naftalină

II

- 3.2.3.-a. Vizualizarea mișcării aerului în canalul de admisiune prin metoda cu nicotină
- b. Vizualizarea mișcării aerului în canalul de admisiune prin metoda cu hirtie de ozalid și vaporii de amoniac
- 3.2.4. Vizualizarea mișcării aerului în canalul de admisiune prin metoda depunerii de praf
- a,b,c. 3.2.5. Vizualizarea mișcării aerului în modelul de cilindru prin metoda cu praf de aluminiu
- 3.2.6. Vizualizarea mișcării aerului în modelul de cilindru prin metoda depunerii de praf
- 3.2.7.-a. Camera de ardere amplasată în piston
- b. Camera de ardere amplasată în chiulasă
- 3.2.8. Vizualizarea mișcării aerului în procesul de compri-mare
 - a. Vizualizarea procesului de transformare a vîrtejului cvasipotențial din volumul inelar al interstițiului într-un vîrtej cvasisolid în camera de ardere
 - b. Vizualizarea vîrtejului cvasipotențial din volumul inelar al interstițiului
 - c. Vizualizarea mișcării aerului la o viteză de rotație mare a aerului din camera de ardere
 - d. Vizualizarea mișcării secundare a aerului la o vite-ză de rotație redusă
- 3.2.9. Vizualizarea mișcării aerului printr-o conductă prin descărcări electrice/plasmă/de frecvență și tensiune foarte înaltă
- 3.2.10. Schema electronică pentru vizualizarea mișcării aeru-lui prin descărcări electrice de frecvență și tensiu-ne foarte înaltă
- 3.2.11. Visualizări efectuate în zona scaunului de supapă la diferite vitezze de curgere cu metoda descărcărilelor electrice de frecvență și tensiune foarte înaltă
- 3.3.1.-a. Schema standului staționar pentru determinarea cifrelor caracteristice ale canalelor de admisiune
- b. Standul staționar
- 3.3.2. Instalația de admisiune al standului staționar
- 3.3.3. Modelul de cablu de admisiune al motorului D-103

III

- 3.3.4. Diafragma pentru măsurarea debitului de aer
3.4.1. Schema standului cvasistaționar
3.5.1.-a,b. Standul dinamic/motor monocilindric antrenat/
3.5.2. Varianta 1 de montaj al standului dinamic
3.5.3. Varianta 2 de montaj al standului dinamic-chiulasă
specială cu camera de ardere interschimbabilă
3.5.4. Varianta 3 de montaj al standului dinamic
3.5.5. Varianta 4 de montaj al standului dinamic
3.5.6. Amplasarea anemometrului și traductorului inductiv
la diferite camere de ardere chiulasei speciale
3.5.6.-a. Amplasarea anemometrului și traductorului inductiv
la chiulasa originală a motorului D-103
3.5.7. Dispozitivul de rotire și fixare a supapei ecramate
3.5.8. Schema de automatizare și măsurare al standului di-
namic
3.5.9. Piesa de închidere a camerei de ardere cilindrice
a chiulasei speciale /fig. 3.5.2./ și 3 trăductoare
inductive fără contact miniaturizate pentru măsura-
rea vitezei de rotație a anemometrului
3.5.10. Caciulograme obținute cu ajutorul standului dinamic
3.5.11. Trădutorul inductiv fără contact pentru marcarea
p.m.i.
- 4.1. Trădutorul de presiune, schema de legare a timbrelor
electro-tensiometrice și schema analogică electrică
- 5.2.1. Liniile de curent din canalul de admisiune al moto-
rului D-103
- 5.2.2. Liniile de curent din zona scaunului de supapă de
admisioane
- a și c scaun de supapă original
-b și d scaun de supapă modificat
- 5.2.3. Diagrama secțiunilor transversale ale canalului de
admisioane al motorului D-103
- 5.2.4. Liniile de curent și diagramele vitezelor din zona
scaunului de supapă a canalului de admisiune al mo-
torului D-103
- 5.2.5. Scaun de supapă original al motorului D-103
- 5.2.6. Liniile de curent și diagramele vitezelor din zona
scaunului de supapă al canalului de admisiune al

motorului 12 LDA 28

- 5.2.7. Linile de curent și diagramele vitezelor din zona unui scaun de supapă îmbunătățit al canalului de admisiune al motorului D-103
- 5.3.1. Structura mișării organizate a aerului în camera de ardere
- 5.3.2. Suprapunerea unui virtej cvasisolid cu un virtej cva-si potential
- 5.3.3. Mișcarea secundară
 - a- Vas cilindric fără capac
 - b- Vas cilindric cu capac
- 5.3.4.- Vizualizări obținute în cadrul procesului de comprimare-a,b,c, re
 - a- Chiulasa specială, supapă ecranată $\epsilon=120^\circ$. $\gamma=360^\circ$
 - b- Chiulasa specială, supapă ecranată $\epsilon=120^\circ$. $\gamma=180^\circ$
 - c- Chiulasa specială, supapă ecranată $\epsilon=180^\circ$. $\gamma=360^\circ$
- 5.3.5. Vizualizarea mișării aerului în camera de ardere amplasată în piston. Chiulasa originală a motorului D-103 echipată cu o supapă ecranată $\epsilon=120^\circ$. $\gamma=180^\circ$
- 5.3.6.- Vizualizarea mișării secundare a aerului în camera de ardere la o mișcare organizată redusă. Canalul de admisiune original al motorului D-103 echipat cu o supapă ecranată $\epsilon=120^\circ$. $\gamma=60^\circ$
- 5.4.1.-a Chiulasa originală a motorului D-103, sectionată
- 5.4.1.-b Modelul de canal de admisiune al motorului D-103
- 5.4.2. Măsurări de canale de admisiune modificate ale motorului D-103
- 5.4.3. Modelul de canal de admisiune din ipsos al motorului D-103 modificat/
- 5.4.4. Domeniile de împărtiere a cifrelor caracteristice $\mu\tau$ și n_y/n pentru % de variante de canale de admisiune
- 5.4.5. Canalul original al motorului D-103 cu factorii construcționali care s-au modificat
- 5.4.6. Părți de canal de admisiune cu care s-a modificat traseul
- 5.4.7. Influența colțului canalului asupra cifrelor caracteristice $\mu\tau$ și n_y/n
- 5.4.8. Influența unghiului canalului asupra cifrelor caracte-

- ristice și n_M/n
- 5.4.9. Influența excentricității supapei de admisiune asupra cifrelor caracteristice și n_M/n
- 5.4.10. Influența colțului canalului asupra cifrelor caracteristice și n_M/n
- 5.4.11. Influența supapei, resp. a scaunului cu paravan și a lamelei directoare, asupra cifrelor caracteristice și n_M/n
- 5.4.12. Influența poziției supapei ecranate asupra cifrelor caracteristice și n_M/n la canalul de admisiune original al motorului D-103
- 5.4.13.-a.Cifrele caracteristice staționare și n_M/n de la 12 canale de admisiune originale /3 chiulase a cîte 4 canale/ ale motorului D-103
- 5.4.13.-b.Cifrele caracteristice staționare ale canalului de admisiune îmbunătățit nr.1 și comparația lor cu cele ale canalului de admisiune original al motorului D-103
- 5.4.13.-c.Cifrele caracteristice staționare ale canalului de admisiune îmbunătățit nr.2 și comparația lor cu cele ale unui canal de admisiune original al motorului D-103
- 5.4.14. Cifrele caracteristice staționare ale modelului de canal de admisiune îmbunătățit nr.3 echipat cu o supapă ecranată
- 5.5.1.- Curvele caracteristice cvasistaționare ale canalului de admisiune original al motorului D-103
- 5.5.2. Curvele caracteristice cvasistaționare ale modelului de canal de admisiune îmbunătățit nr.6
- 5.5.3.- Curvele caracteristice cvasistaționare ale chiulasei speciale cu camera de ardere, echipată cu o supapă ecranată $\alpha=120^\circ$, $\beta=210^\circ$
- 5.5.4. Curvele caracteristice cvasistaționare ale canalului de admisiune original al motorului D-103, echipat cu o supapă ecranată $\alpha=120^\circ$, $\beta=180^\circ$
- 5.5.5. Curvele caracteristice cvasistaționare ale modelului de canal de admisiune nr.5
- 5.5.6.- Curvele caracteristice cvasistaționare ale modelului de canal de admisiune original al motorului D-103

VI

- 5.5.10. Variația volumului din cilindru, a deschiderii supapei de admisiune și a cursei pistonului, în funcție de unghiul RAC a modelului dinamic
- 5.5.11. Influența coeficientului de umplere
- 5.5.12. Influența curbei de variație a debitului masic
- 5.5.13. Influența poziției maximului curbei de variație a debitului masic
- 5.5.14. Influența presiunii inițiale
- 5.5.15.- Variatia mărimilor caracteristice ale canalului de admisiune original al motorului D-103 în funcție de unghiul RAC, pentru temperaturile 253°K , 301°K și 323°K
- 5.5.18. Variatia mărimilor caracteristice ale canalului de admisiune original al motorului D-103 în funcție de unghiul RAC, pentru temperaturile 253°K , 301°K și 323°K
- 5.5.19. Influența temperaturii inițiale
- 5.5.20. Influența vitezei de rotație a arborelui cotit
- 5.5.21.- Variatia mărimilor caracteristice ale chiulasei speciale, echipate cu o supapă cu scoran $\alpha=120^{\circ}$, $\beta=21^{\circ}$,
- 5.5.25. în funcție de unghiul RAC, pentru vitezele de rotație ale arborelui cotit 63 rad/s, 94,5 rad/s, 134 rad/s, 157 rad/s și 188 rad/s.
- 5.5.26. Variatia mărimilor caracteristice ale canalului de admisiune al motorului D-103 în funcție de unghiul RAC, pentru coeficientul de încălzire $\bar{\gamma}_e=1,06$
- 5.5.27. Influența legii de deschidere a supapei de admisiune
- 5.5.28.- Variatia mărimilor caracteristice ale canalului de admisiune al motorului D-103, în funcție de unghiul RAC, pentru diferite legi de deschidere a supapei de admisiune
- 5.5.36. Variatia mărimilor caracteristice ale canalului de admisiune al motorului D-103 în funcție de unghiul RAC, pentru raportul de comprimare $\varepsilon=10$
- 5.5.37. Variatia mărimilor caracteristice ale modelului de canal de admisiune nr.5 în funcție de unghiul RAC
- 5.5.38. Variatia mărimilor caracteristice ale modelului de canal de admisiune îmbunătățit nr.6 în funcție de unghiul RAC
- 5.5.39.-a. Miezul modelului de canal de admisiune îmbunătățit nr.6
- b. Variația secțiunii transversale a modelului de canal de admisiune nr.6

VII

- c. Scaunul de supapă al modelului de canal de admisiune nr.6.
- 5.6.1. Variația mărimilor caracteristice ale mișcării organizate a aerului în funcție de unghiul RAC, într-un cilindru fără cavitate în piston sau chiulasă
- 5.6.2. Viteza de rotație a aerului și structura vîrtejului din camera de ardere, în funcție de unghiul RAC
- 5.6.3. Viteza de rotație a aerului în funcție de unghiul RAC pentru un ciclu motor întreg
- 5.6.4. Variația cifrei de turbionare și structura vîrtejului din cavitarea pistonului și din volumul inelar în funcție de RAC și raza relativă curentă a camerei de ardere β_N
- 5.6.5. Comparația cifrelor turbionare determinate pe cale teoretică cu cele măsurate
- 5.6.6.- Influența vitezei de rotație a arborelui cotit
-a,b.
- 5.6.7.- Influența vitezei de rotație a arborelui cotit
-a,b.
- 5.6.8. Influența volumului relativ al interstițiului
- 5.6.9.- Variația vitezei de rotație al aerului în funcție de unghiul RAC pentru raportul de comprimare $\varepsilon = 15$, $\varepsilon = 8,15$, $\varepsilon = 11,3$ și $\varepsilon = 10,8$
- 5.6.12. Influența raportului de comprimare
- 5.6.13. Influența diametrului relativ al camerei de ardere și al arhitecturii camerei de ardere
- 5.6.15. Influența diametrului relativ al camerei de ardere
- 5.6.16.a,b Influența cursei relative a pistonului S/D
- 5.6.17. Influența arhitecturii camerei de ardere
- 5.6.18. Variația vitezei de rotație a aerului în funcție de unghiul RAC, pentru diferite forme de camere de ardere
- 5.6.19. Comparația între diferite tipuri de camere de ardere
- 5.6.20.- Influența unghiului de rotire a supapei ecranate/ $\alpha = 120^\circ$ /montate în chiulasă specială, asupra vitezei de rotație a aerului
- 5.6.22.- Influența unghiului de rotire a supapei ecranate/ $\alpha = 180^\circ$ /montate în chiulasa specială, asupra vitezei de rotație a aerului
- 5.6.23. /

VIII

- 5.6.24.- Influența unghiului de rotire a supapei ecranate
- 5.6.25. / $\alpha=120^\circ$ resp. $\alpha=180^\circ$ /, montate în canalul de admisie al motorului D-103, asupra vitezei de rotație a aerului
- 5.6.26. Camera de ardere de tip Meurer

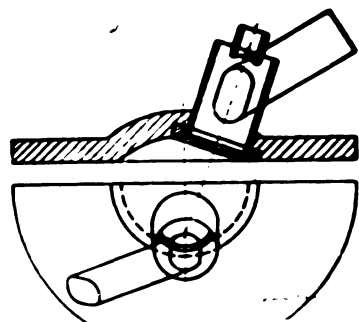


Fig. 2.1.

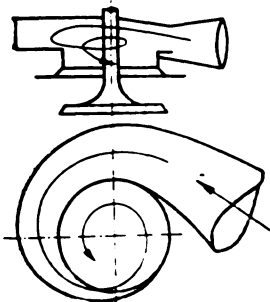


Fig. 2.2.

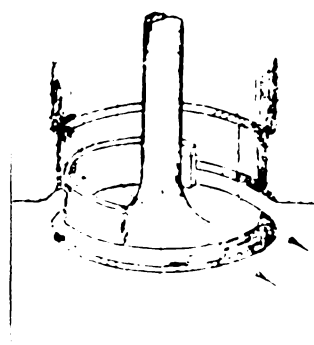


Fig. 2.3.

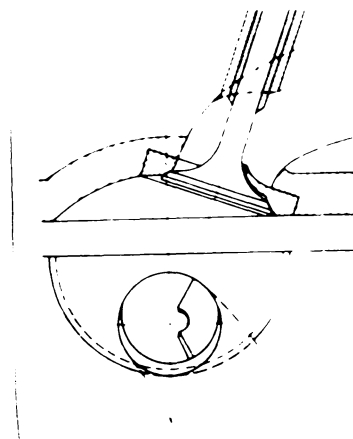


Fig. 2.4.

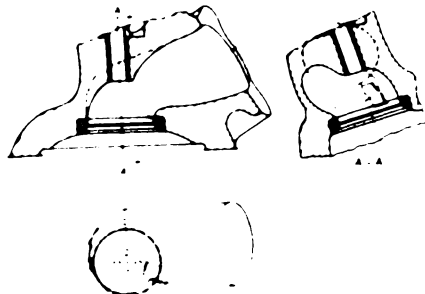


Fig. 2.5.

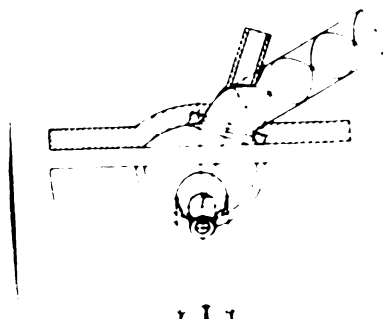


Fig. 2.6.

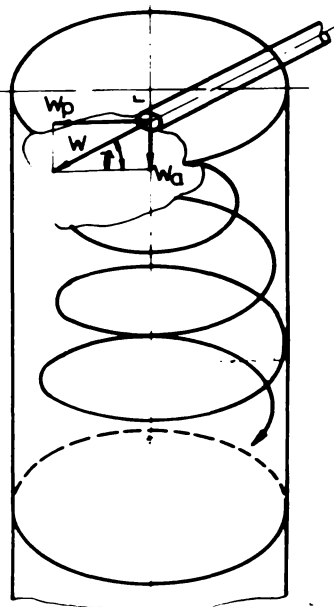


Fig. 2.7.

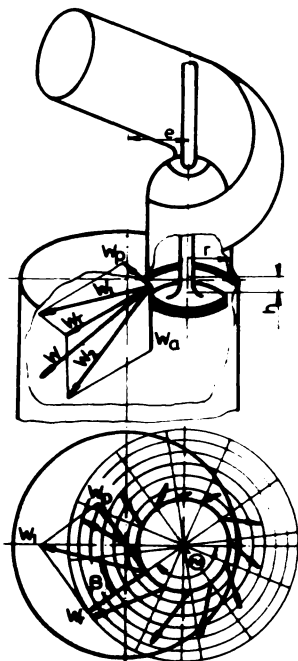


Fig. 2.8.

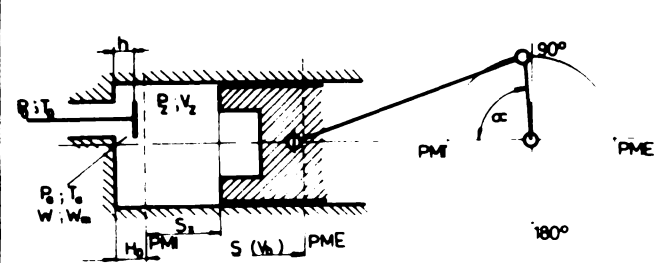


Fig. 2.9.

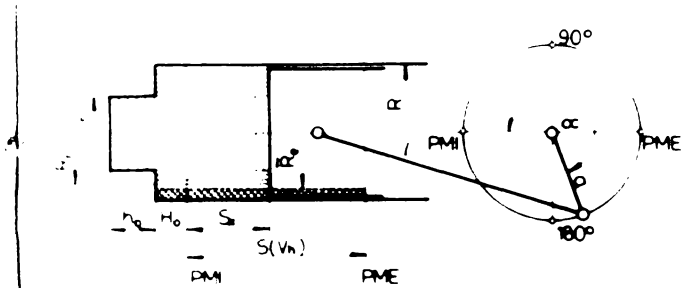
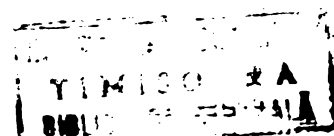


Fig. 2.10.



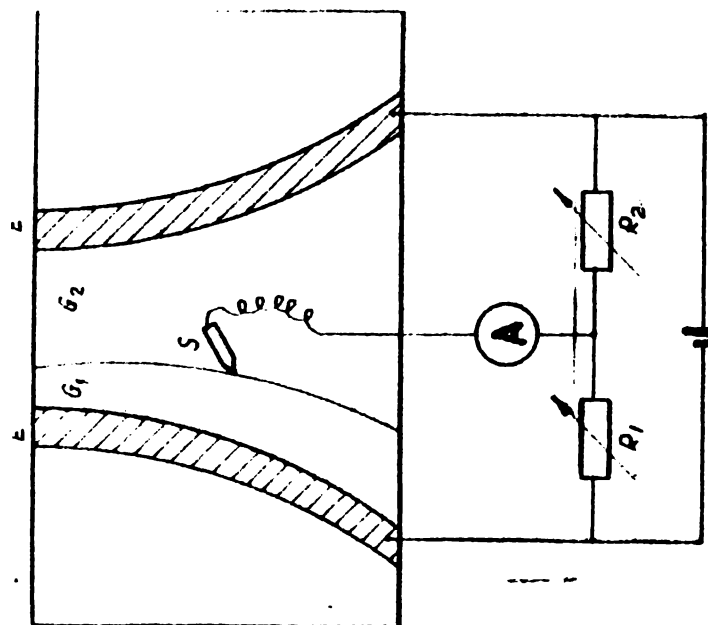


Fig. 3.1.3.

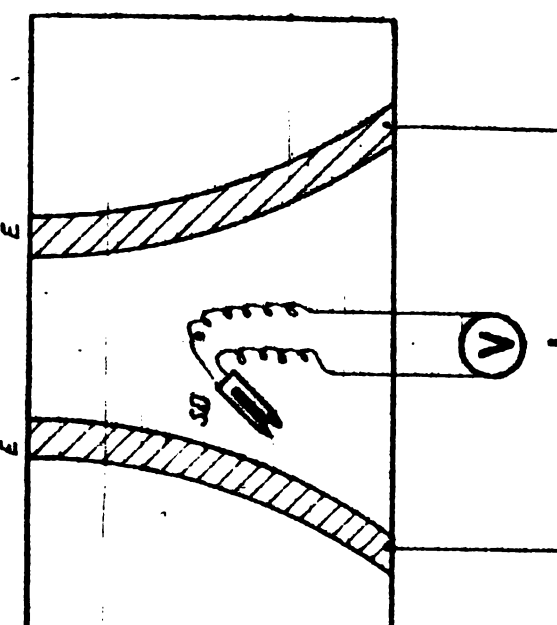
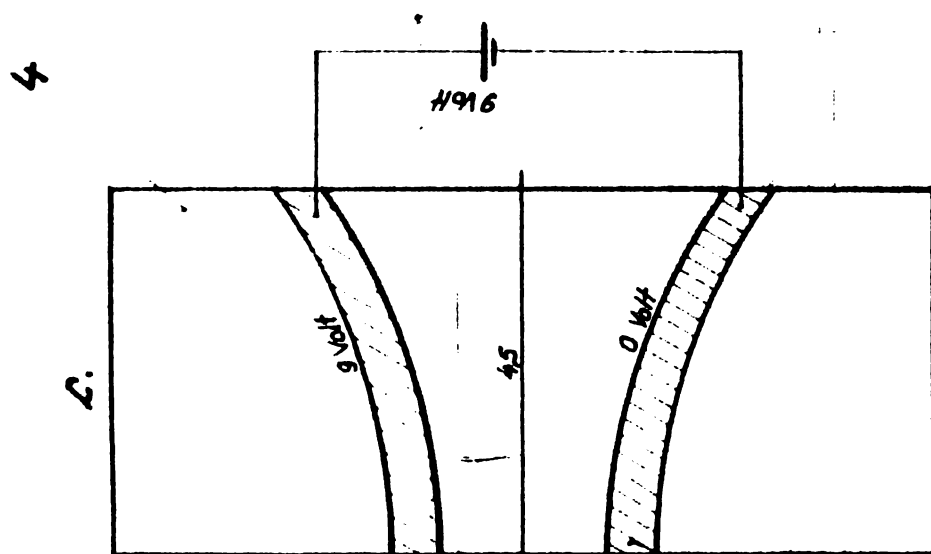


Fig. 3.1.4.



2.

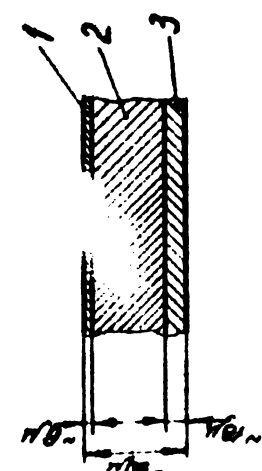
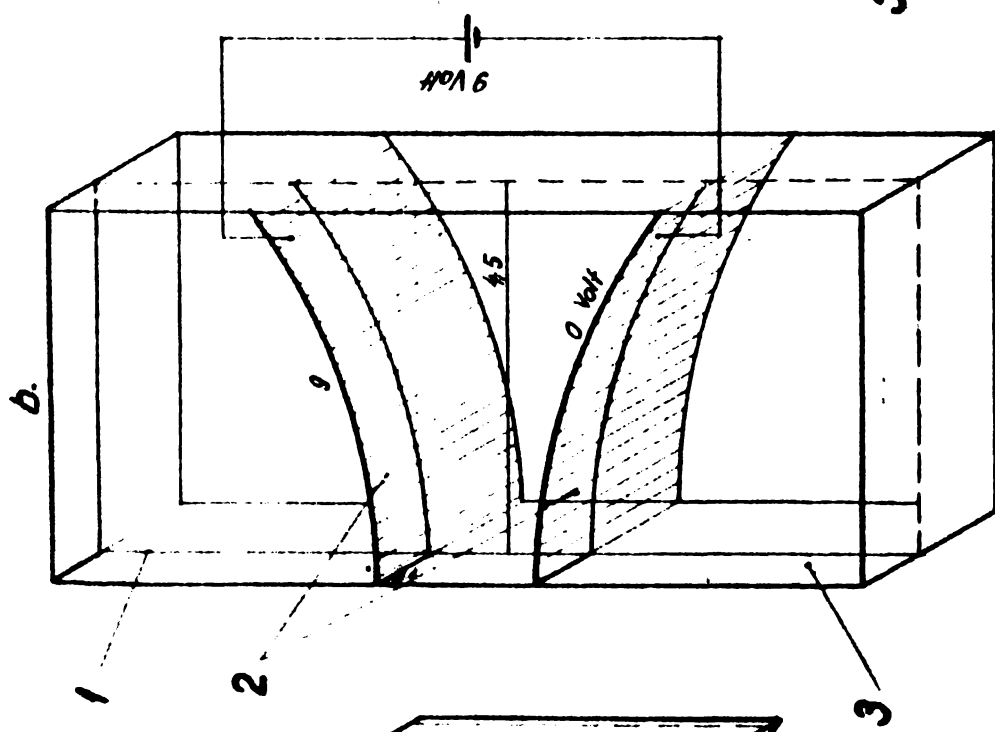
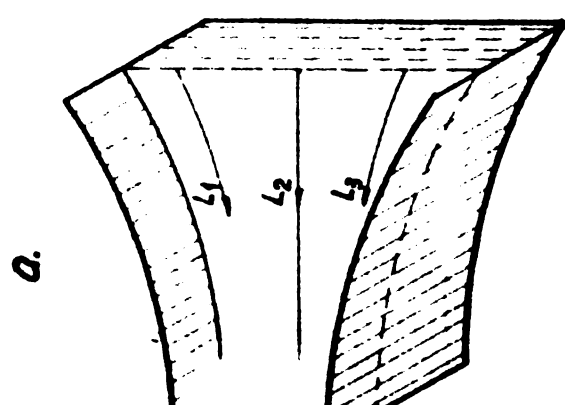


Fig. 3.1.1.

Fig. 3.1.2.



3.



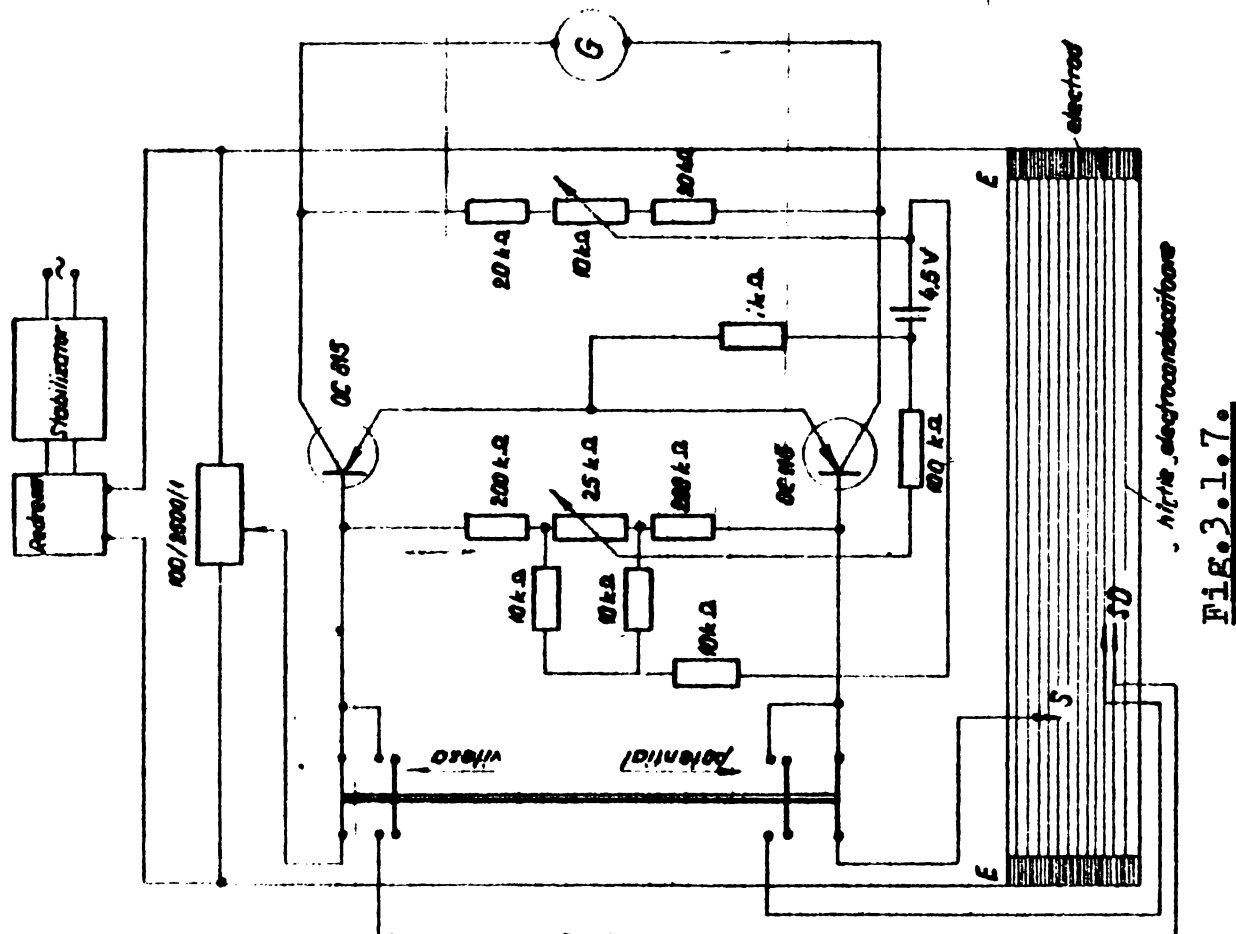


Fig. 3.1.7.
Wire electroconduction

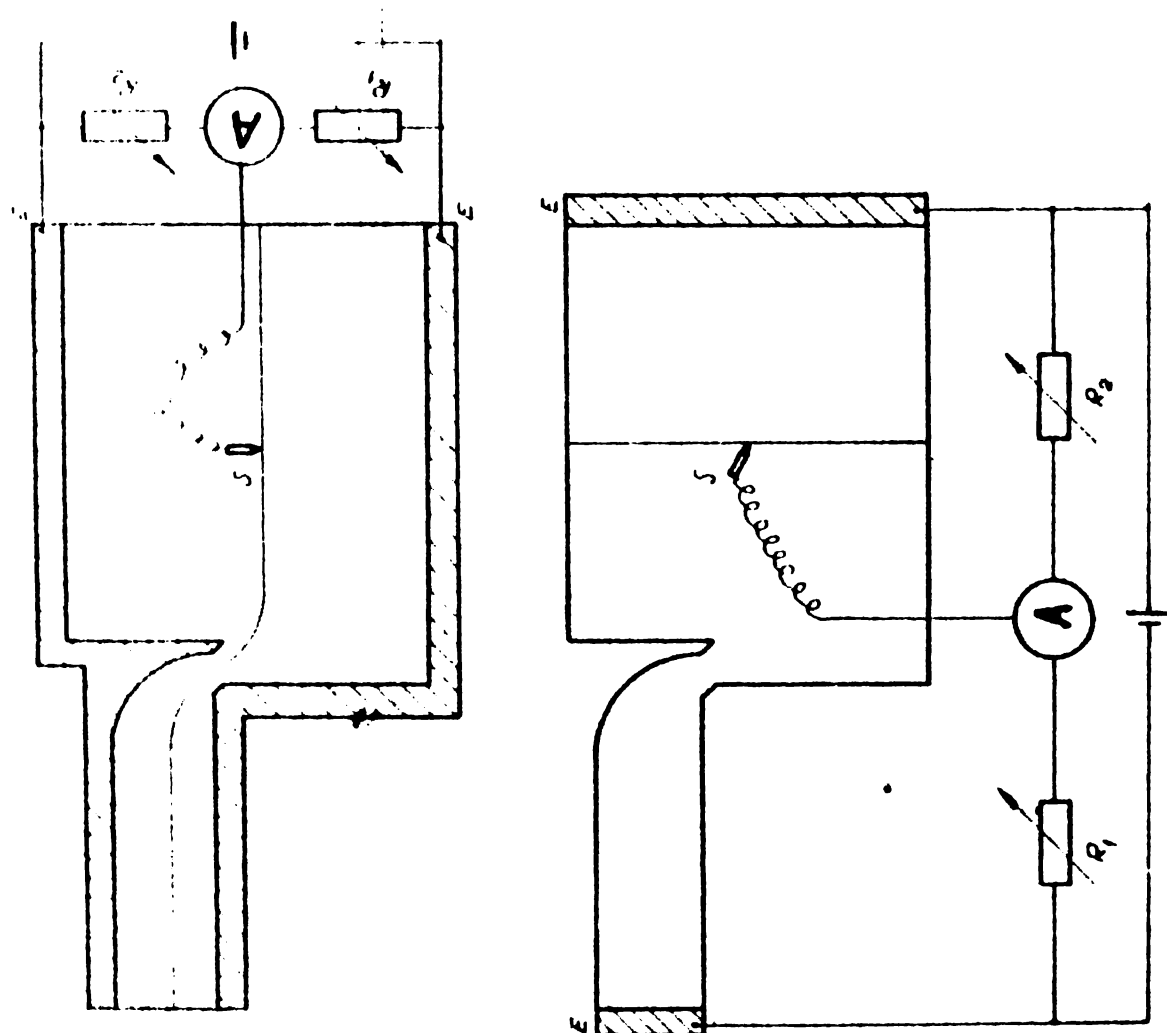


Fig. 3.1.5.

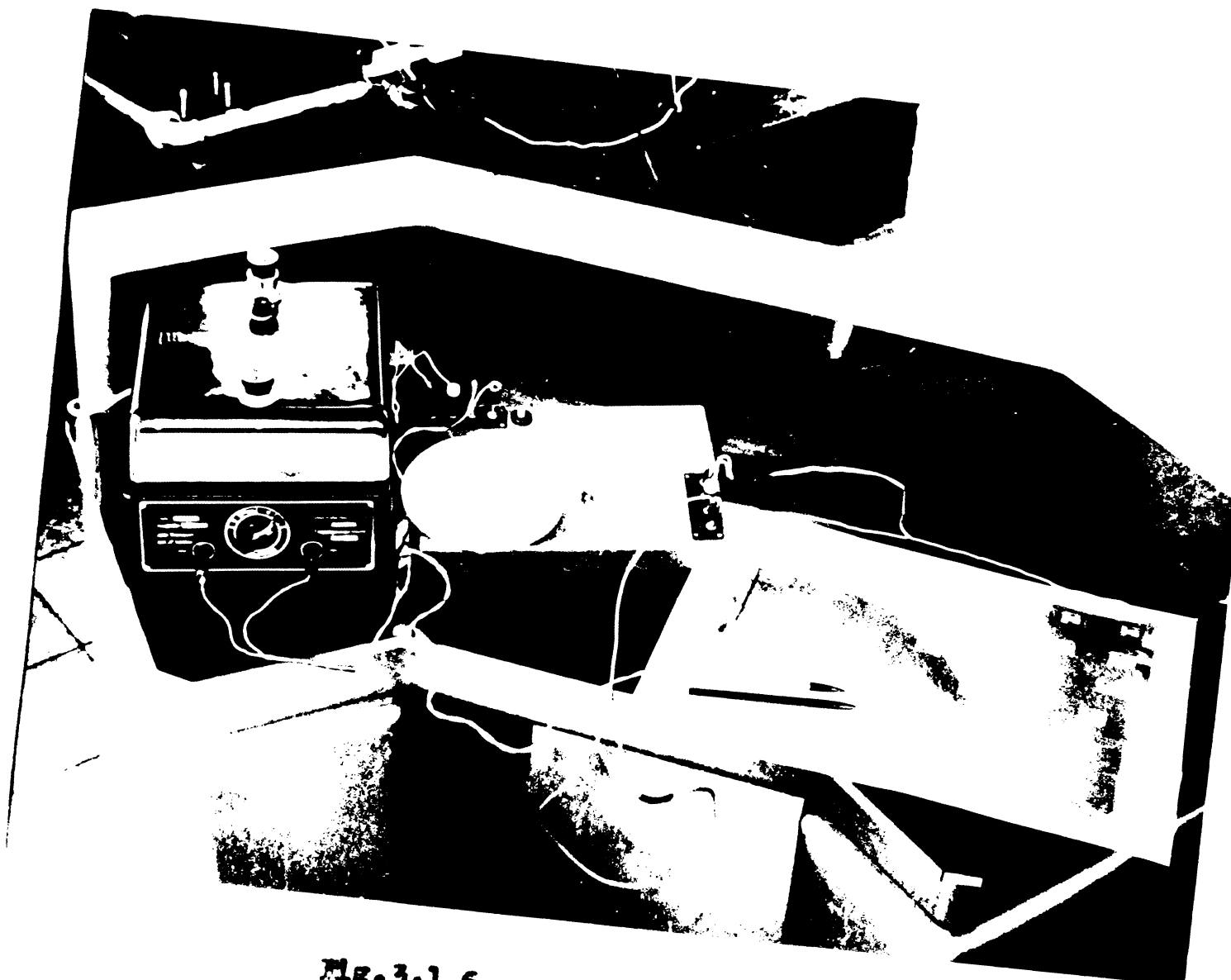


Fig. 3.1.6.

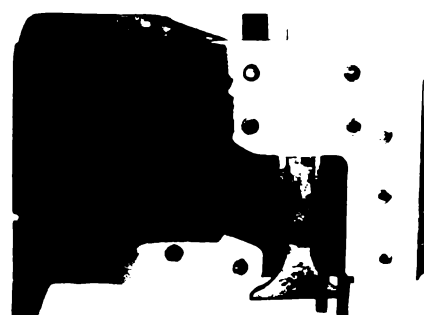


Fig. 3.2.1.



Fig. 3.2.2.



Fig. 3.2.3.-a



Fig. 3.2.3.-b

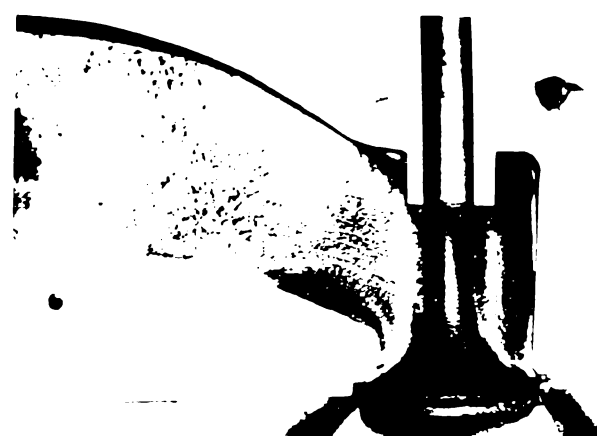


Fig. 3.2.4.-a



Fig. 3.2.4.-b



Fig. 3.2.4.-c

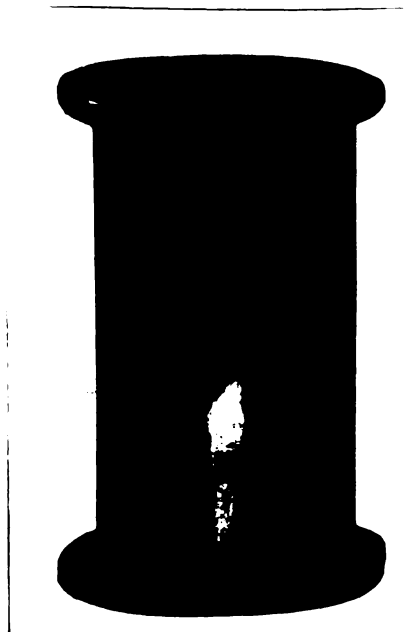


Fig. 3.2.5.

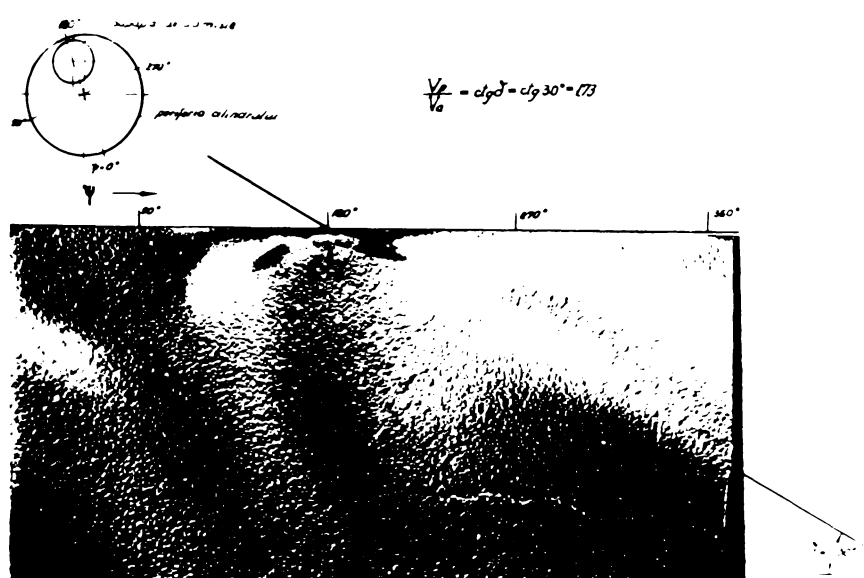


Fig. 3.2.6.

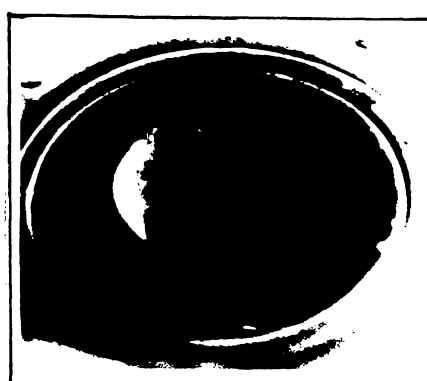
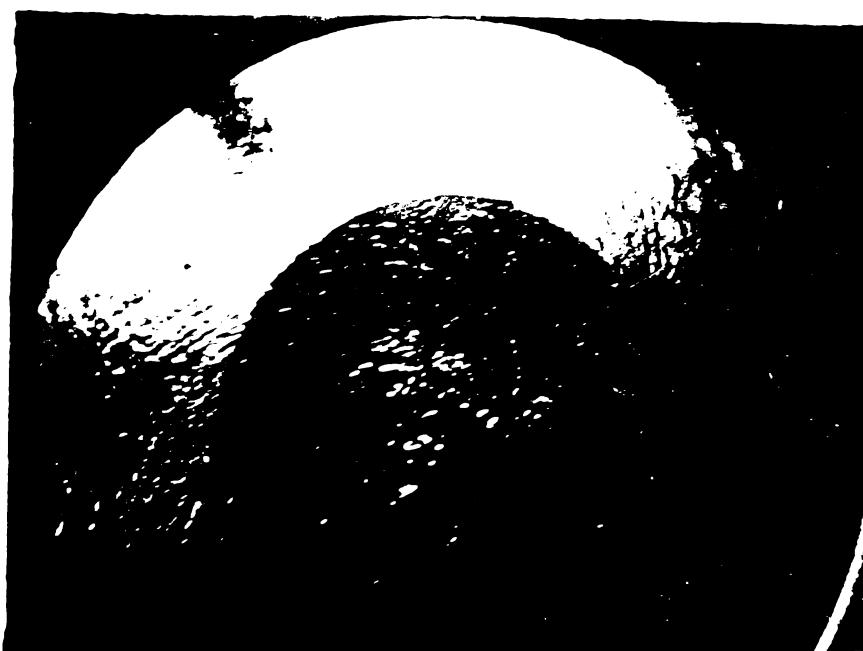


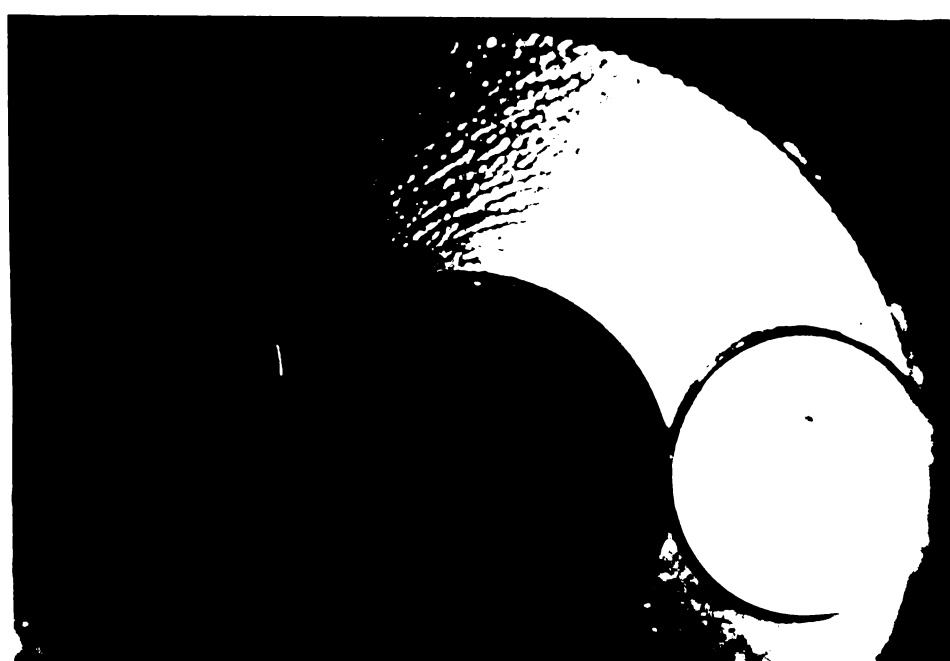
Fig. 3.2.7.-a



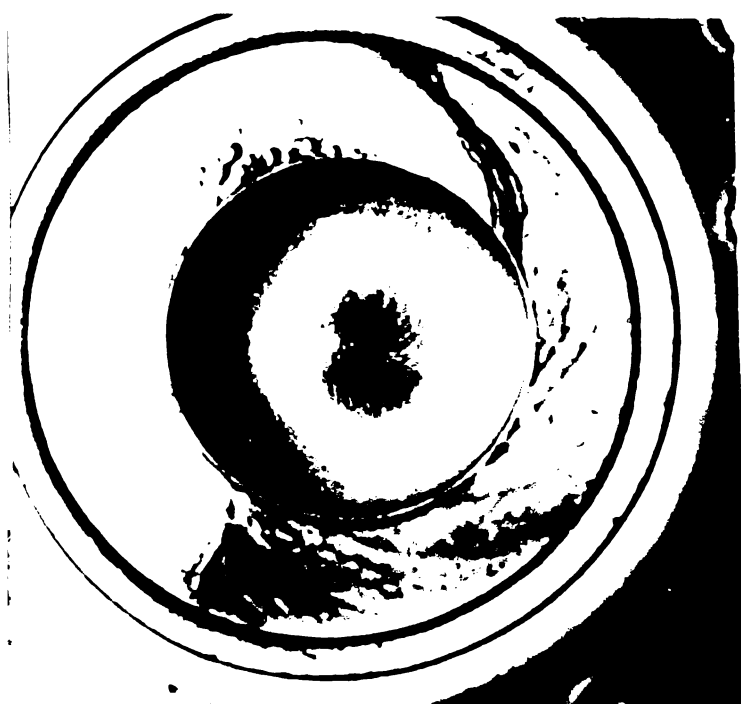
Fig. 3.2.7.-b



11.01.1982



11.01.1982



11.01.1982



11.01.1982

INSTITUTUL POLITEHNIC
TIMISOARA
ROMANIA

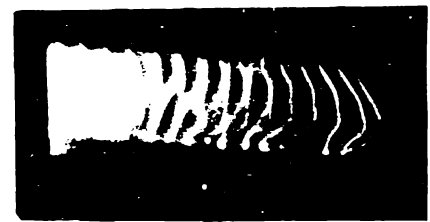


Fig. 3.2.9.

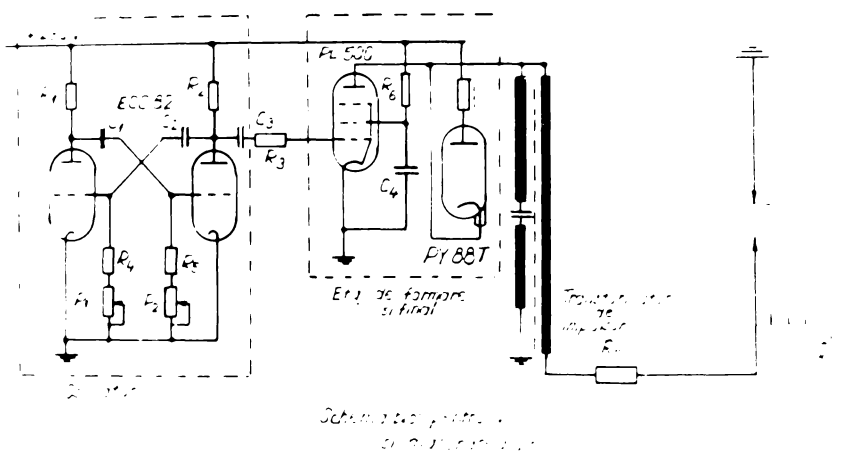
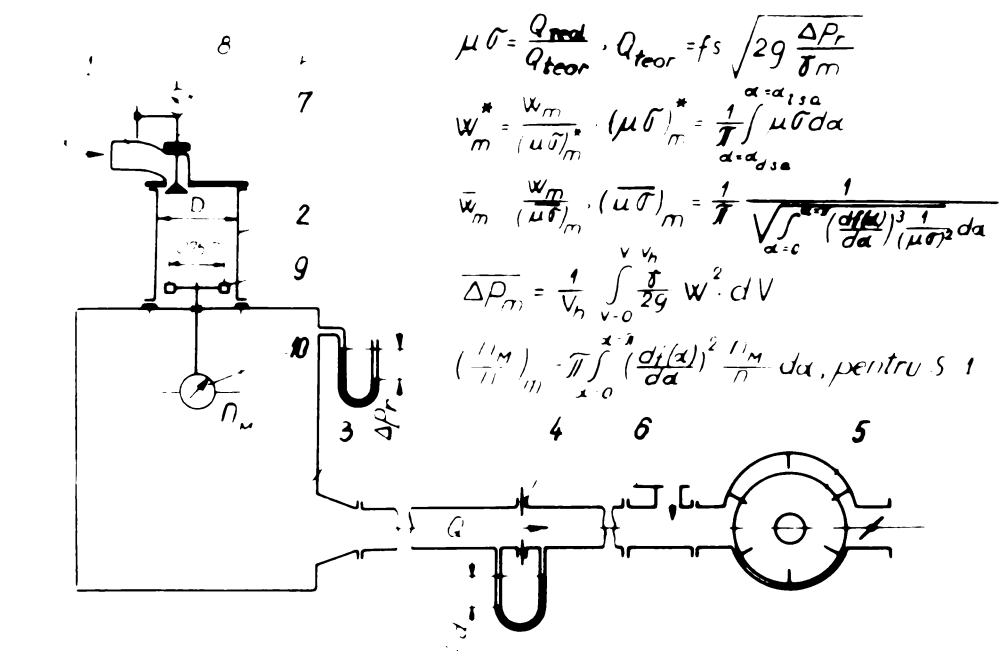


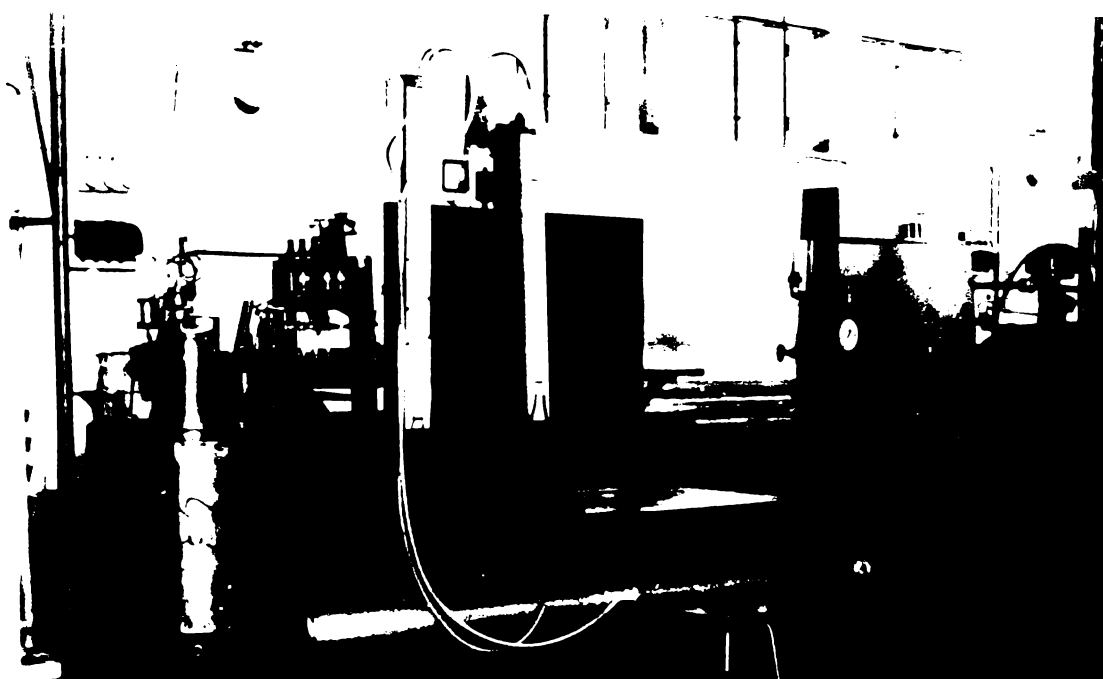
Fig. 3.2.10.



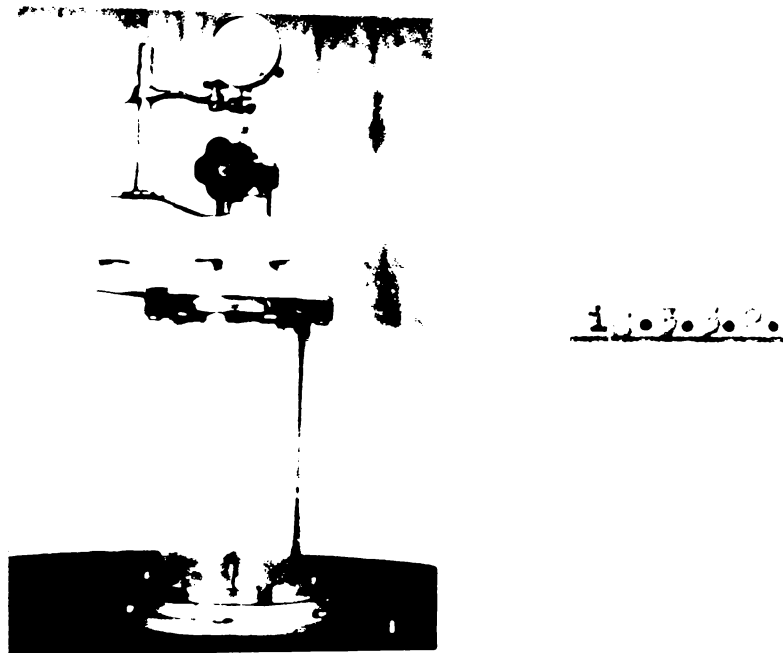
Fig. 3.2.11.



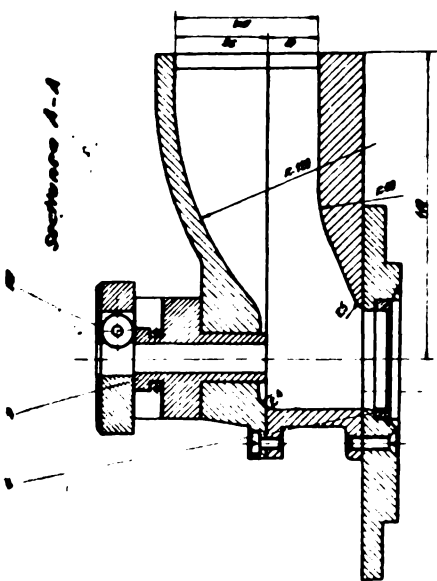
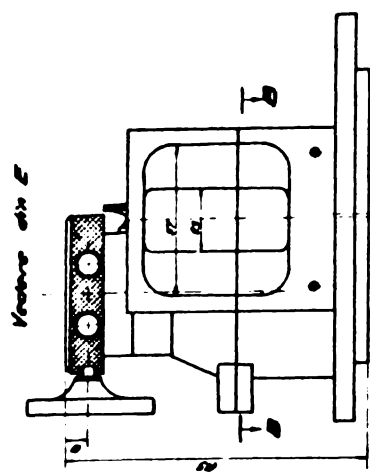
1.1.3.3.1.-8



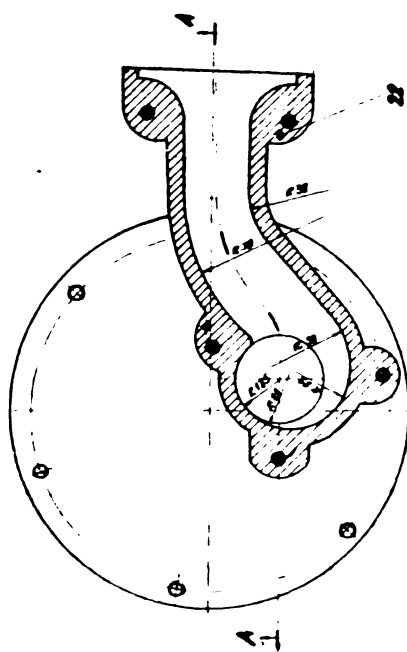
1.1.3.3.1.-9



1.1.3.3.2.



Section A-A



Section B-B

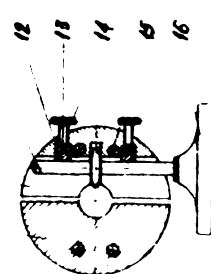
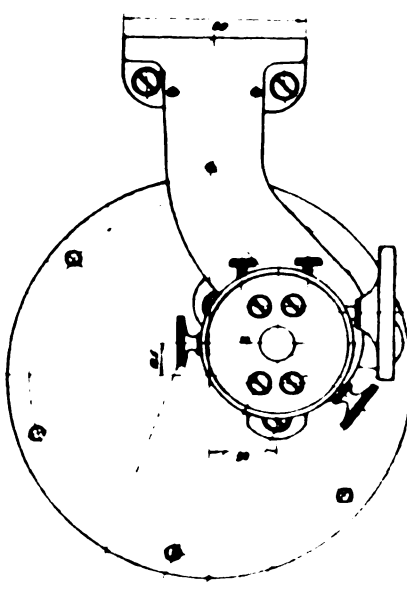
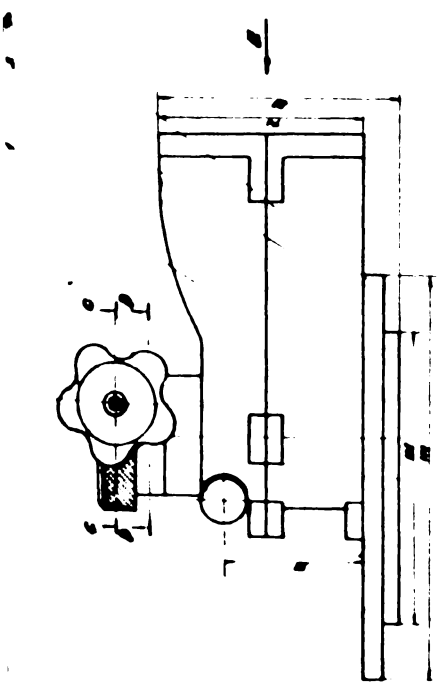
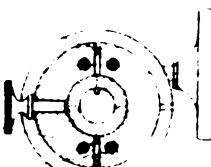


Fig. 3.3.3.



Section D-D



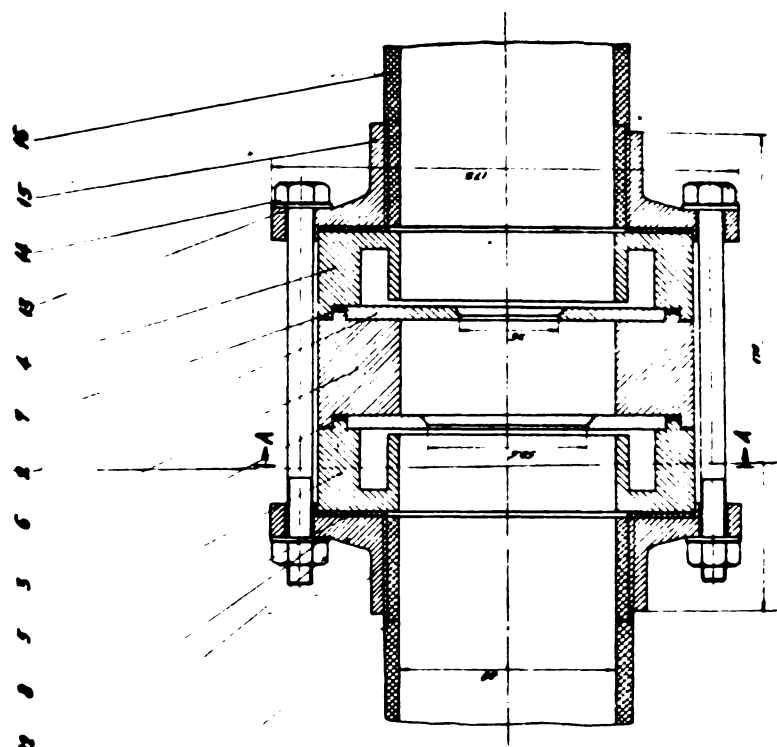
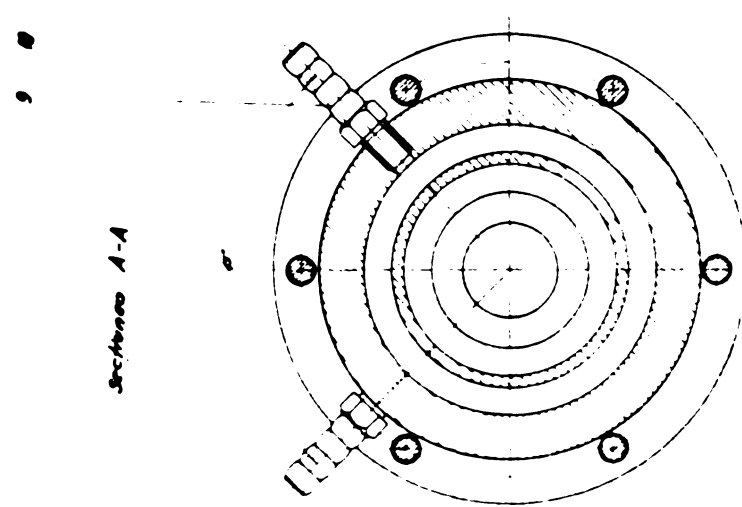


Fig. 3.3.4.



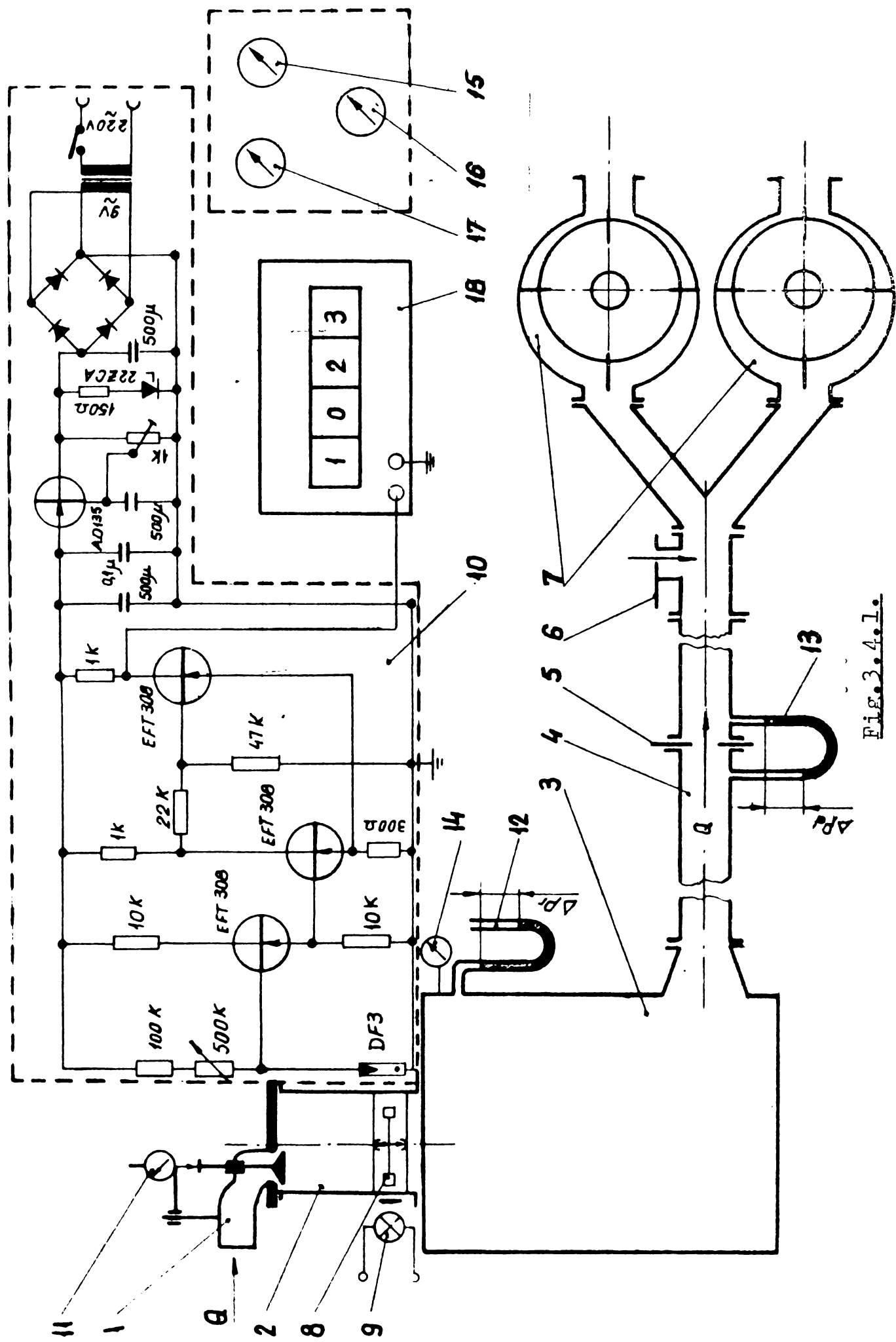
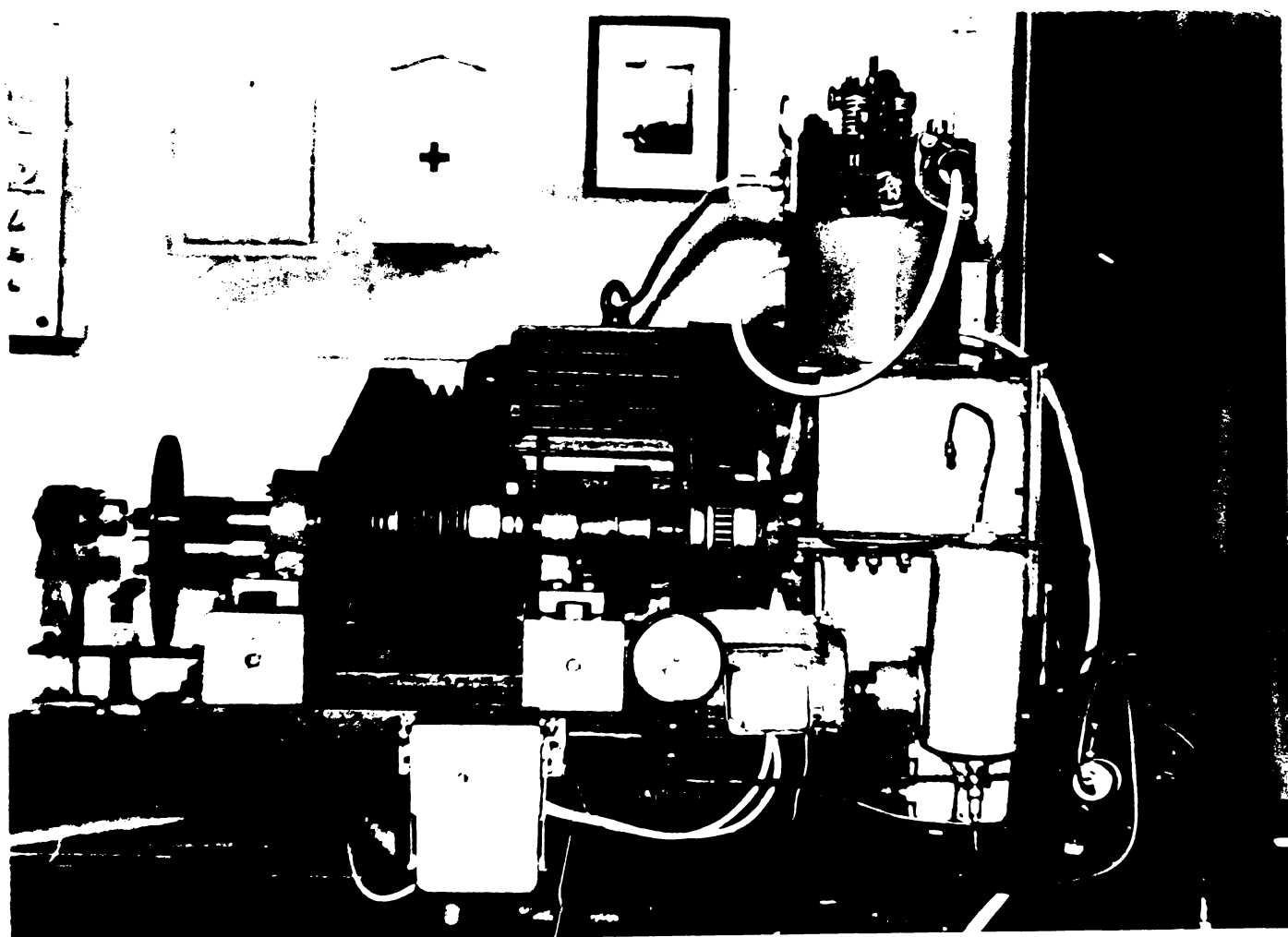
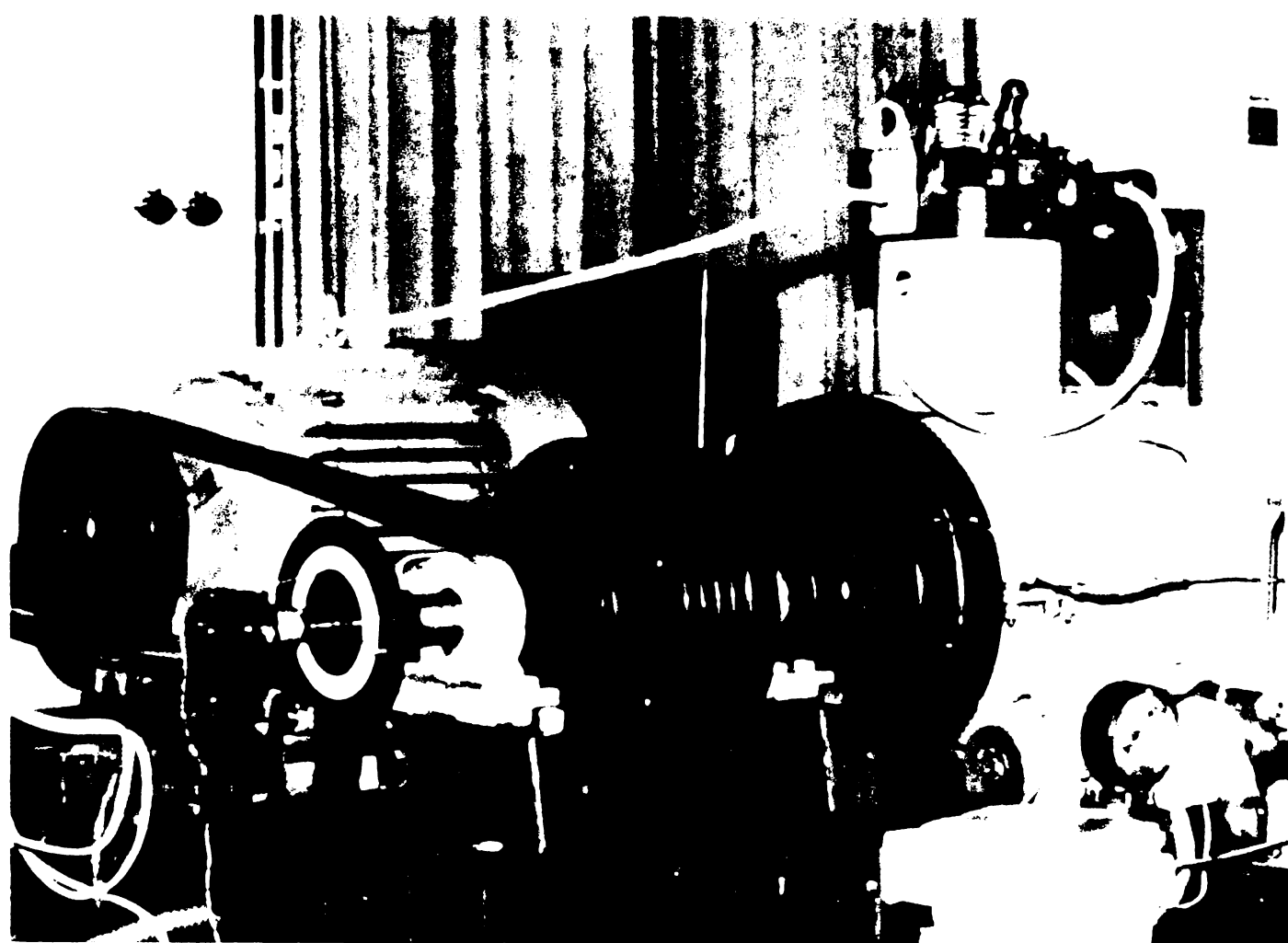


Fig. 3.4.1.

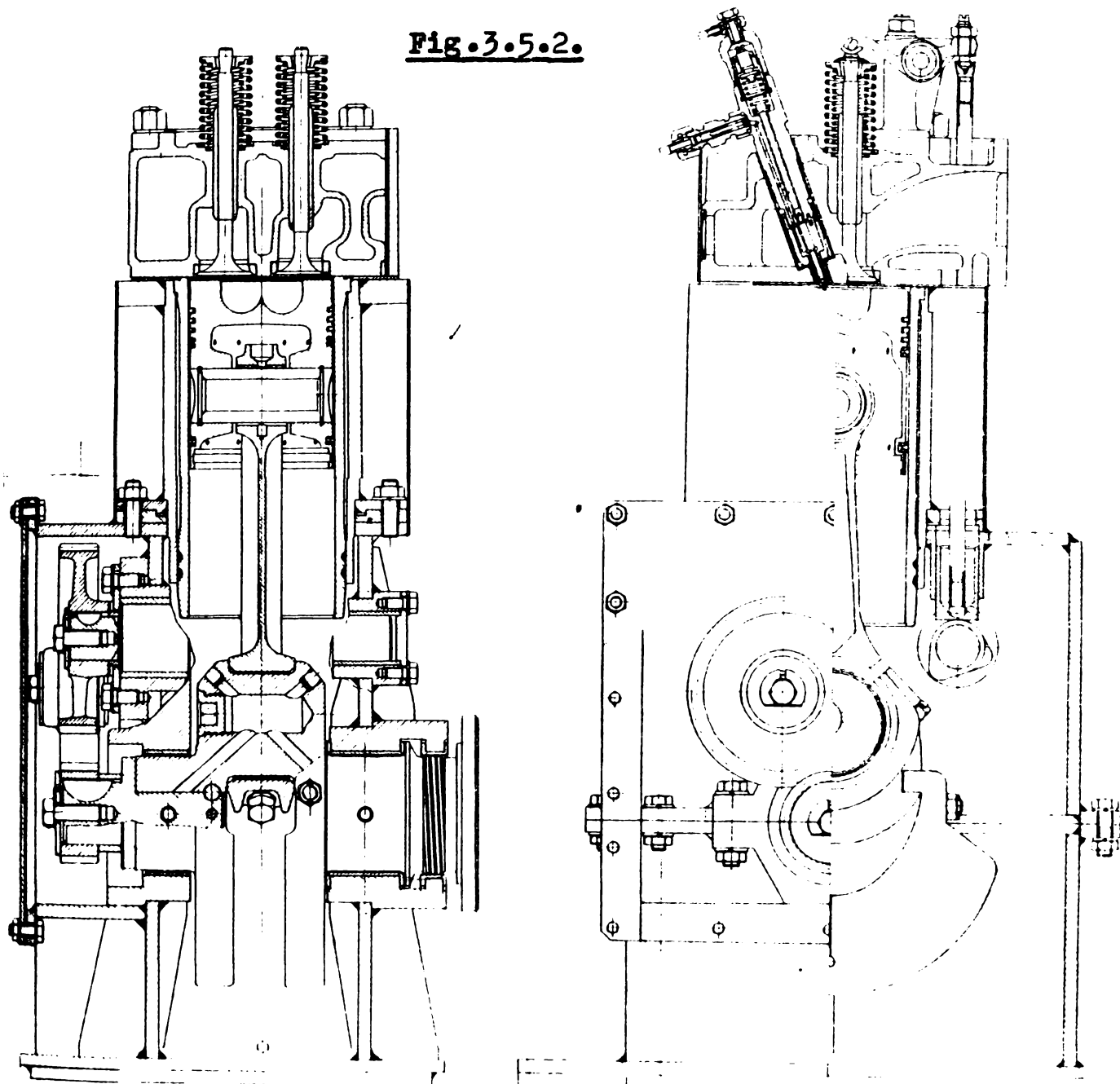


i16.3.5.1.-a



i16.3.5.1.-b

Fig. 3.5.2.



Chiulasa cu camera
de ardere

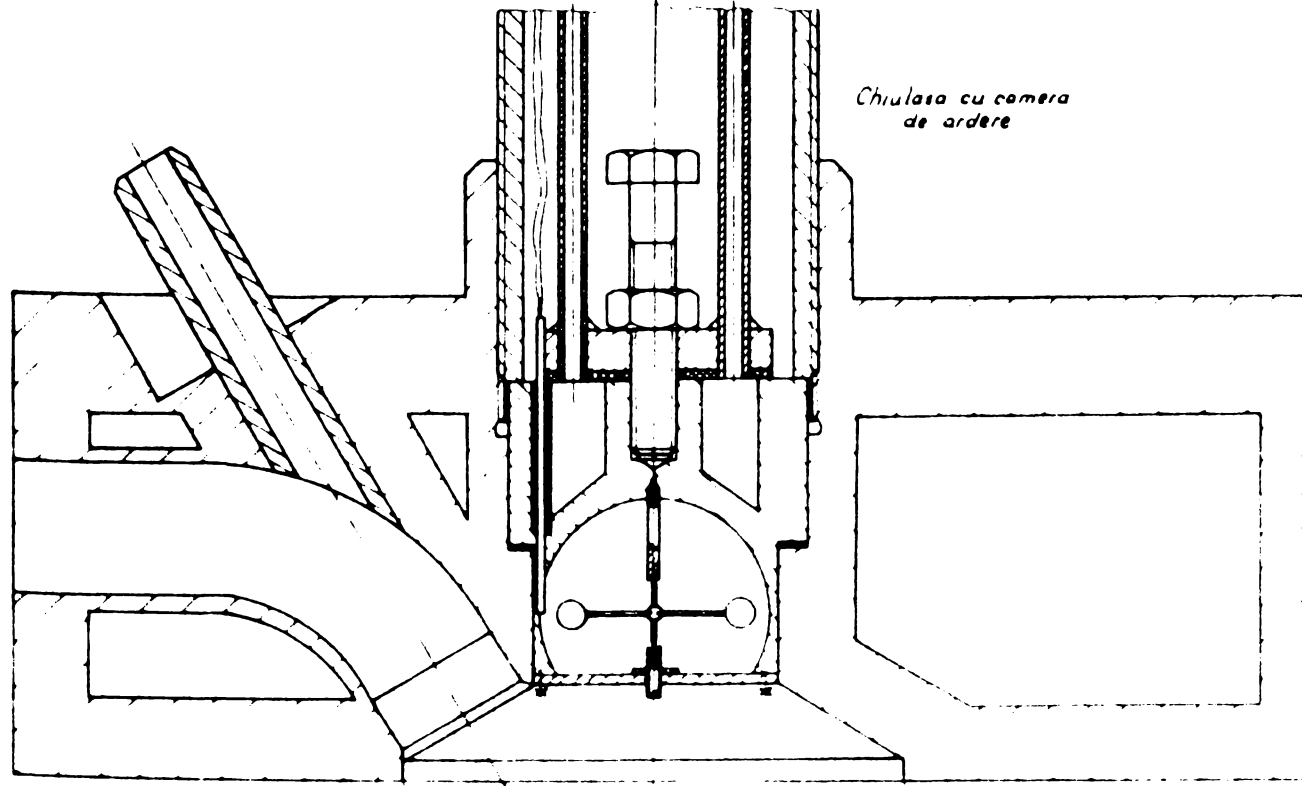


Fig. 3.5.3.

INSTITUTUL POLITEHNIC
DUMITRU MIRON
1969

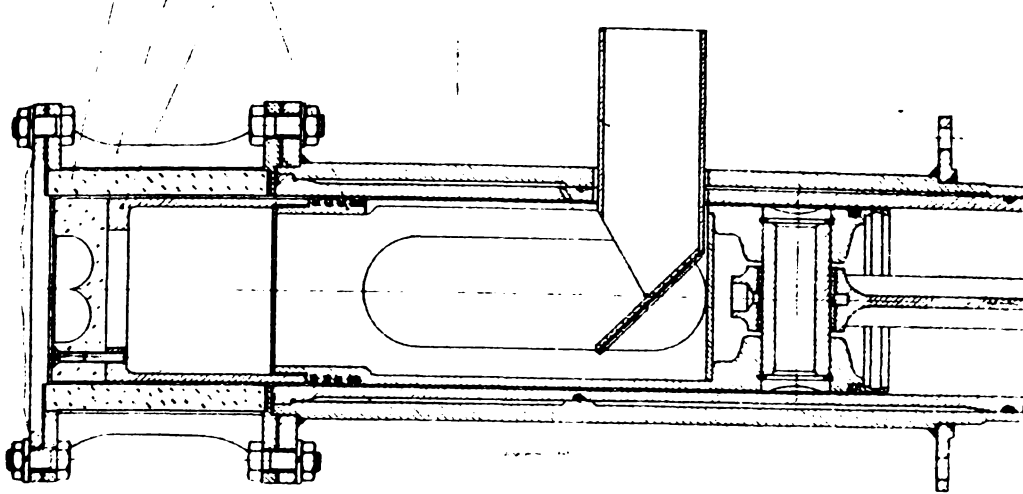


Fig.3.5.5.

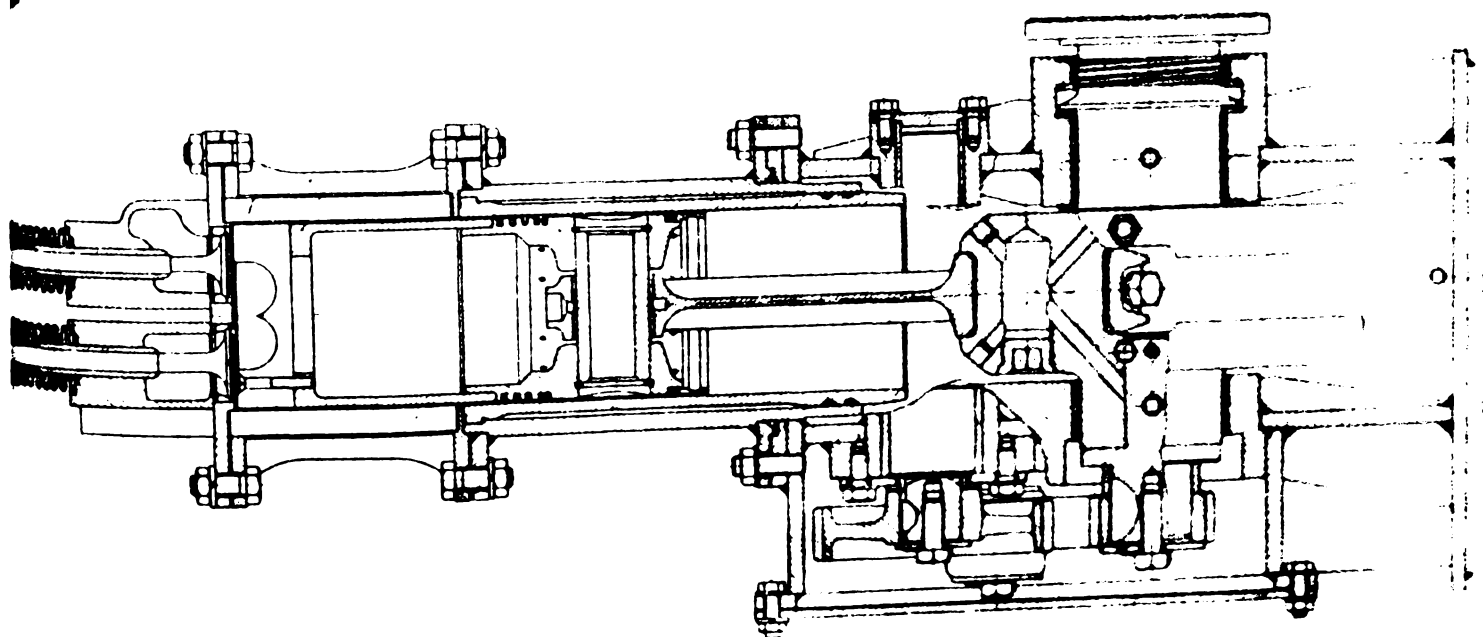
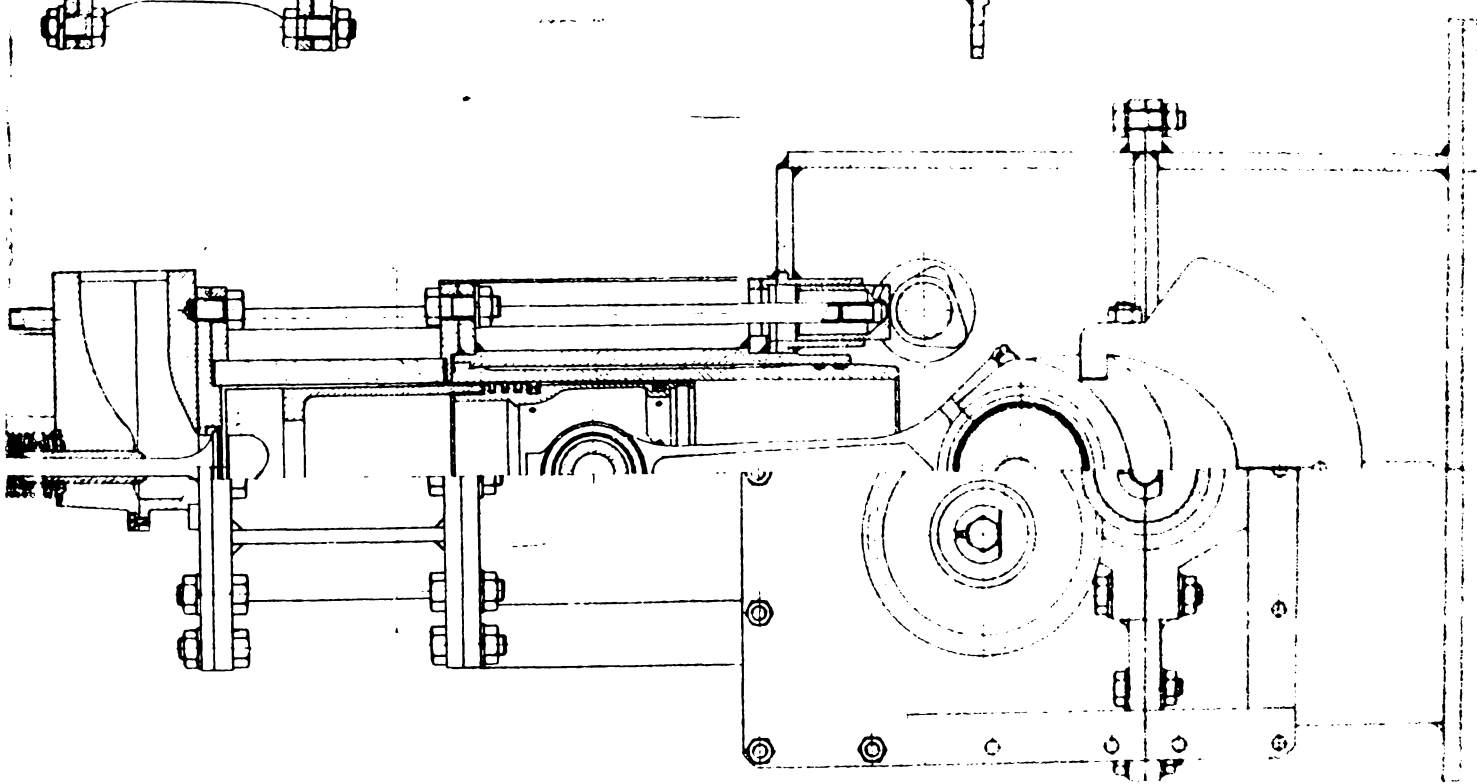
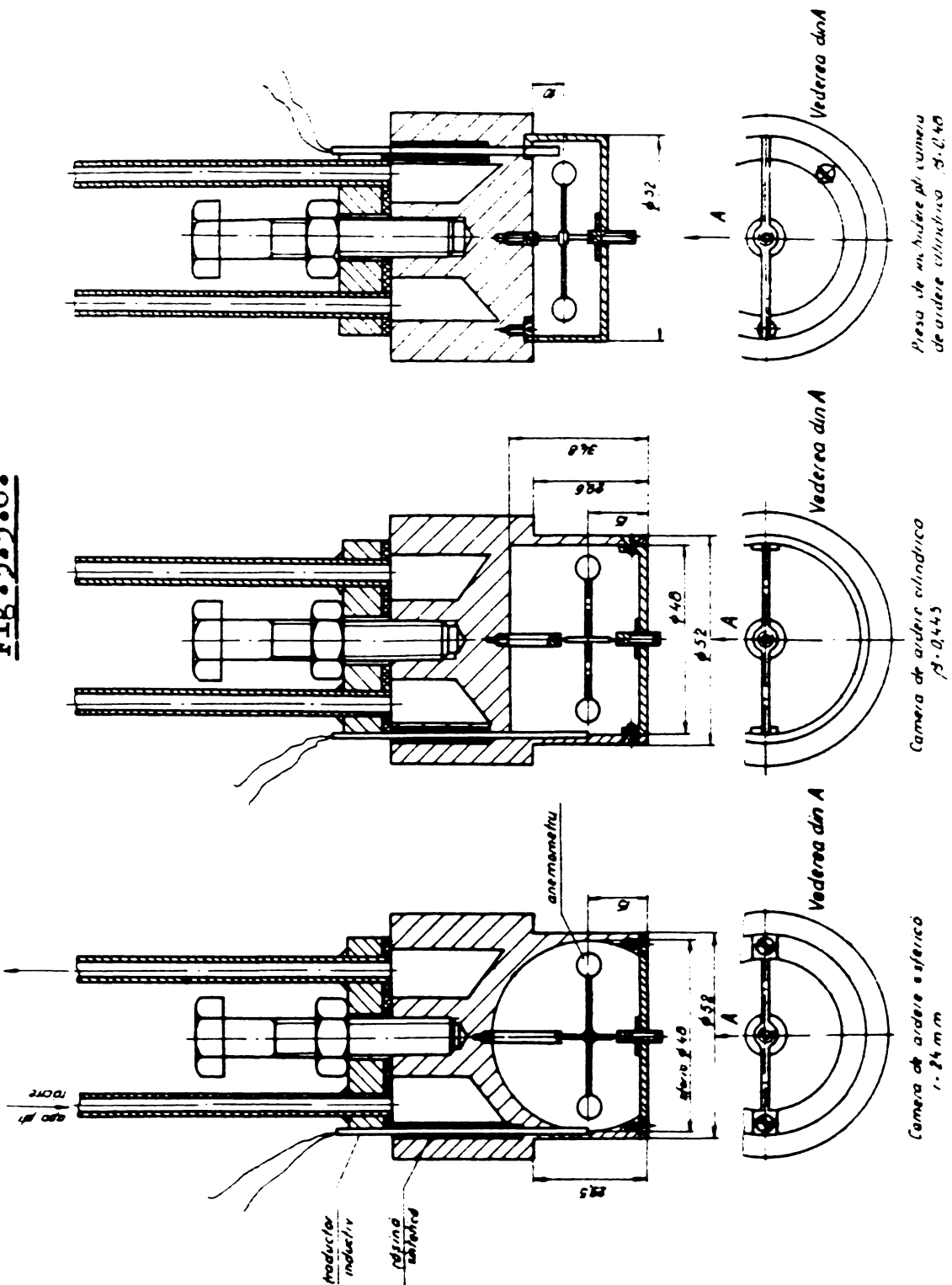


Fig.3.5.4.

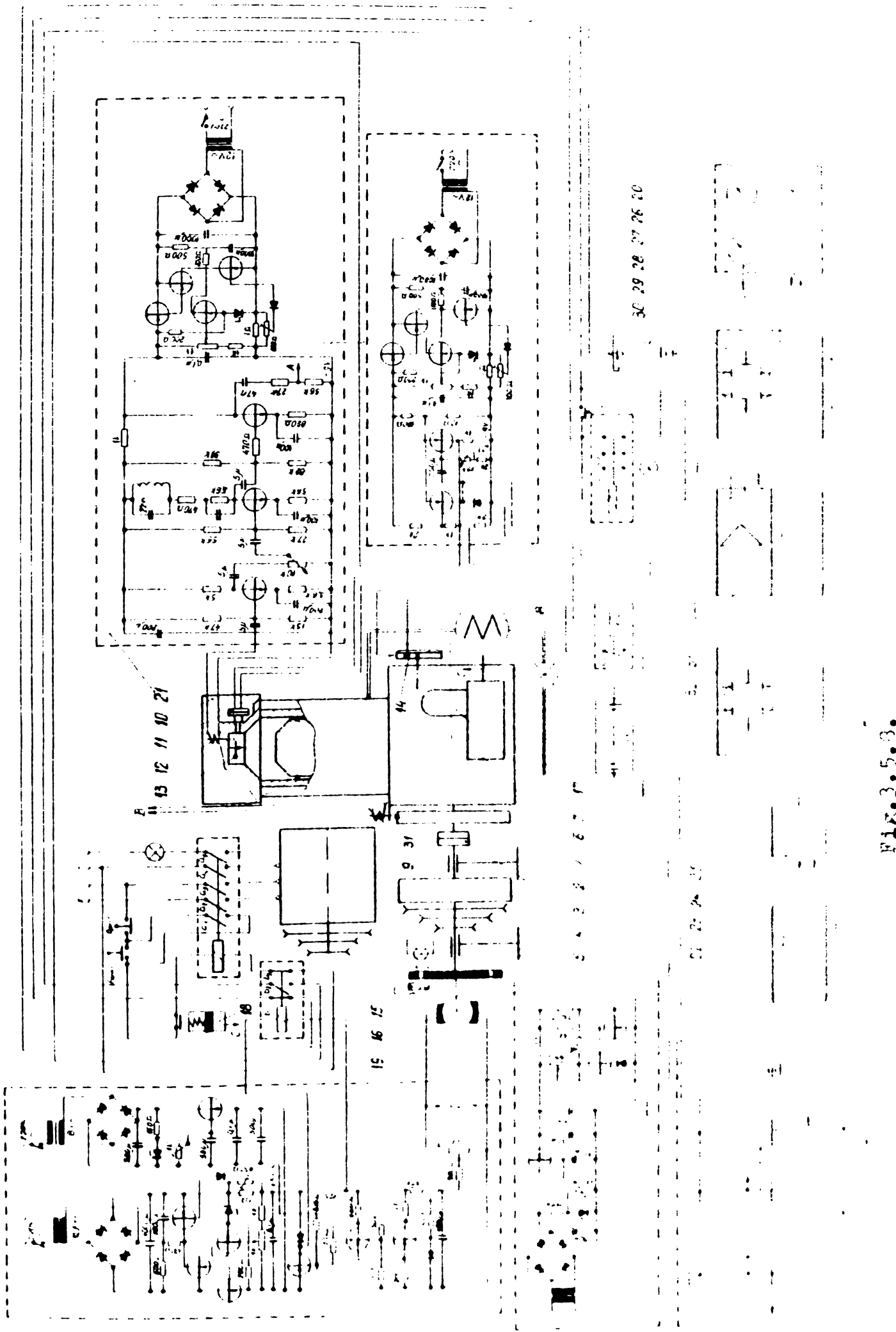
Fig. 3.5.6.



Prin urmare este posibil să se
deosebească cilindricul S-C-40

Cilindru de arbor cilindric
S-0443

Cilindru de arbor cilindric
1.24 mm



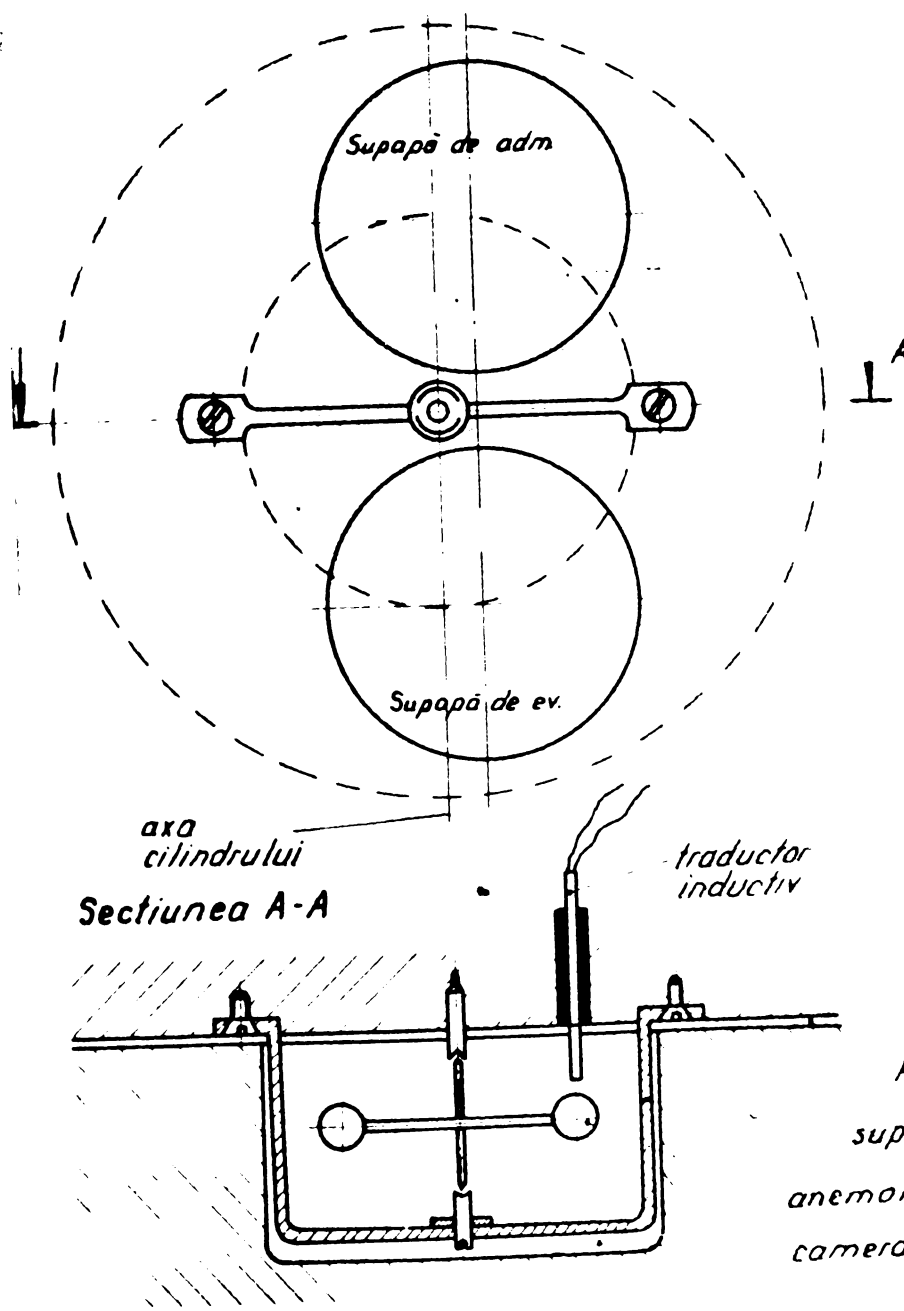
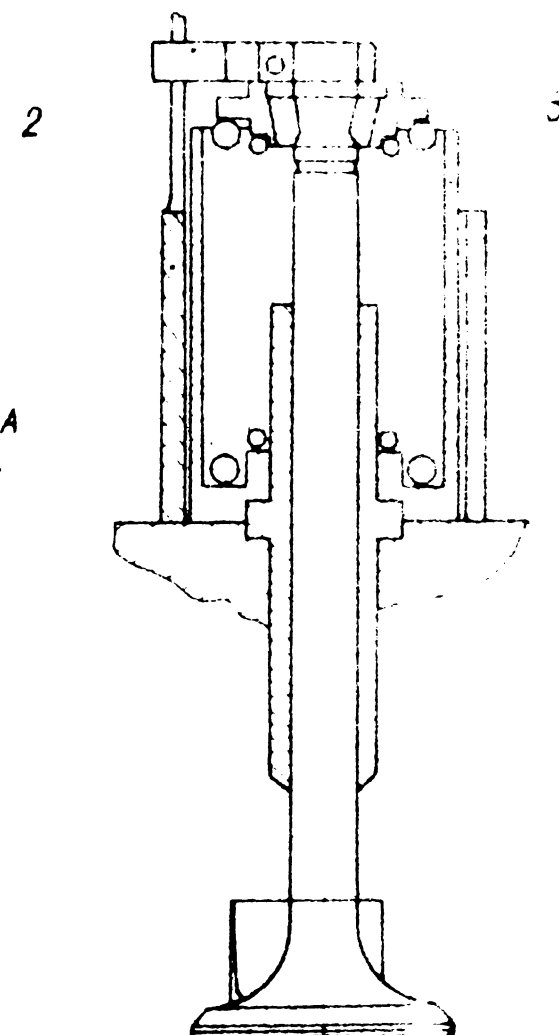


Fig. 3.5.6.-a



piston în PMI

suport

anemometru

camera de ardere

Fig. 3.5.7.



Fig. 3.5.8.

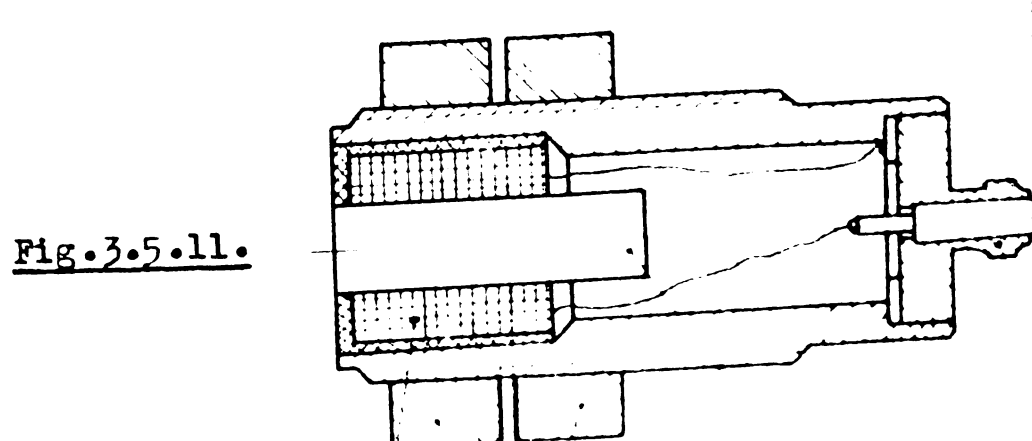


Fig. 3.5.11.

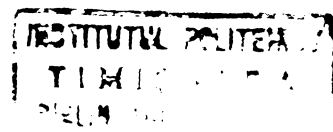
bobină prăjile de fixare

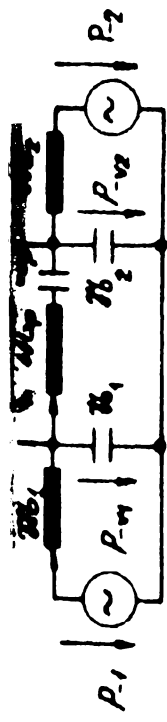
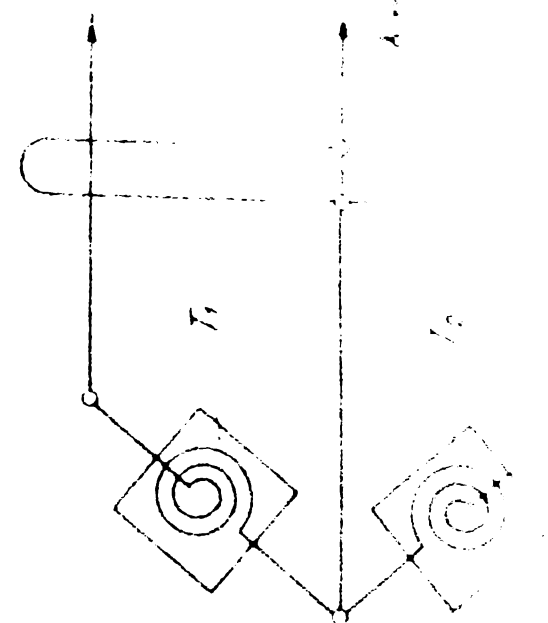
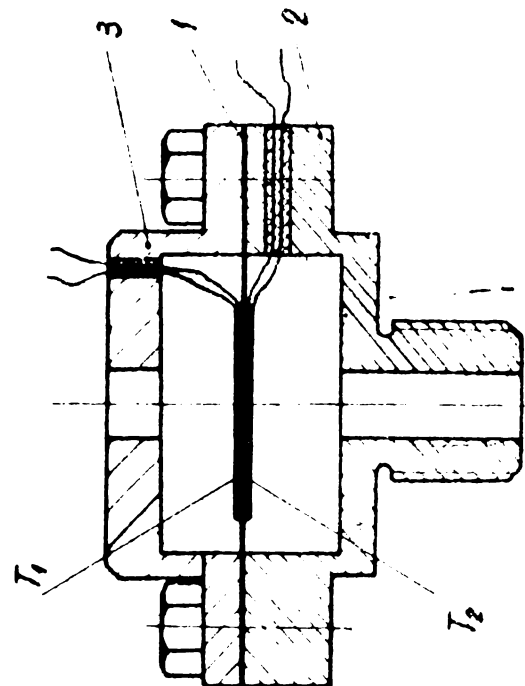
magnet permanent

o. 12



Fig. 3.5.10.





$$M_{b_v} = \rho_v \frac{V_v}{A_v^2}$$

ρ_v - densitatea mediului

a_v - vîrteo sunetului

l_v - lungimea canalului

A_v - suprafața transversală

V_v - volumul elastic de aer

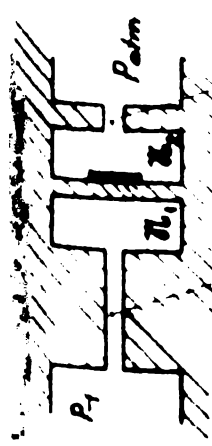
M_b - masa volumului de aer din galurile

V_b - cedarea volumului de aer din galurile

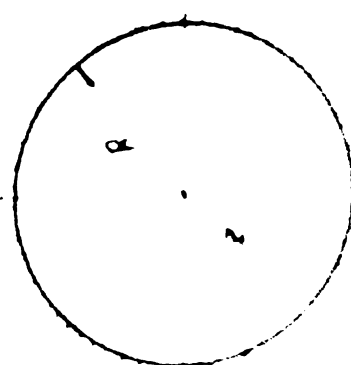
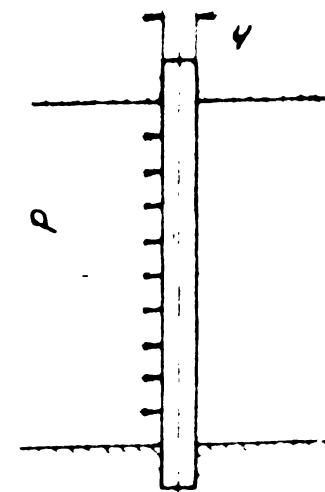
m_b - masă corespunzătoare
airilor cu un presiune de
presiune

m_{b_1} - masă rândului de compensare
a presiunii

m_1, m_2 - masă corespunzătoare
presiunii și volumului
de aer în galuri



m_1



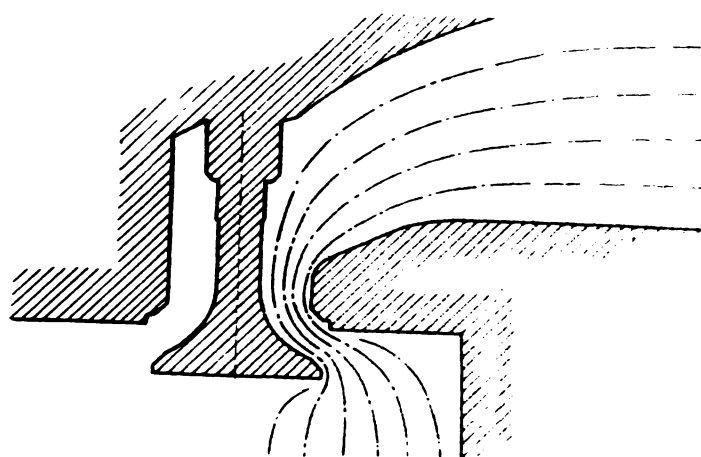


Fig.5.2.1.

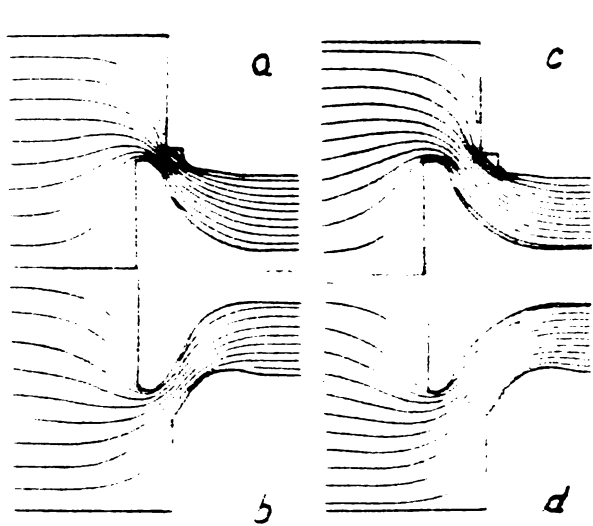


Fig.5.2.2.

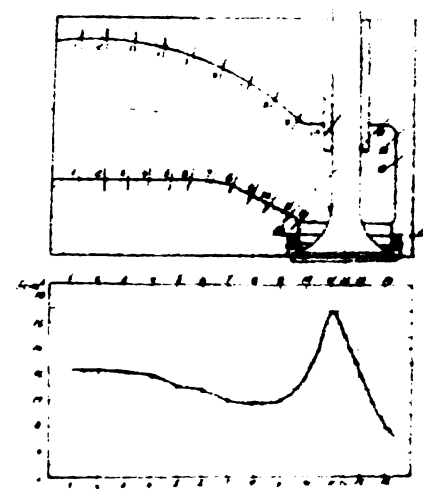


Fig.5.2.3.

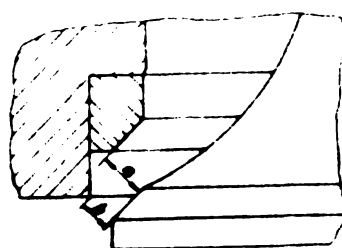


Fig.5.2.5.

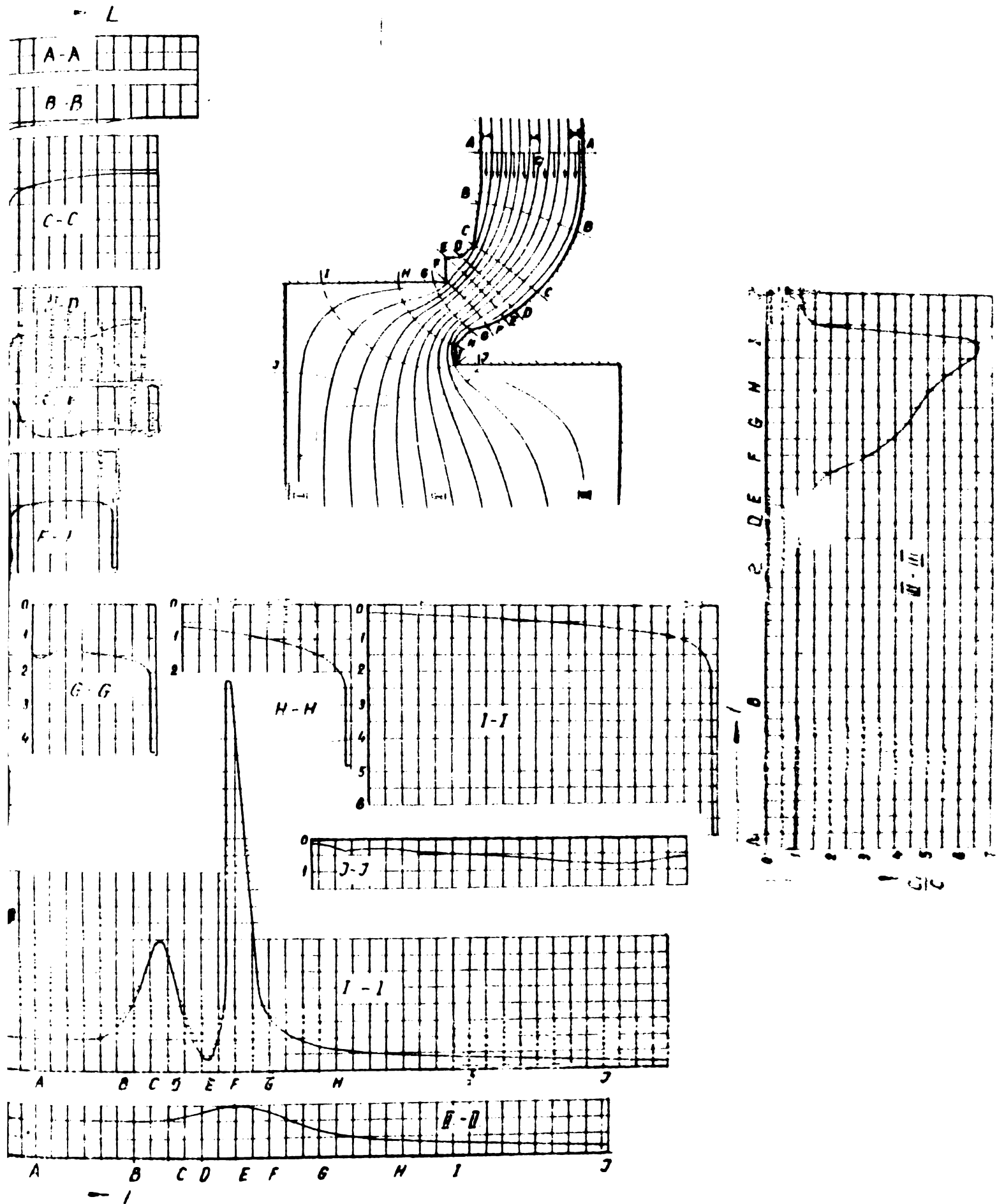


Fig. 5.2.4.

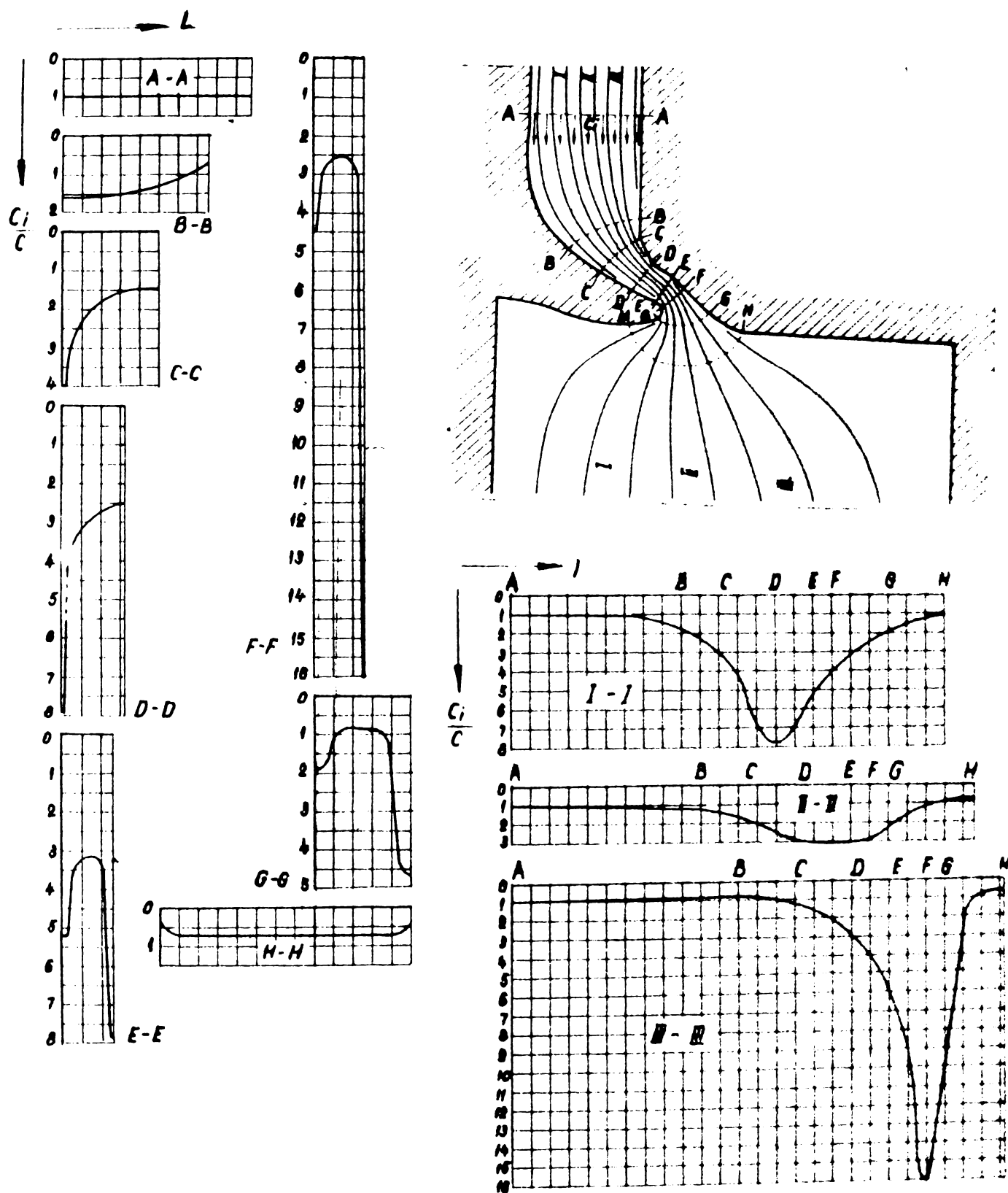


Fig. 5.2.6.

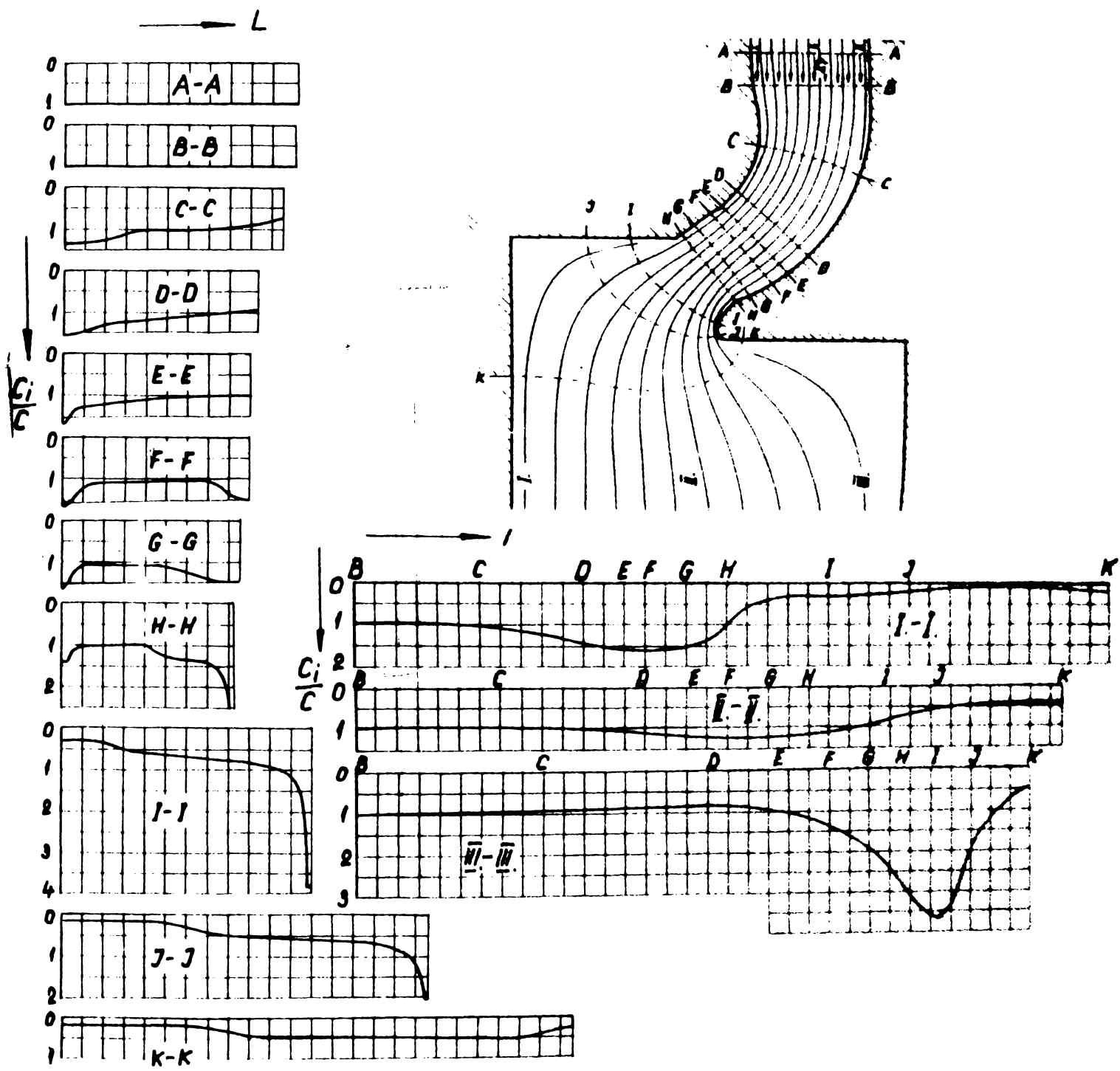


Fig. 5.2.1.

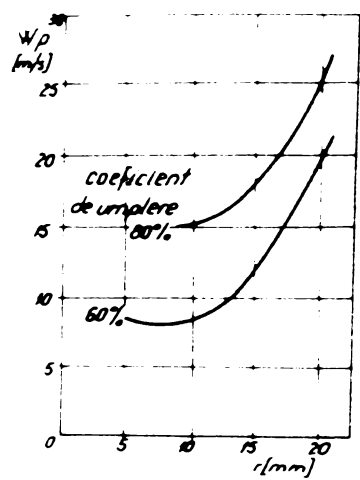


Fig. 5.3.1

Fig. 5.3.1.

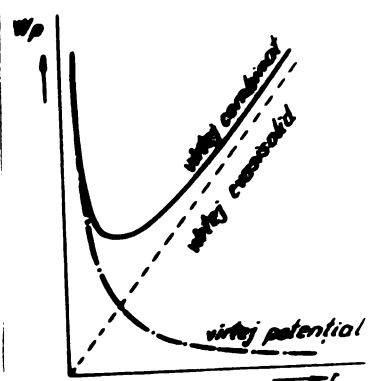


Fig. 5.3.2

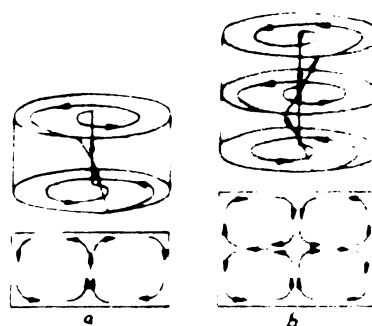


Fig. 5.3.3

Fig. 5.3.2.

Fig. 5.3.3.



Fig.5.3.4.-a



Fig.5.3.4.-b



Fig.5.3.4.-c



Fig.5.3.5.



Fig.5.3.6.-a



Fig.5.3.6.-b



Fig.5.3.6.-c

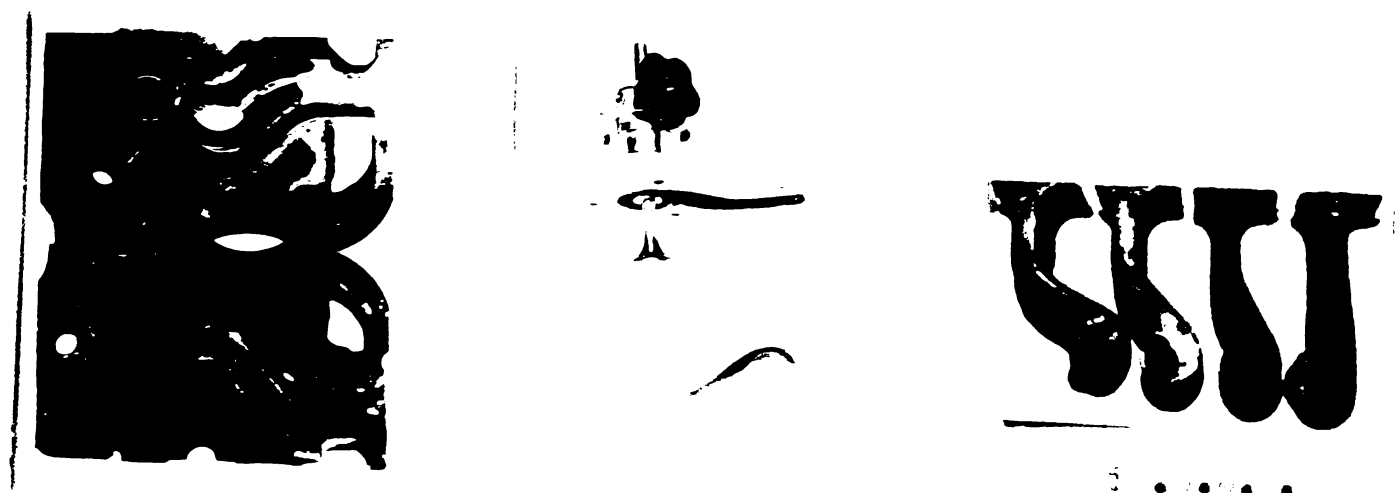


Fig. 5.4.1.-a

Fig. 5.4.1.-b

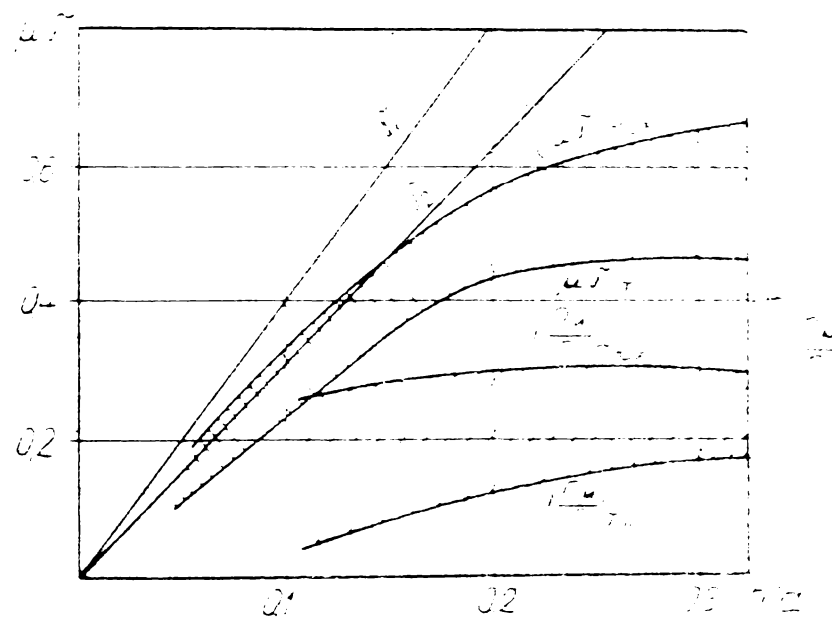


Fig. 5.4.1.-c



Fig. 5.4.1.-d

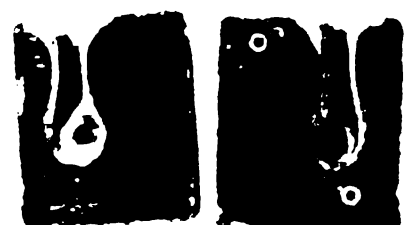


Fig. 5.4.2.-a



Fig. 5.4.2.-b

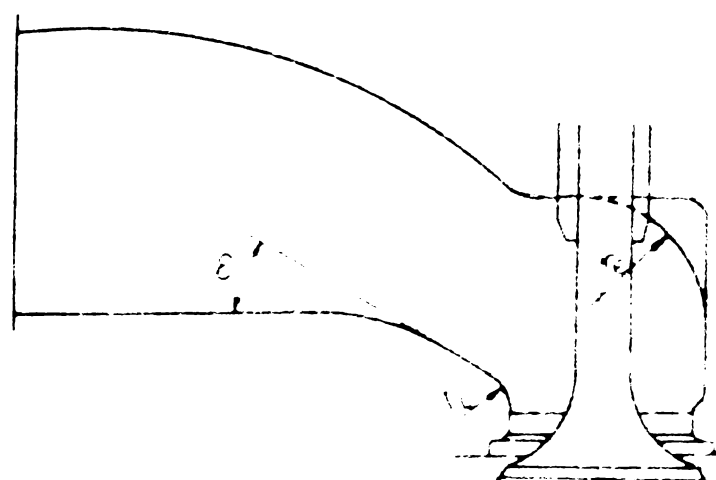
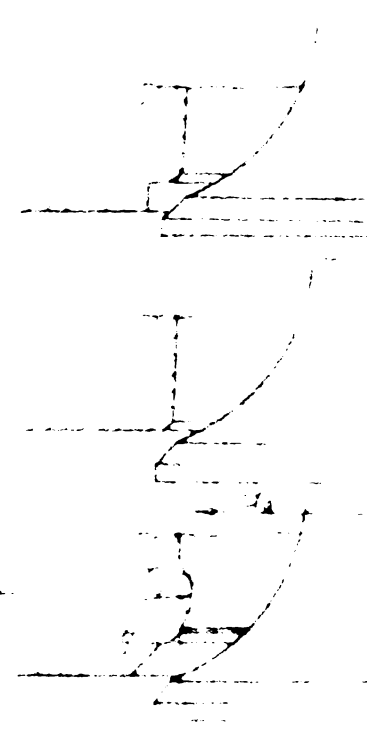


Fig. 5.4.5.



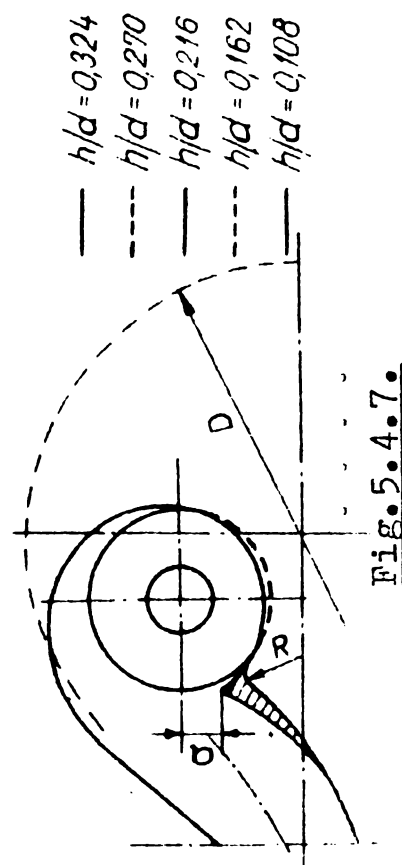
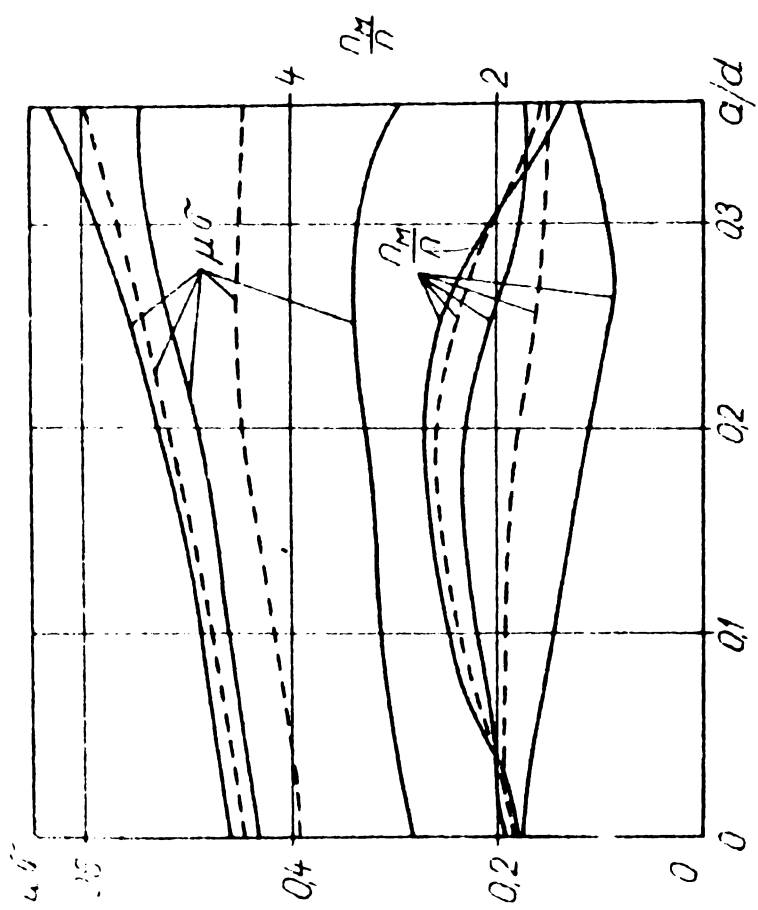
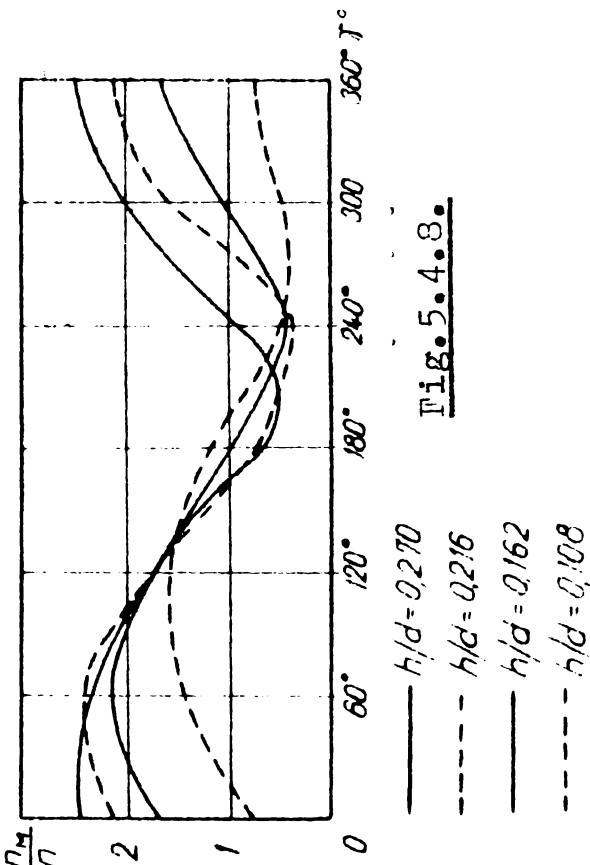
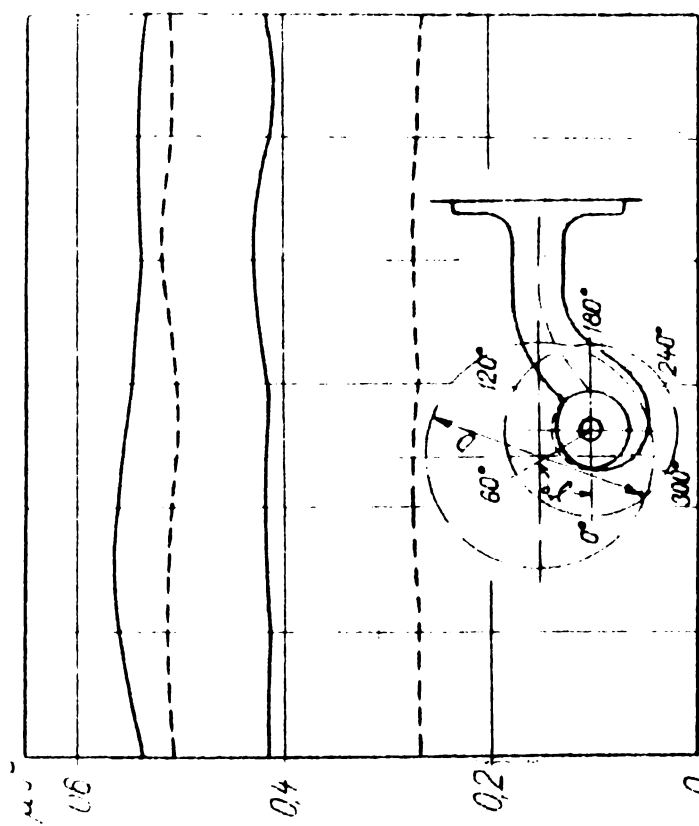


Fig. 5.4.7.

Fig. 5.4.8.

- $h/d = 0.270$
- - - $h/d = 0.216$
- $h/d = 0.162$
- - - $h/d = 0.108$

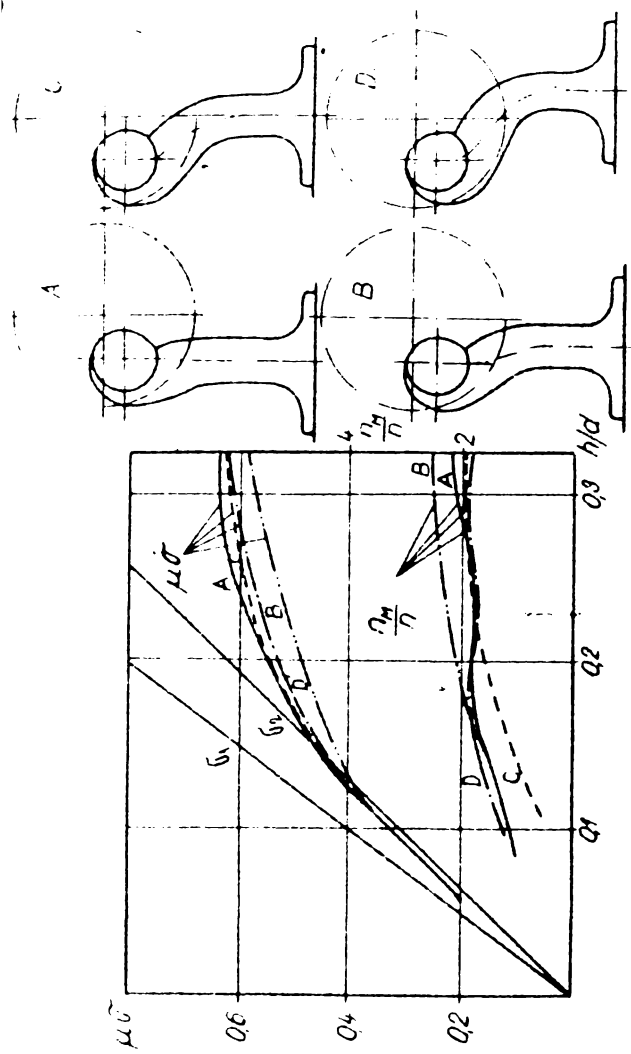


Fig. 5.4.10.

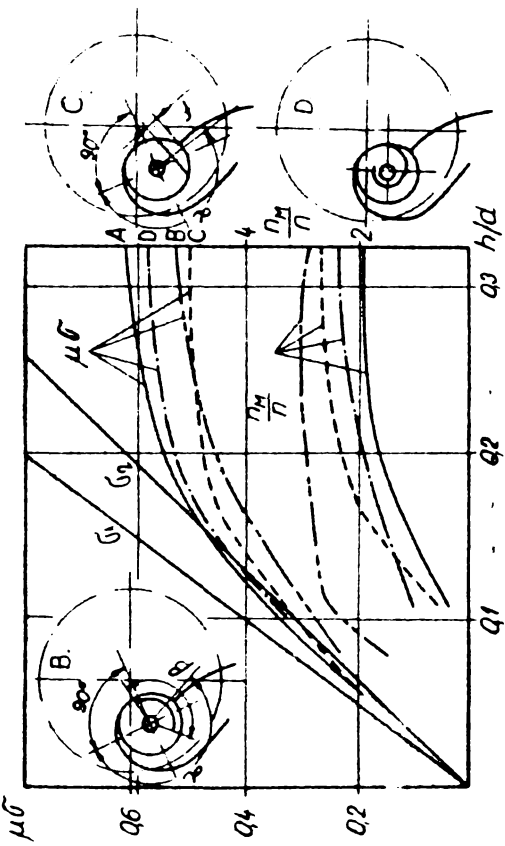


Fig. 5.4.11.

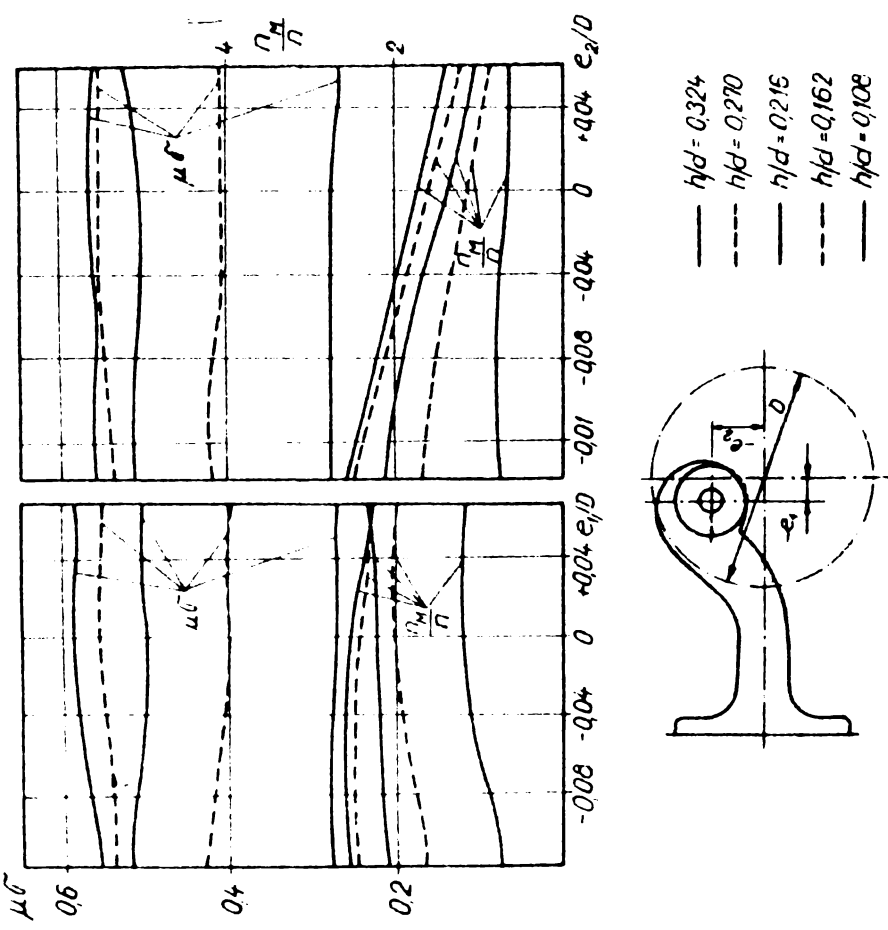
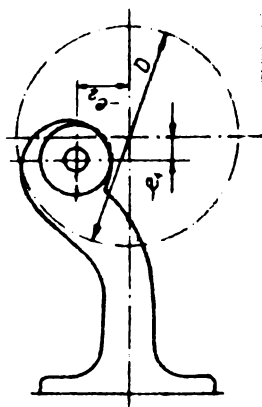


Fig. 5.4.9g



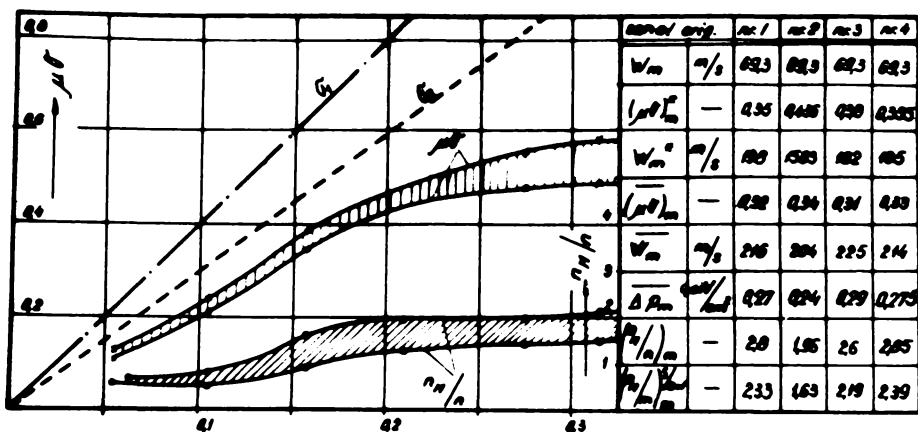


Fig. 5.4.1.3.-a

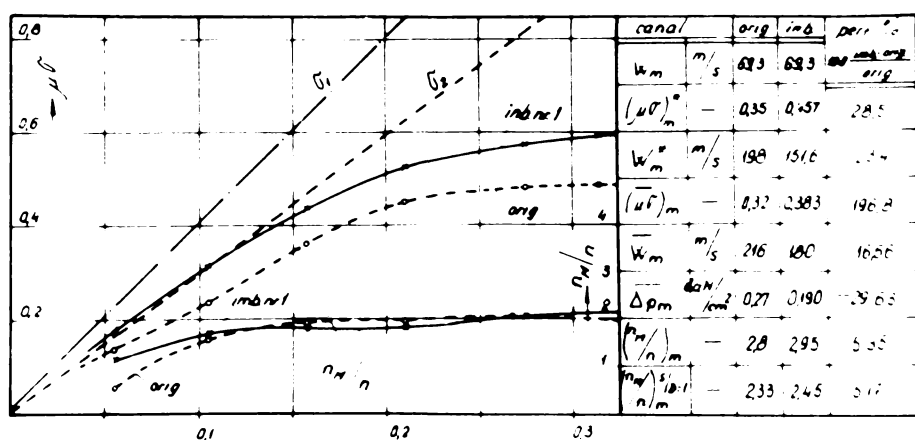


Fig. 5.4.1.3.-b

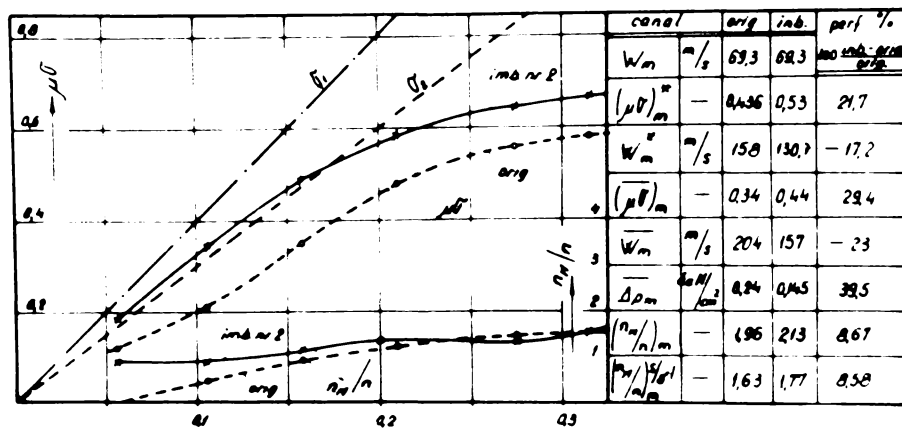
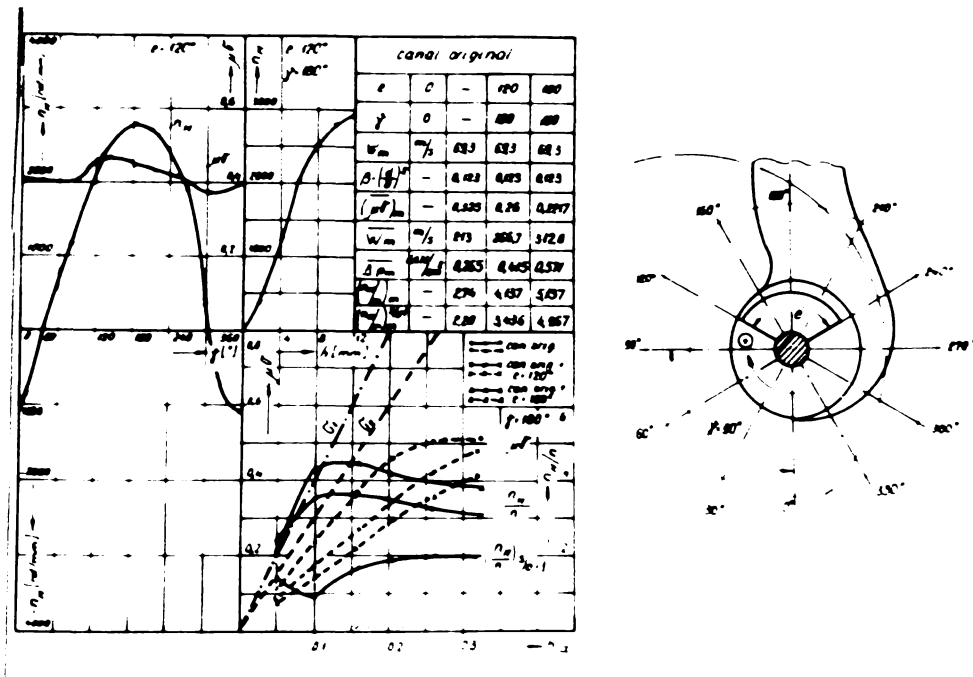
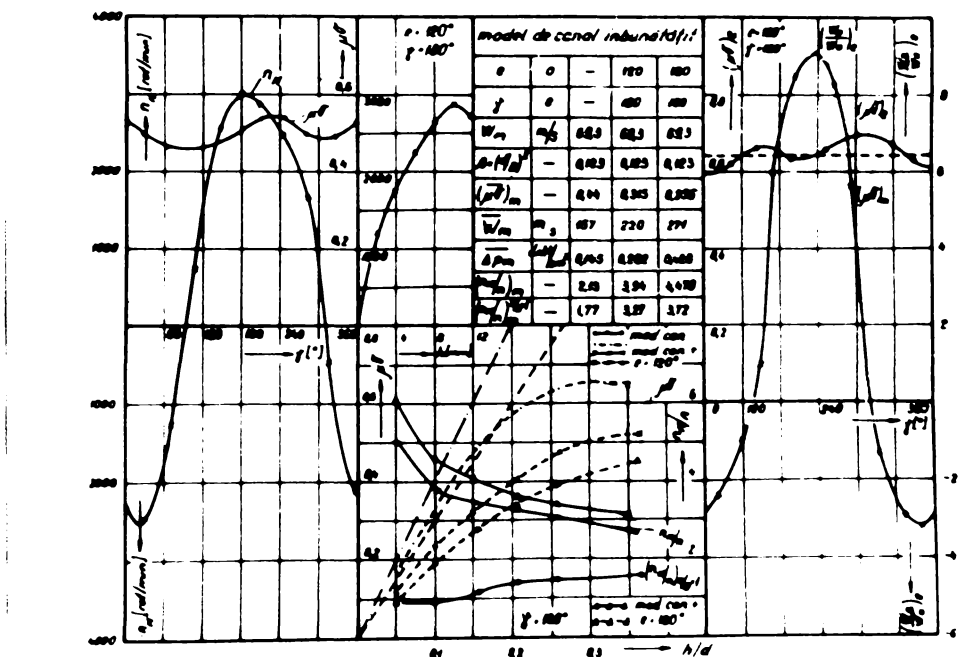


Fig. 5.4.1.3.-c



1305040120



1305040140

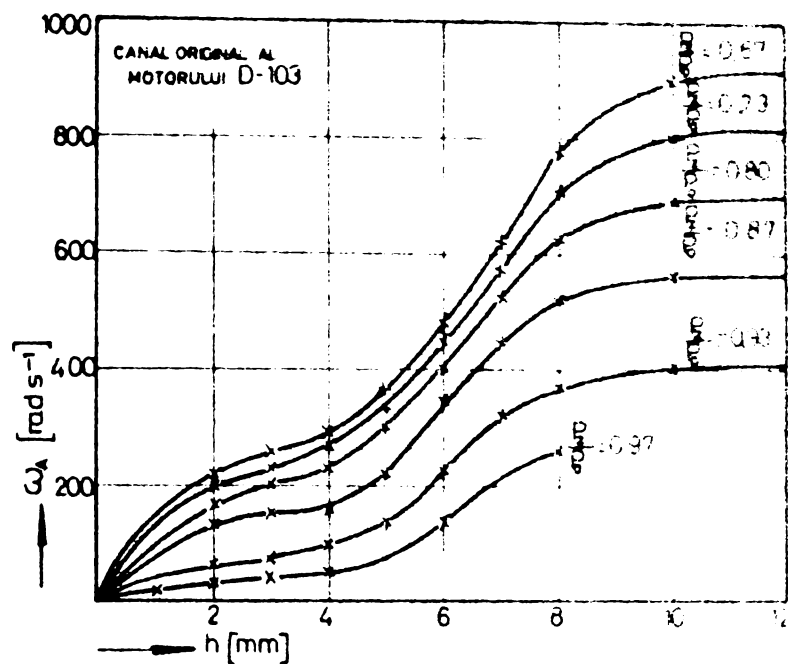
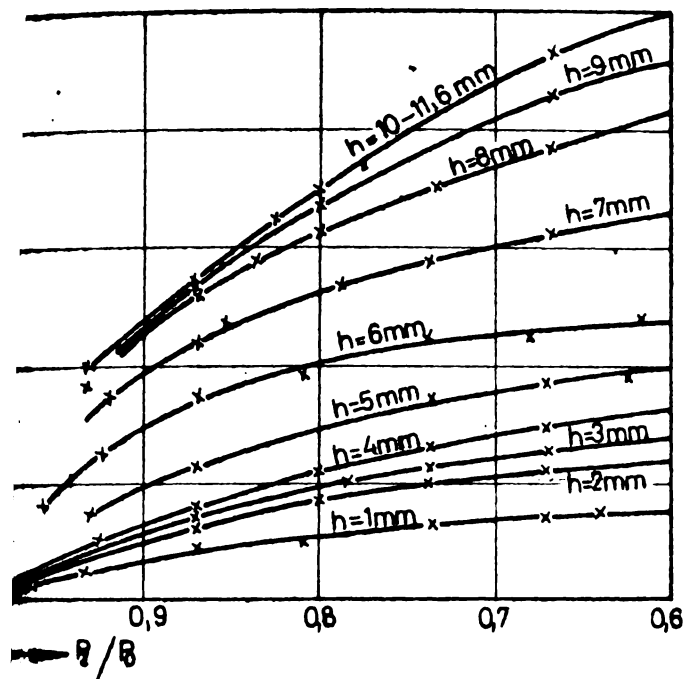


Fig. 5.5.1.

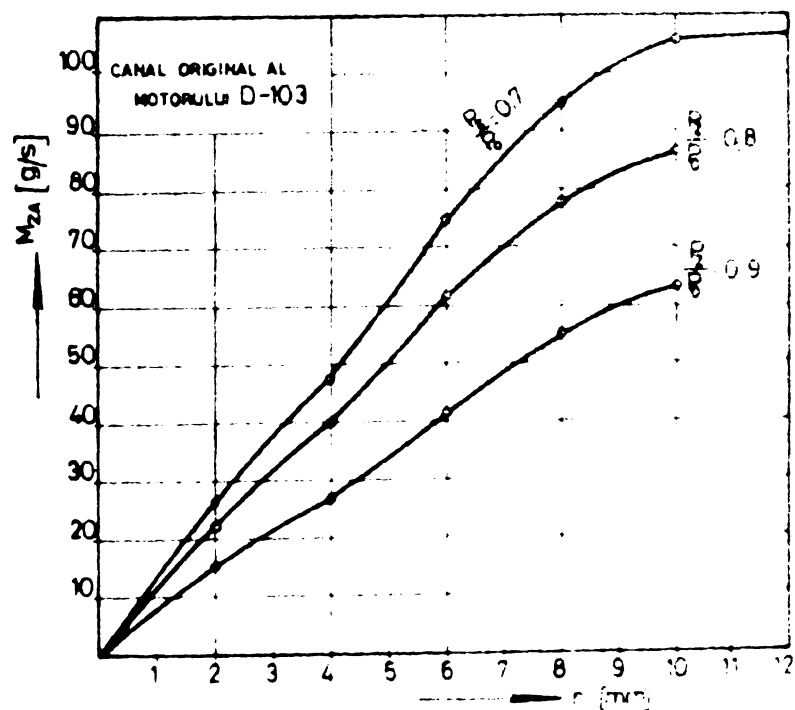
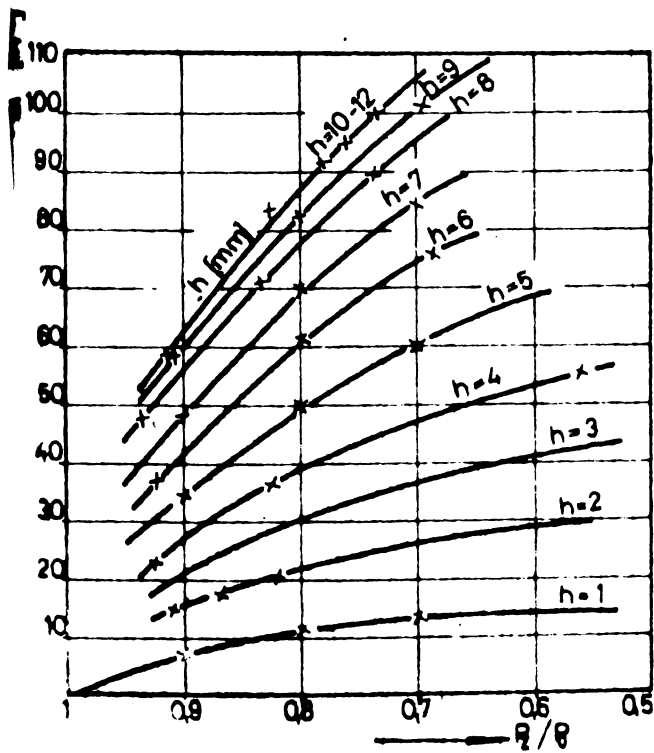


Fig. 5.5.2.

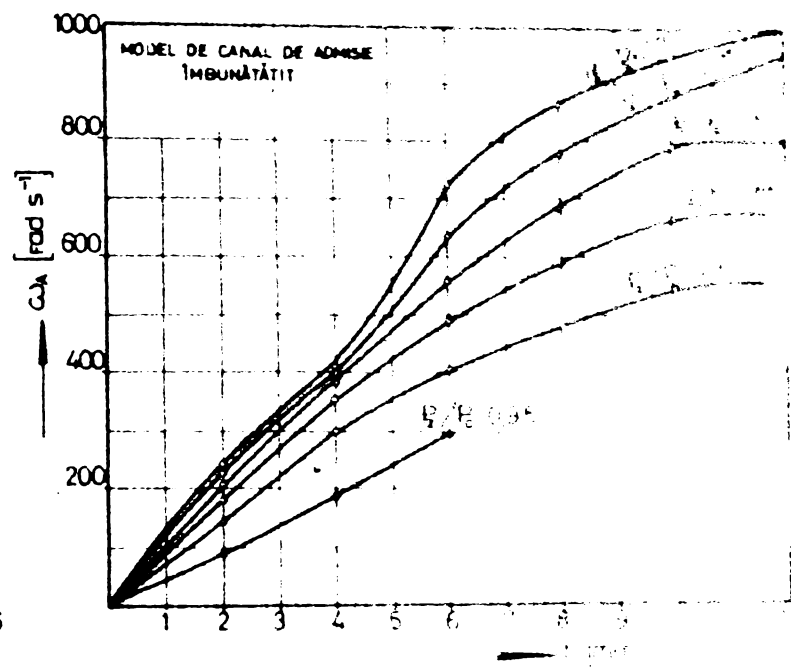
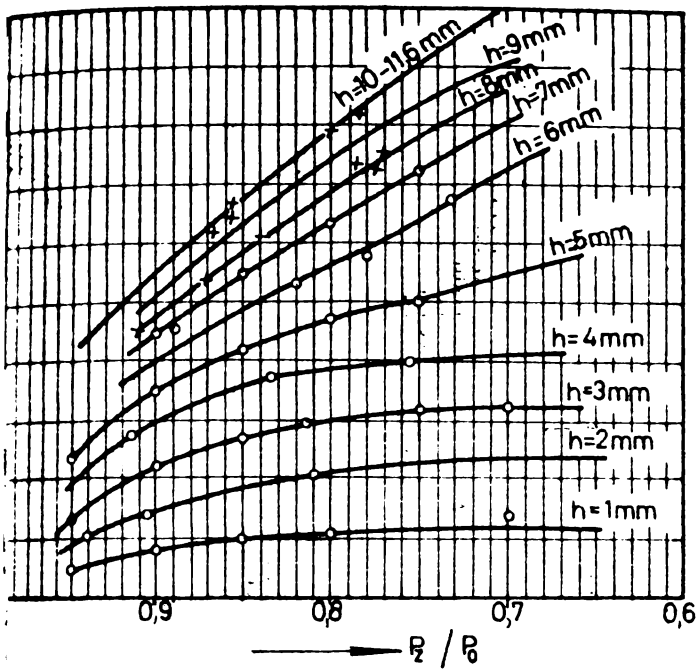


Fig. 5.5.3.

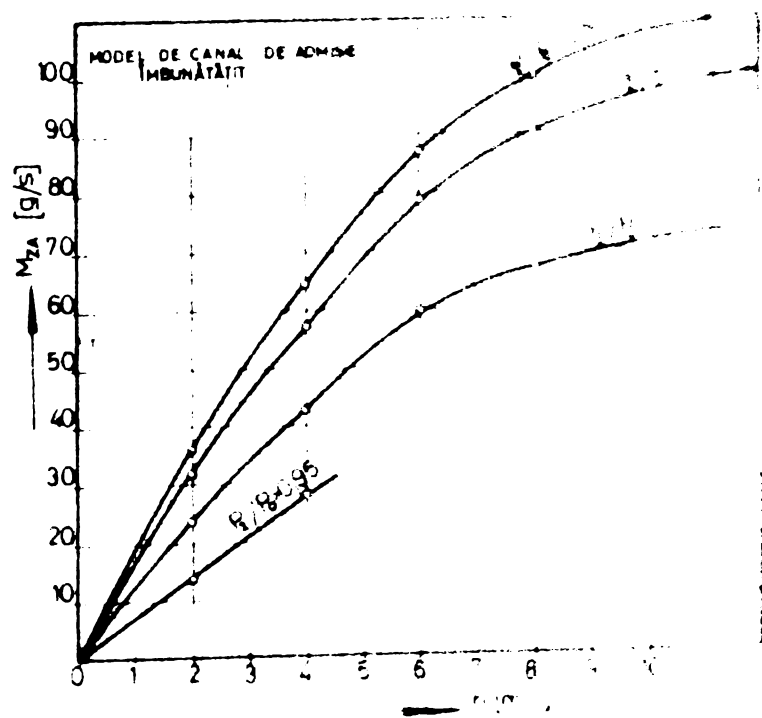
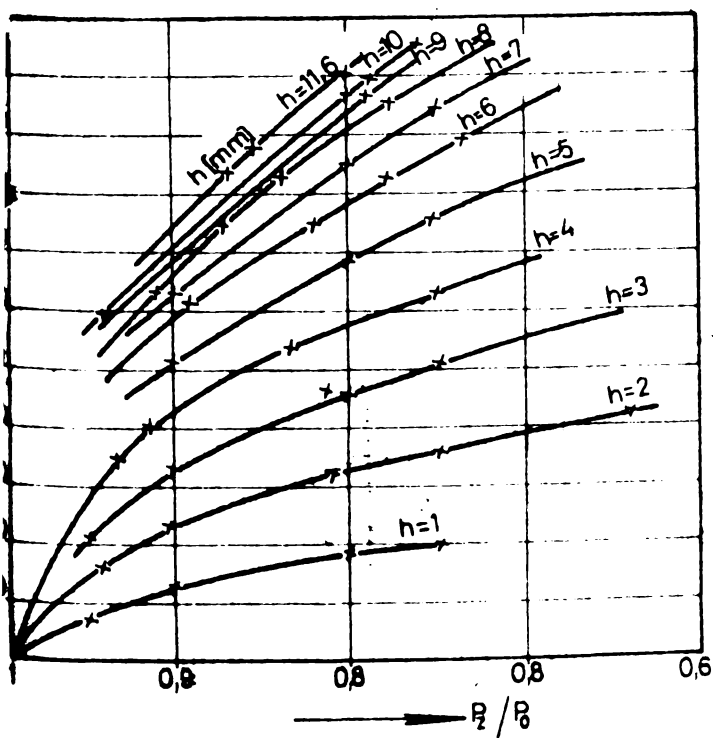


Fig. 5.5.4.

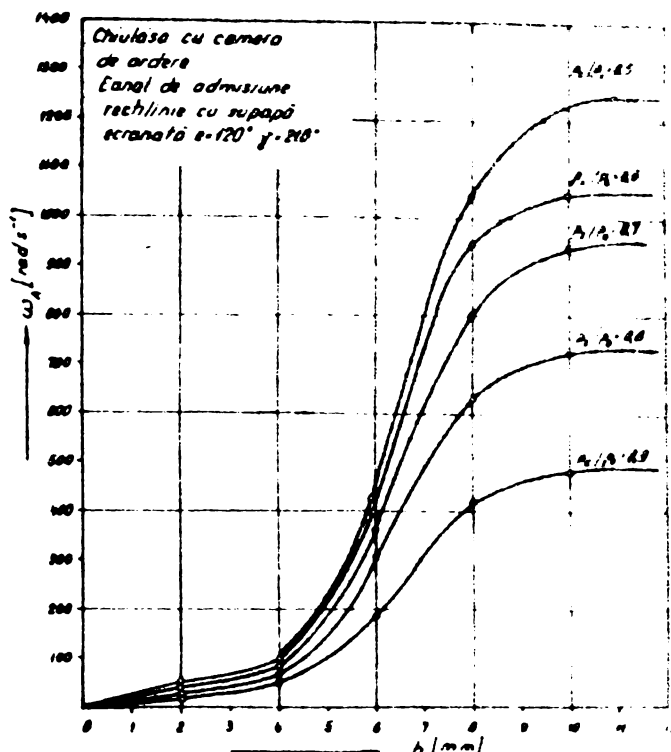
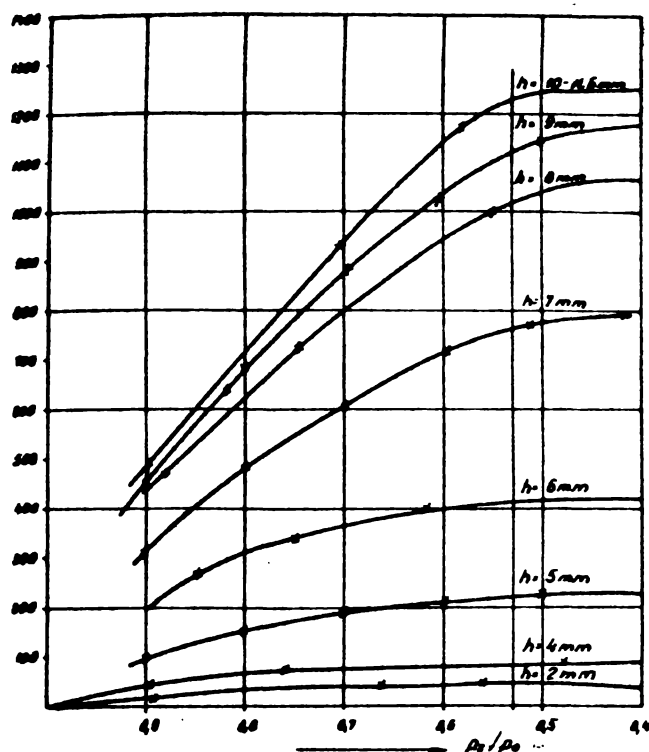


Fig. 5.5.5.

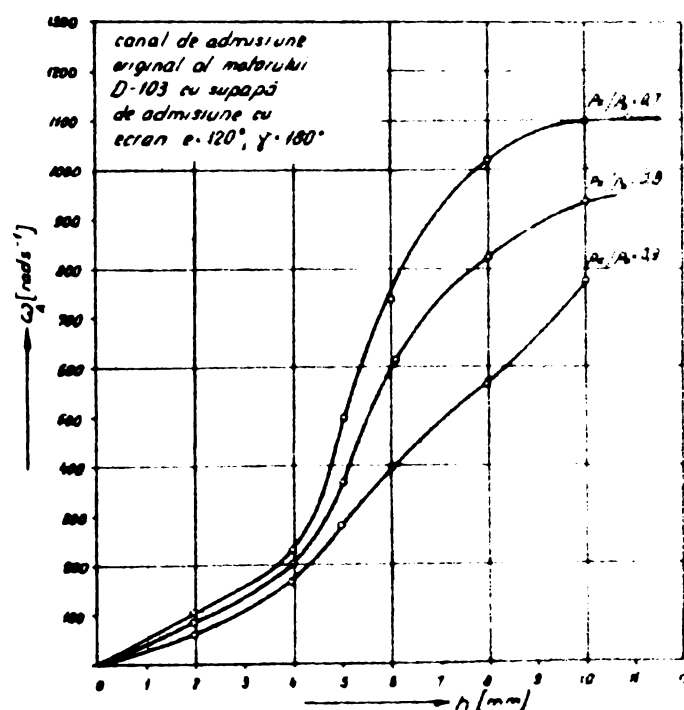
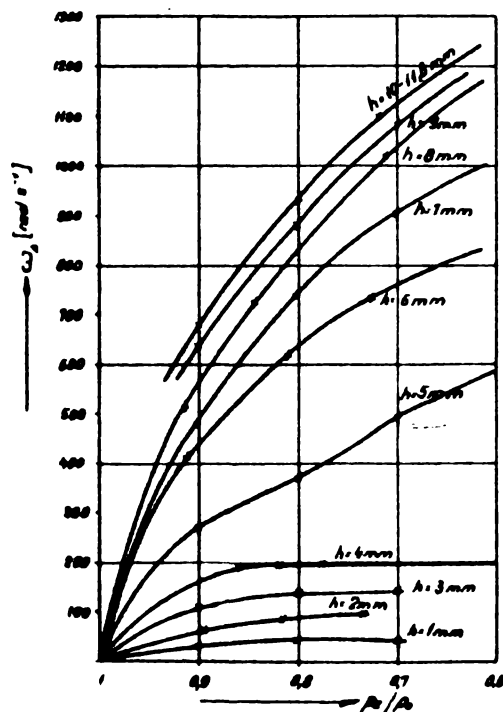


Fig. 5.5.6.

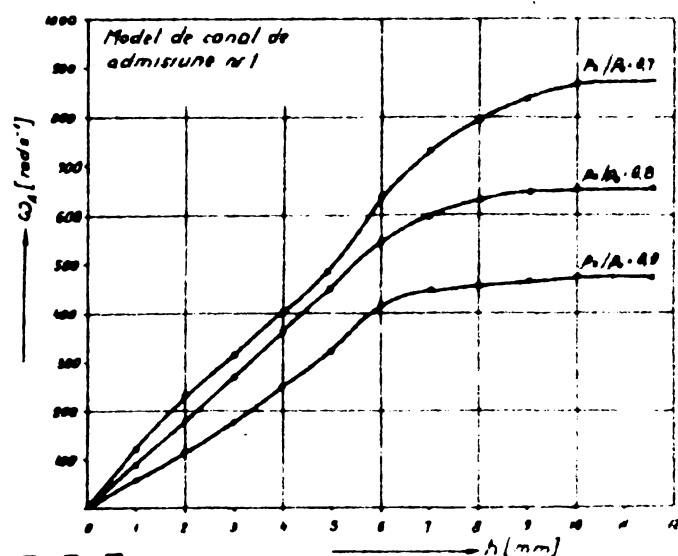
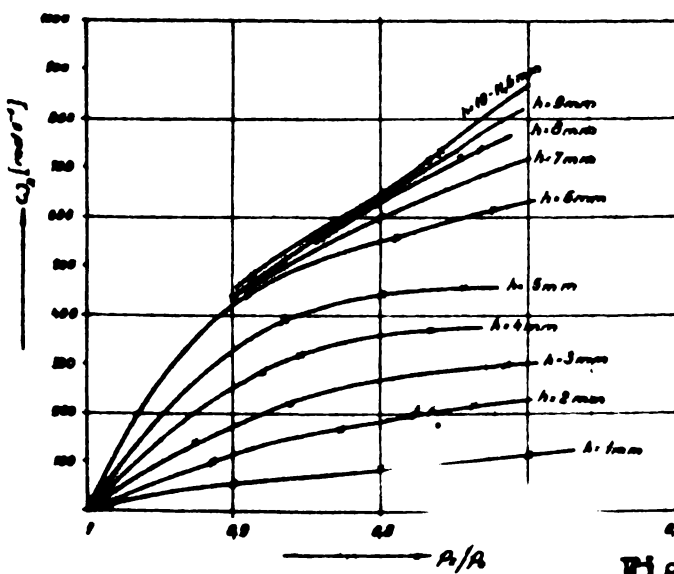


Fig. 5.5.7.

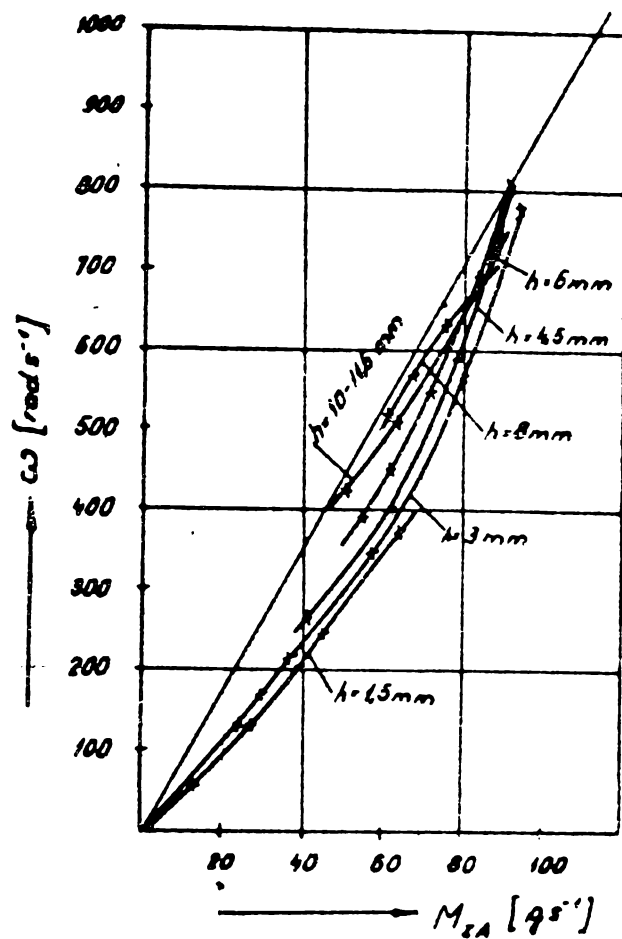


Fig. 5.5.8.

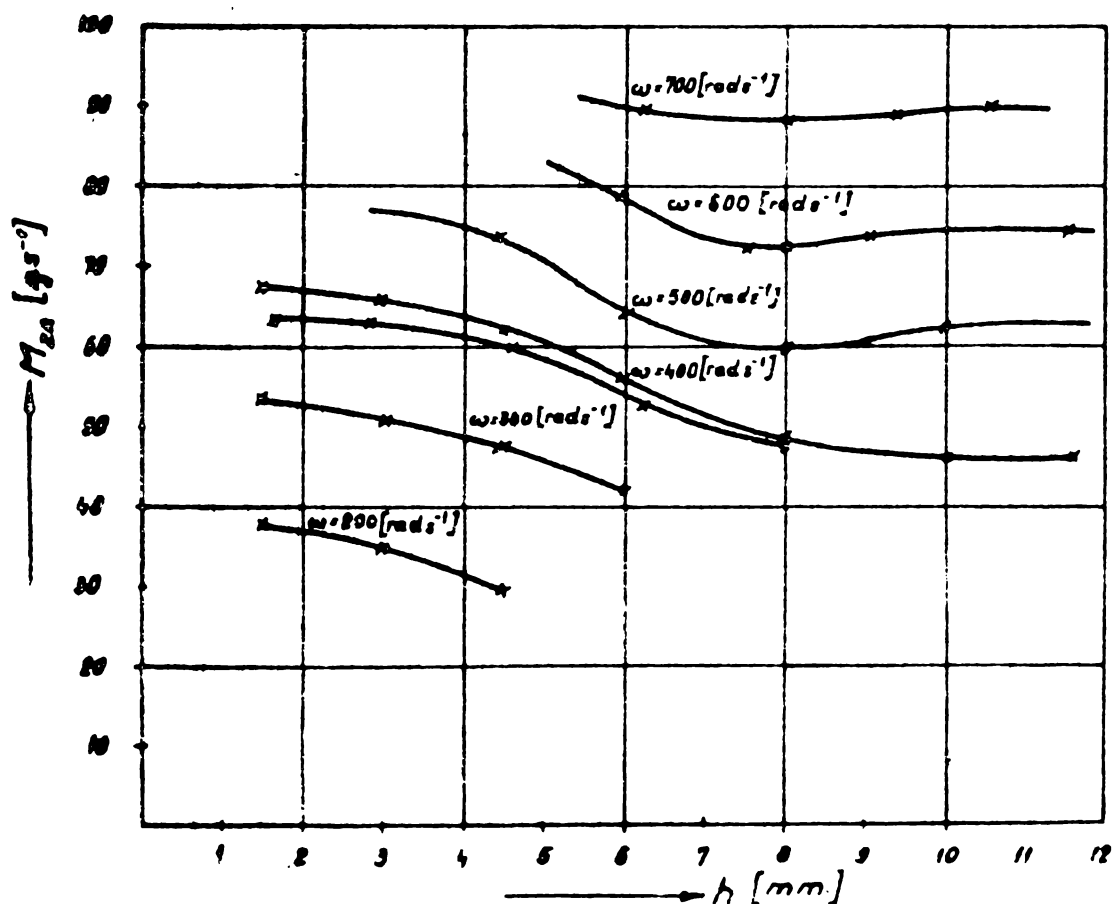


Fig. 5.5.9.

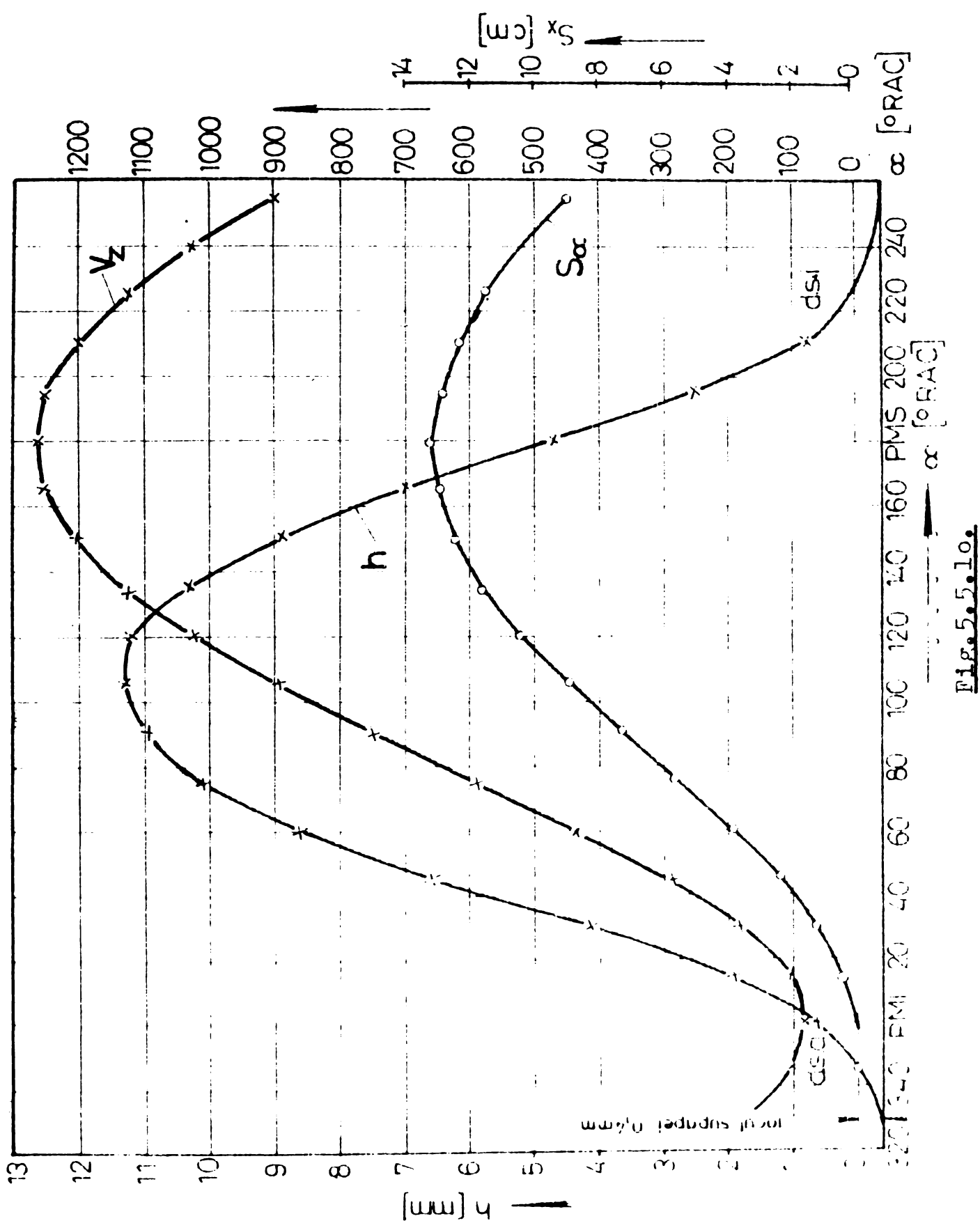
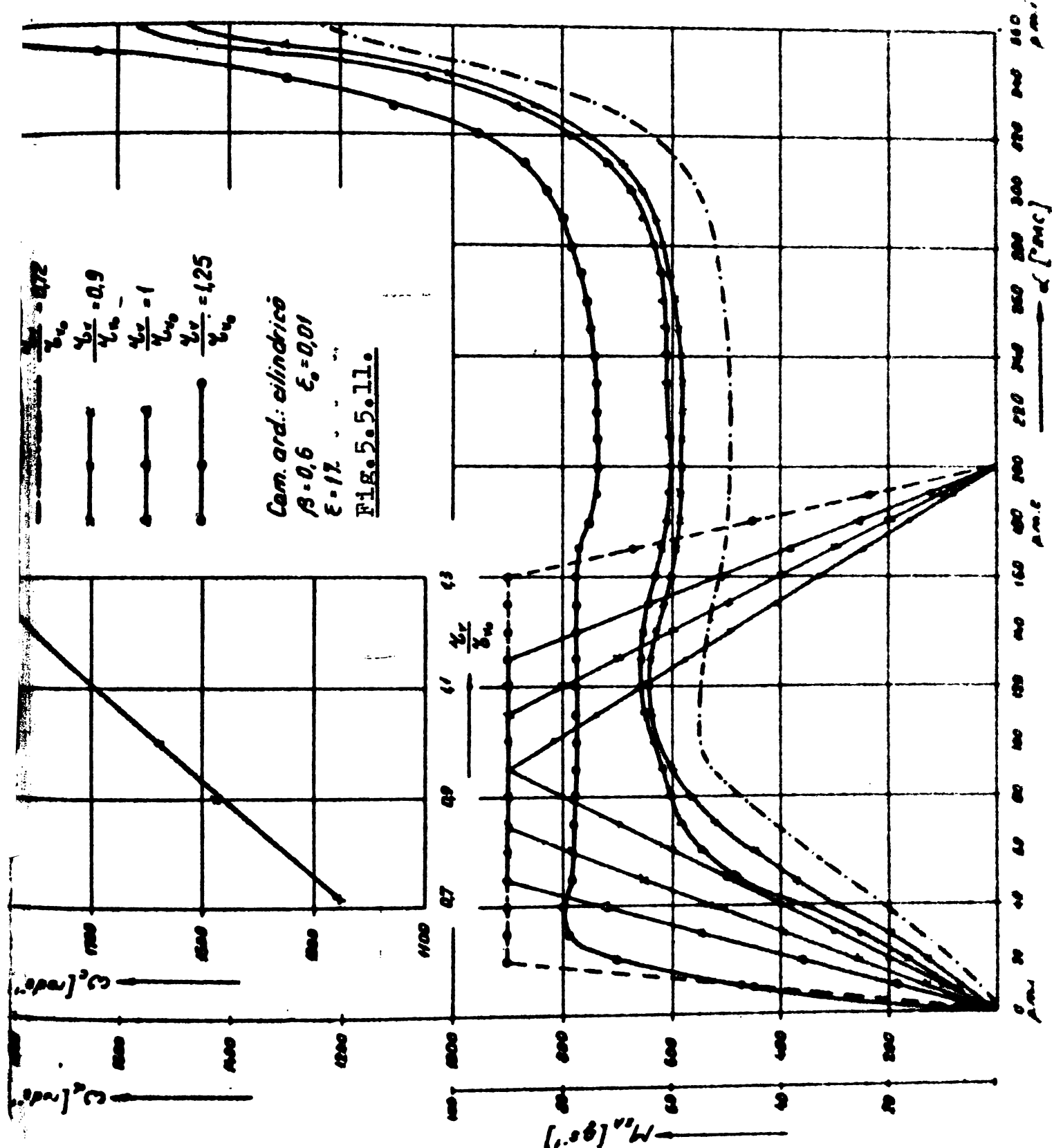
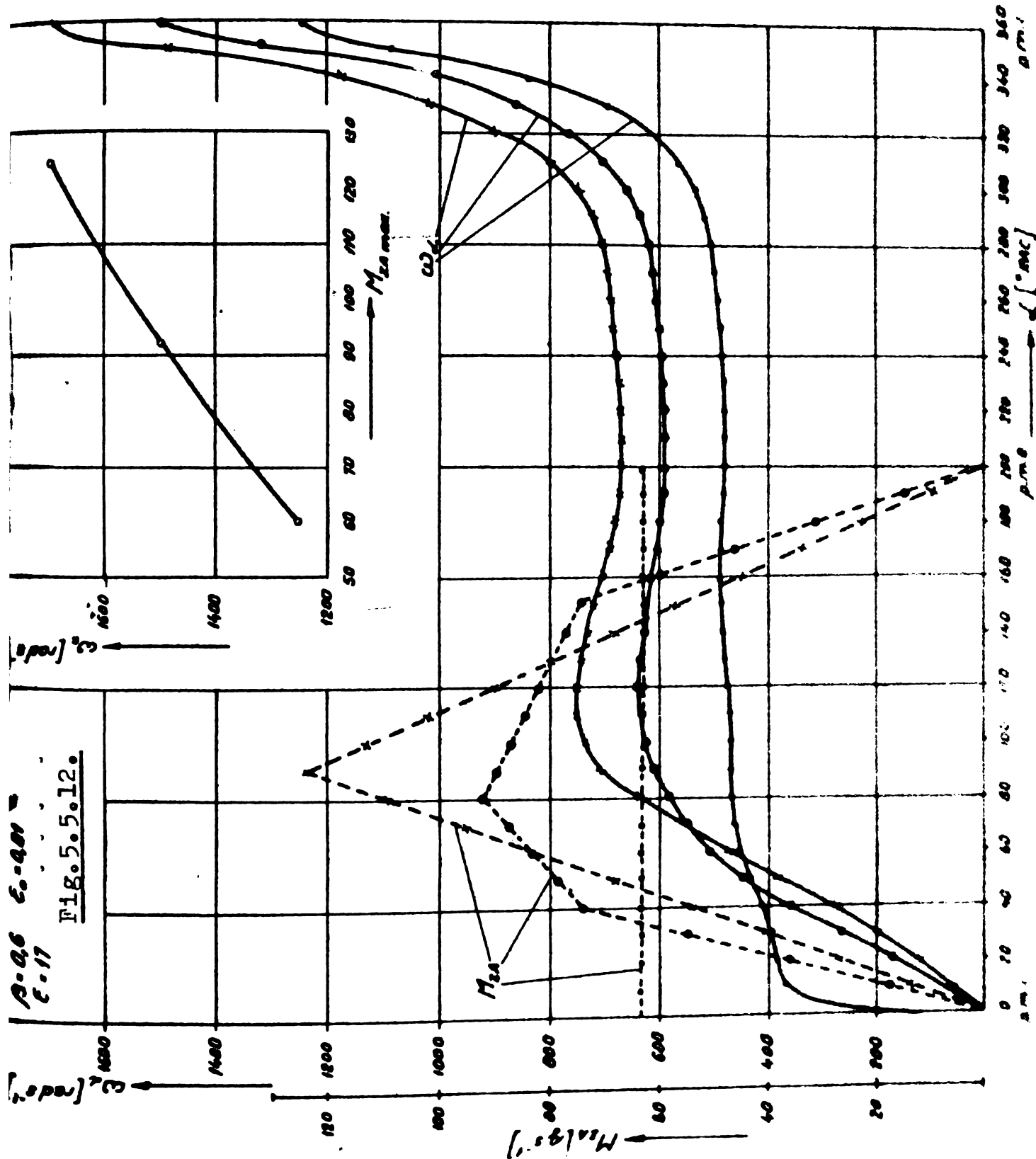


Fig. 5.5.10.





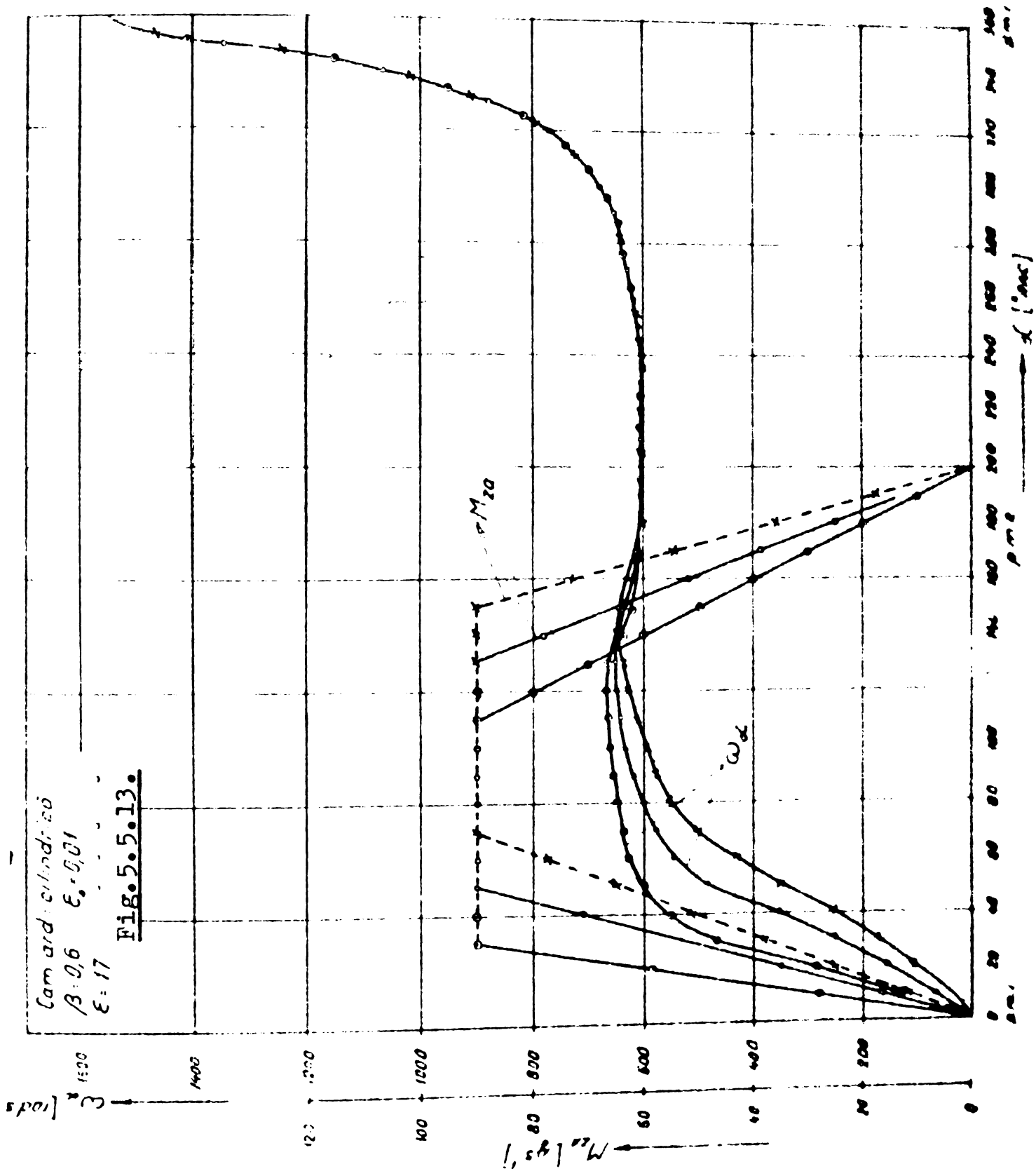
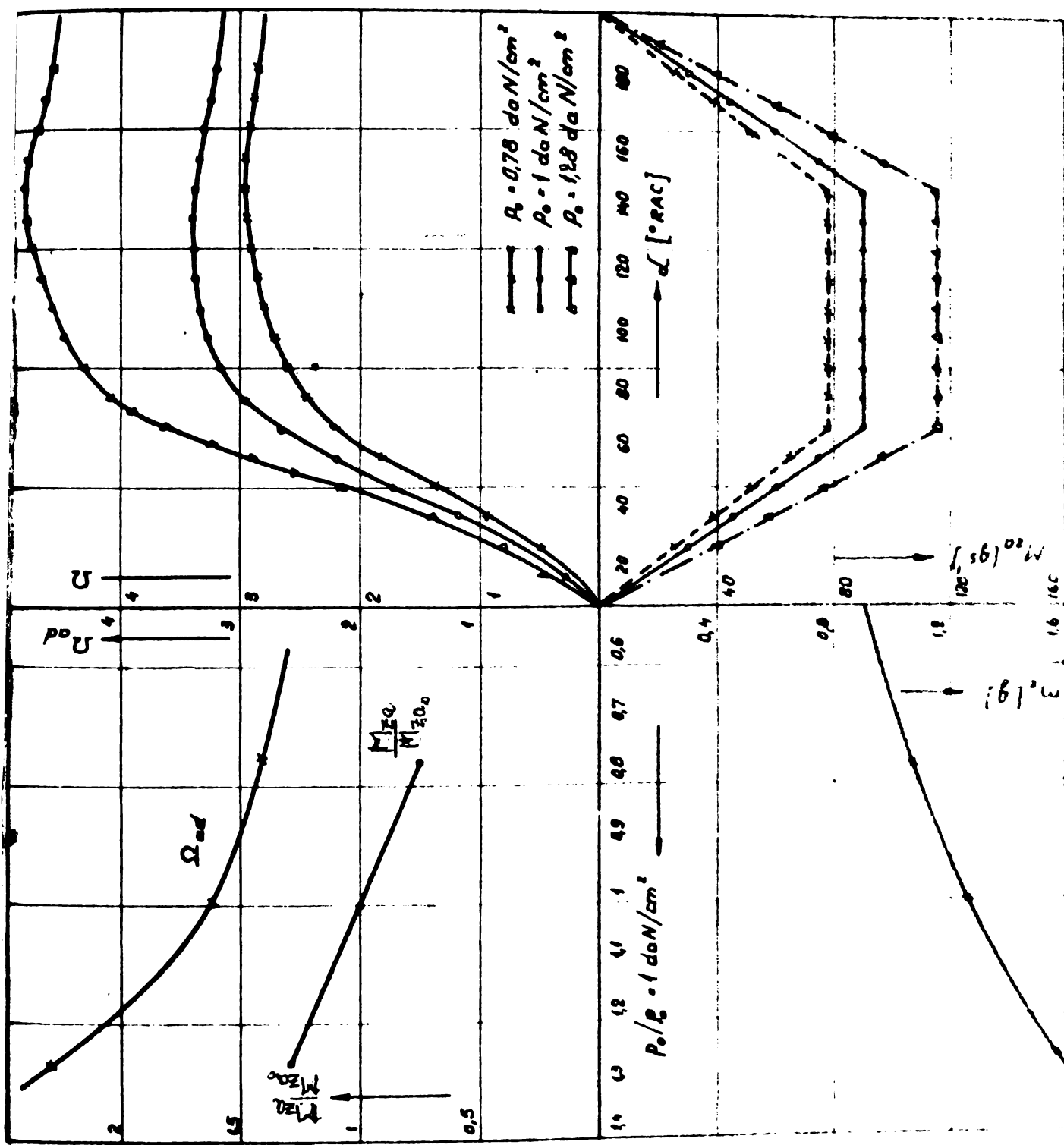
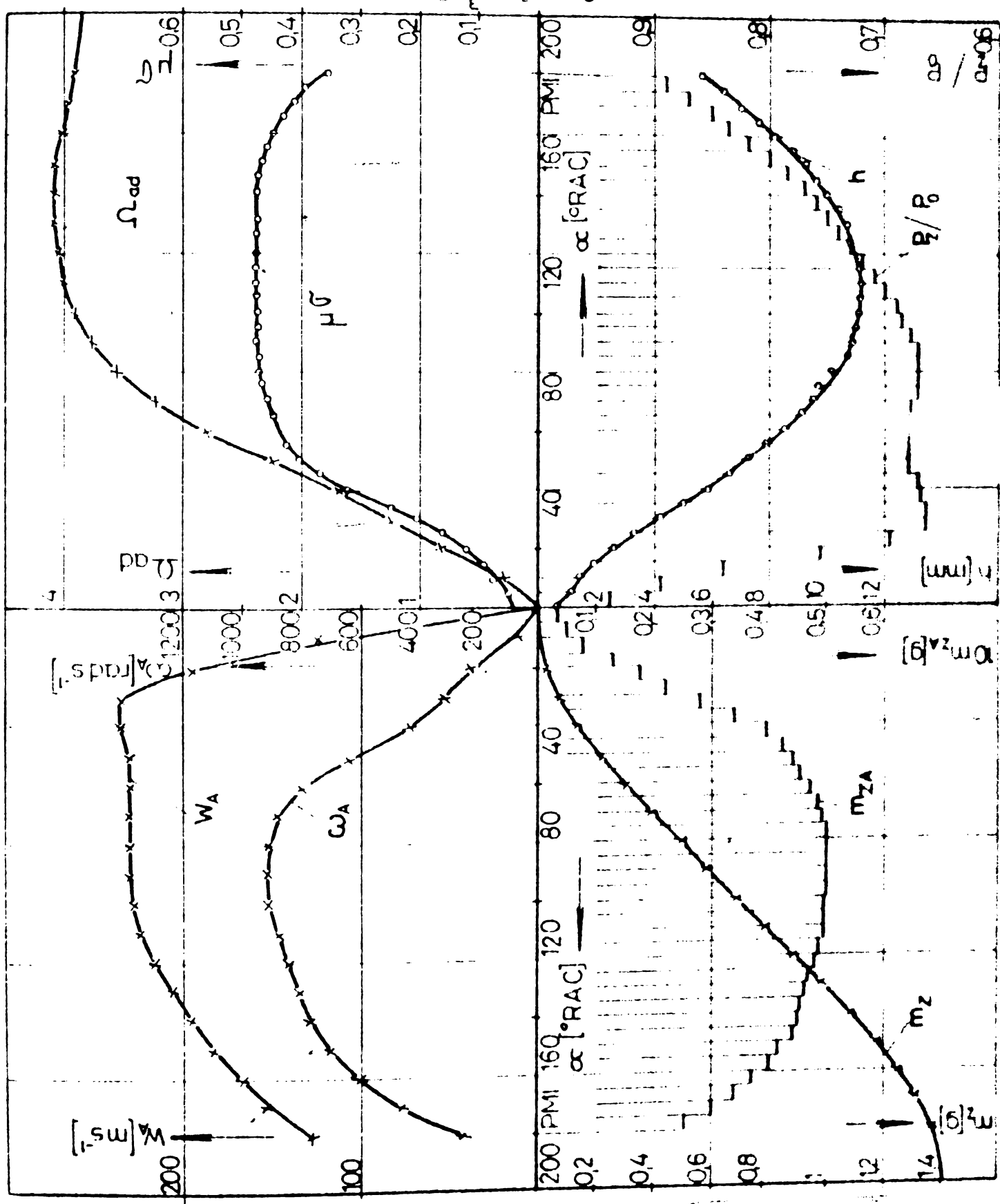
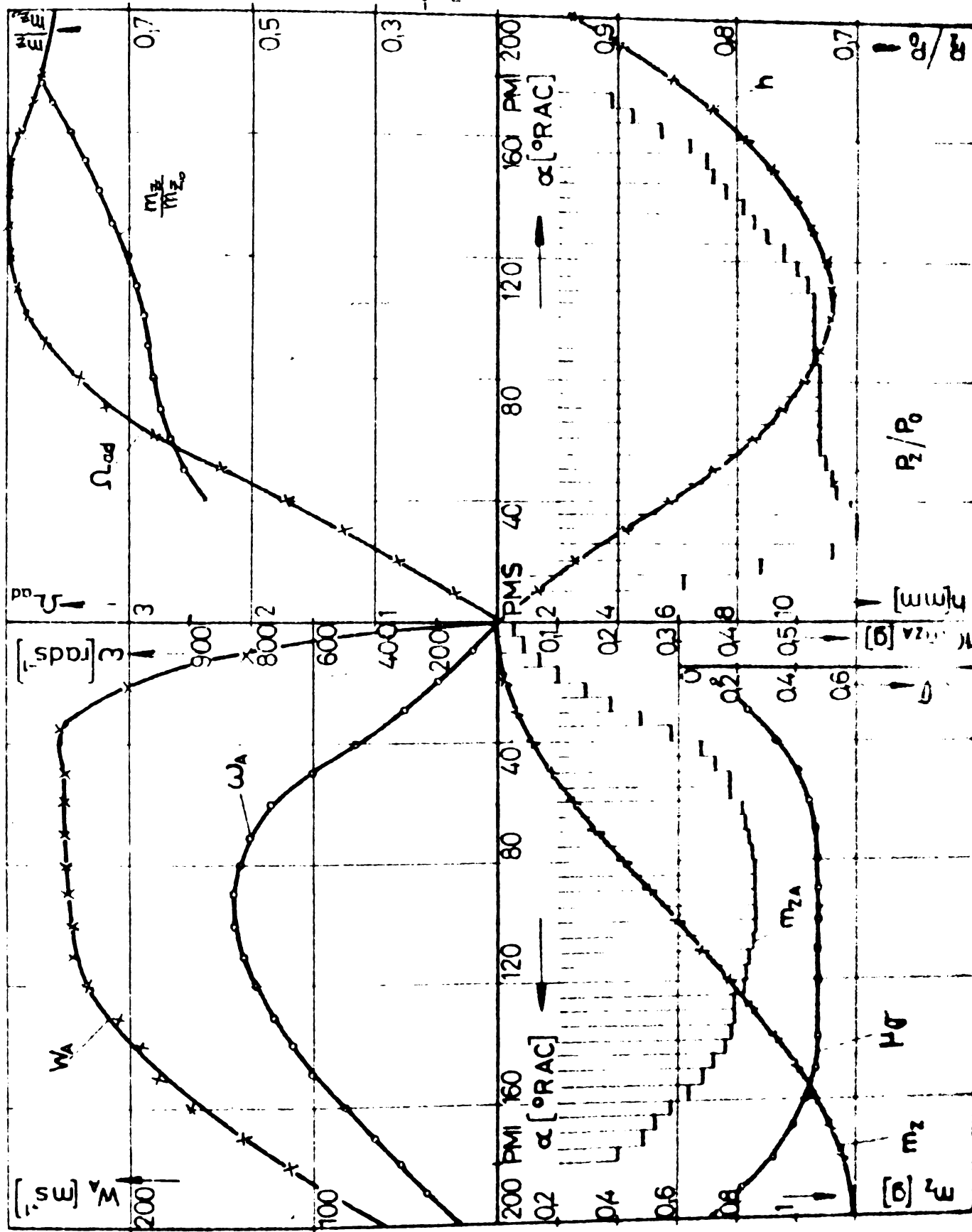
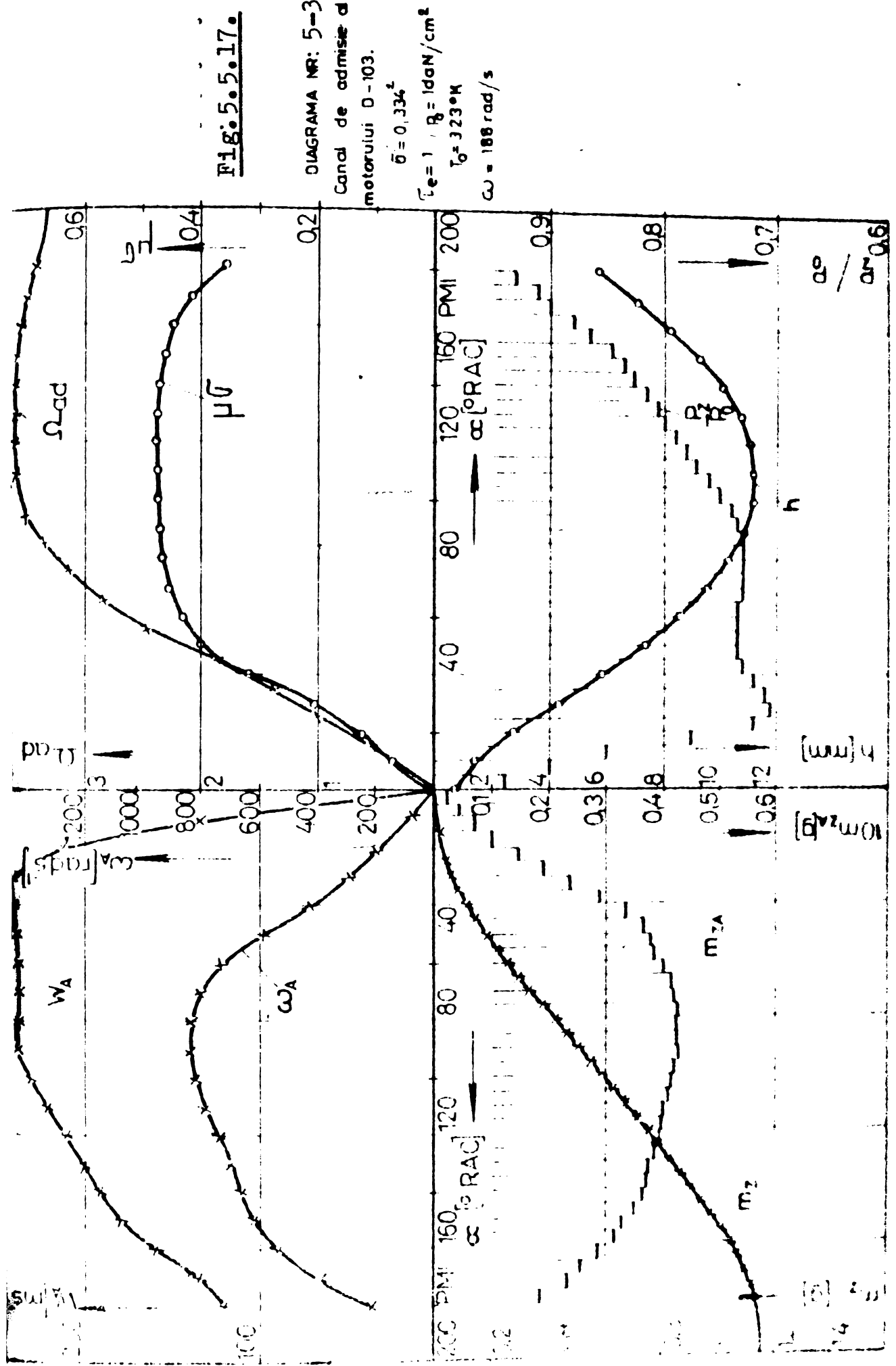


Fig. 5.5.14.









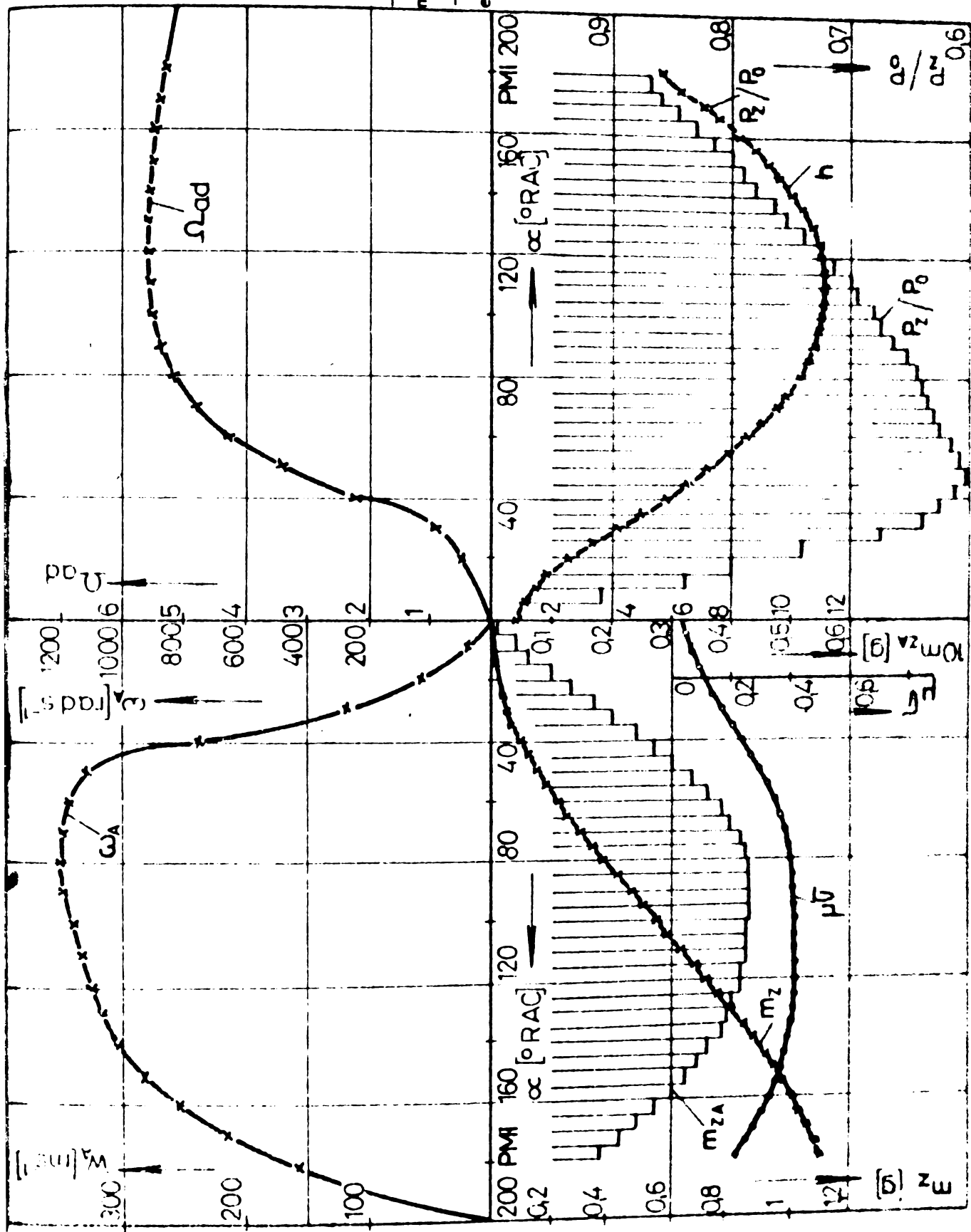
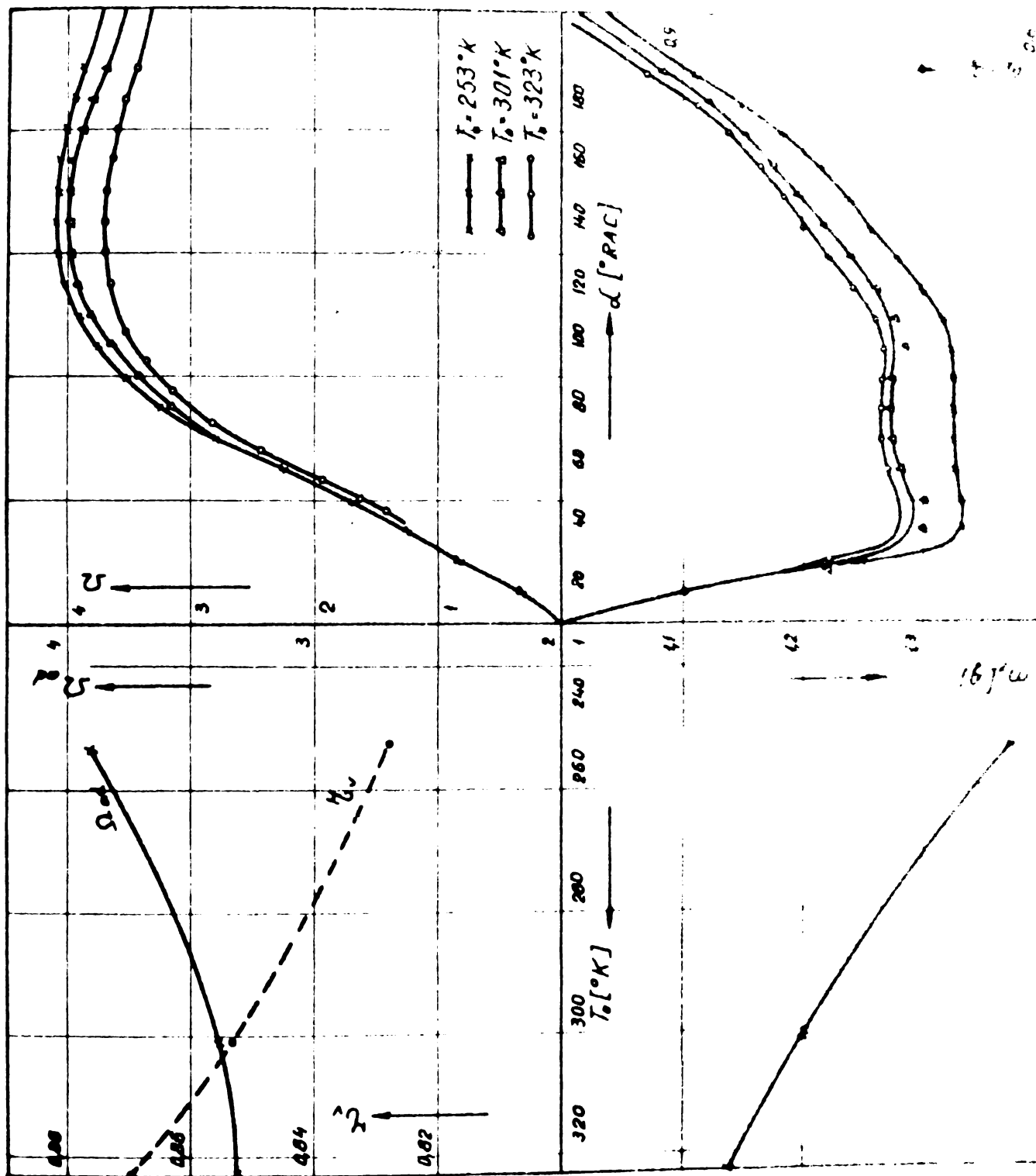


Fig. 5.5.18.

Fig. 5.5.19.



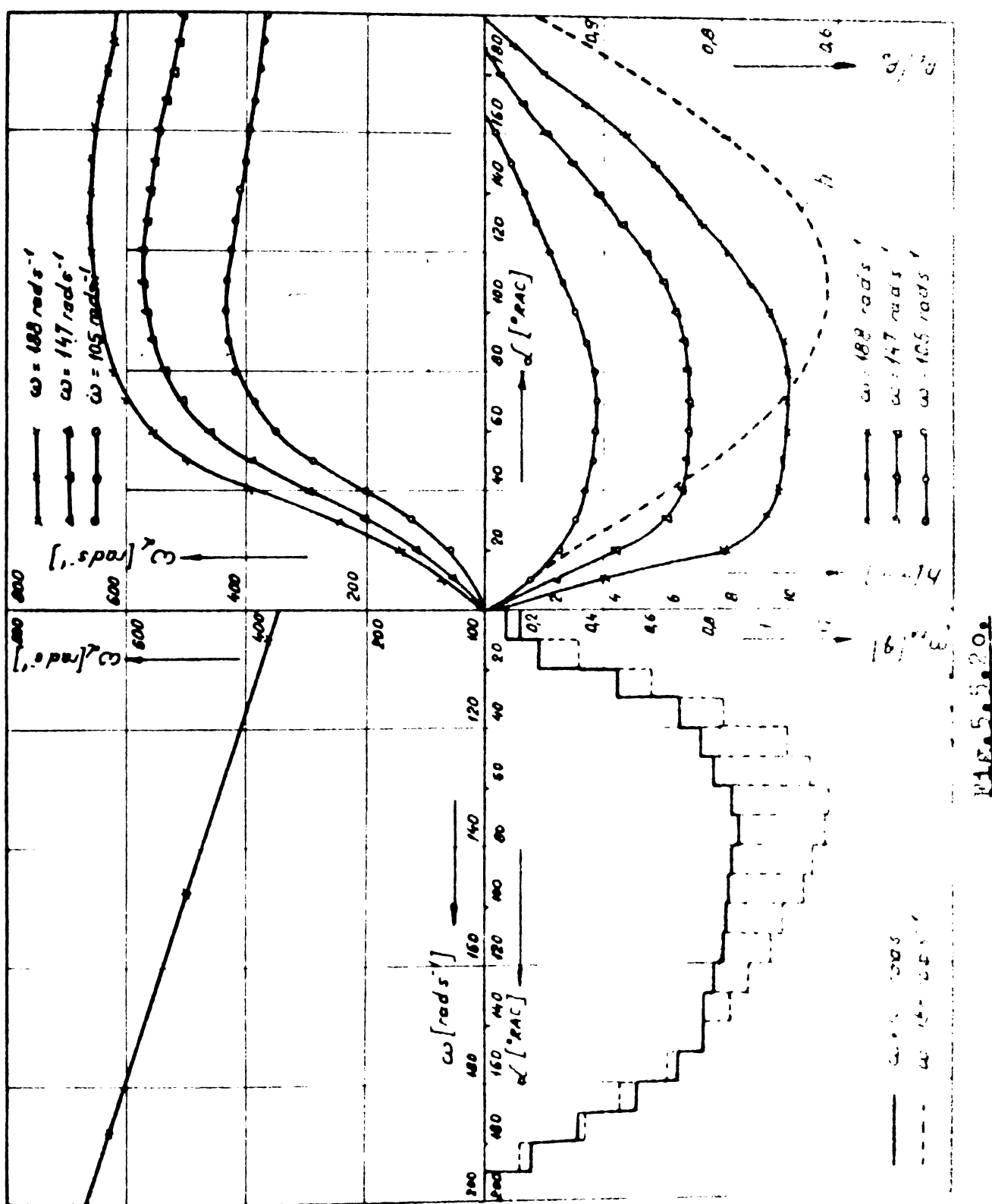


Fig. 5.5.21.

DIAGRAMA NR: 5-5

- Chiulasa cu camera
de ardere.

- Canal de admisie
rectiliniu.

- Supapa de admisie
cu ecran: $\epsilon = 120^\circ$

$\delta = 210^\circ$, $\theta = 0,27\theta^2$

$w_{me} = 34 \text{ m/s}$

$T_e = 1$, $P_0 = 1013 \text{ N/cm}^2$

$T_0 = 310^\circ\text{K}$

$\omega = 63 \text{ rad/s}$

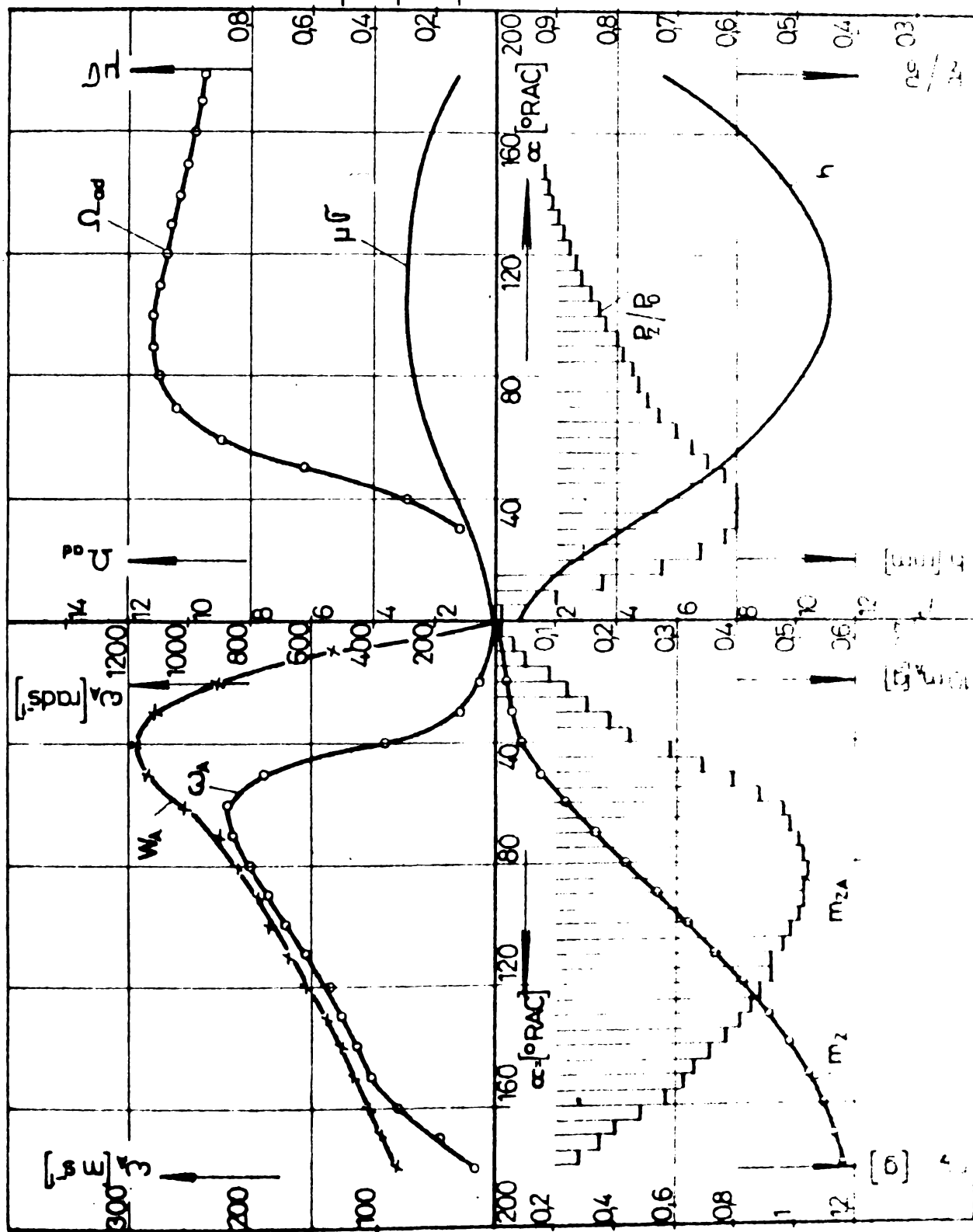
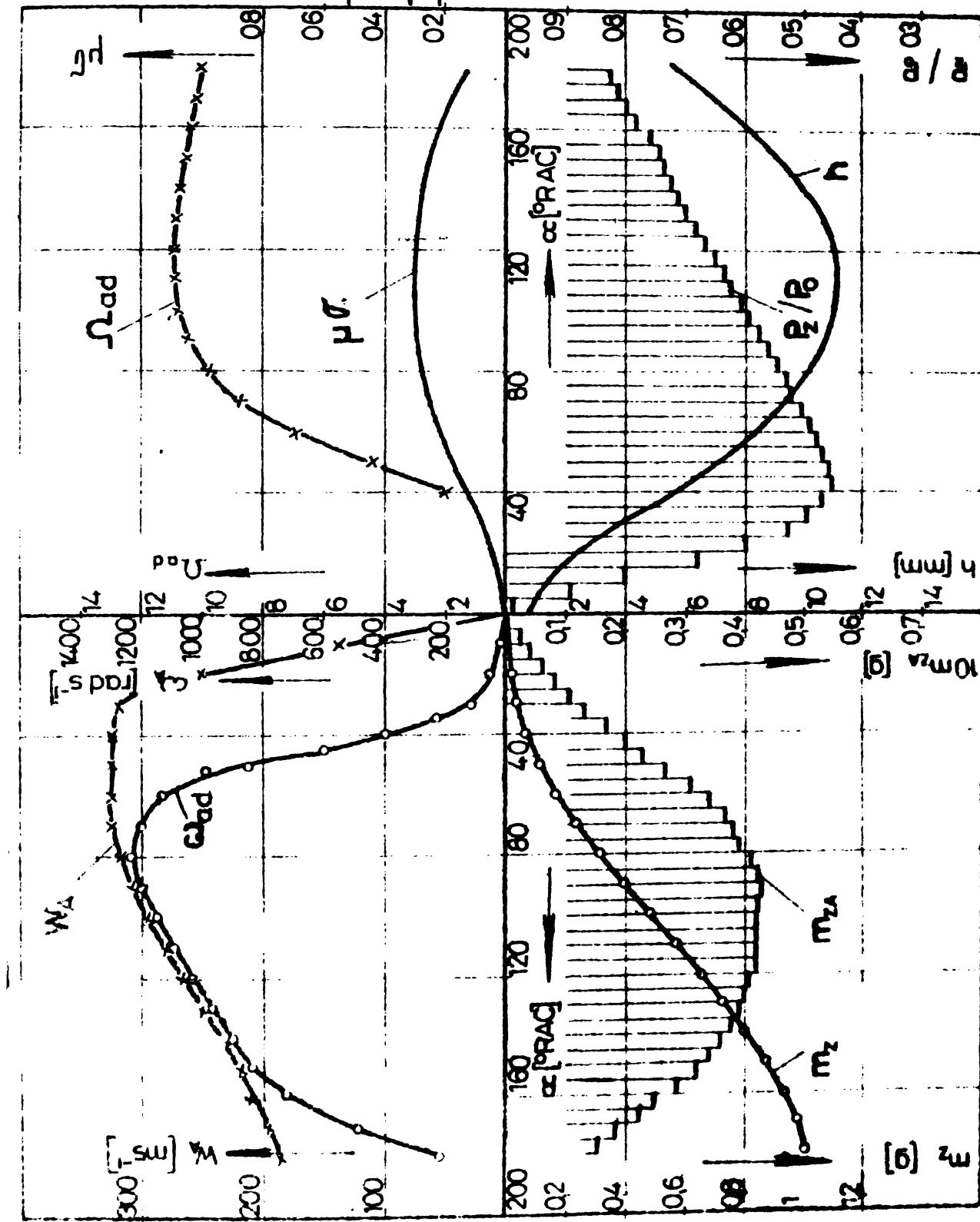


FIG. 5.5.22.

DIAGRAMA NR: 5-6
-Chiuiesa cu camera
de ardere.
-Canal de admisie drept.
02 -Supapa de admisie
cu ecran $\epsilon = 120^\circ$
 $\beta = 210^\circ$, $G = 0,278$
 $W_{m\in} = 51 \text{ m/s}$
 $T_g = 19 = 19 \text{ daN/cm}^2$
 $\omega = 94,3 \text{ rad/s}$



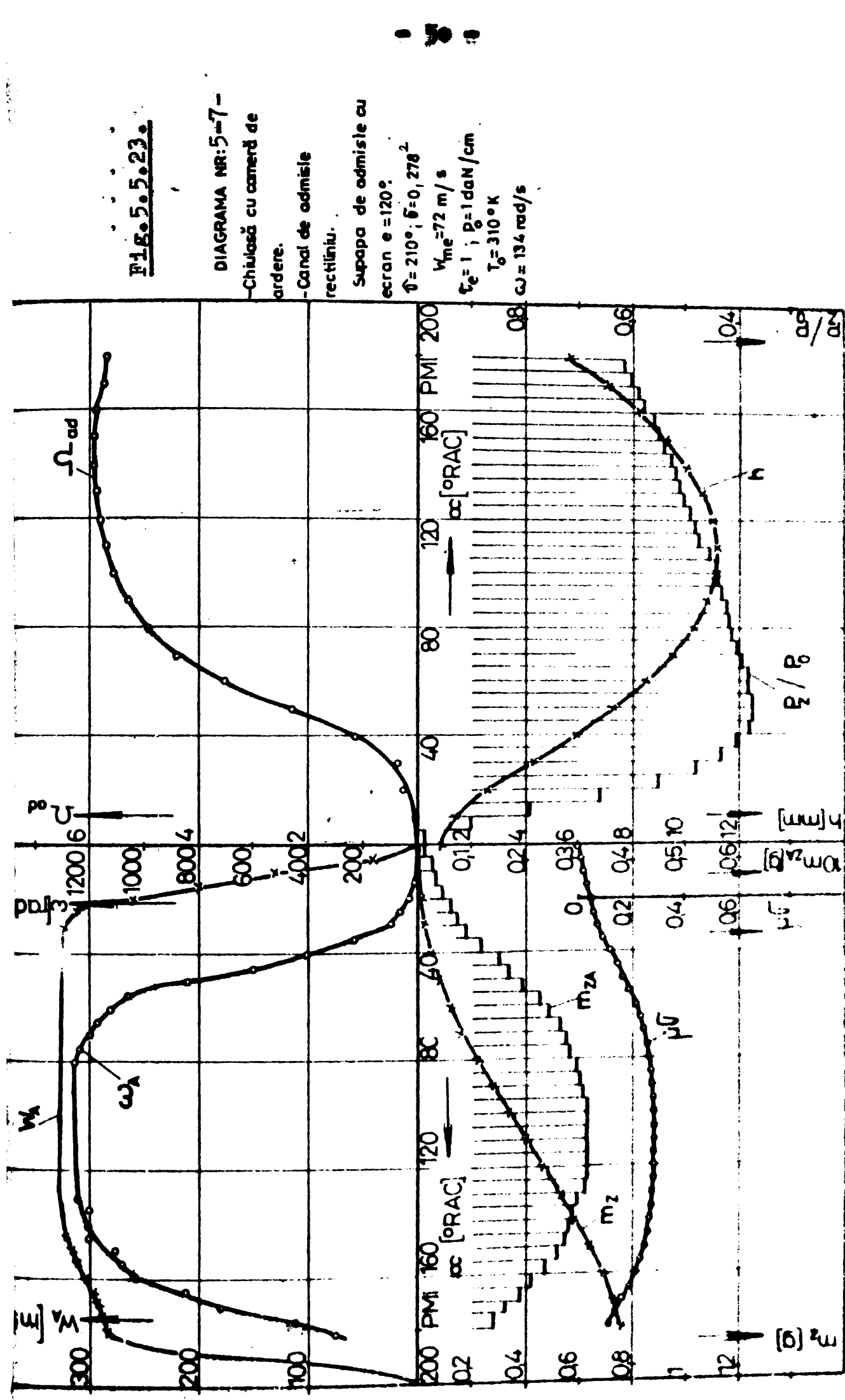


Fig. 5.5.24.

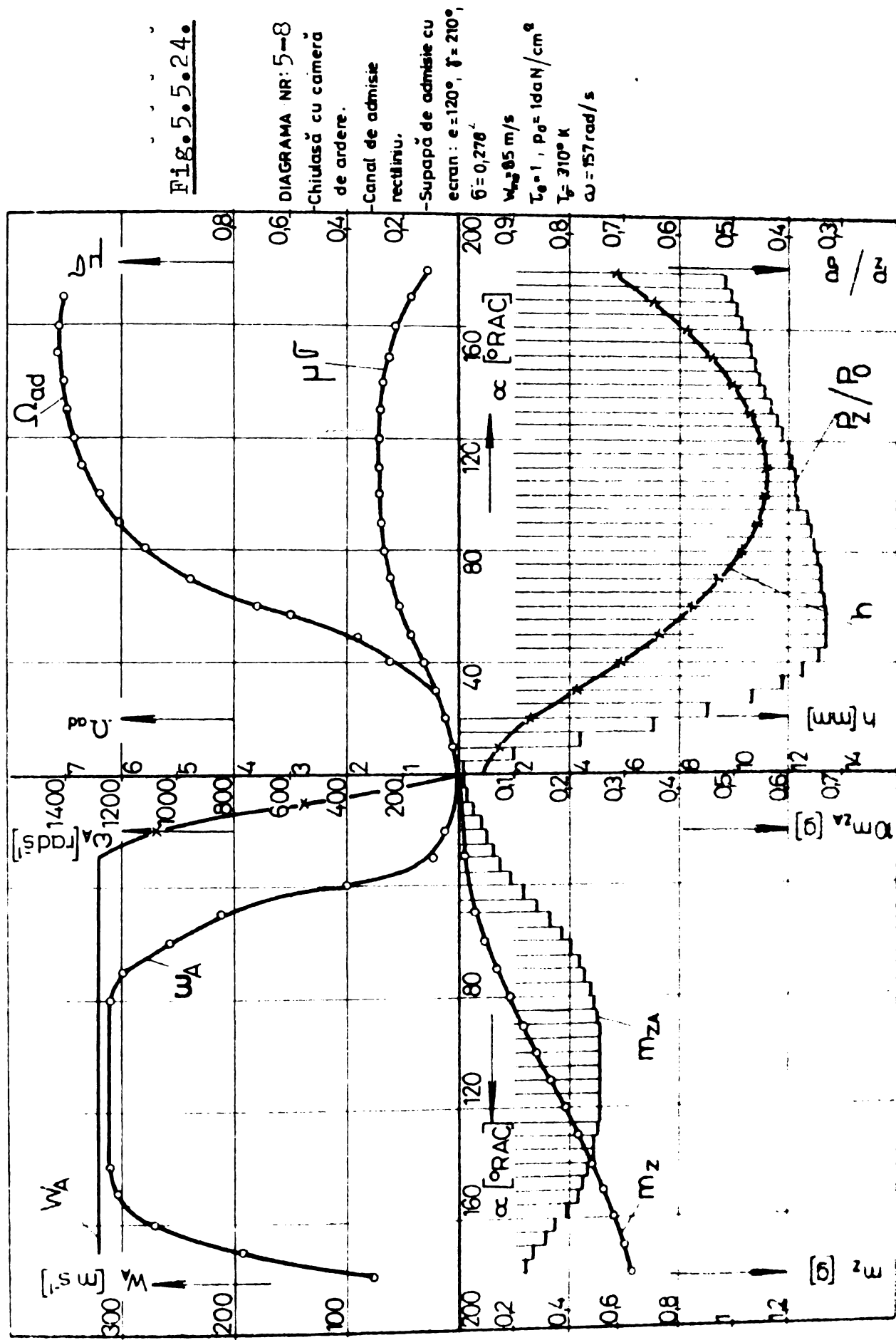
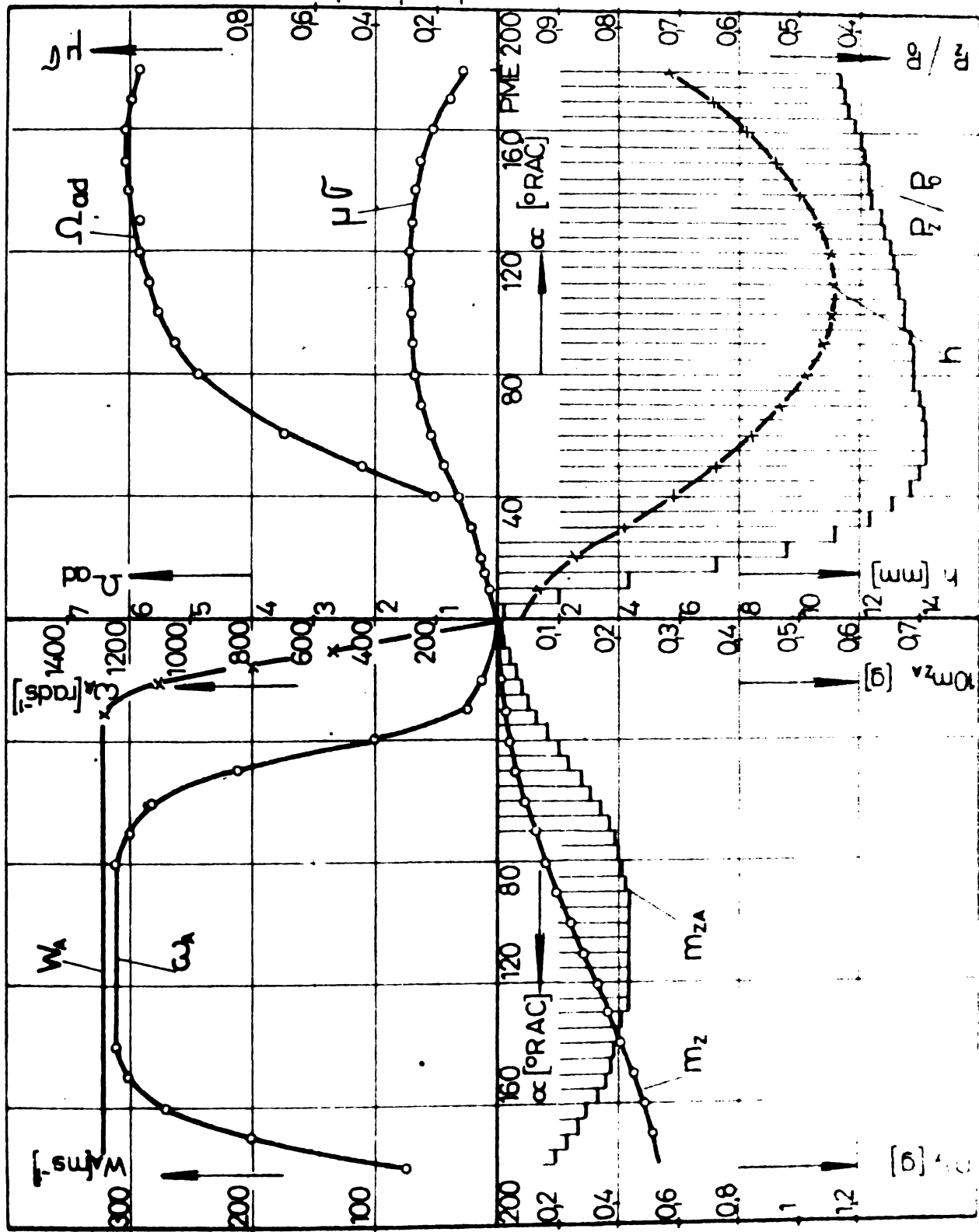
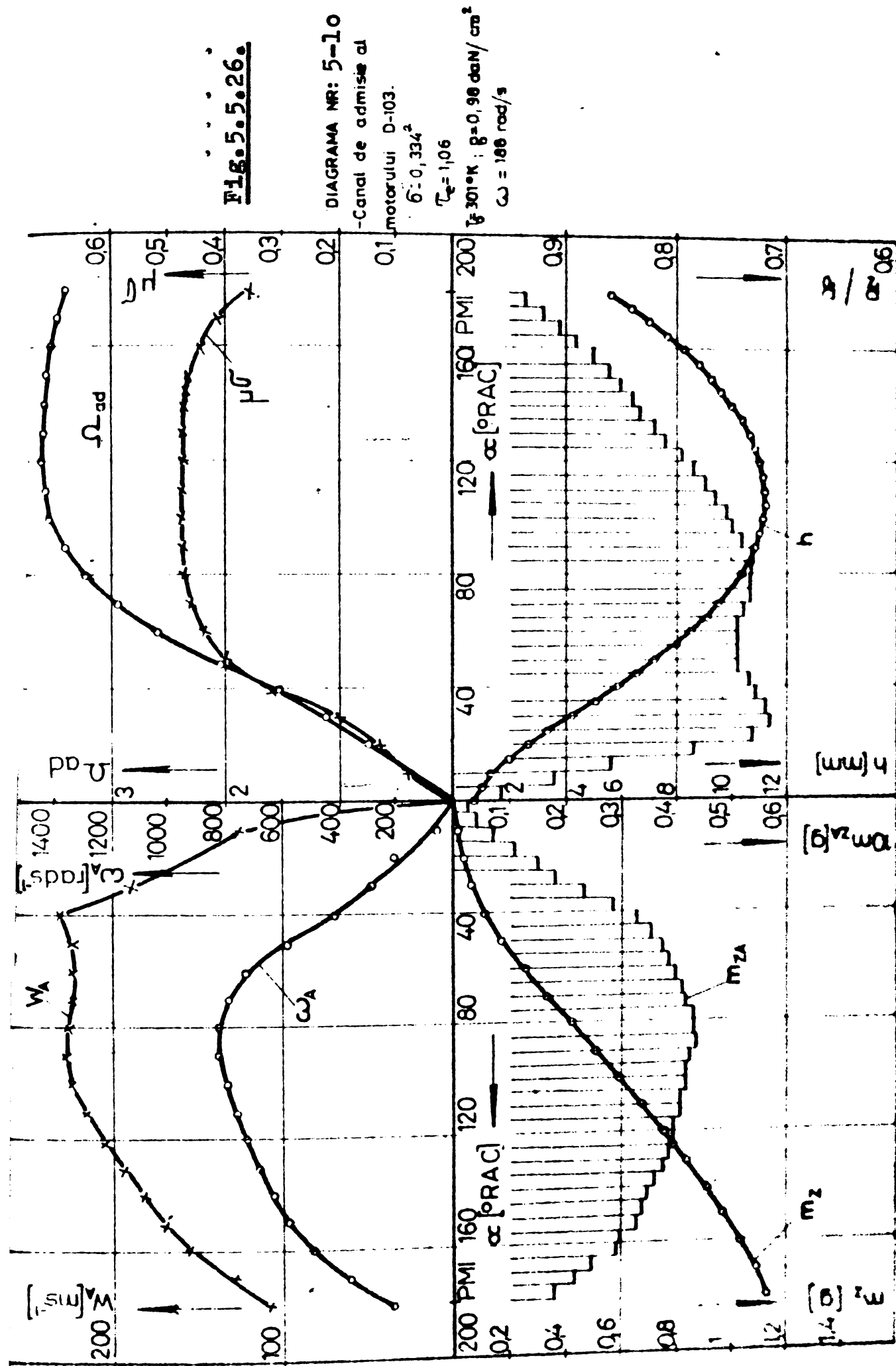
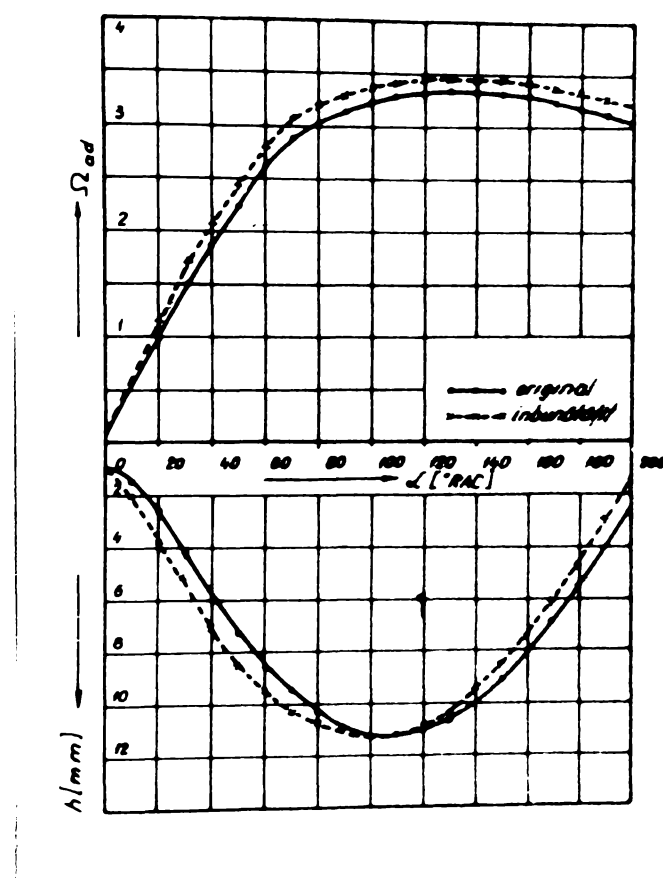


Fig. 5.5.25.

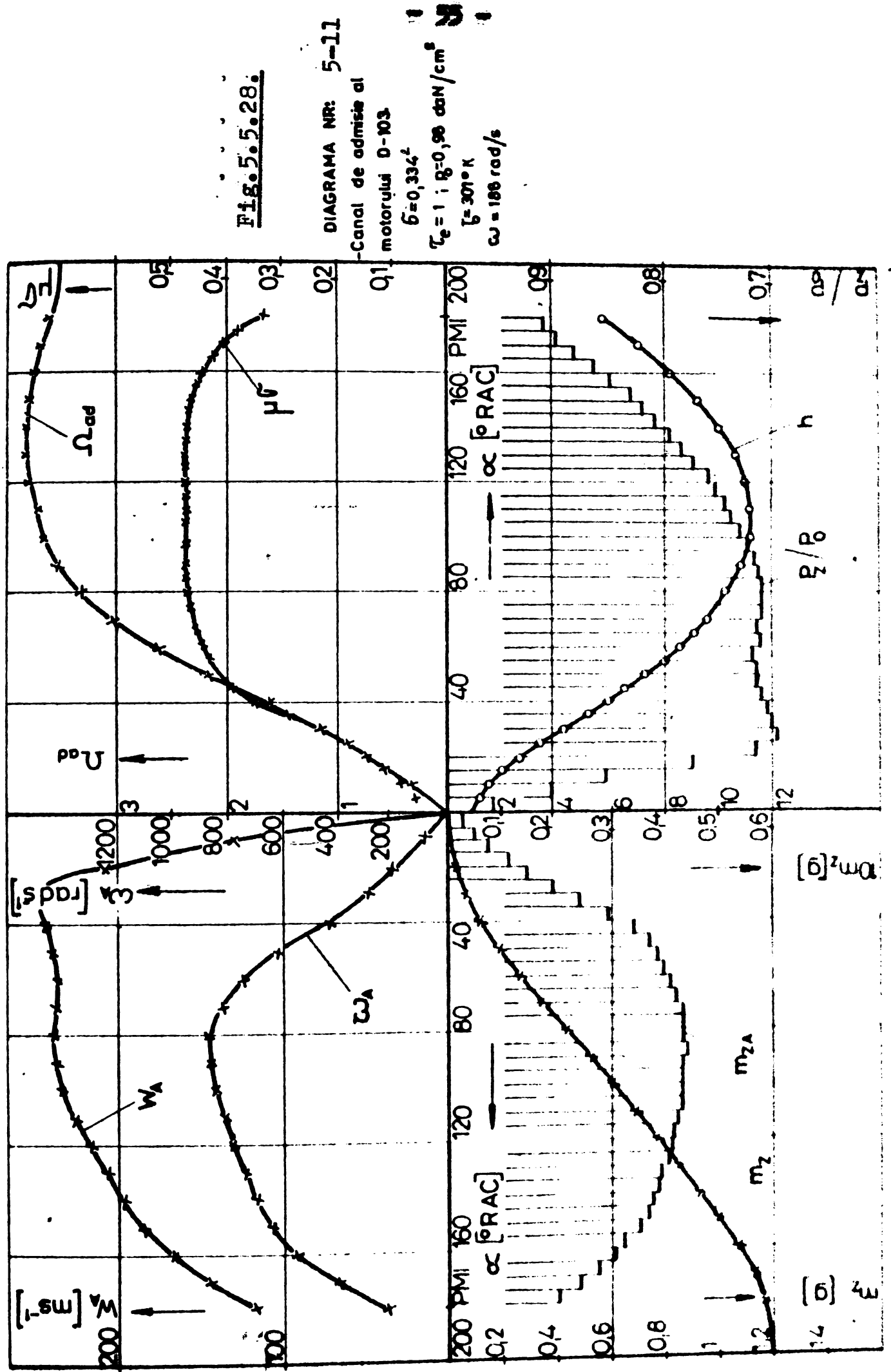
DIAGRAMA NR: 5-9
-Chiulasa cu camera de ardere.
-canal de admisie rectiliniu.
-Supapa de admisie cu ecran: $e = 120^\circ$
 $\beta = 210^\circ$, $\delta = 0.278^2$
 $w_{me} = 101 \text{ m/s}$
 $T_e = 1$, $P_0 = 1 \text{ daN/cm}^2$
 $T = 310^\circ \text{ K}$
 $\omega = 188 \text{ rad/s}$







21205050210



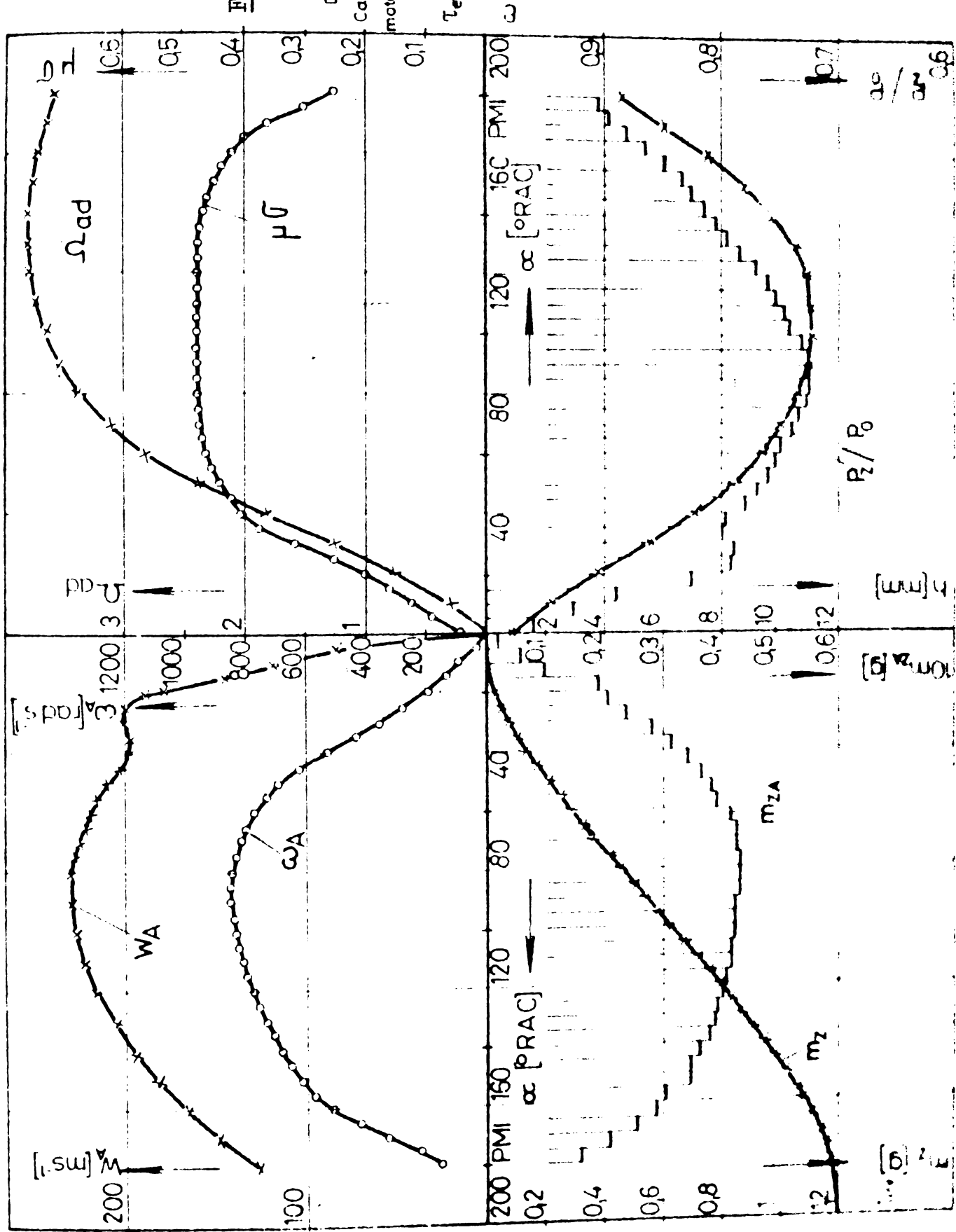
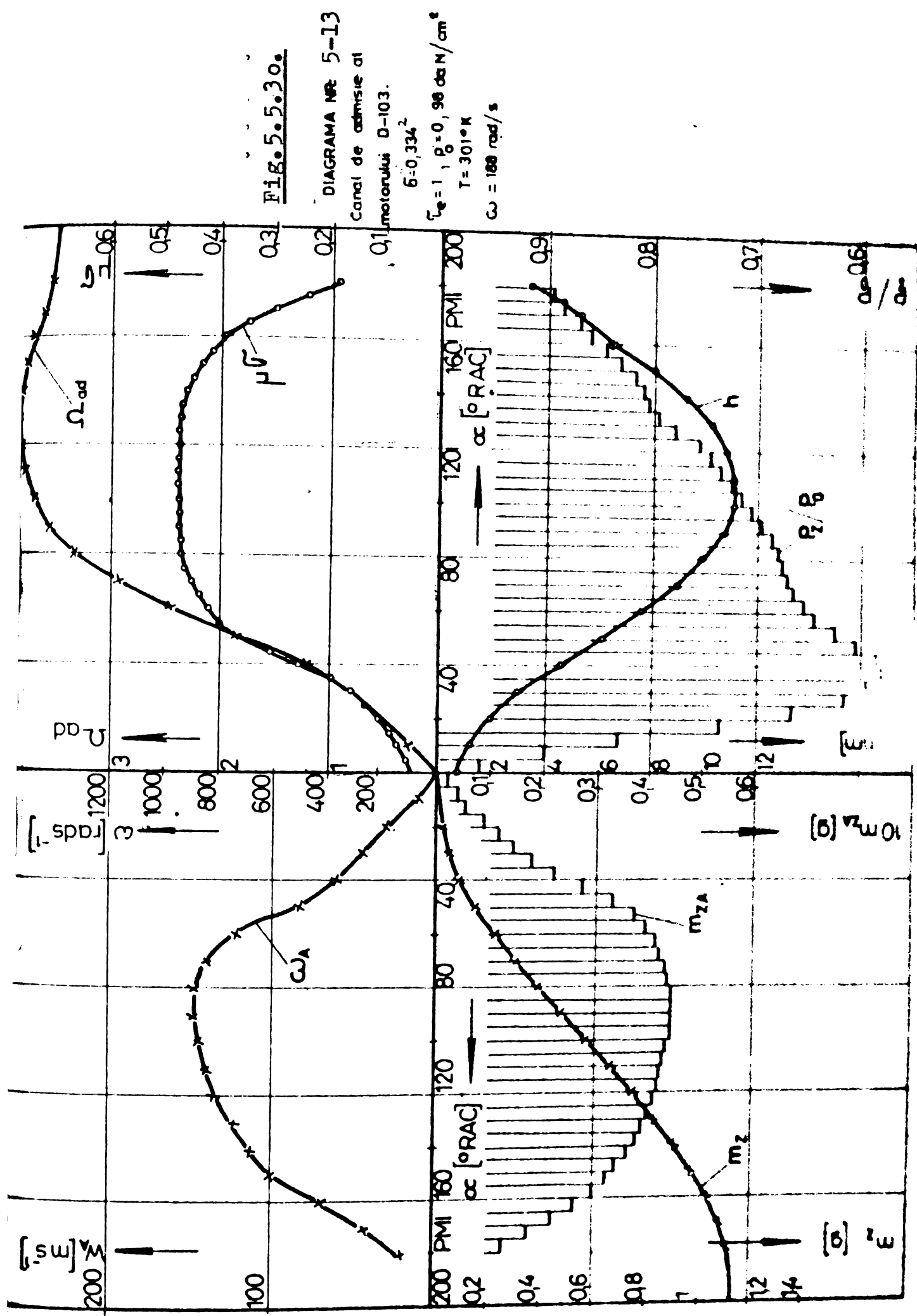
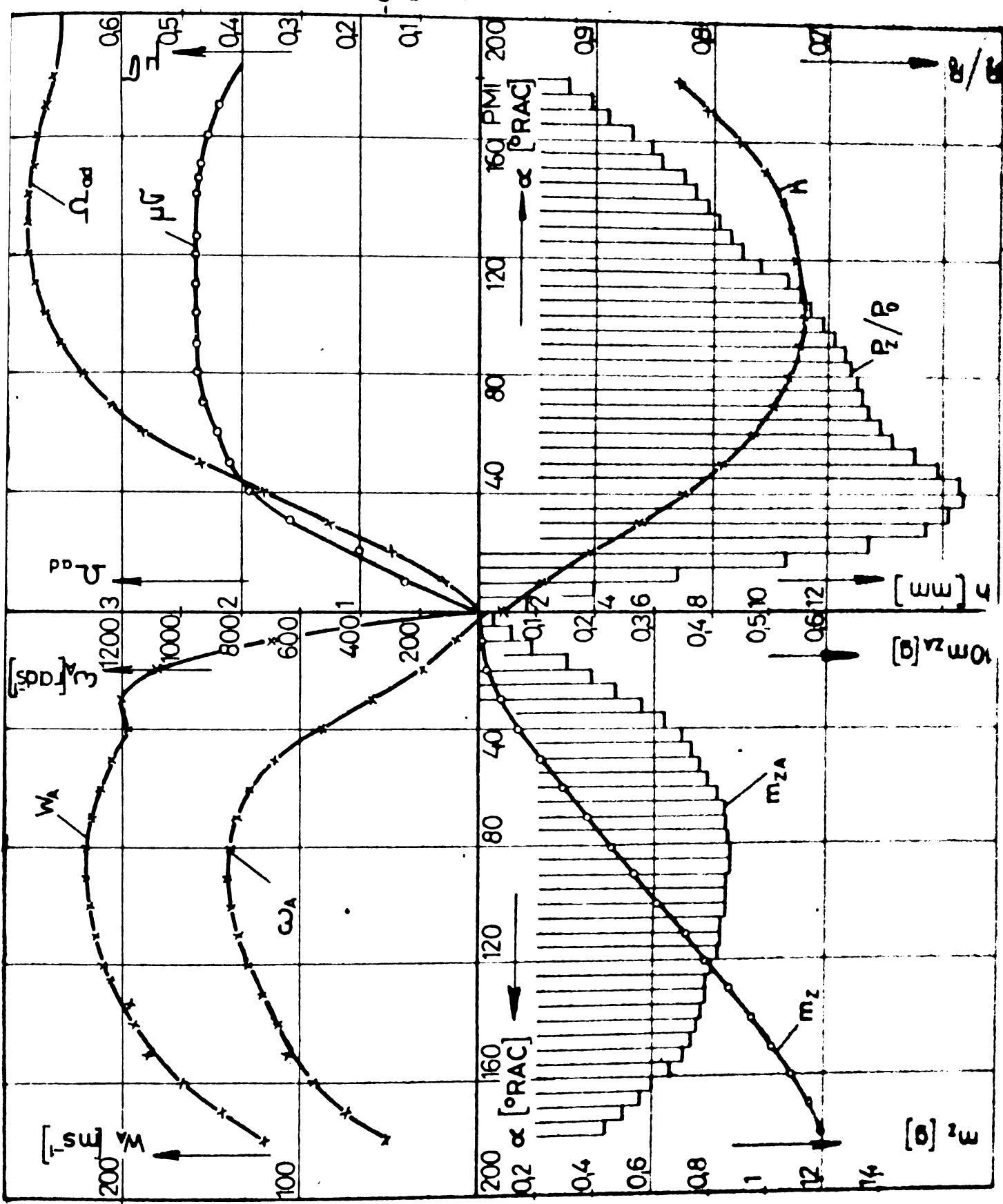
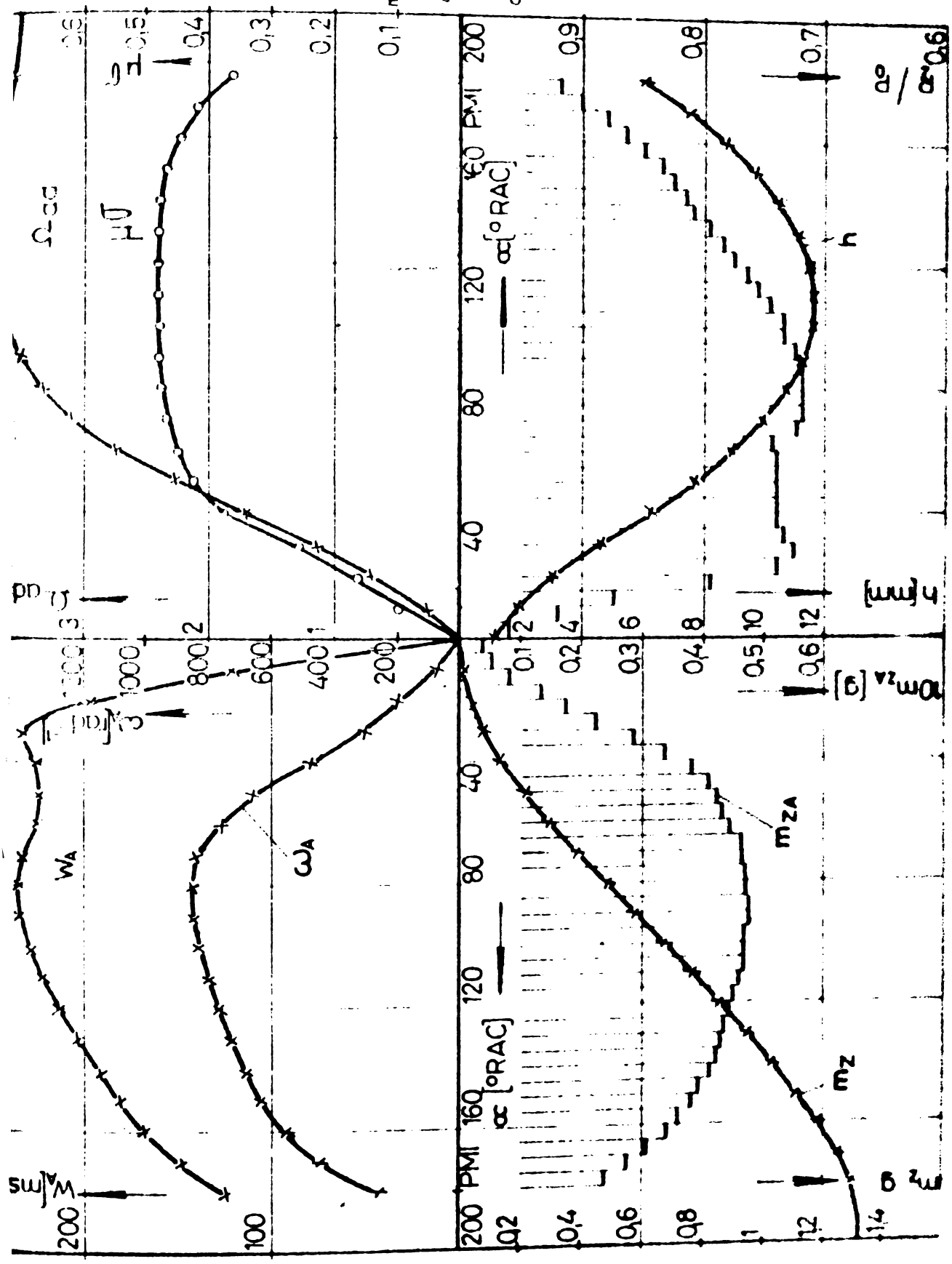


Fig. 5.5.29.







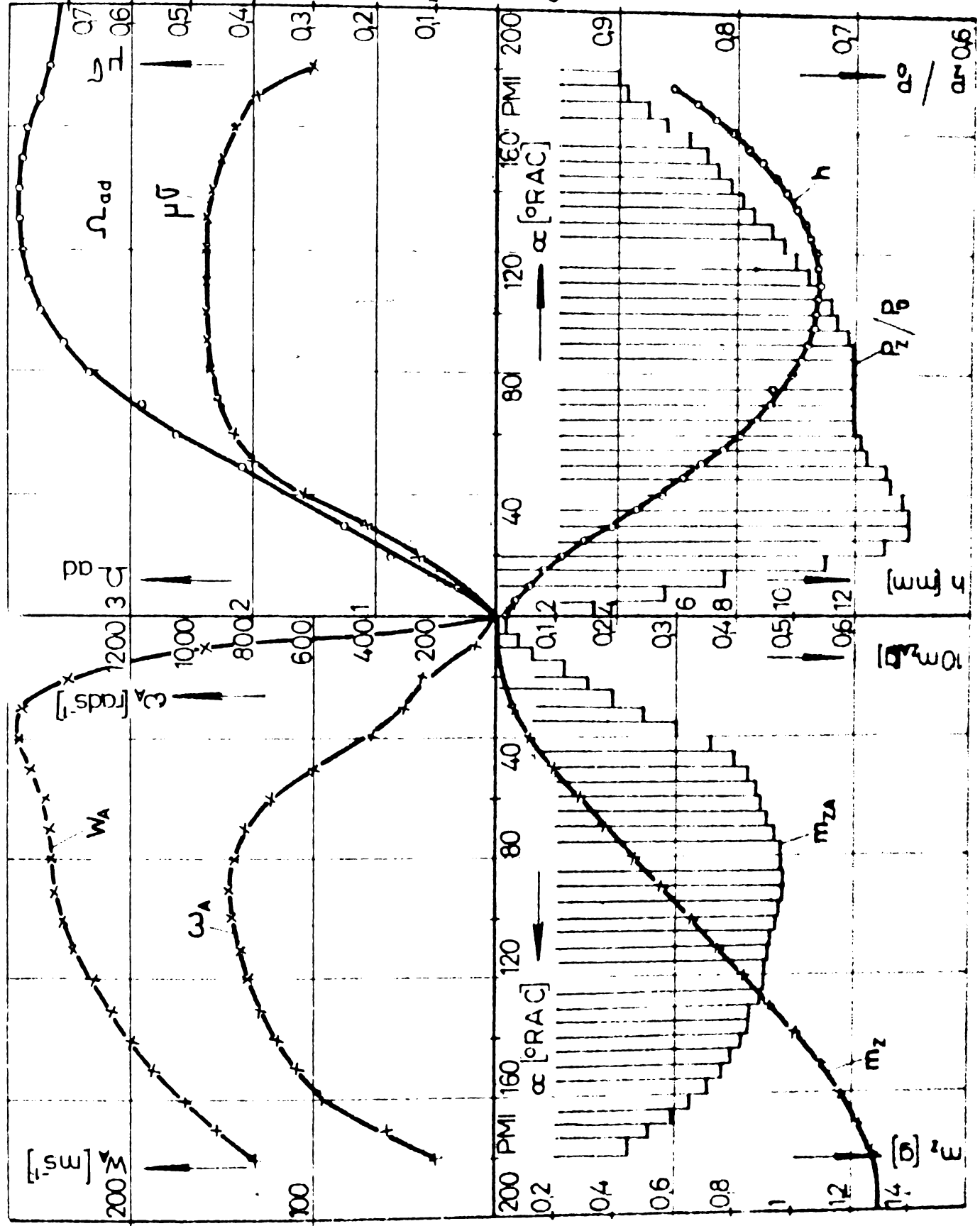
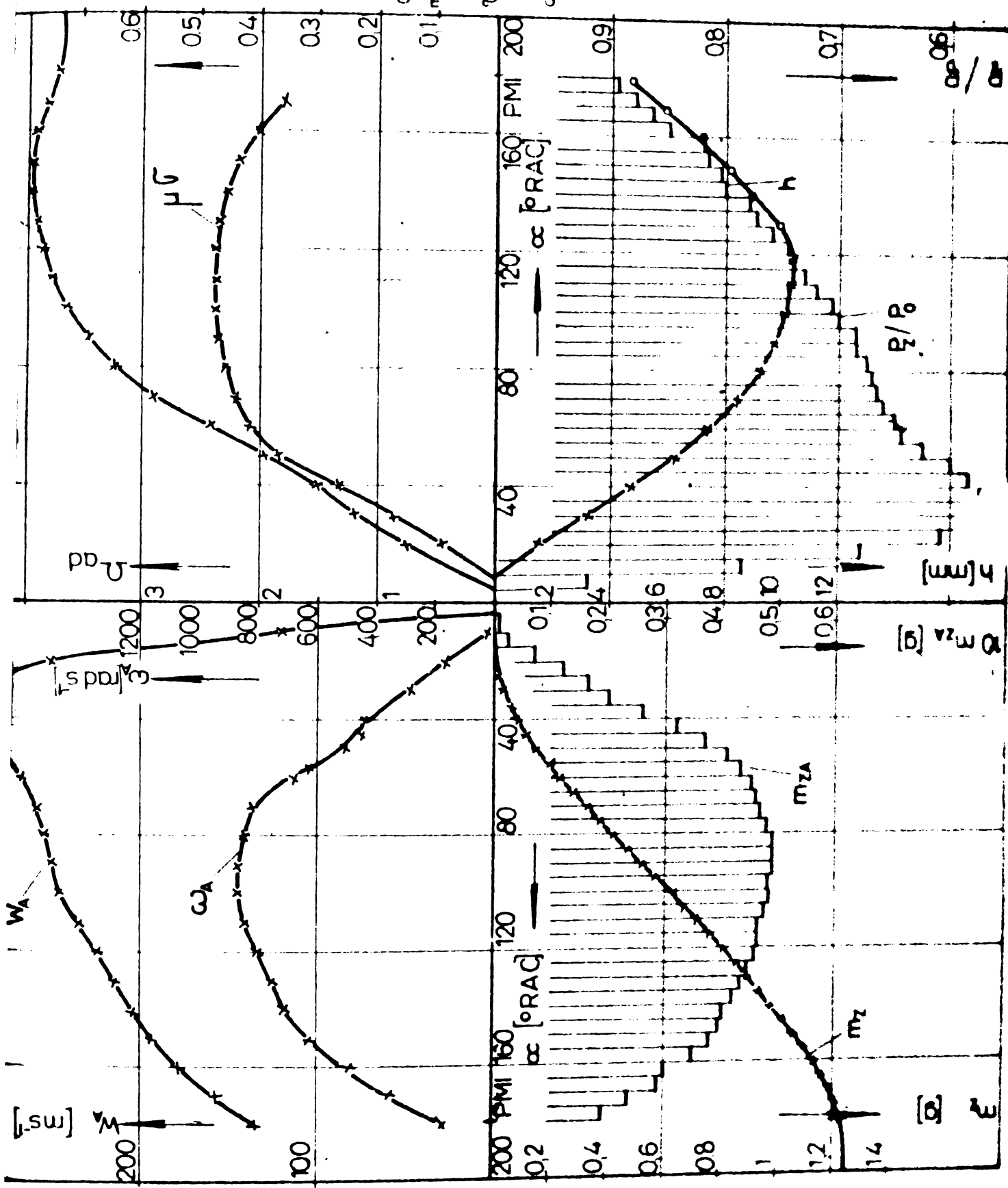


Fig. 5.5.32.



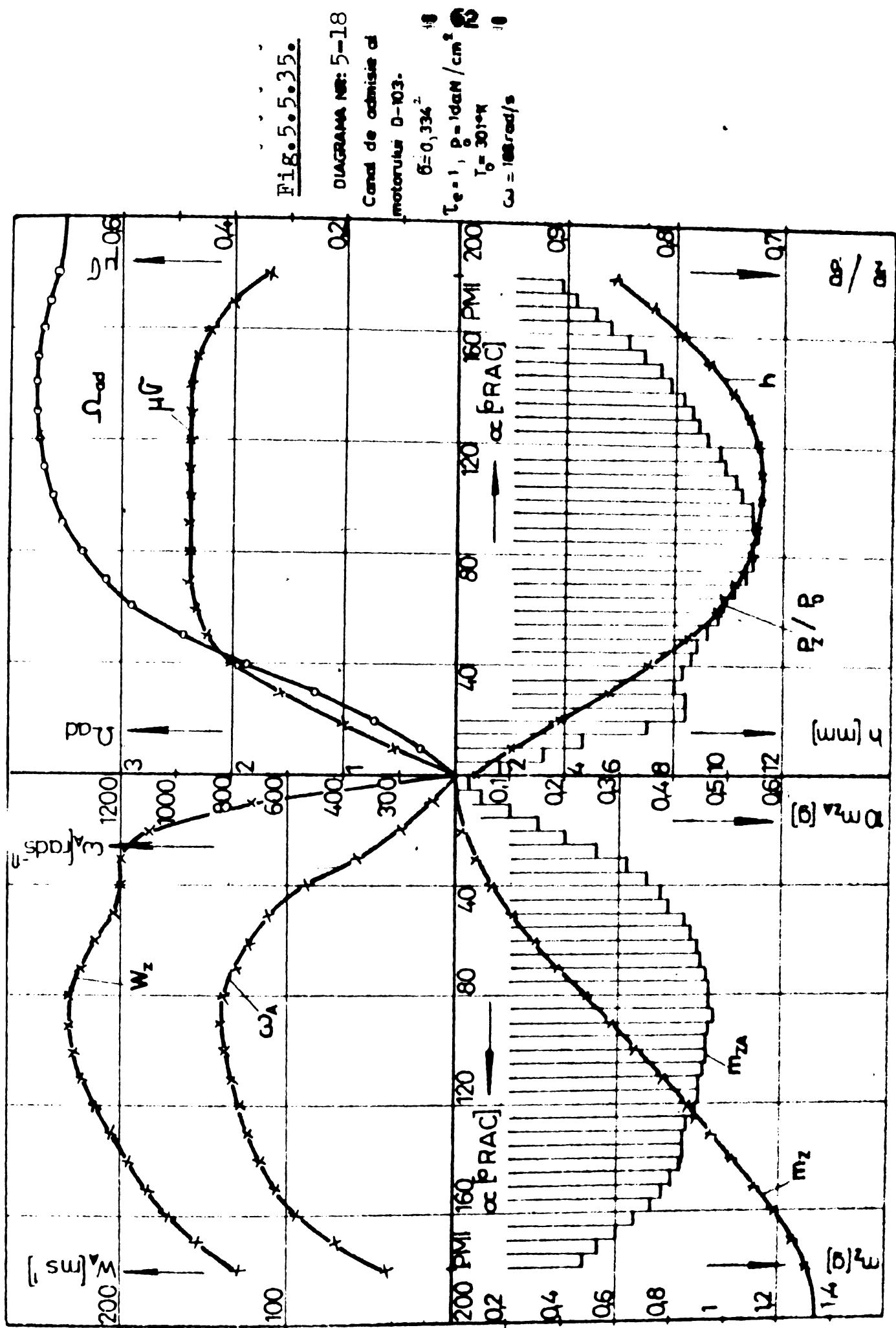
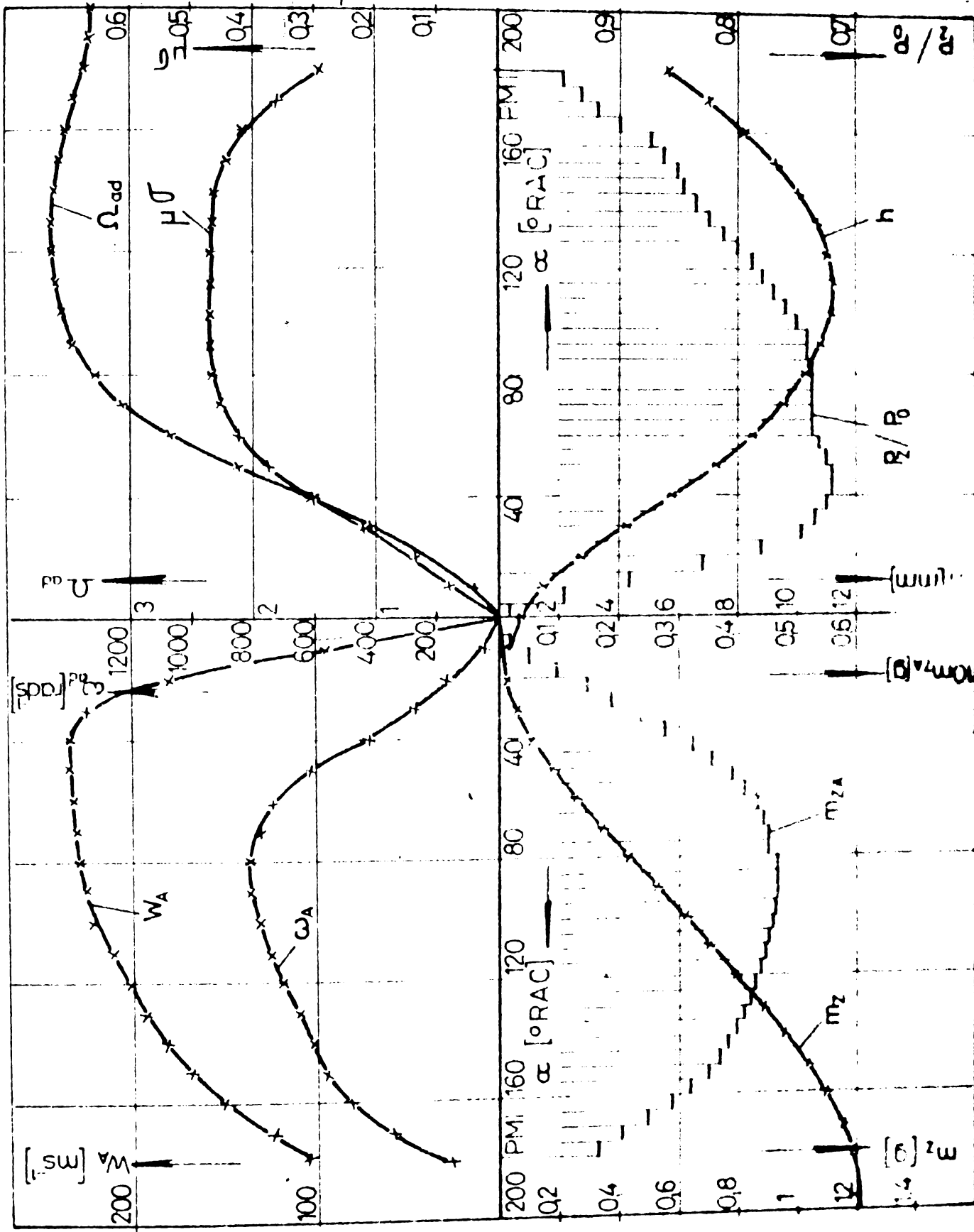


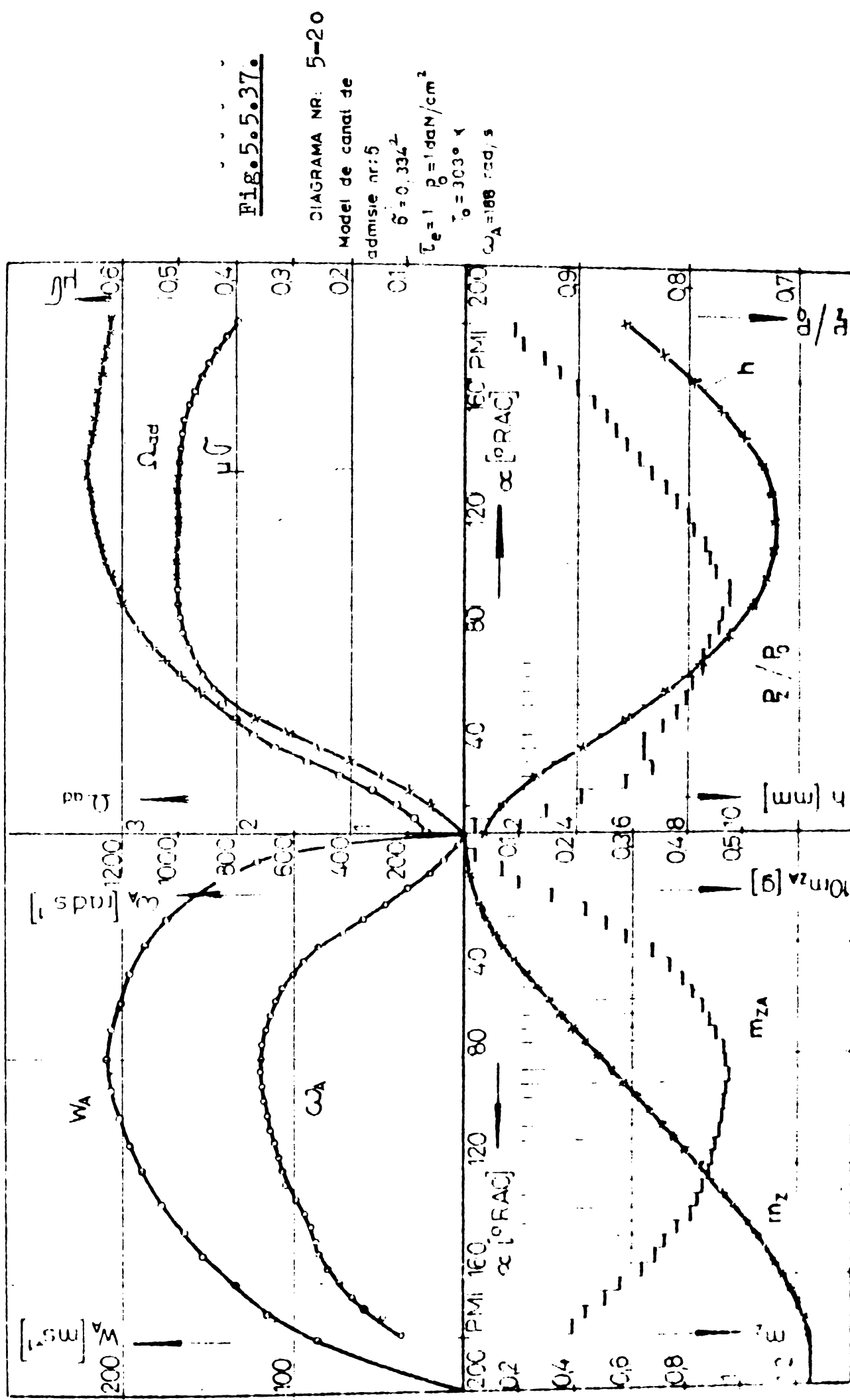
Fig. 5.5.36.

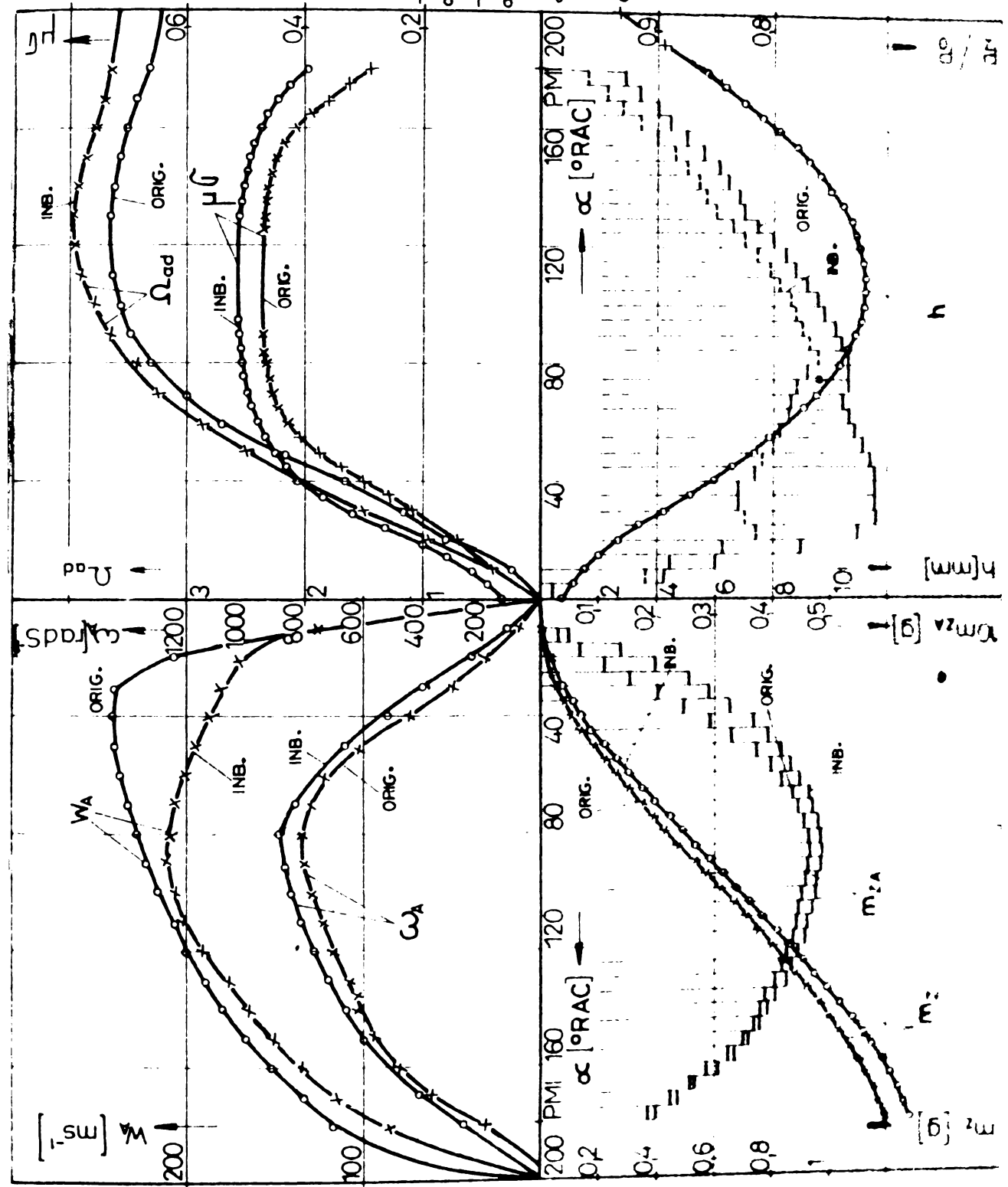
DIAGRAMA NR. 5-19

- Canal de admisie
motorului - D 103.

$\delta = 0,334^2$
 $\tau_e = 1$, $P = 1 \text{ daN/cm}^2$
 $T_0 = 303^\circ\text{K}$, $\epsilon = 10$
cu 100 rad/s







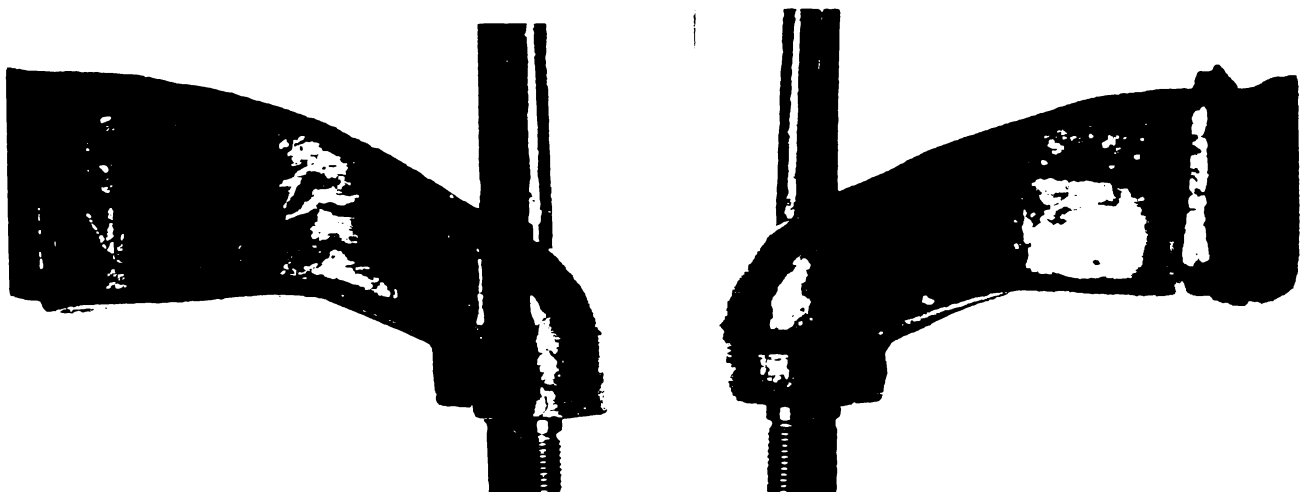


Fig. 5-5-31-a

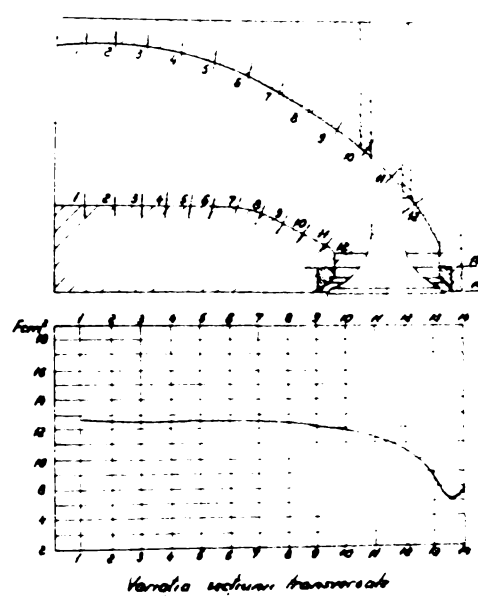


Fig. 5-5-31-b

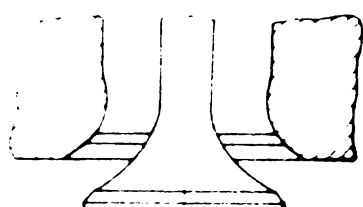
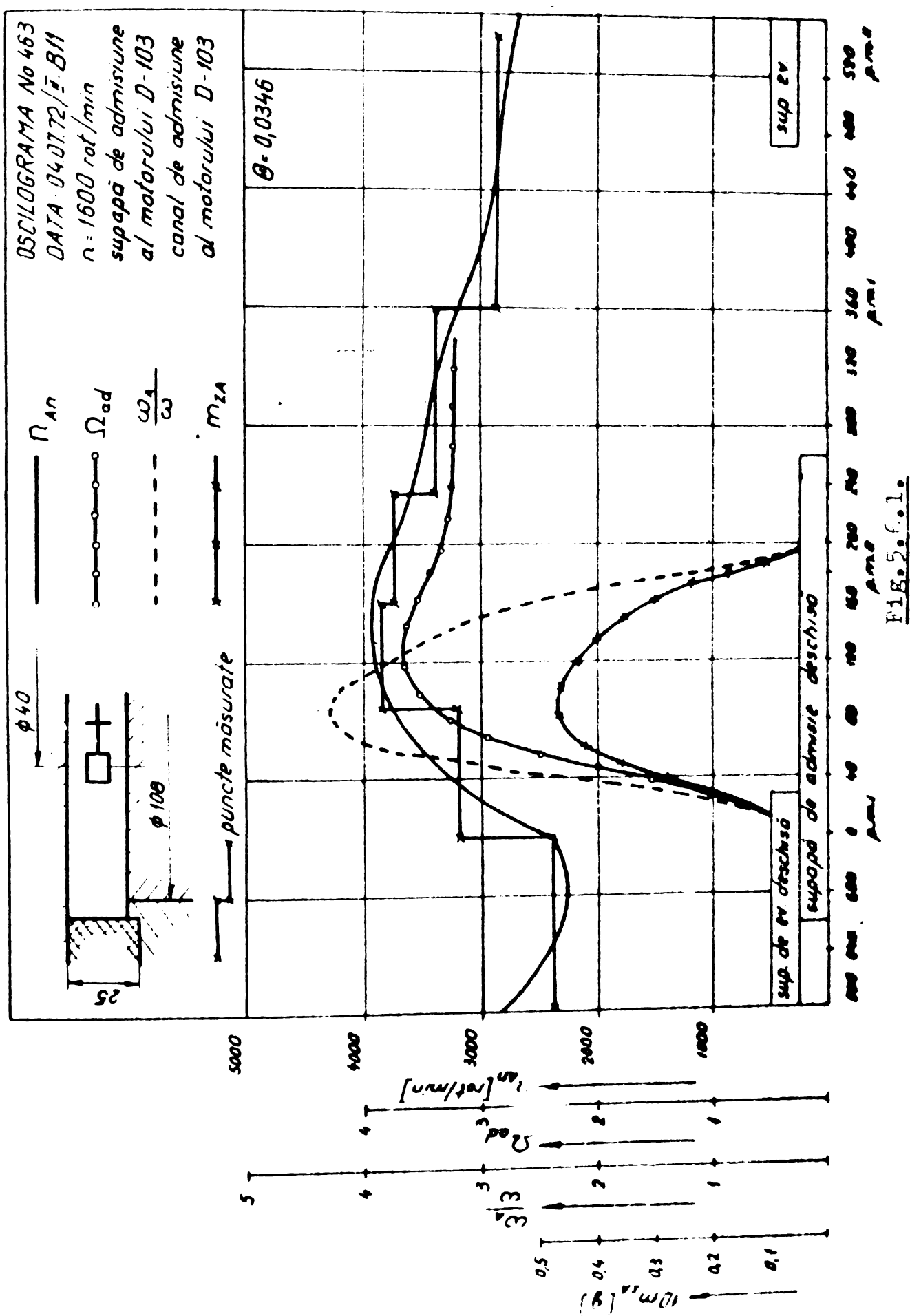
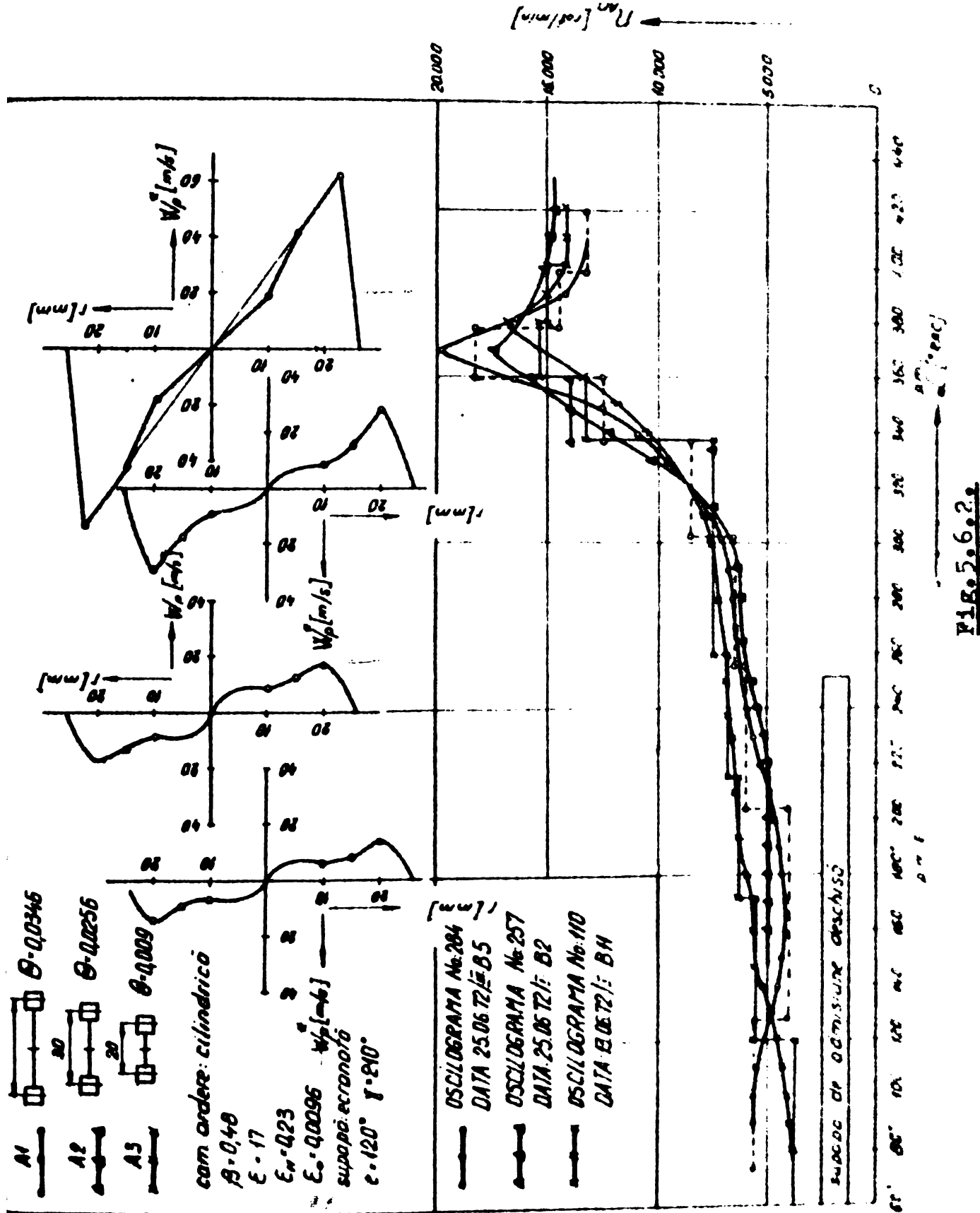
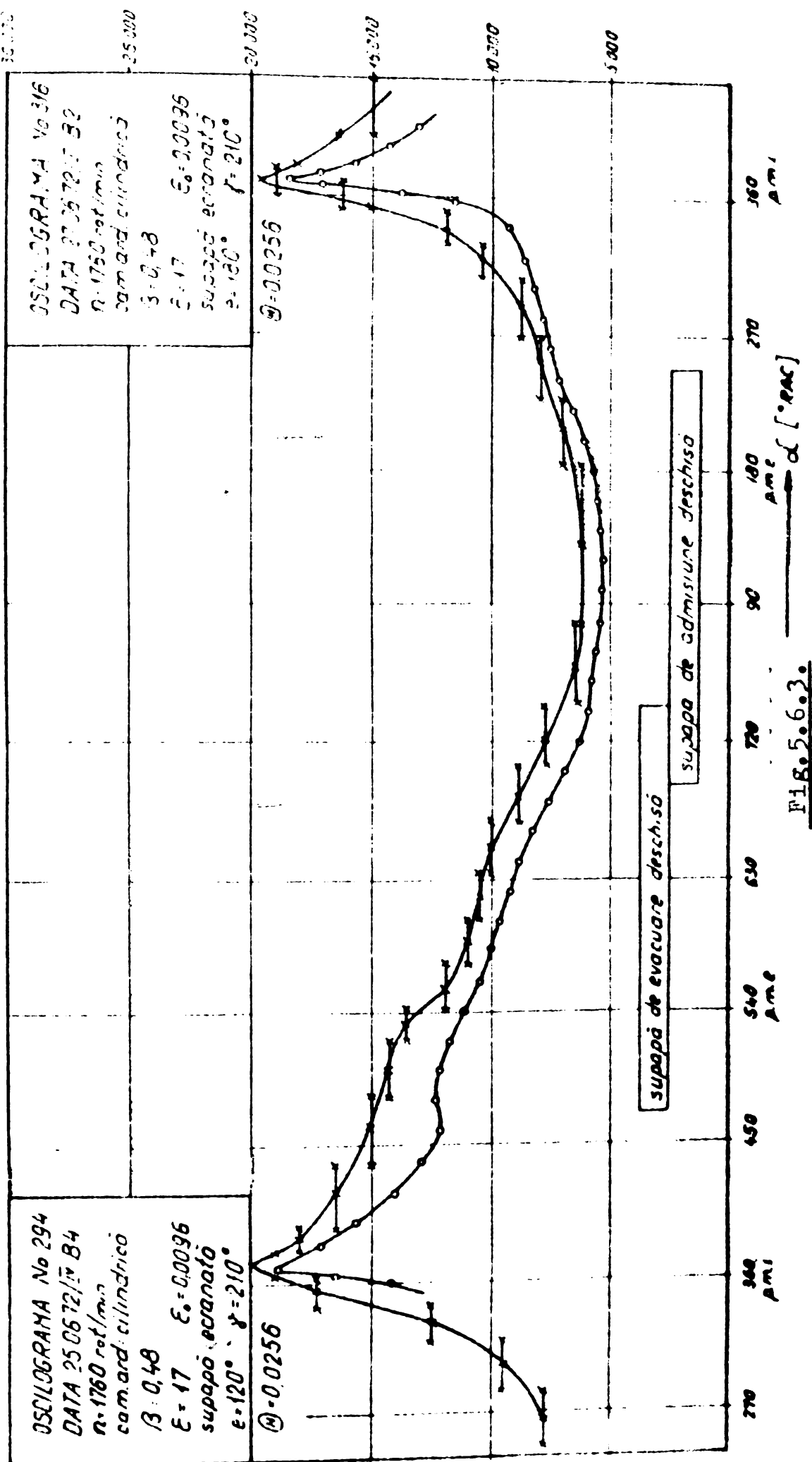
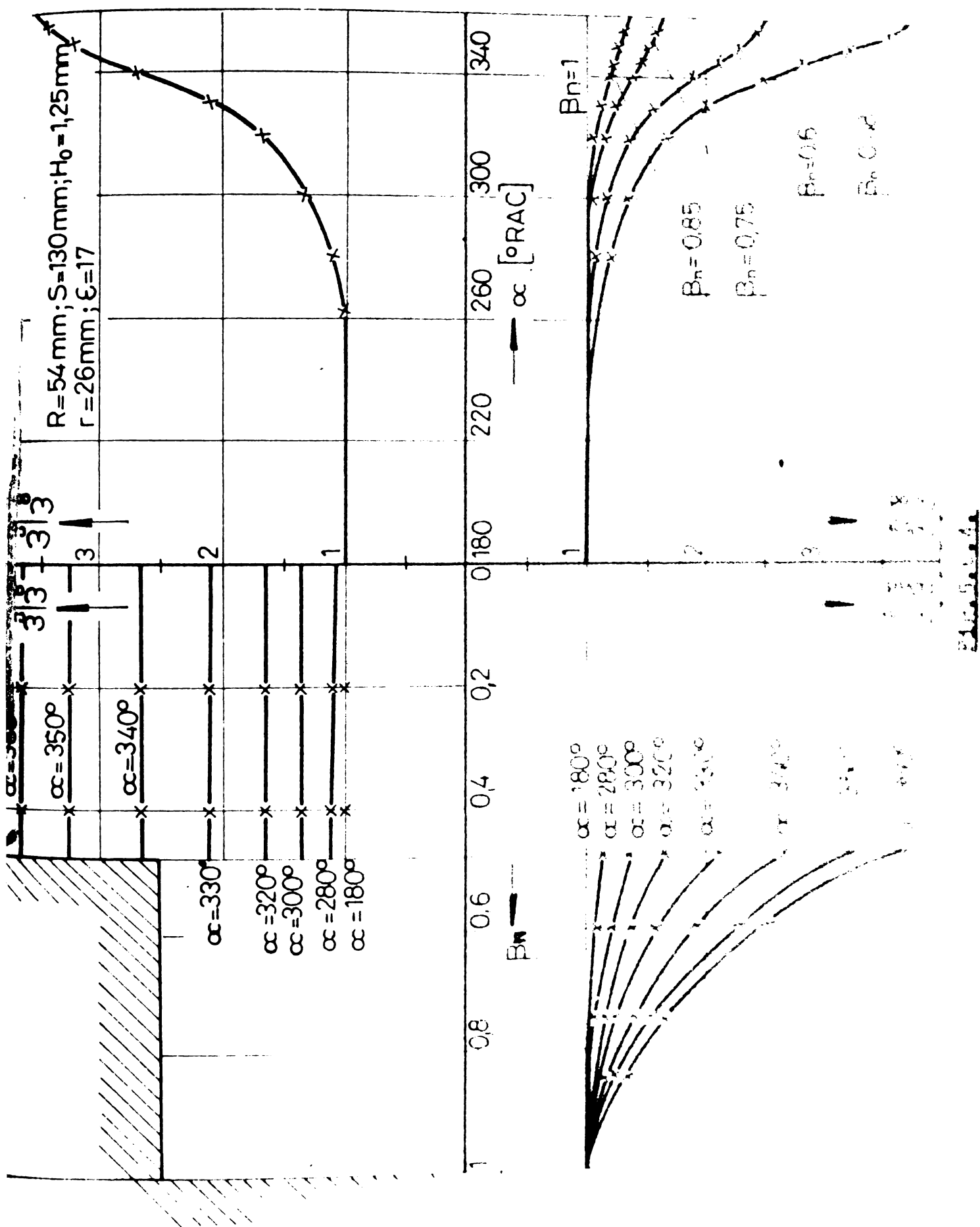


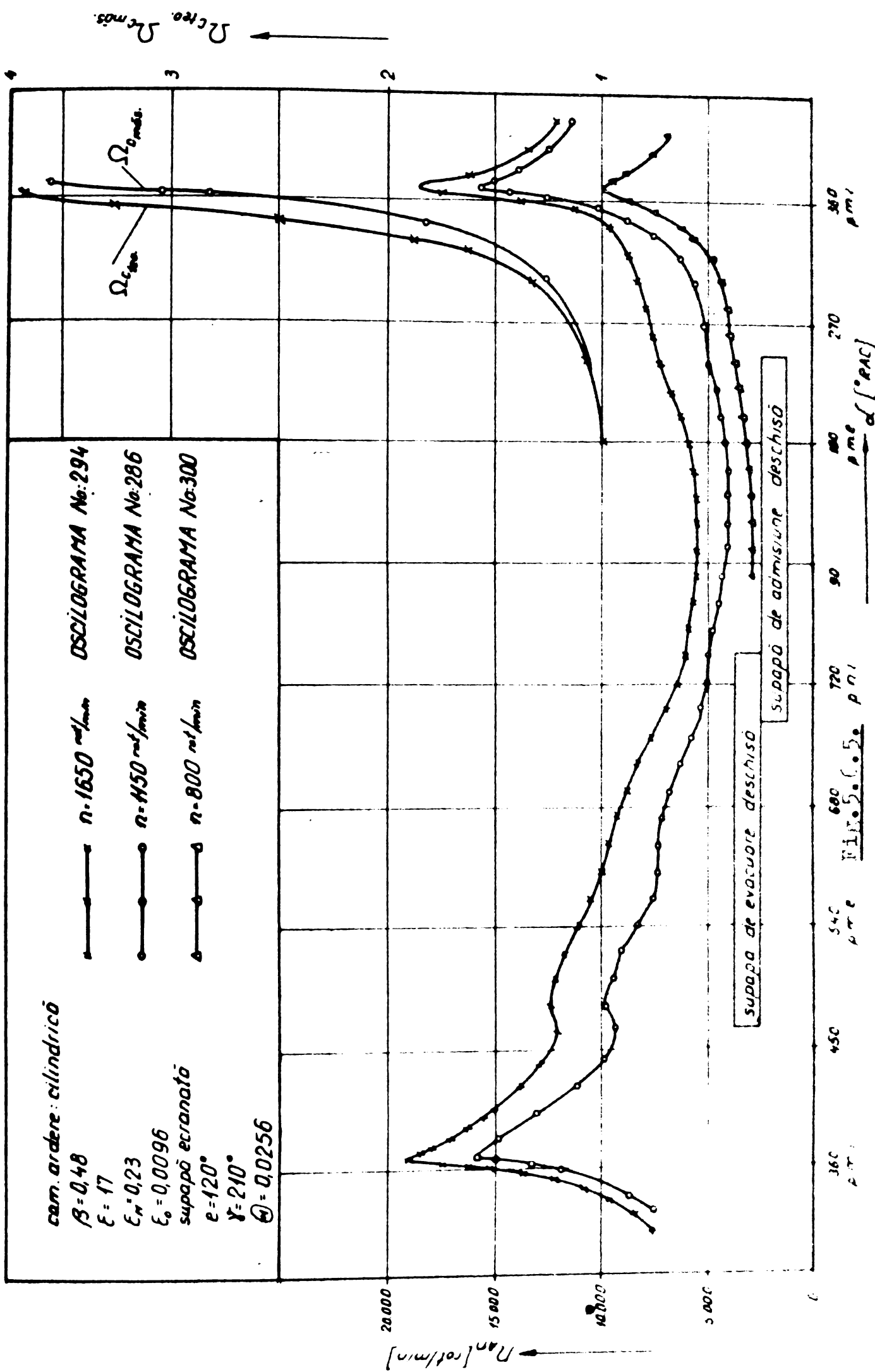
Fig. 5-5-31-c











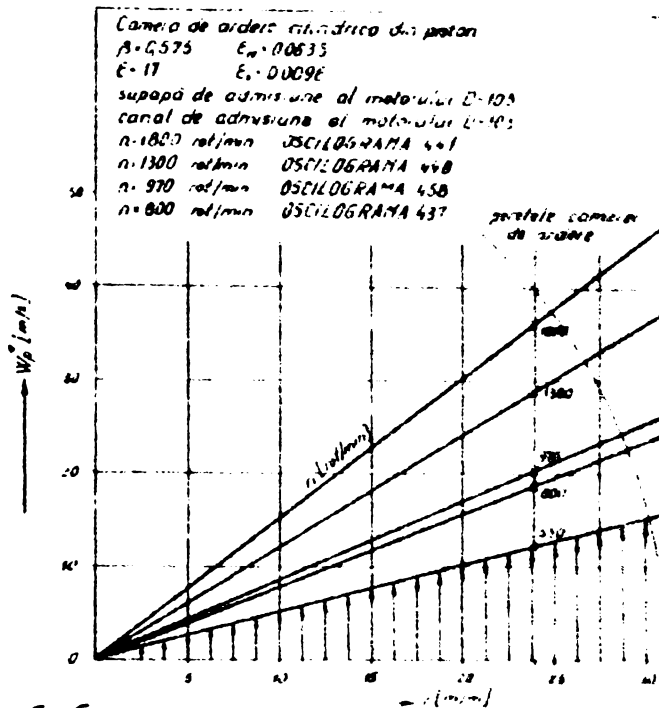
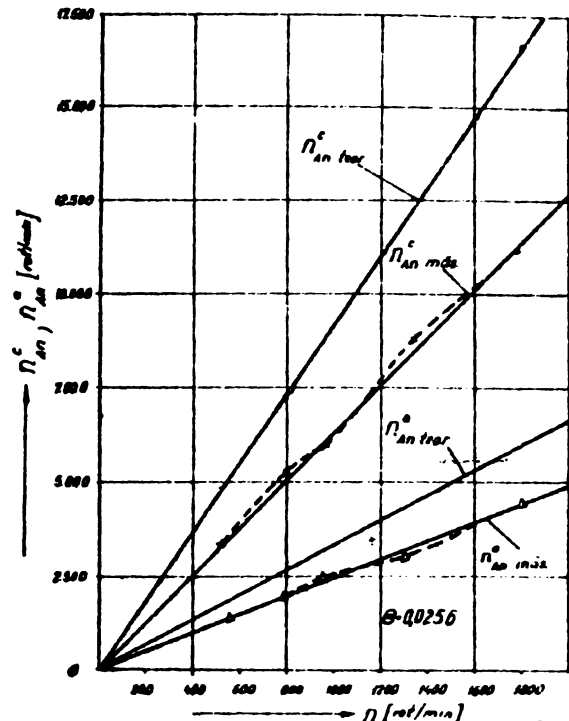


Fig.5.6.6.-a

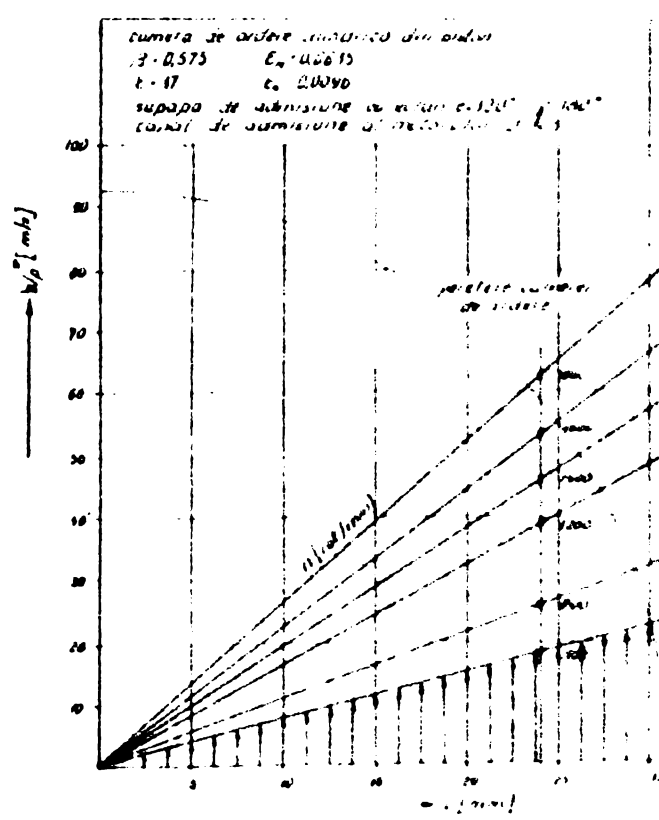
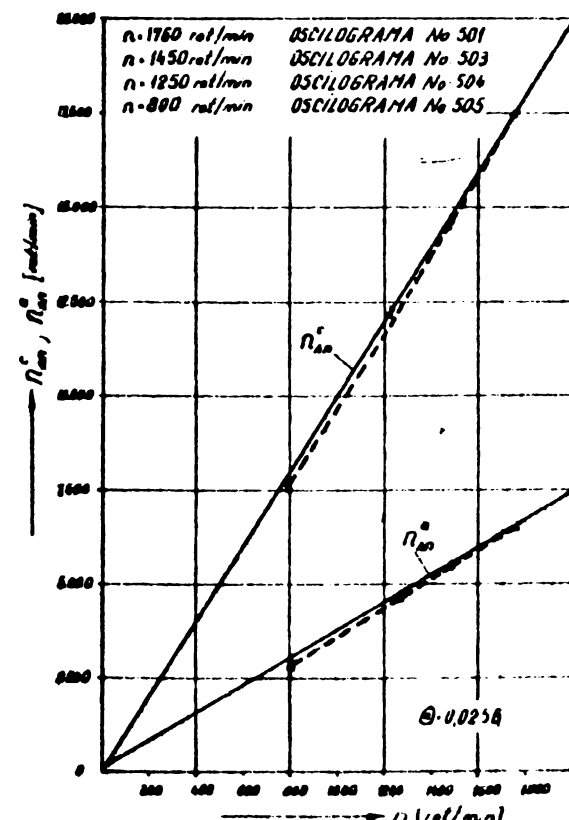


Fig.5.6.6.-b

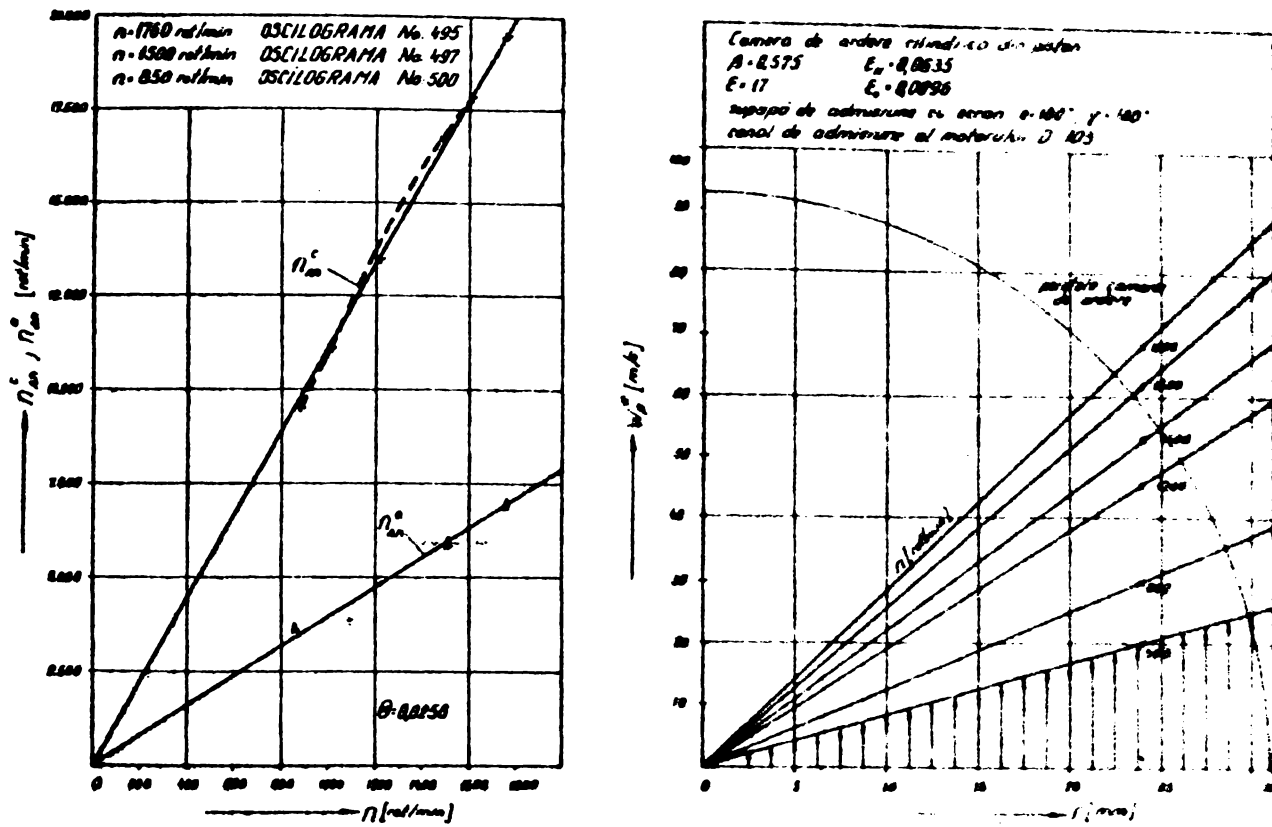


Fig. 5.6.7-a-b

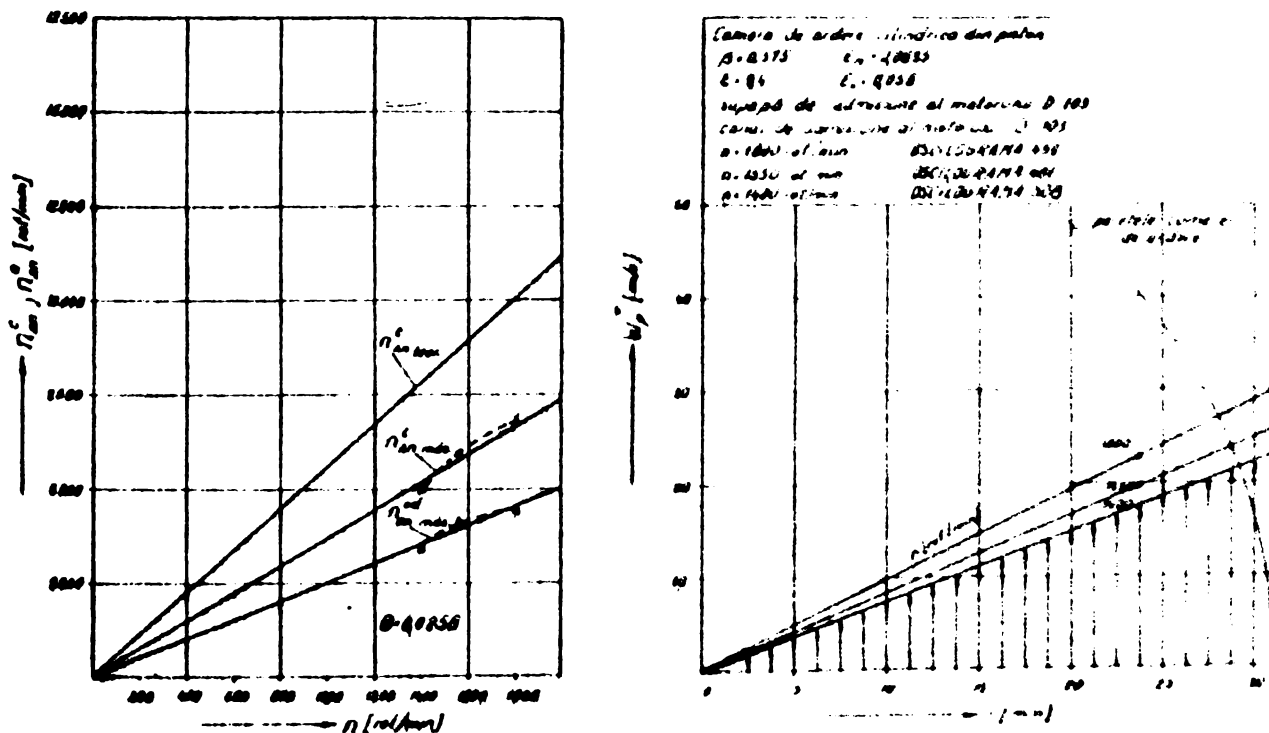


Fig. 5.6.7-a-b

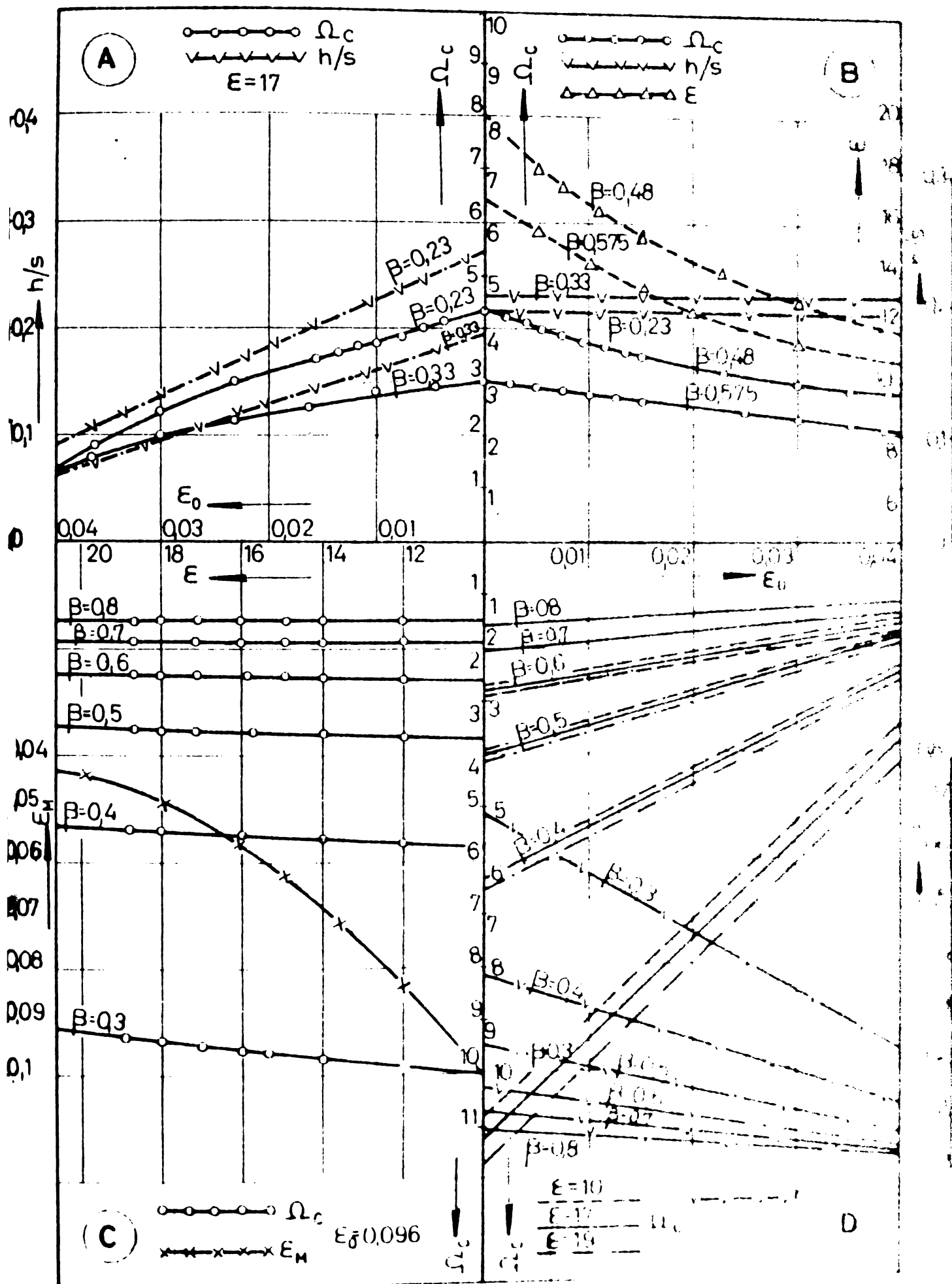
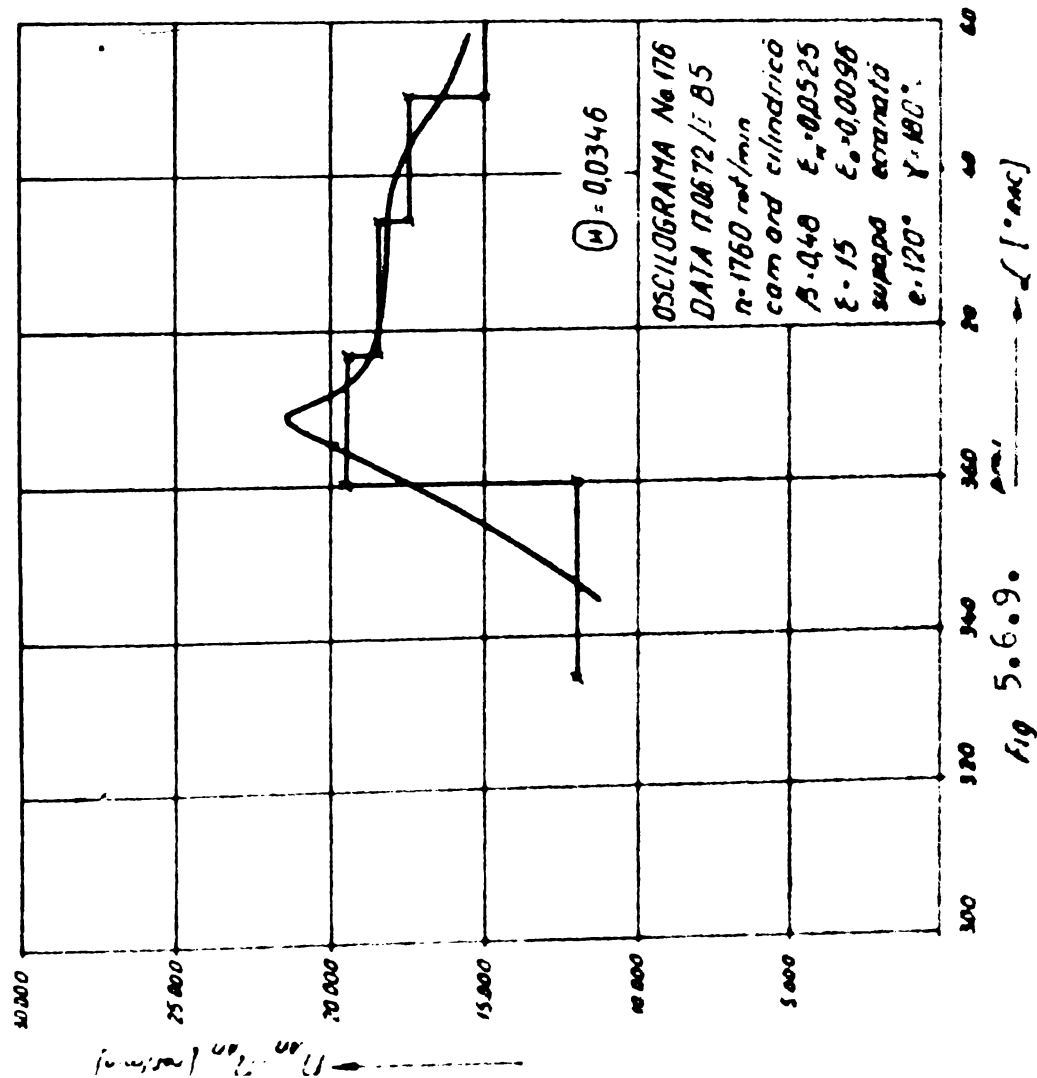
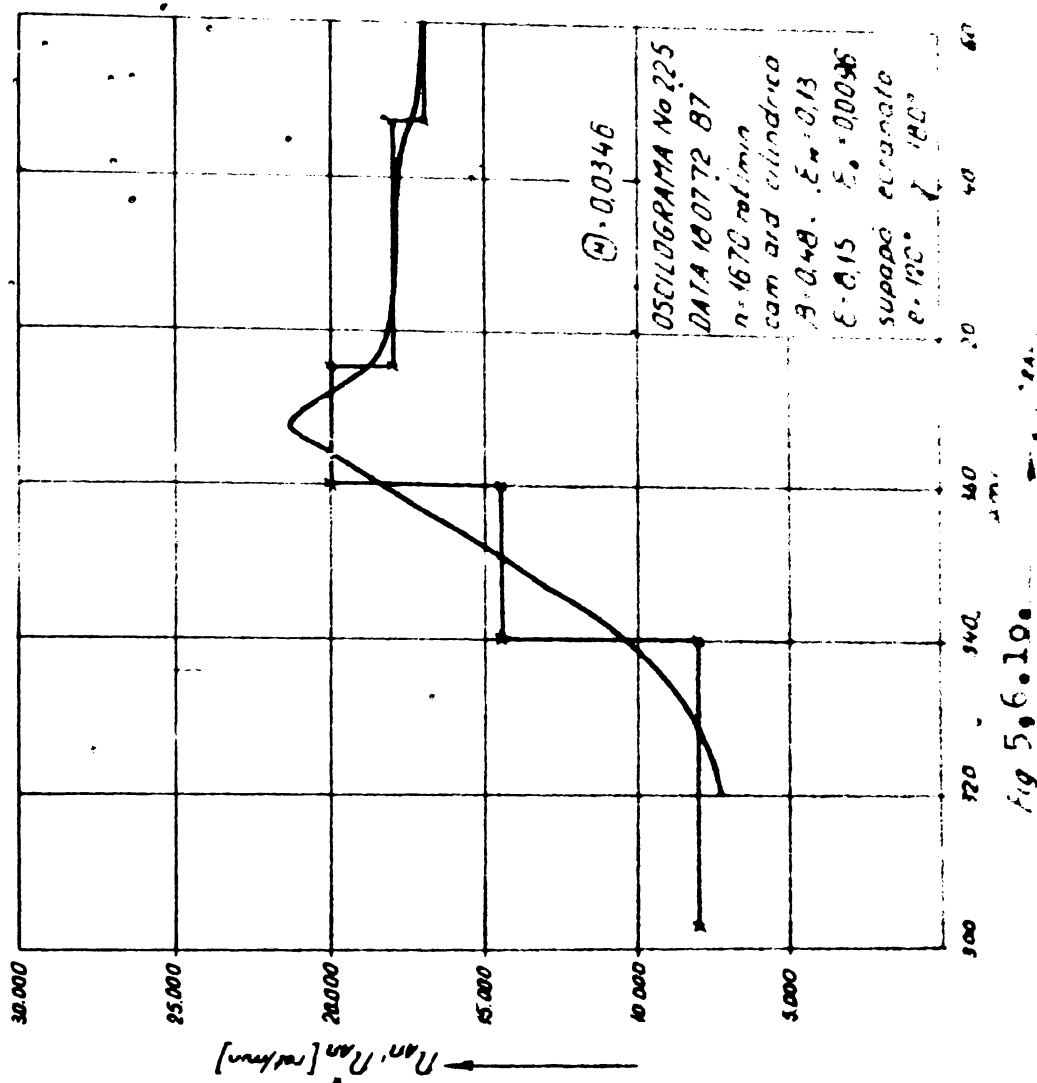


Fig. 5.6.8.



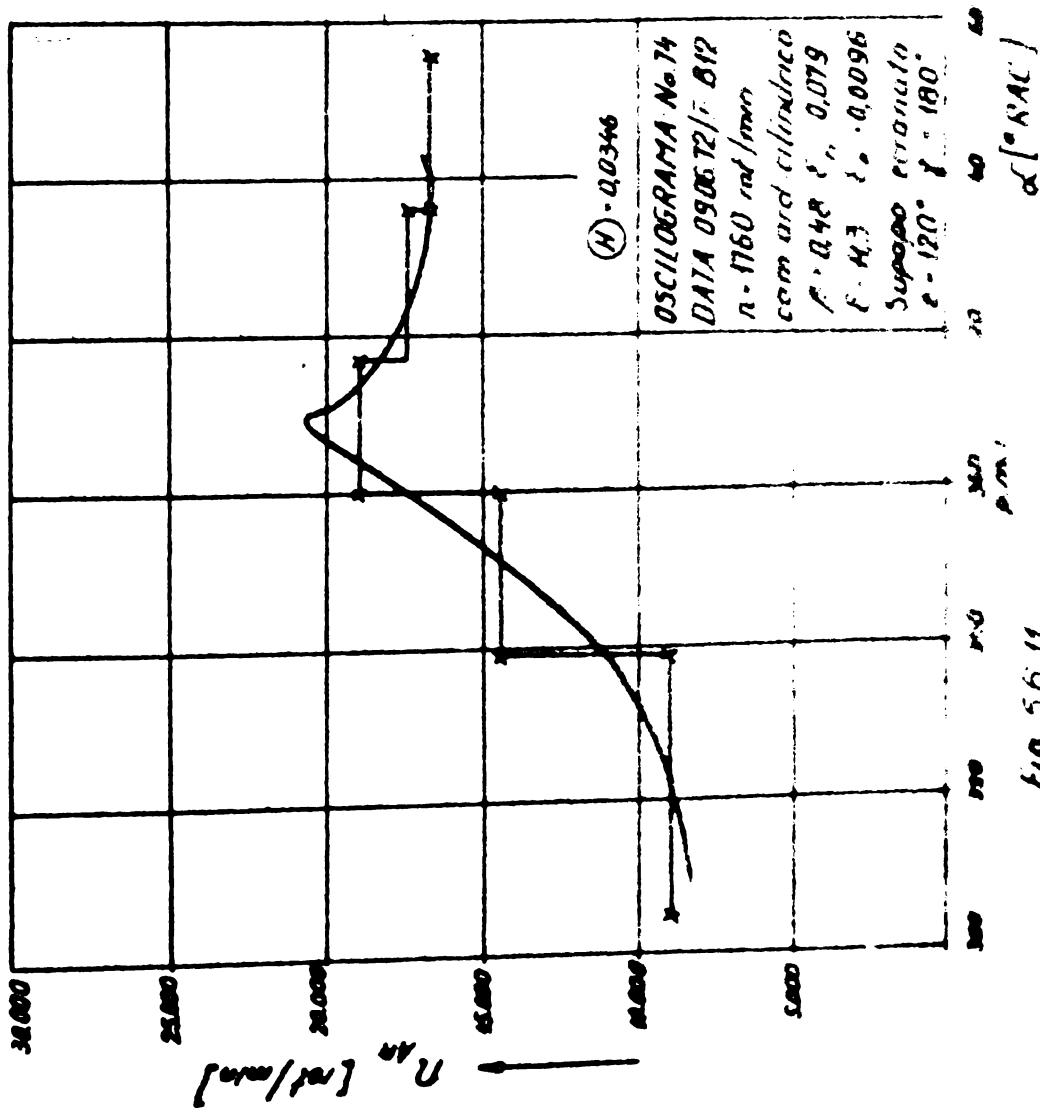
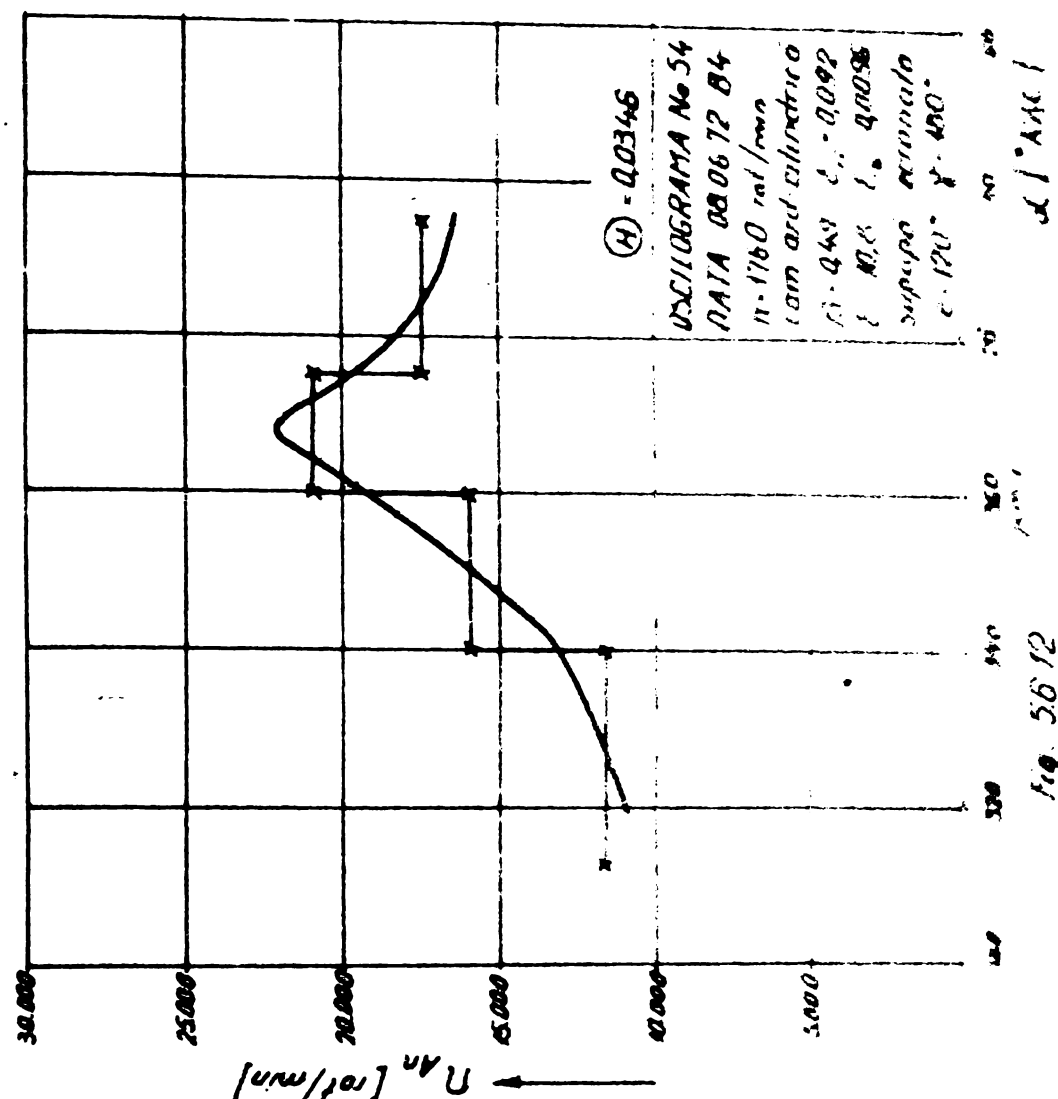
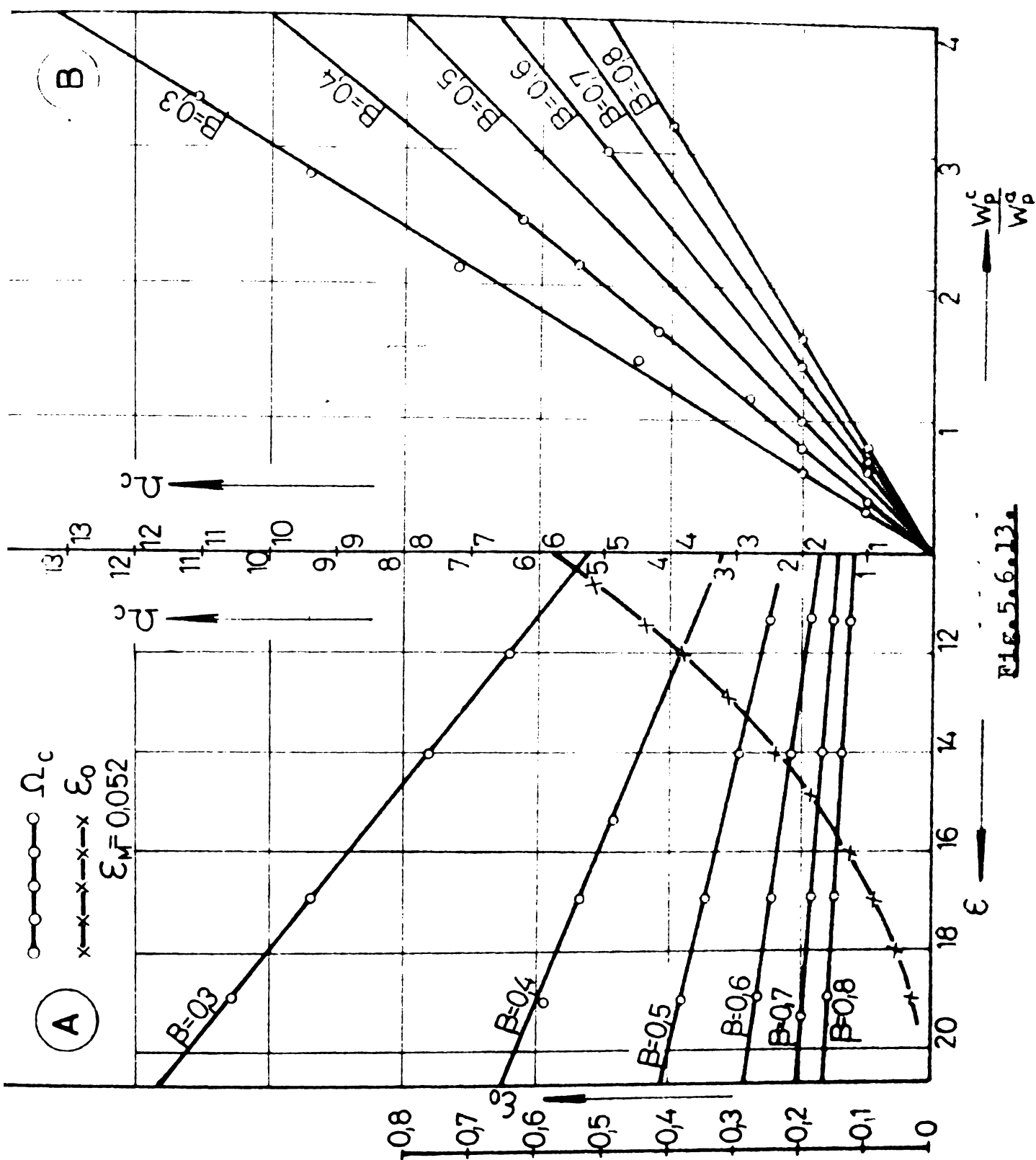


Fig 56/11

Fig 56/12



<i>Reportul</i>	<i>calculat</i>	<i>măsurat</i>
$n_{\text{sp}} \text{ spic}$		
$\frac{n_{\text{sp}}}{n_{\text{sp}} \text{ oil. } \beta = 0.48}$	1.300	1.280
$\frac{n_{\text{sp}}}{n_{\text{sp}} \text{ cil. } \beta = 0.45}$	1.140	1.135
$\frac{n_{\text{sp}}}{n_{\text{sp}} \text{ cil. } \beta = 0.48}$		

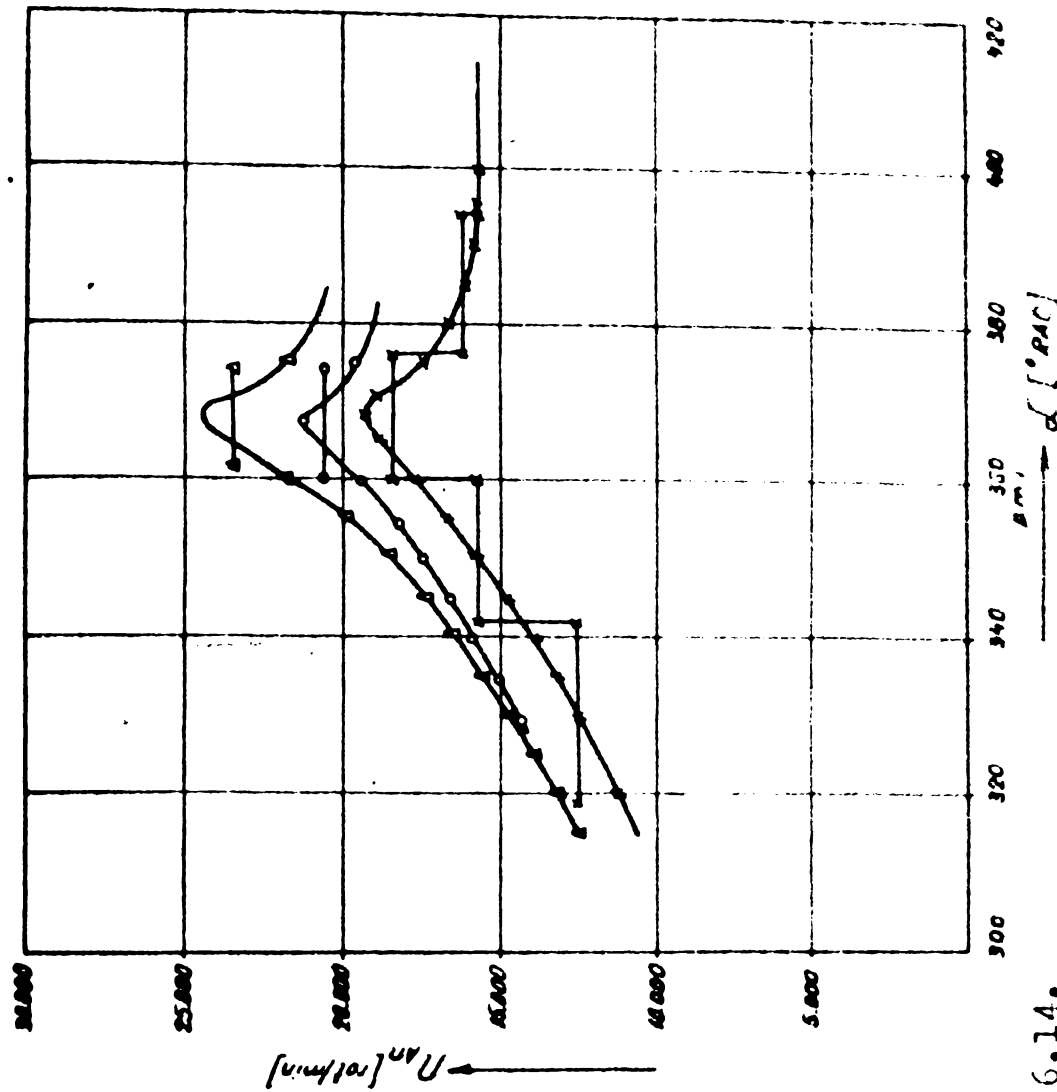
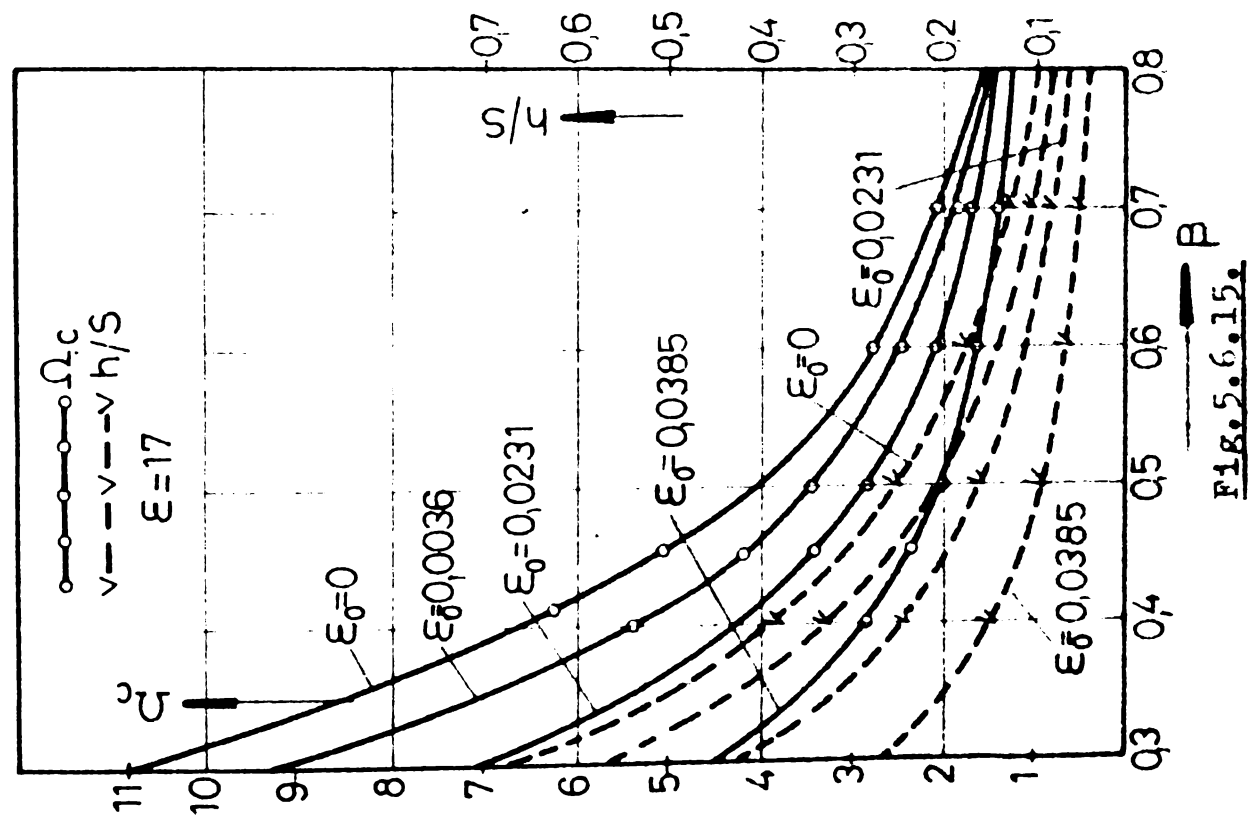
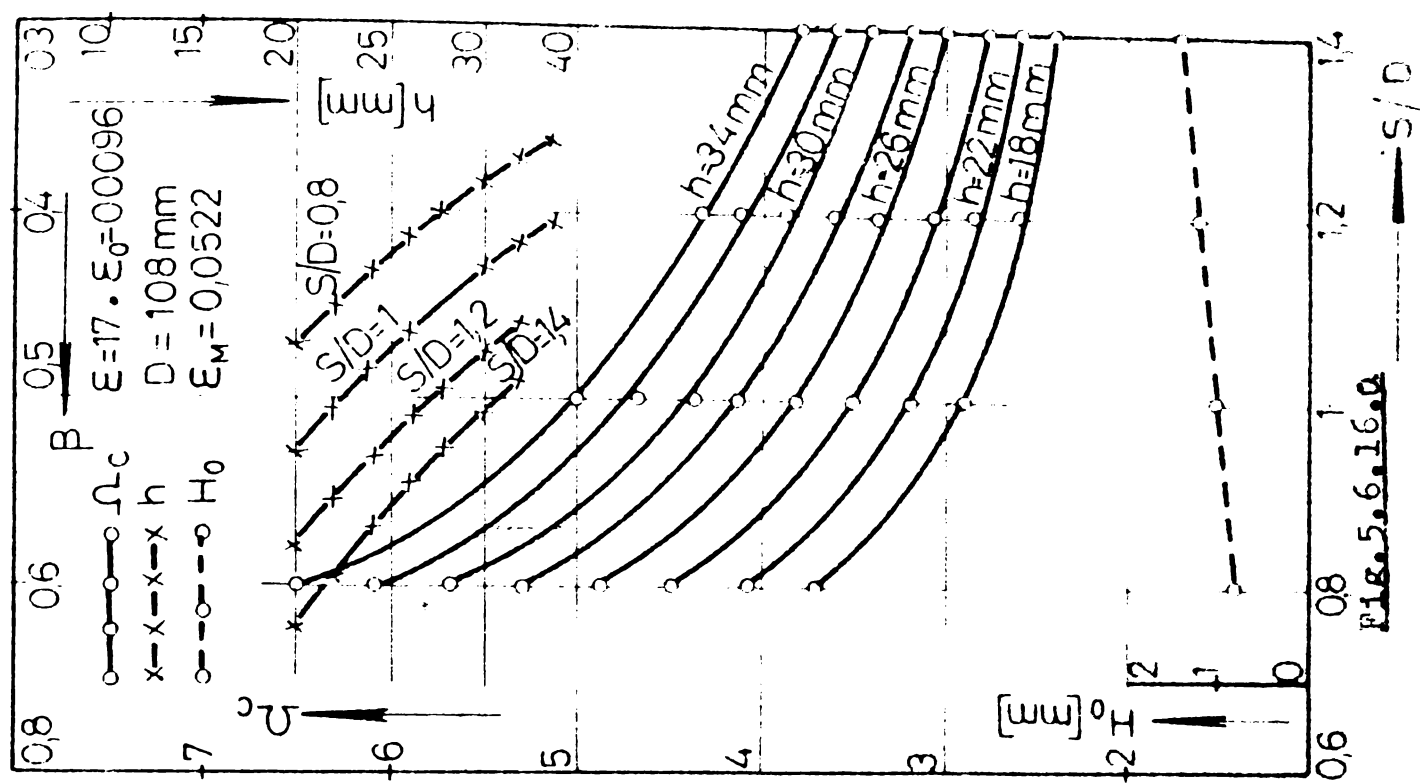


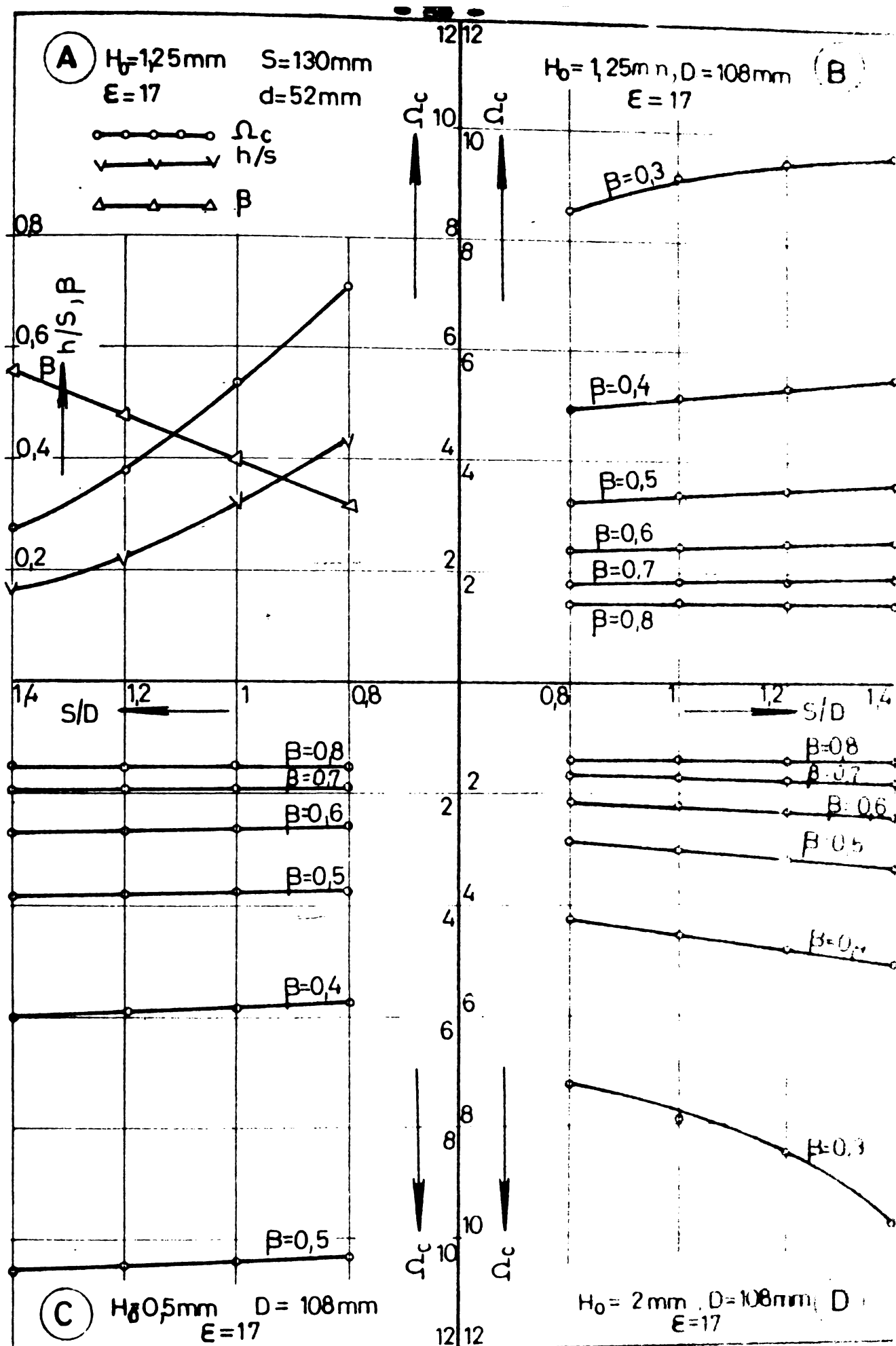
FIG. 5.6.14.

OSCILOGRAMA No.182 $n = 1650$ rad/min
DATA 17.06.72/ș. BII cam ard. cilindric
 $\beta = 0.48$ $E = 0.0096$
 suprață ecranată
 $\alpha = 120^\circ$ $\beta = 210^\circ$
 $\Theta = 0.0256$

OSCILOGRAMA No.158 $n = 1650$ rad/min
DATA 14.06.72/ș. BII cam ard. cilindric
 $\beta = 0.45$ $E = 0.0096$
 suprață ecranată
 $\alpha = 120^\circ$ $\beta = 210^\circ$
 $\Theta = 0.0256$

OSCILOGRAMA No.160 $n = 1650$ rad/min
DATA 14.06.72/ș. BII cam ard. spic
 $\beta = 24.25$ mm
 $E = 17$ $E = 0.0096$
 suprață ecranată
 $\alpha = 120^\circ$ $\beta = 210^\circ$
 $\Theta = 0.0256$





Ex. 5.6.16.b

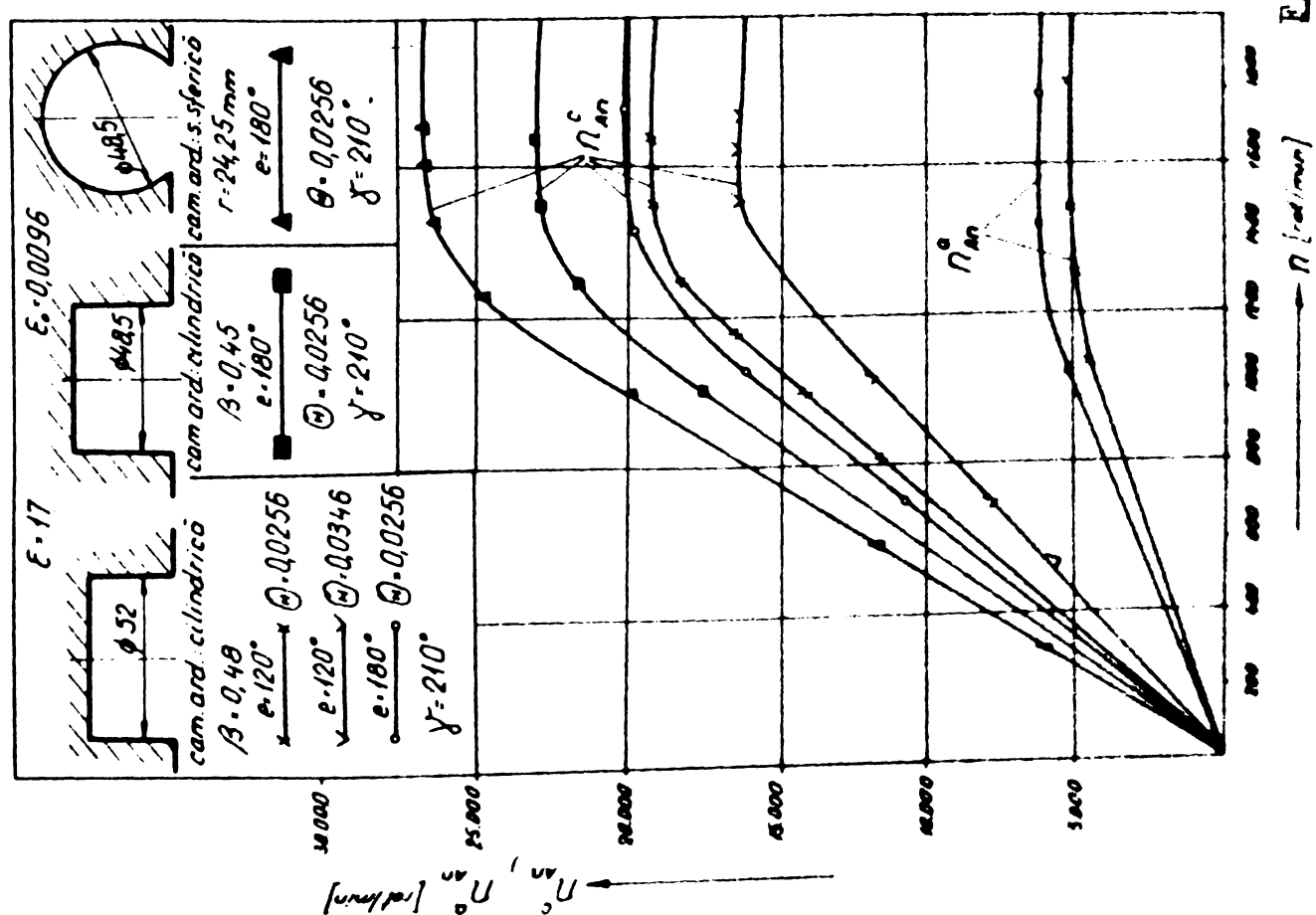
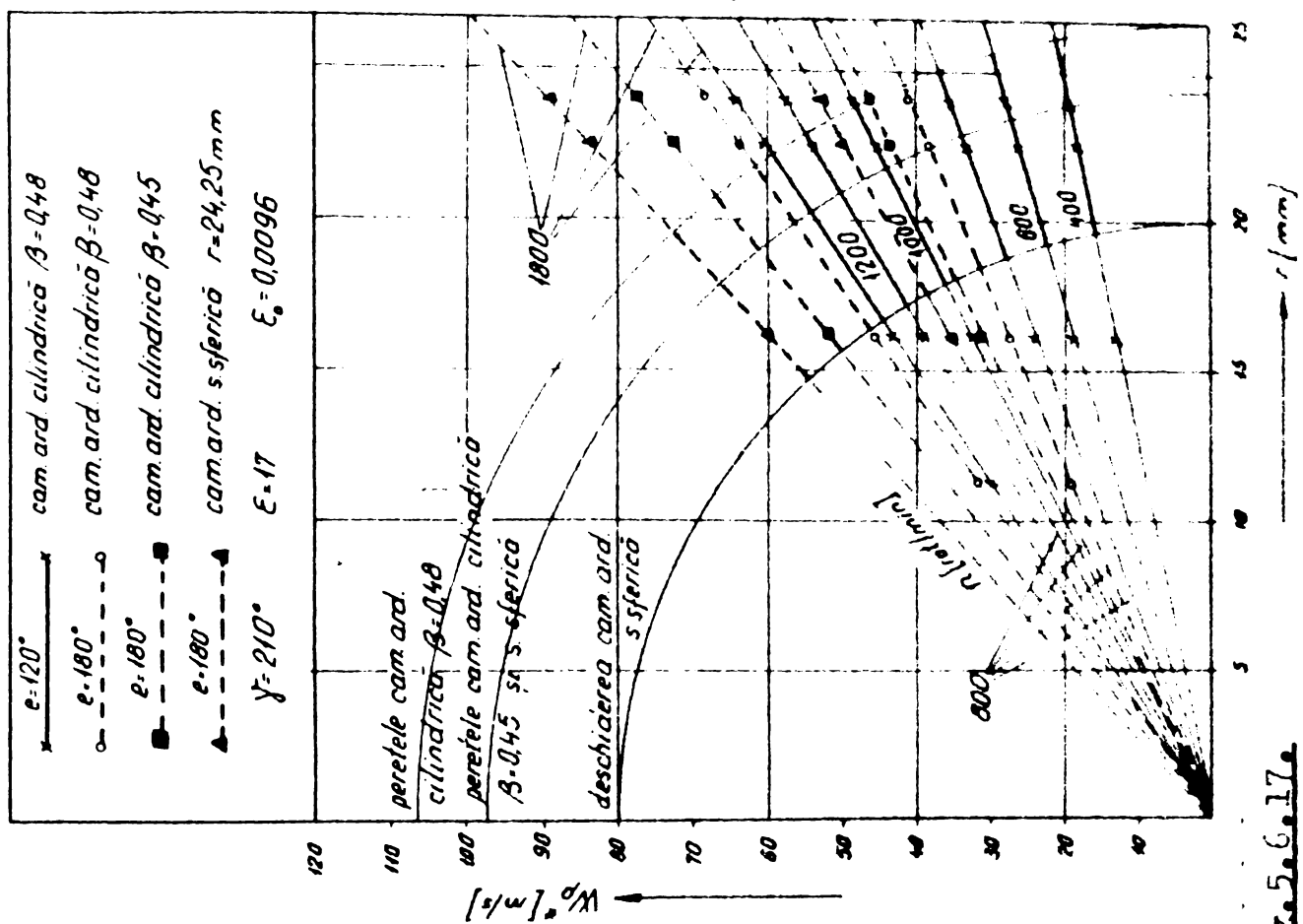
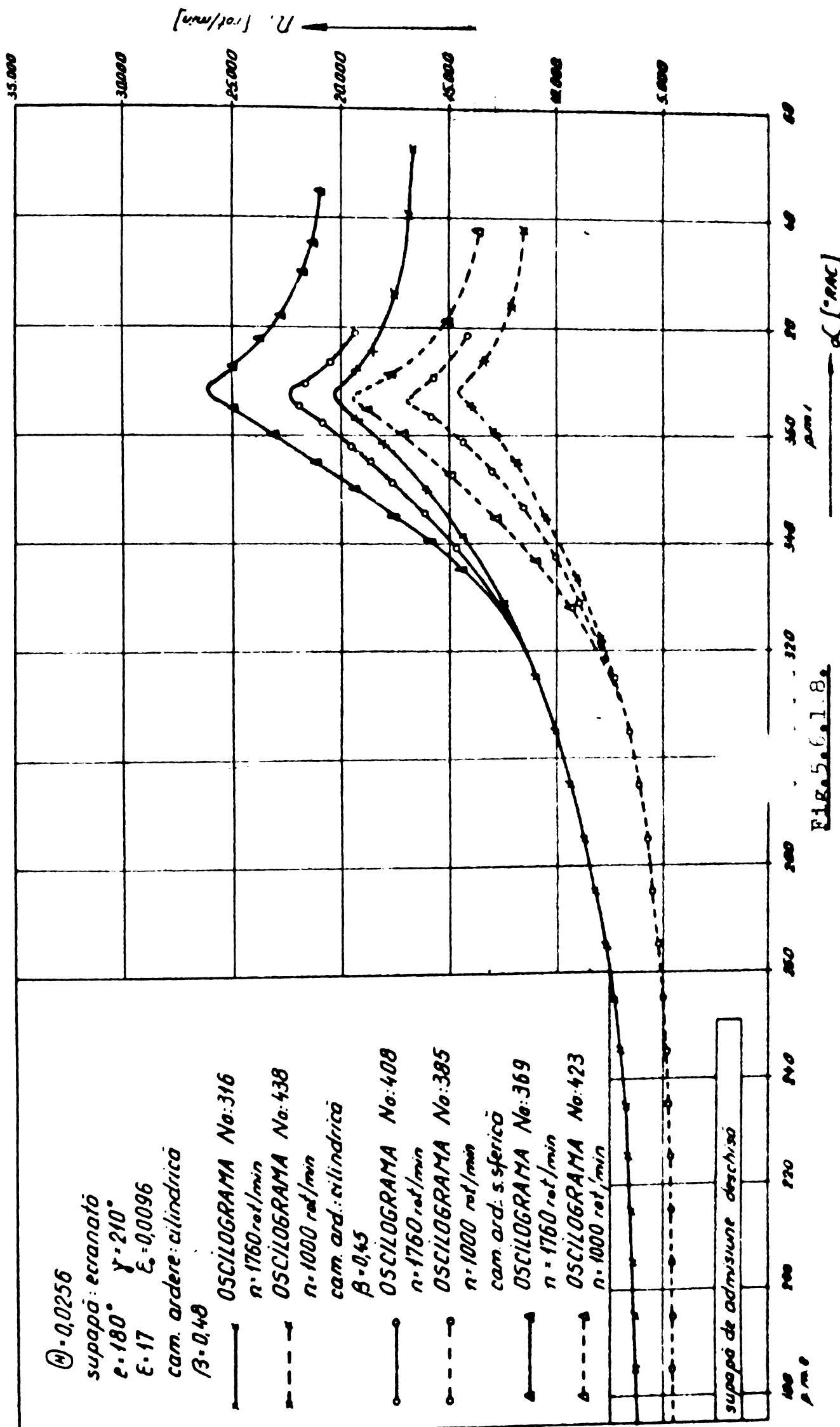


Figura 5.6.17a



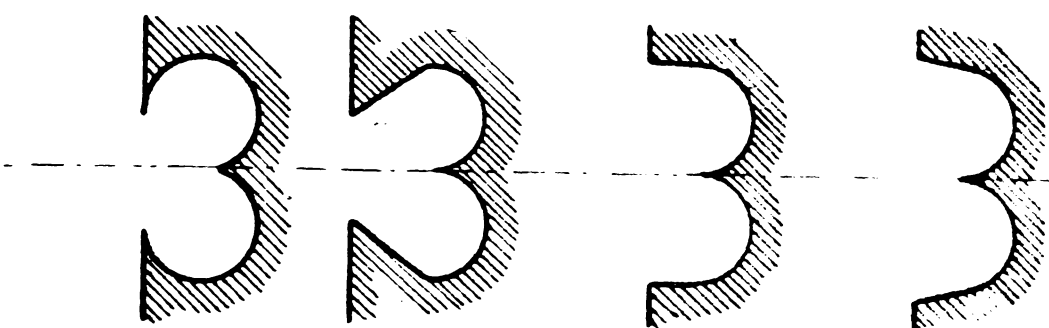
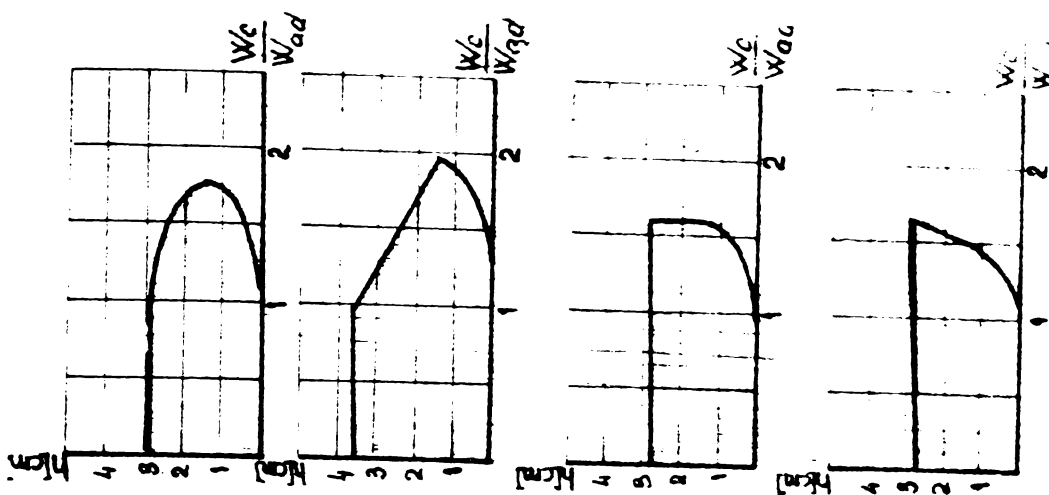
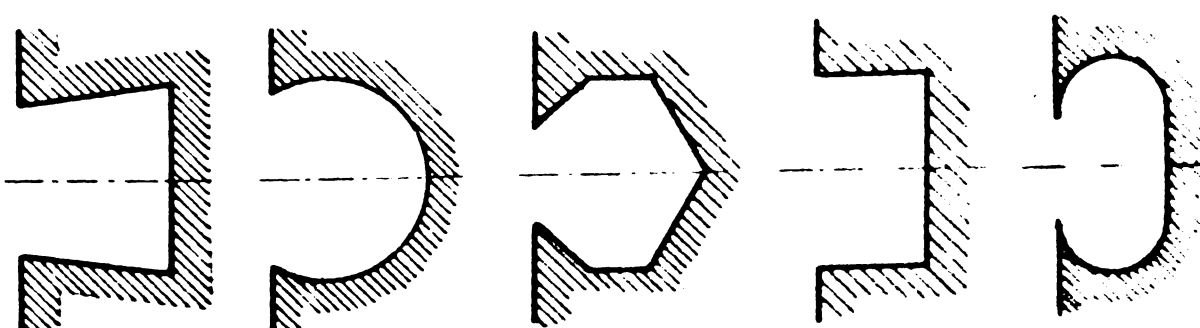
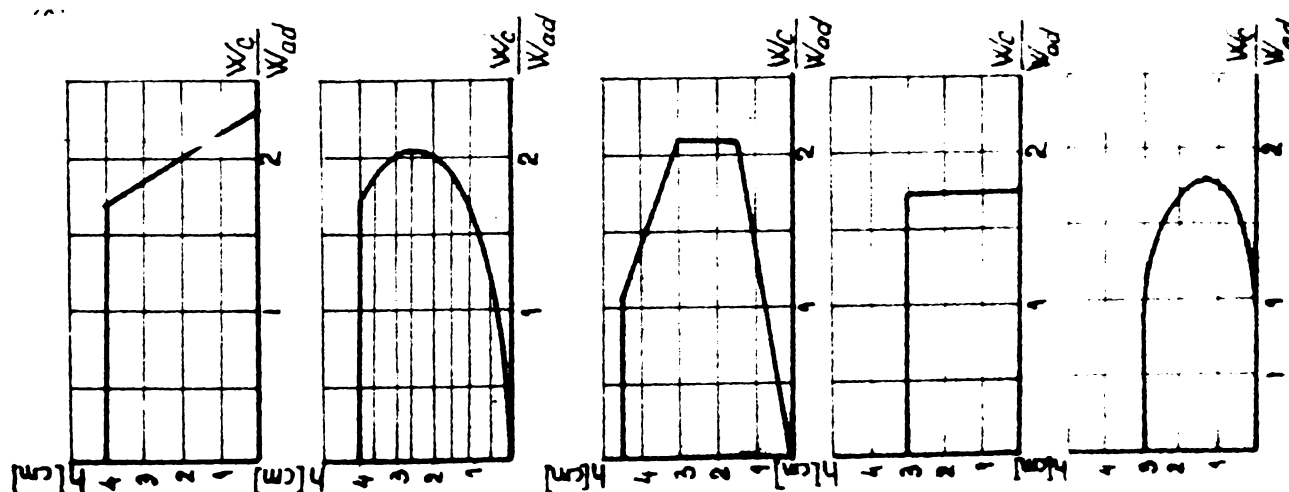


Fig. 5.6.19



$n = 1760 \text{ rot/min}$
 cam. ard. cilíndrico
 $\beta = 0.48$
 $E = 17 \quad E = 0.0096$
 supapo: ecranoado
 $e = 120^\circ$
 $\Theta = 0.0346$
 $\Omega = 0.0310$
 w_p^c
 $d_w = 48 \text{ mm}$

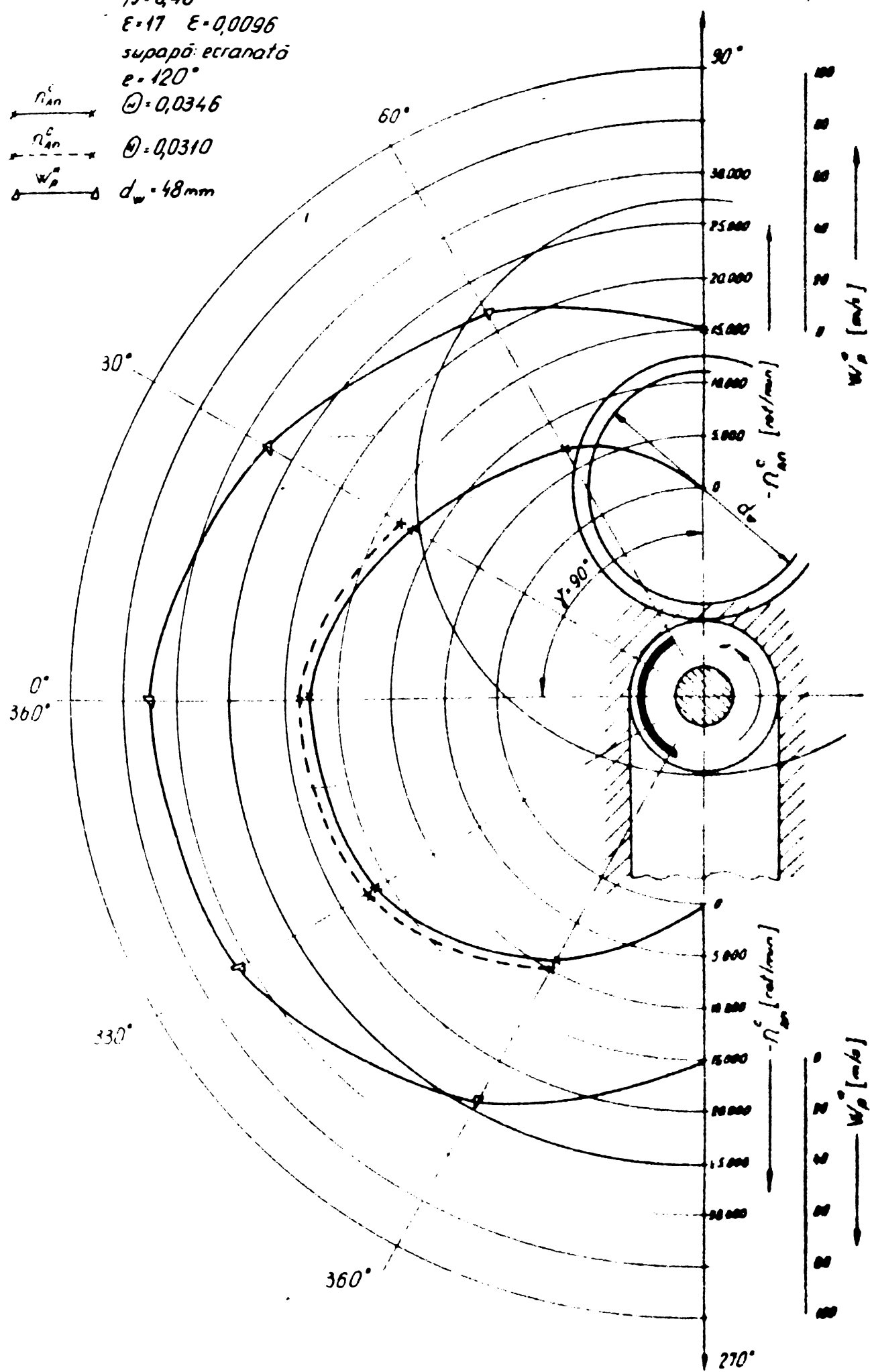


Fig. 5.6.20.

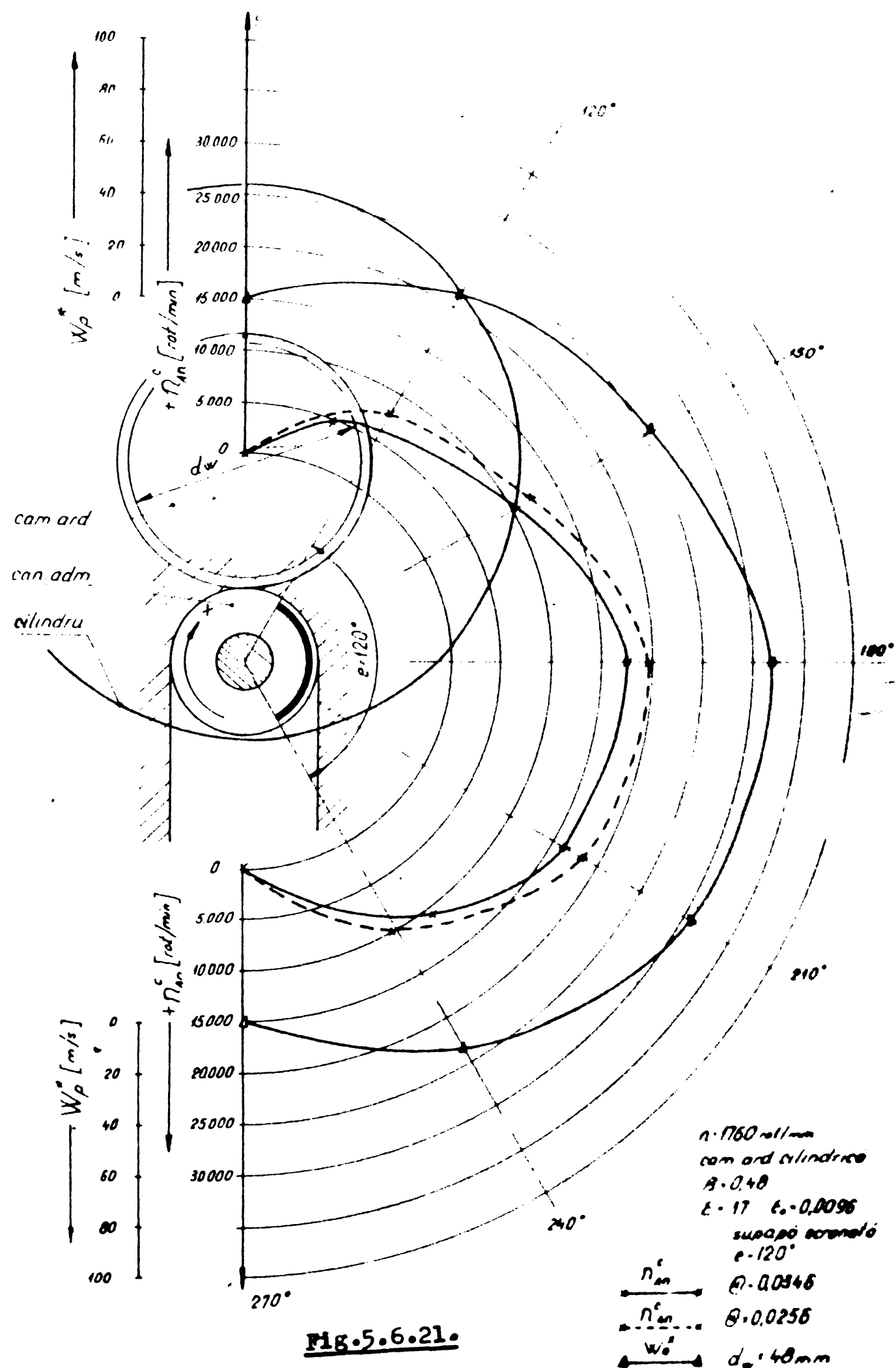


Fig. 5.6.21.

$n = 1760$ rot/min
 $E = 17 \quad E_0 = 0,0096$
supapo ecranato
 $e = 180^\circ$
 $\Theta = 0,0256$
cam. ard. cilindrico
 $\beta = 0,48$
 $d_w = 48\text{ mm}$

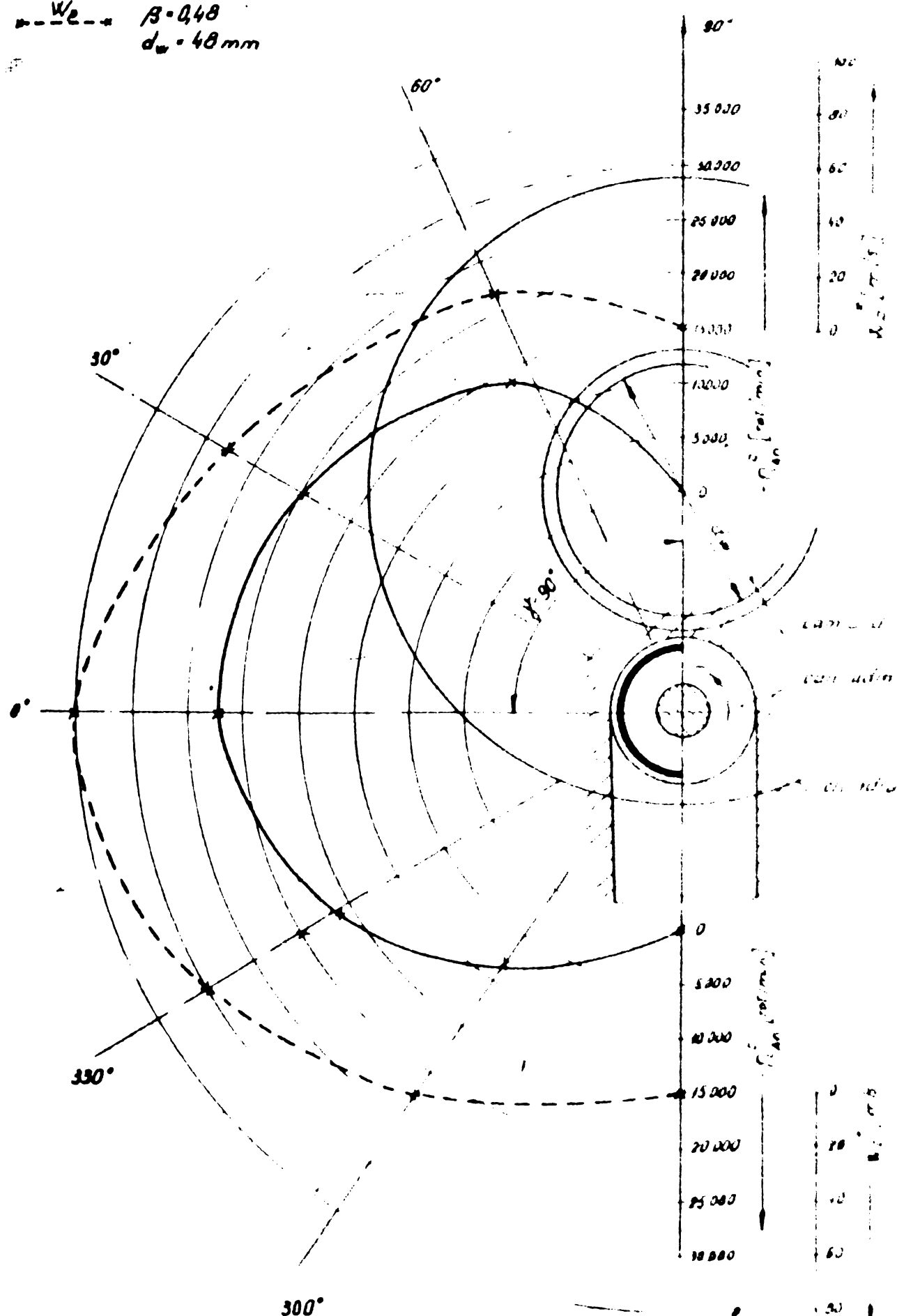
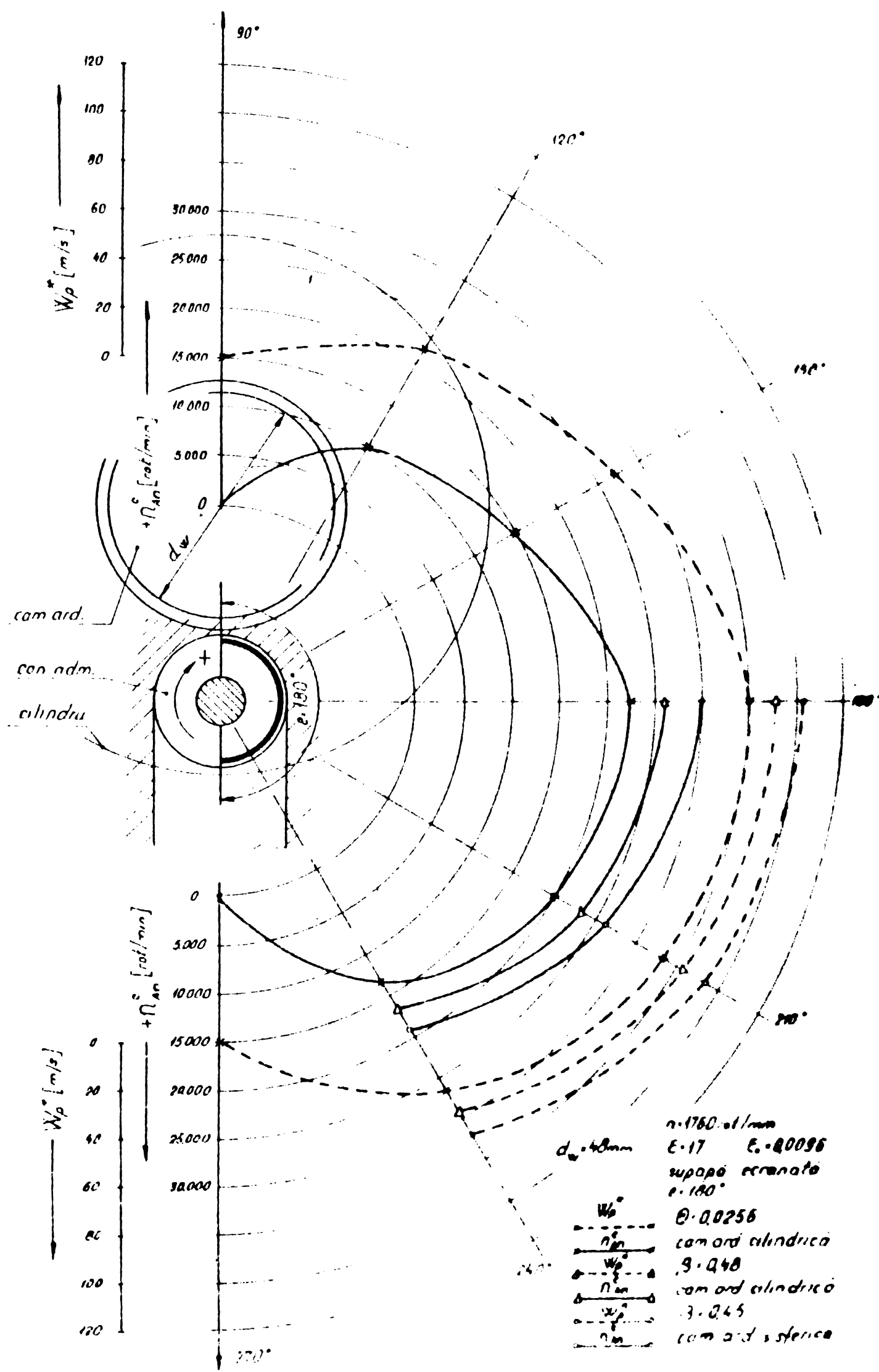


Fig. 5.6.22.



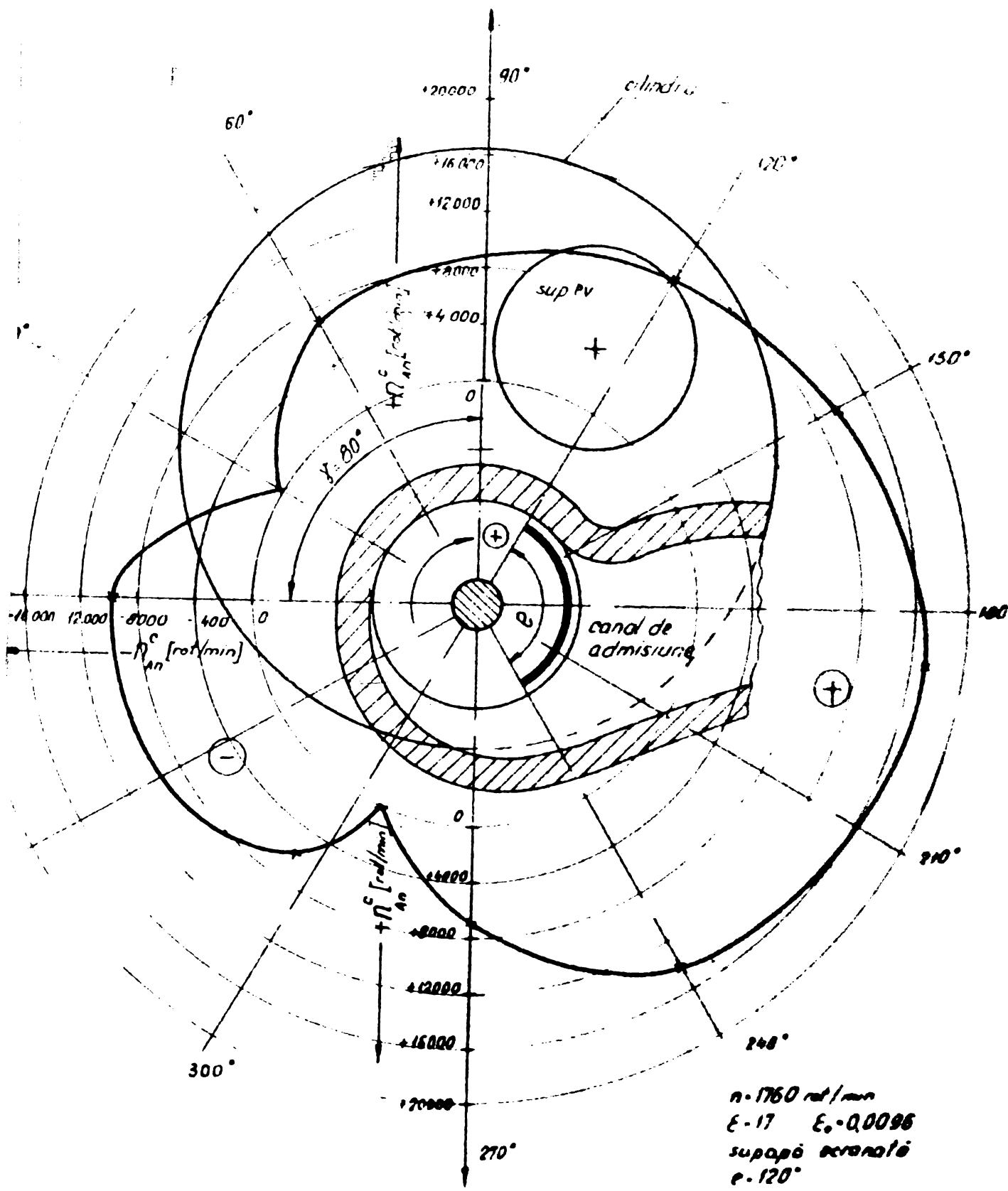
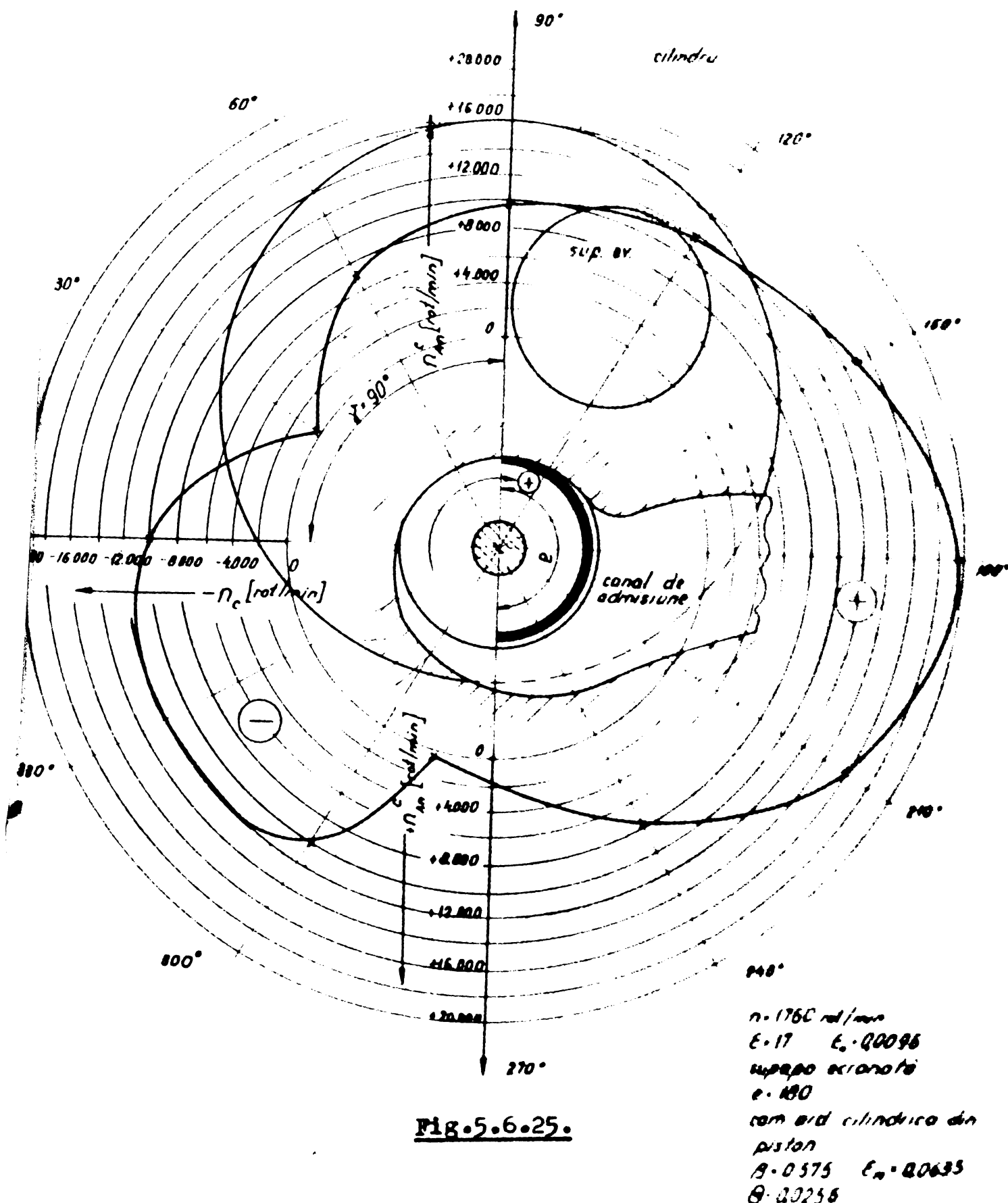


FIG. 5.6.24.

$n = 1760 \text{ rad/min}$
 $E = 17 \quad E_a = 0.0096$
supapa aerostatica
 $p = 120^\circ$
cam aerostatic din piston
 $A = 0.575 \quad E_a = 0.0635$
 $B = 0.0258$



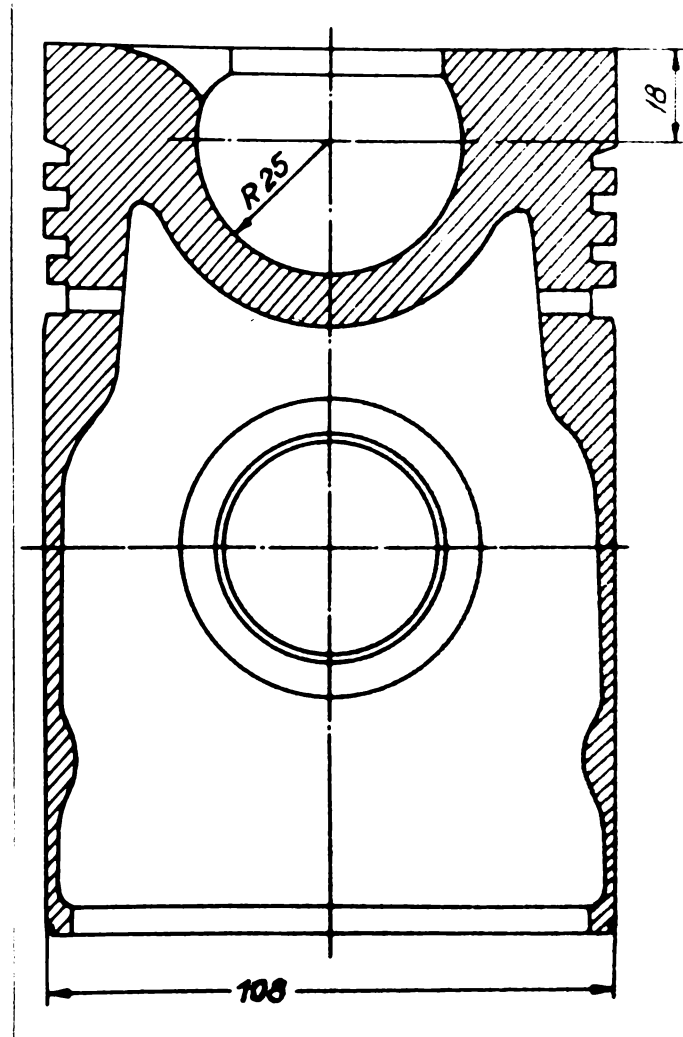


Fig. 5.6.26.

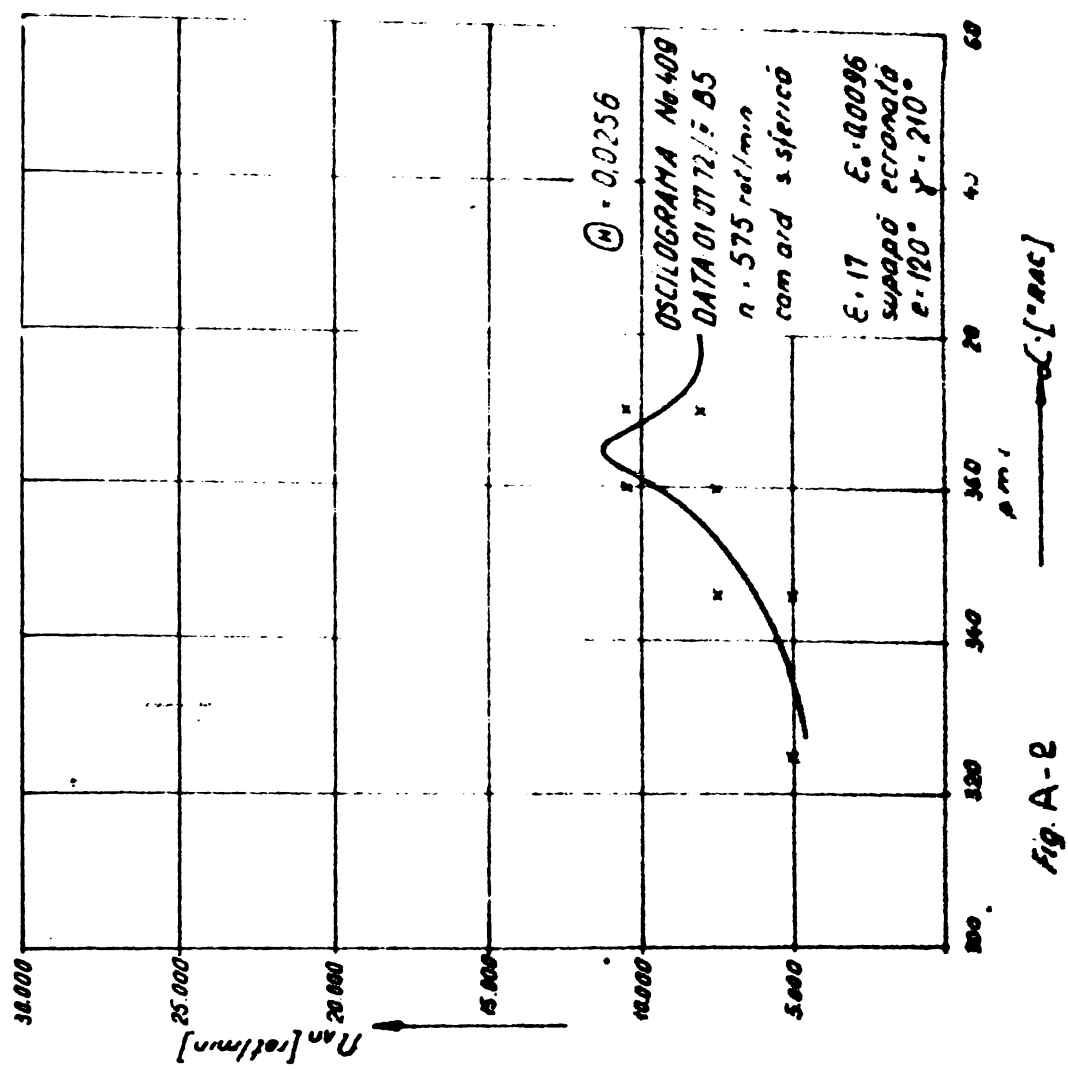


Fig. A-2

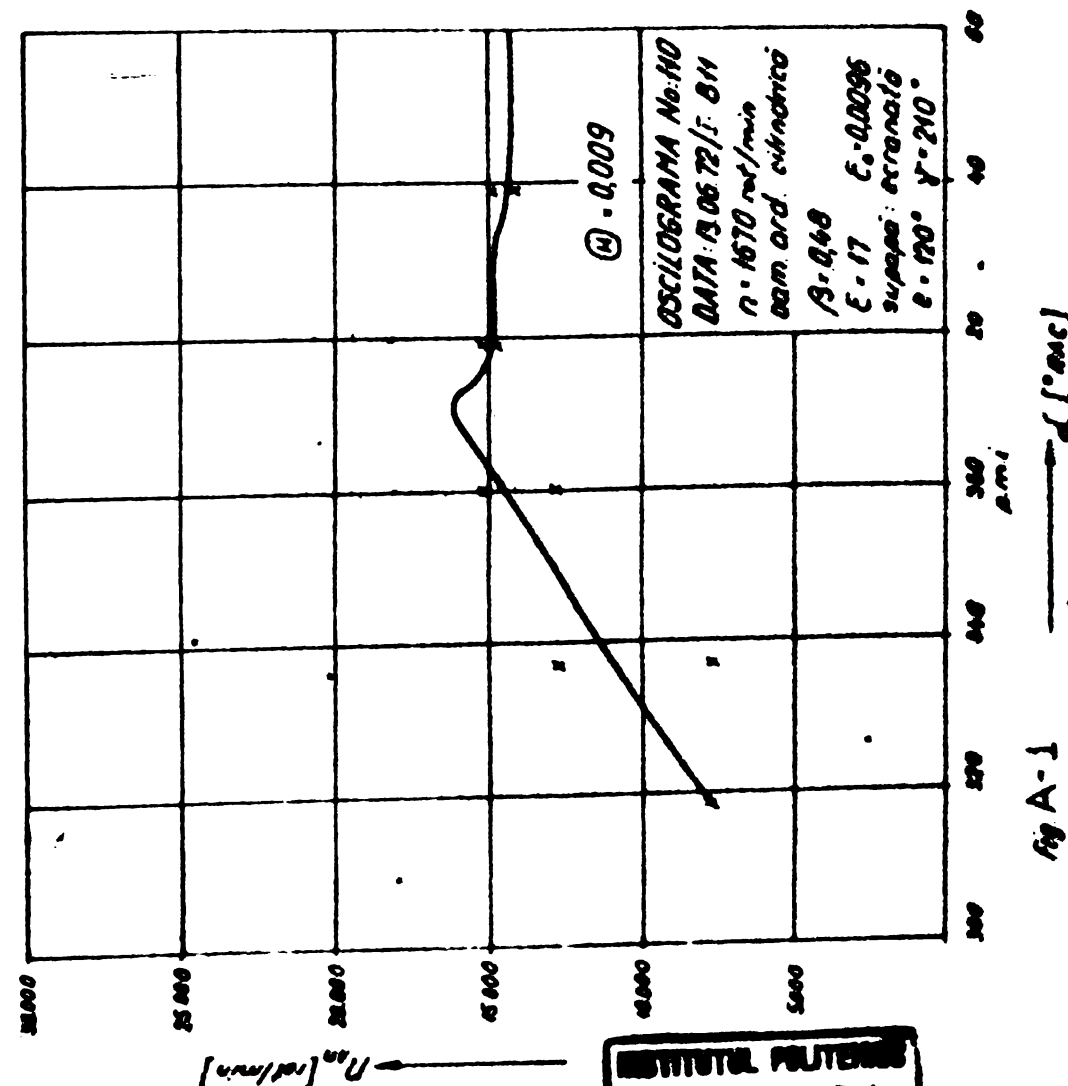


Fig. A-1

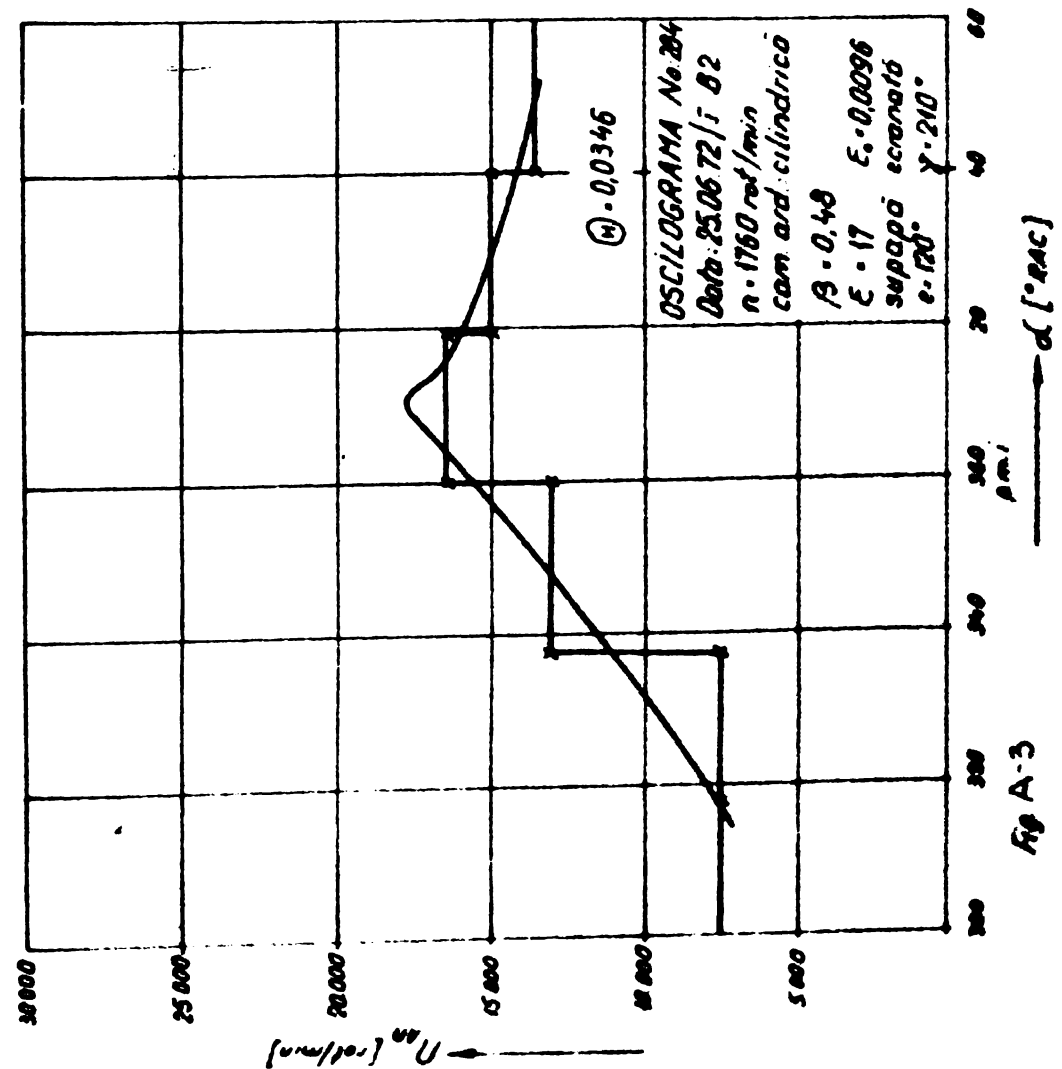
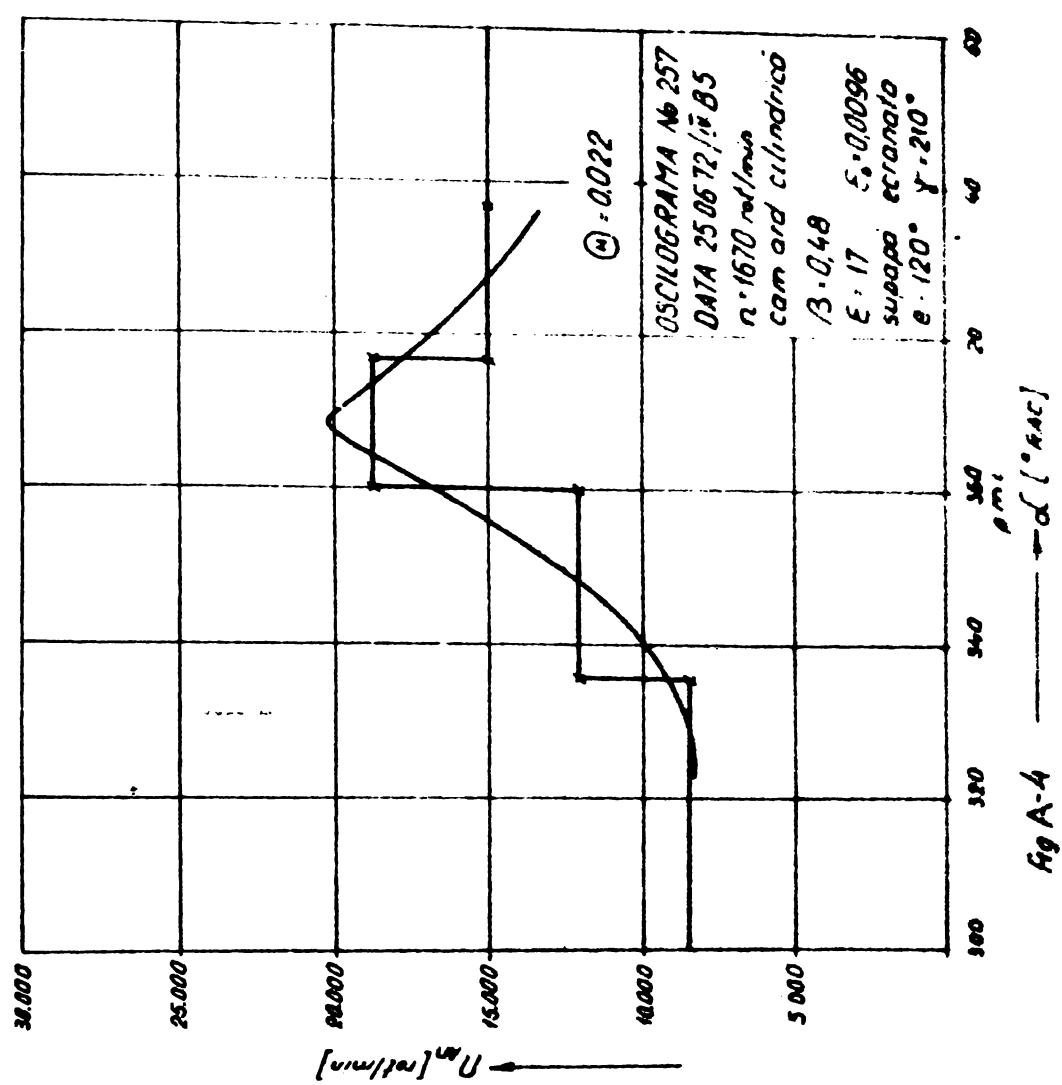
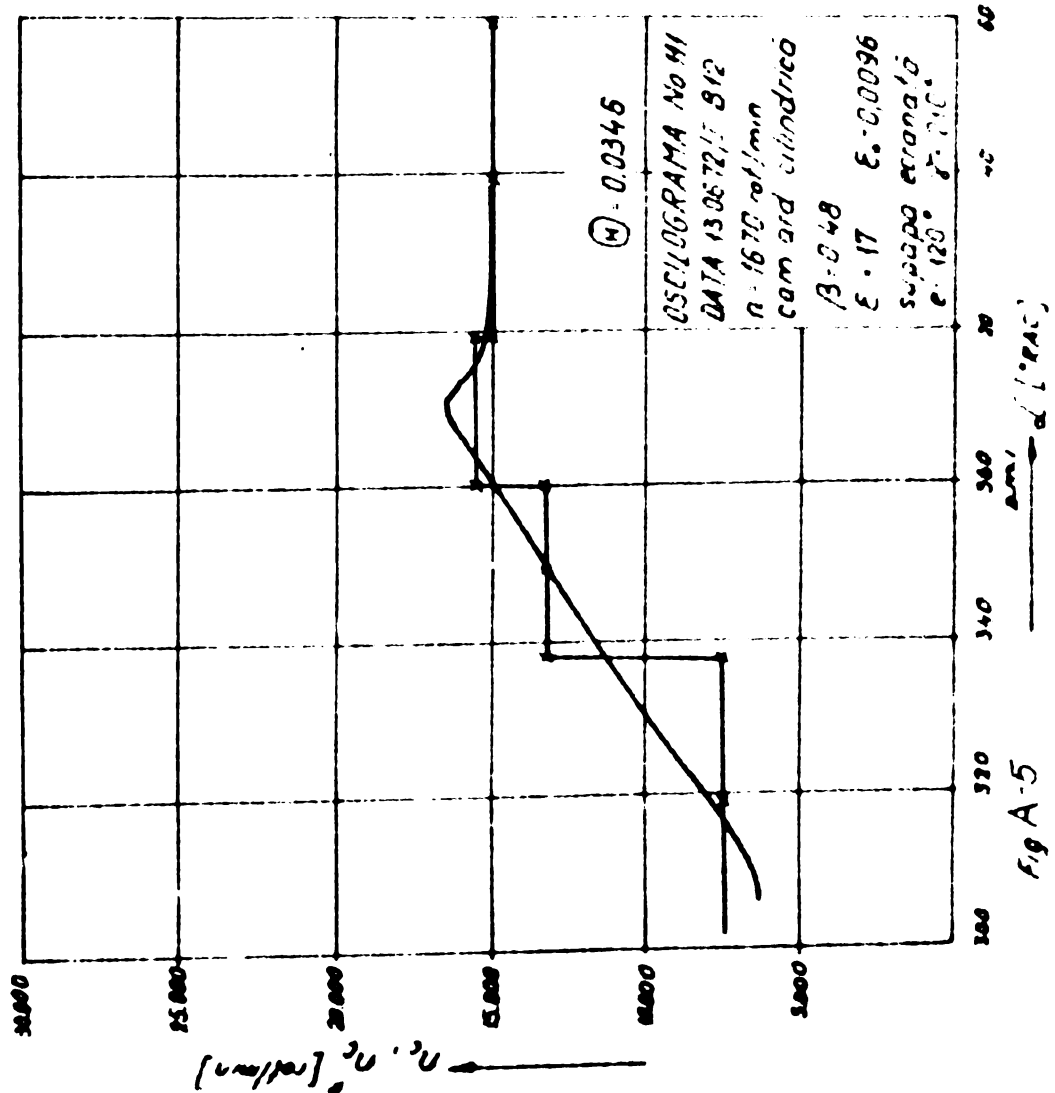
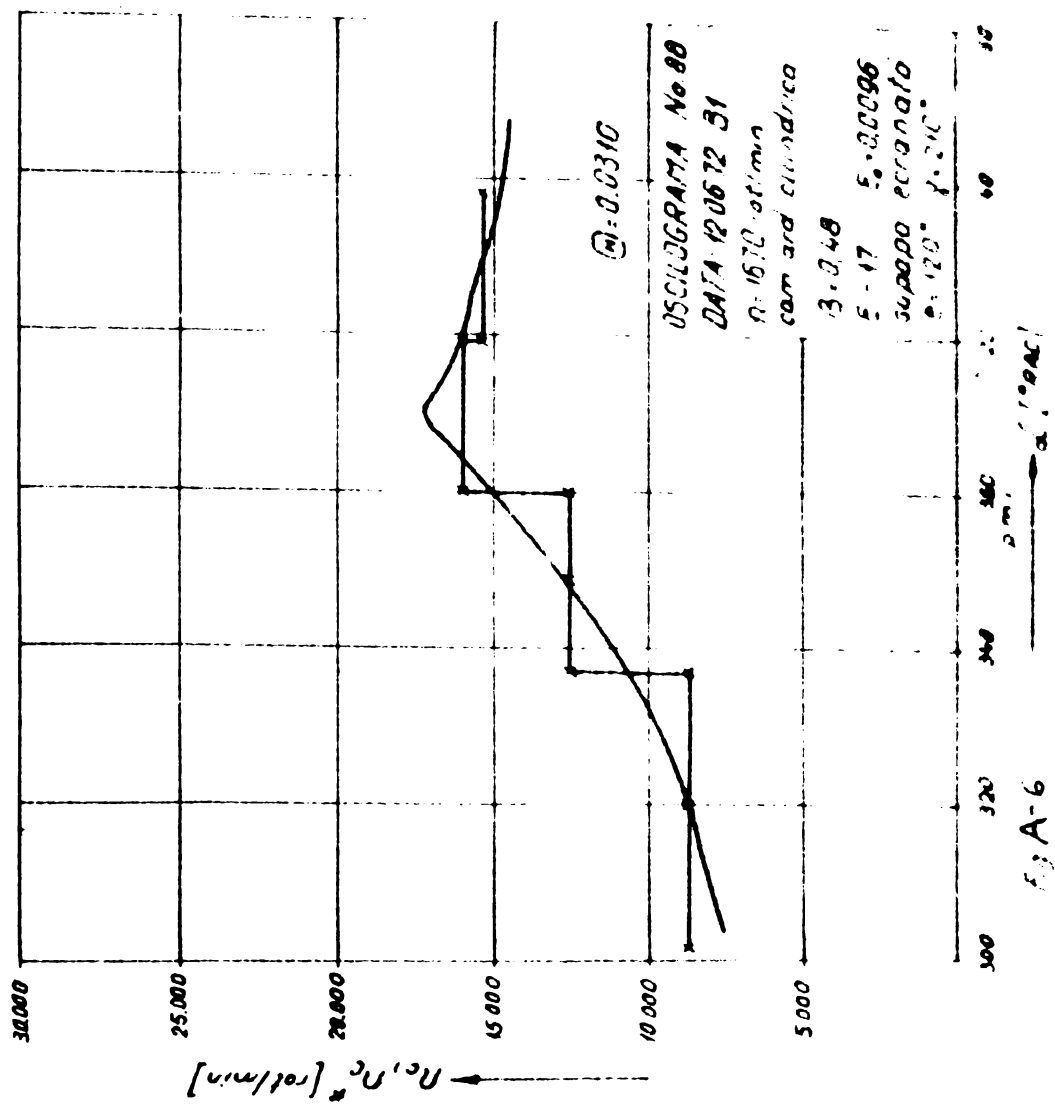


Fig A-3

Fig A-4



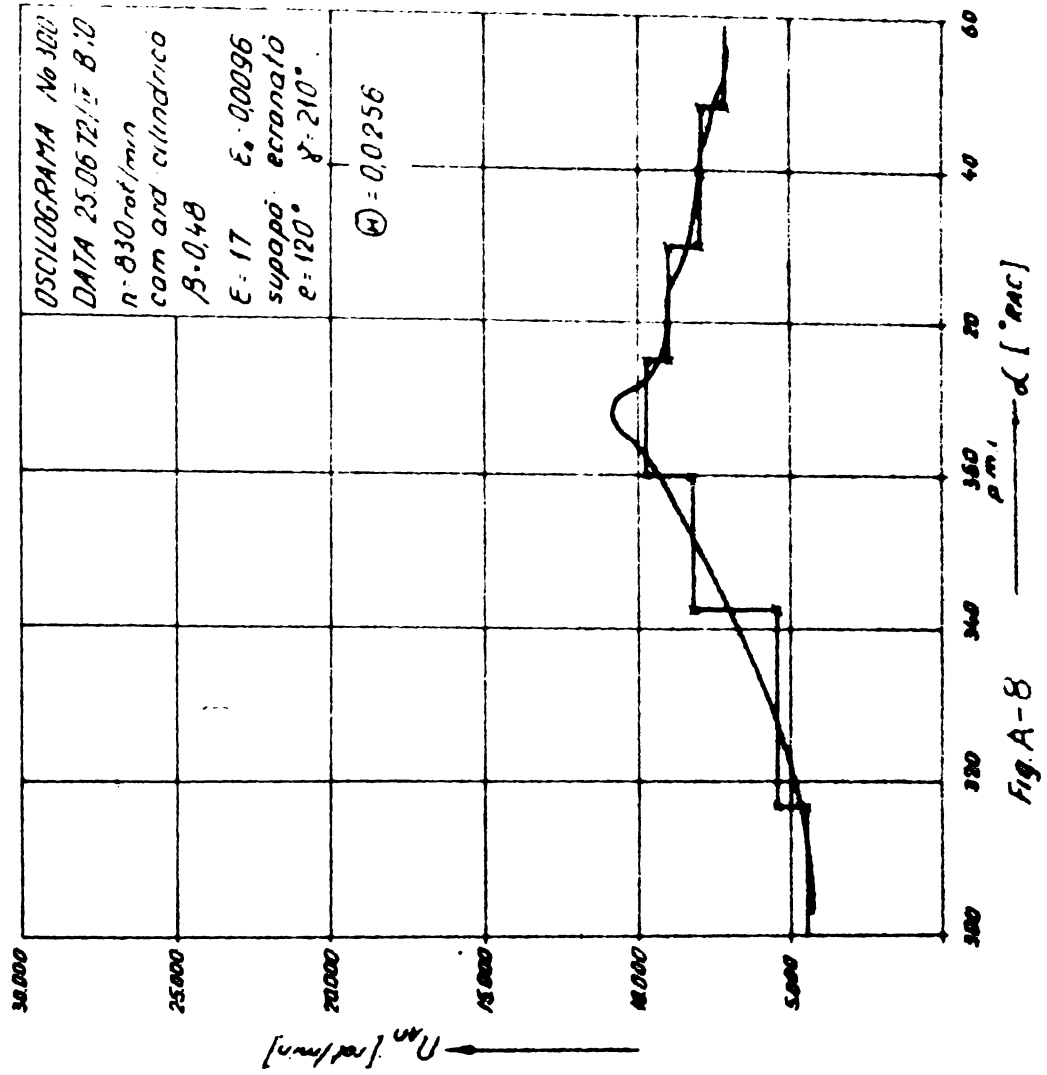


Fig. A-8

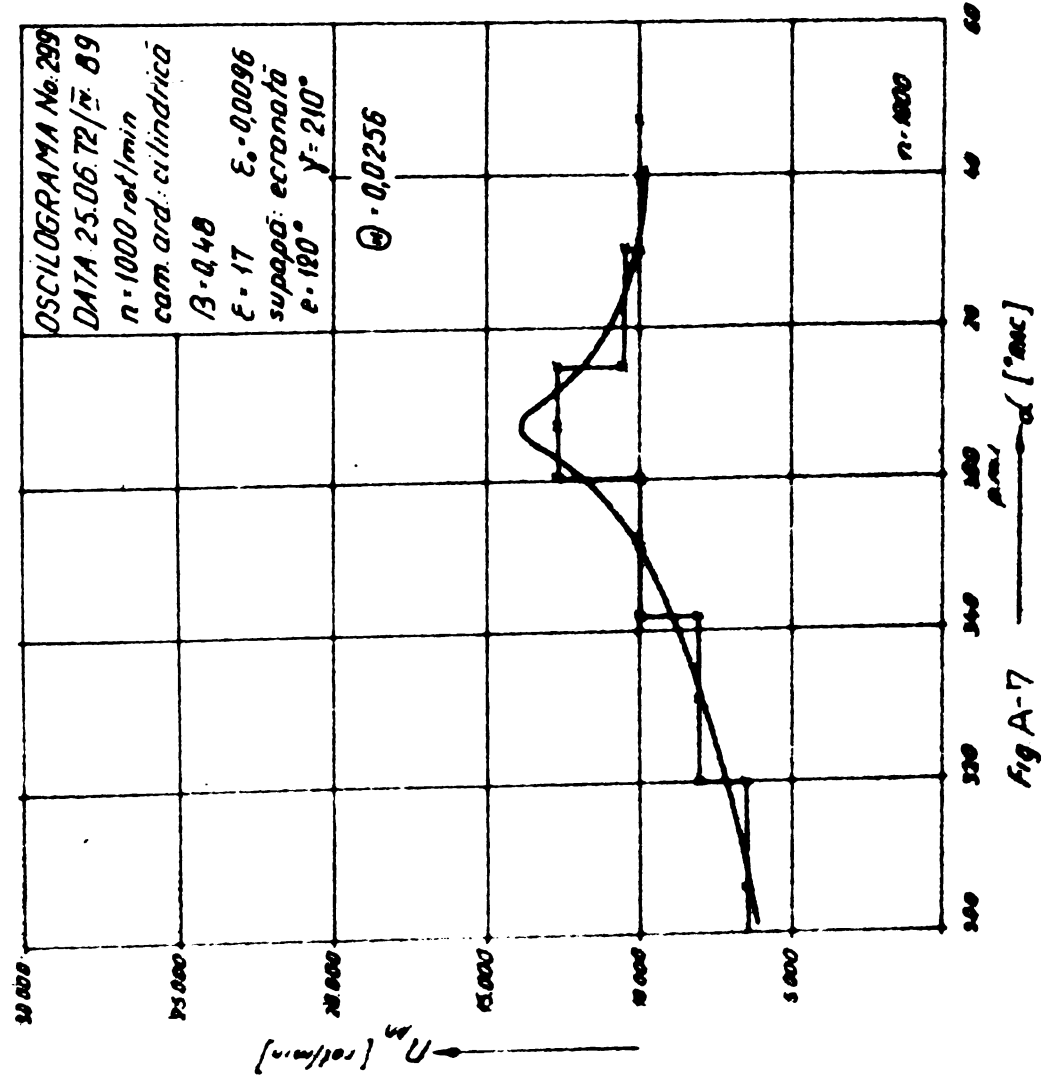
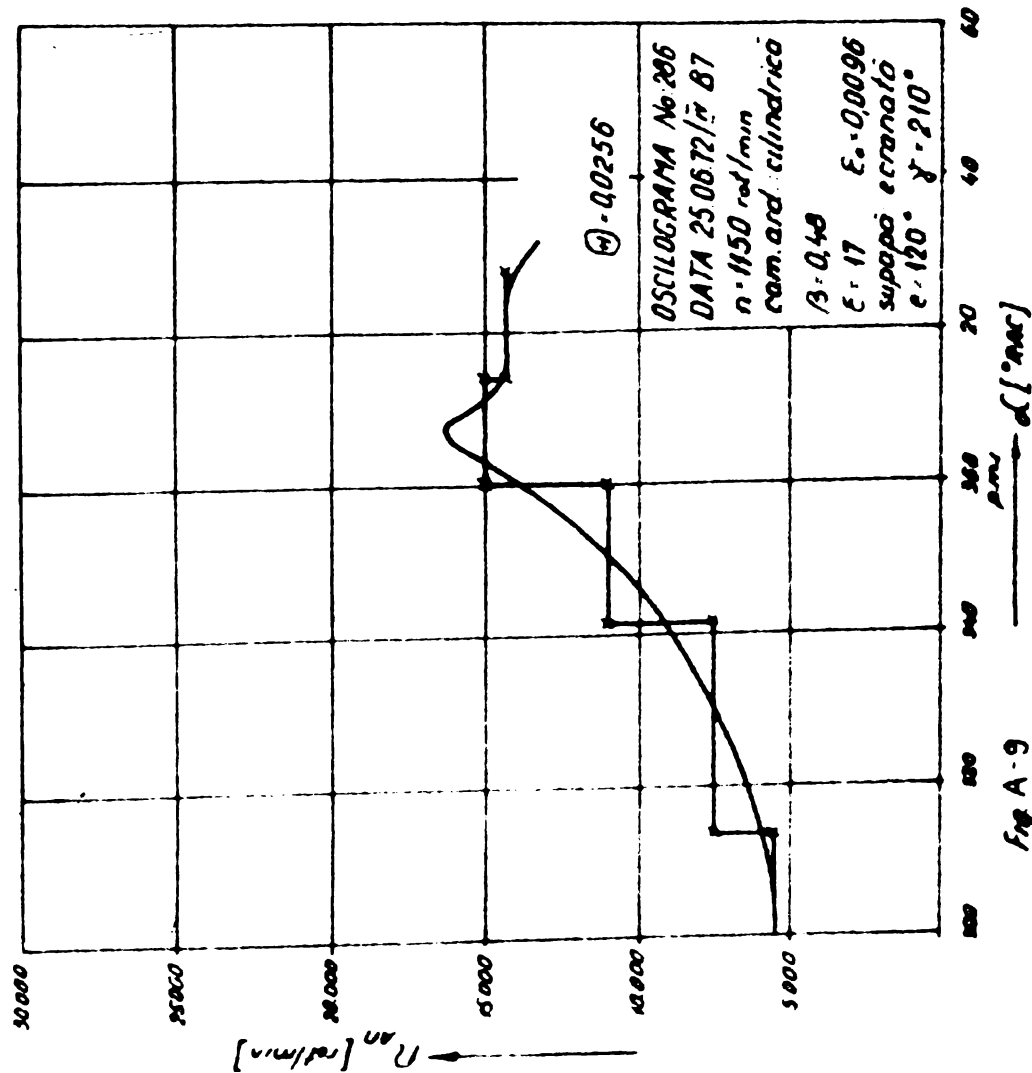
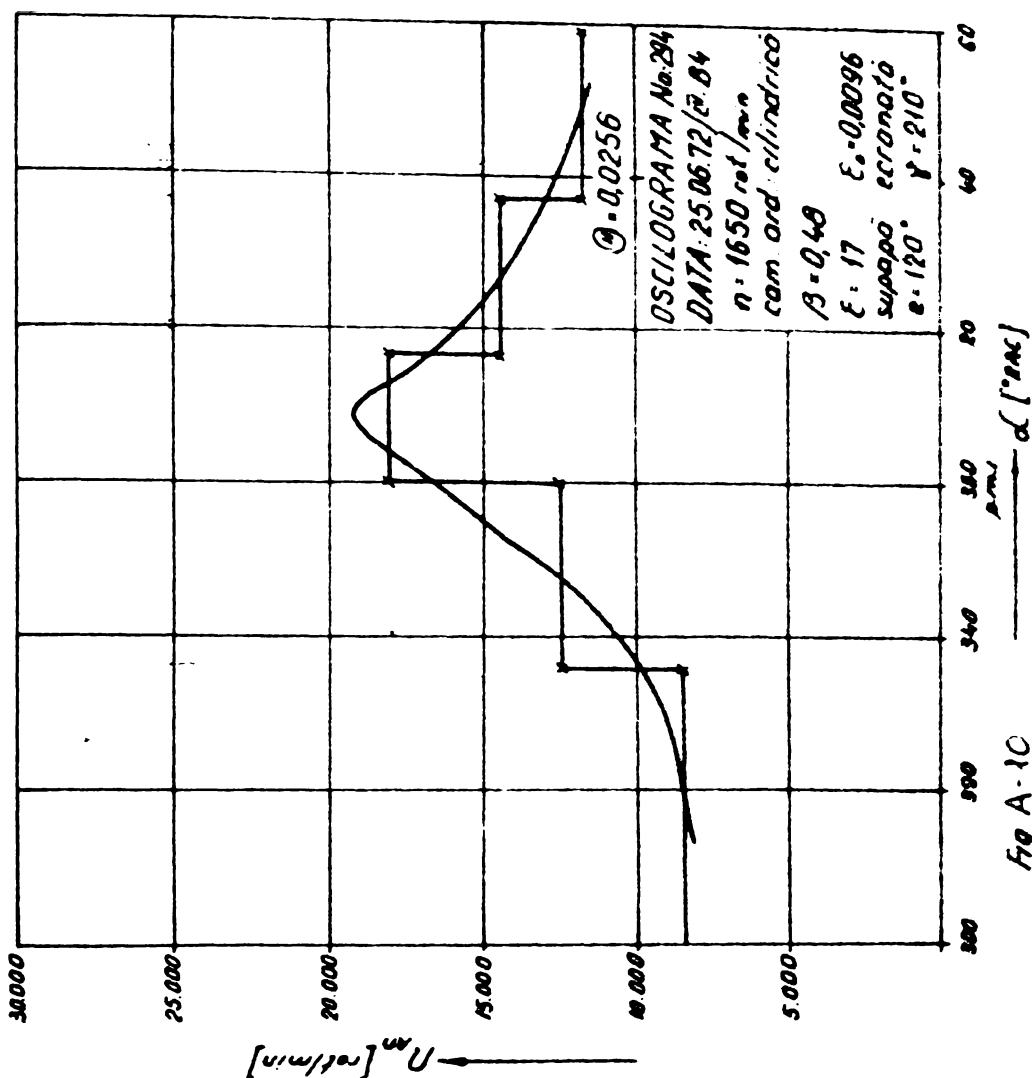


Fig. A-7



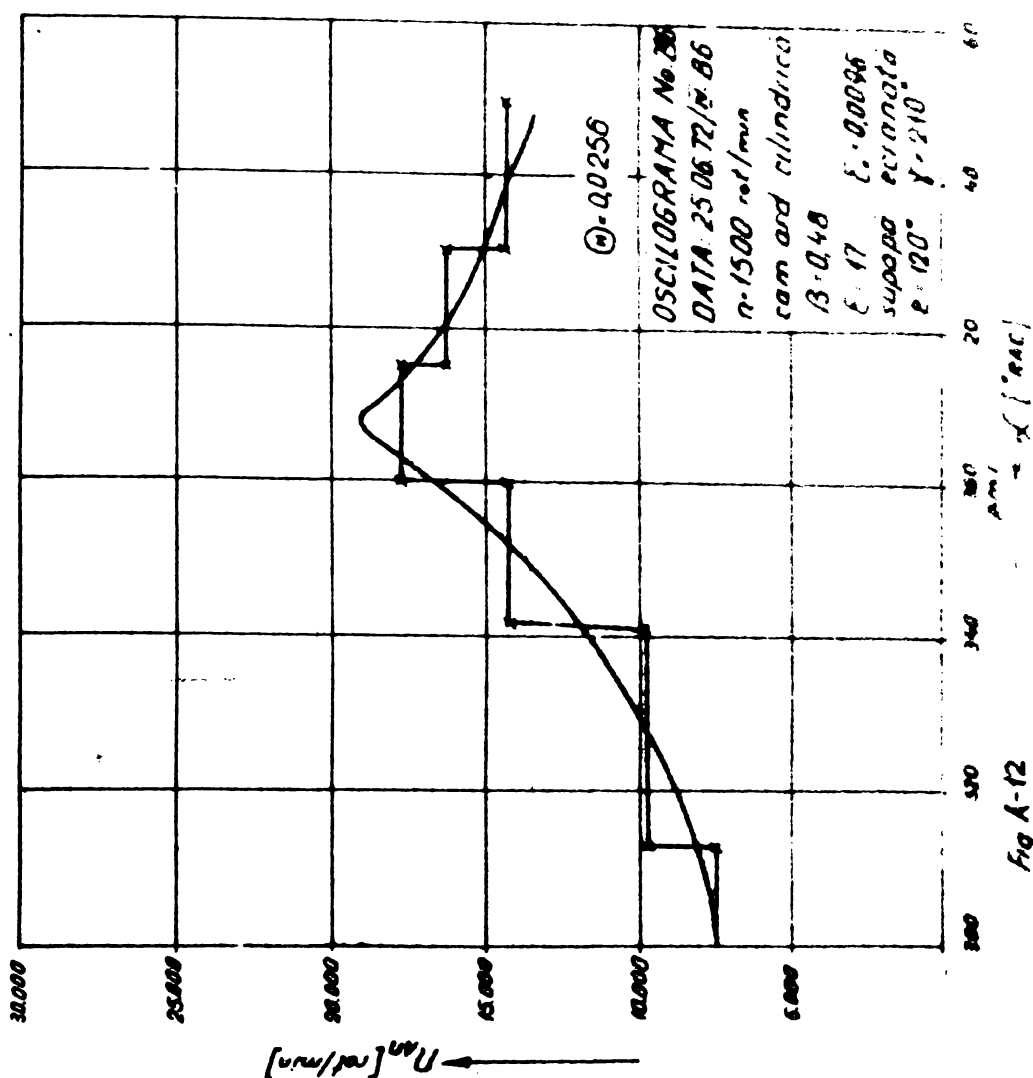


Fig A-12

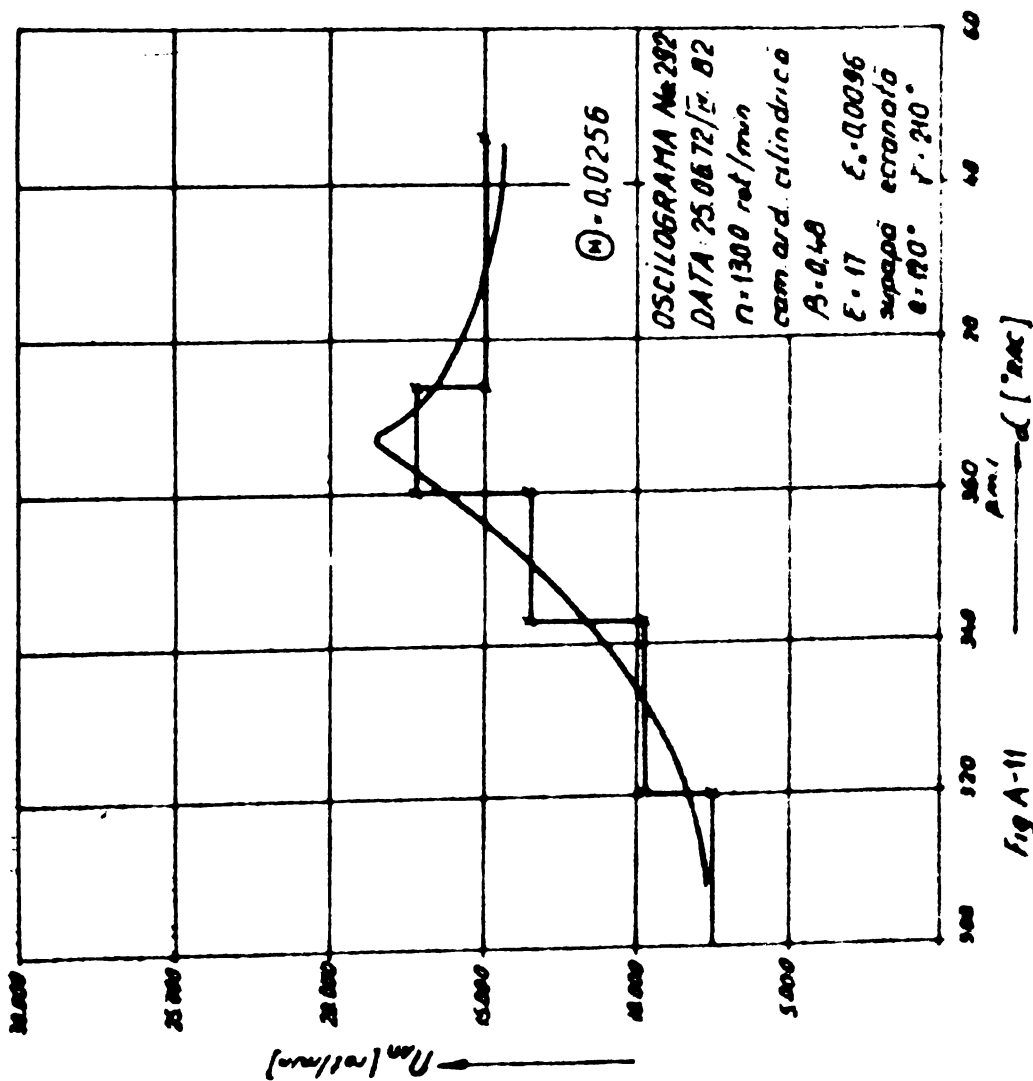
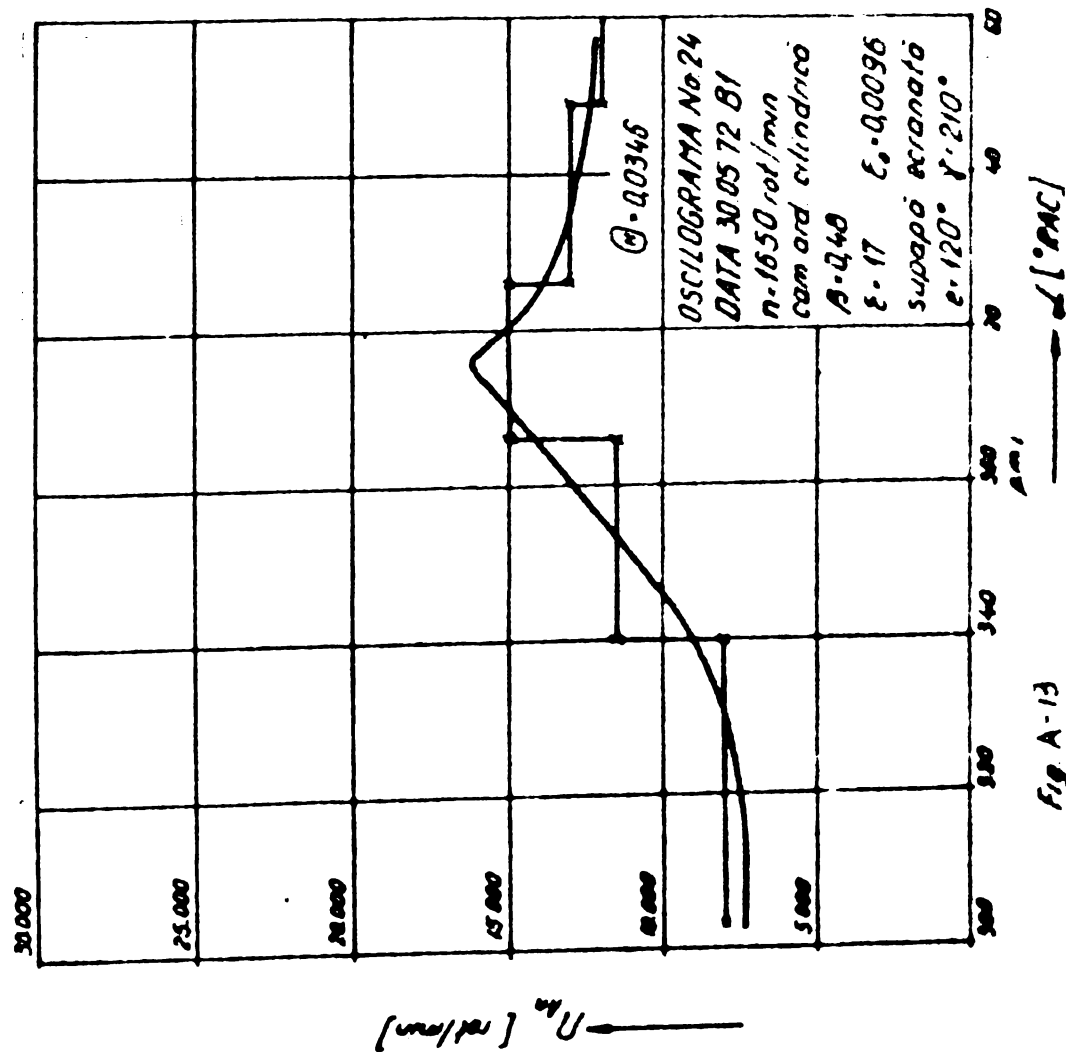
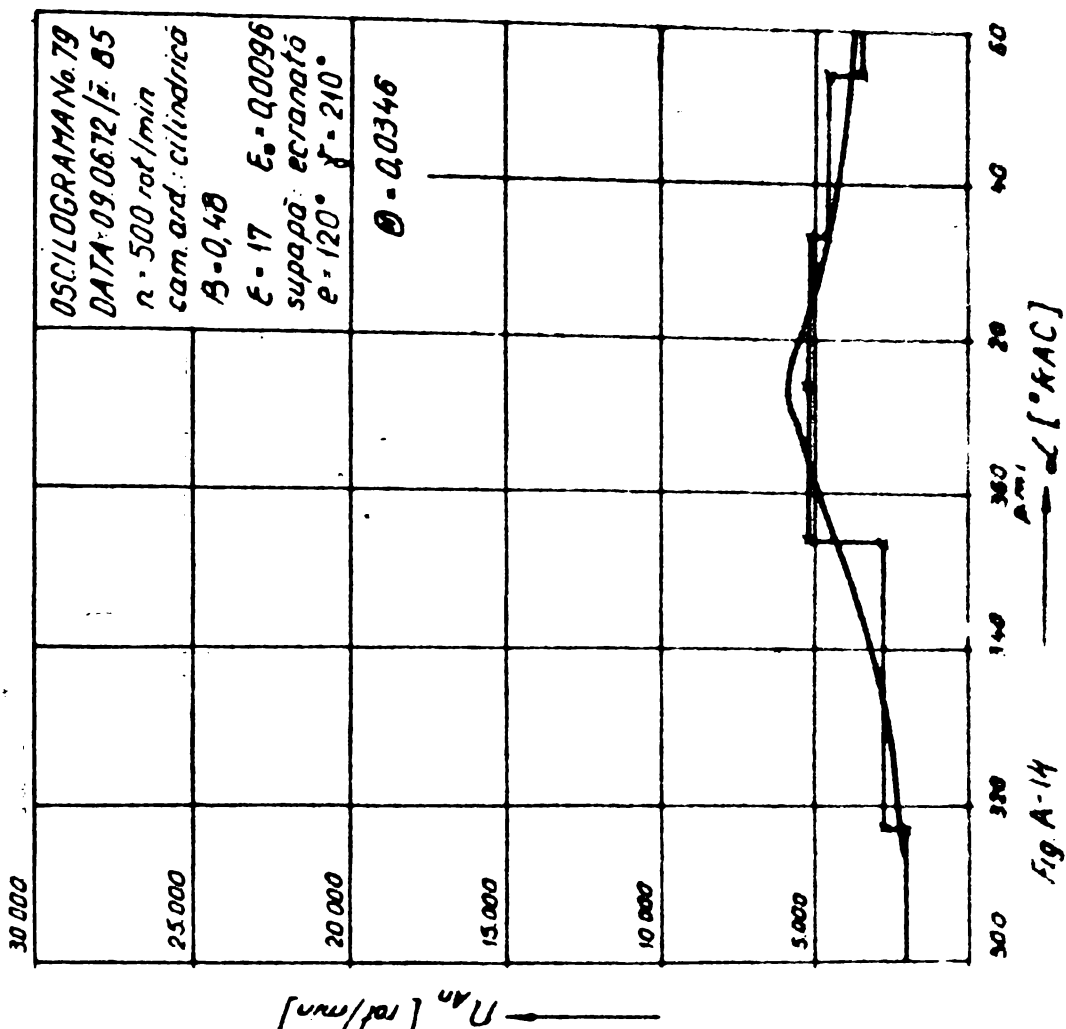


Fig A-11



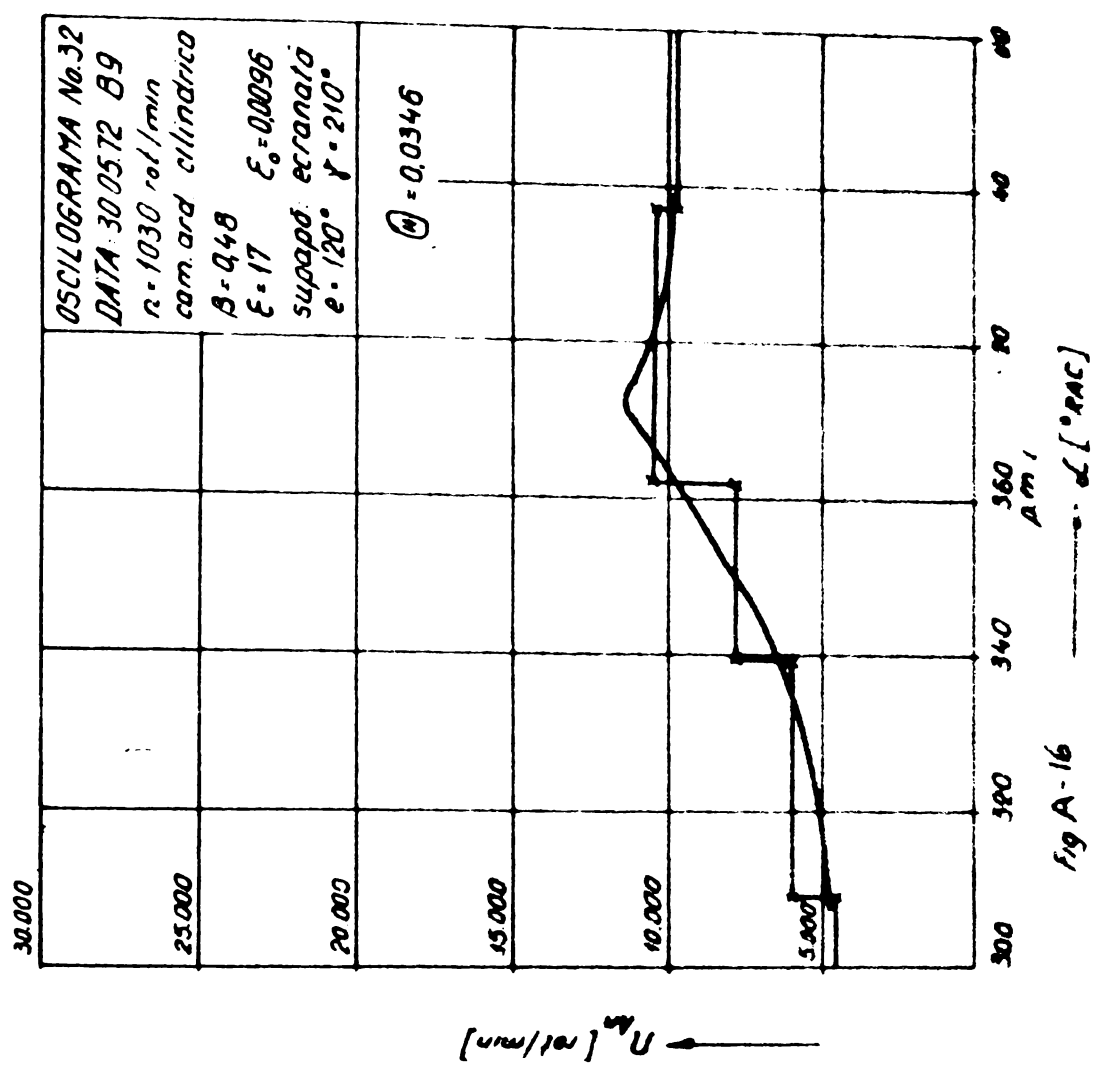


fig A-16

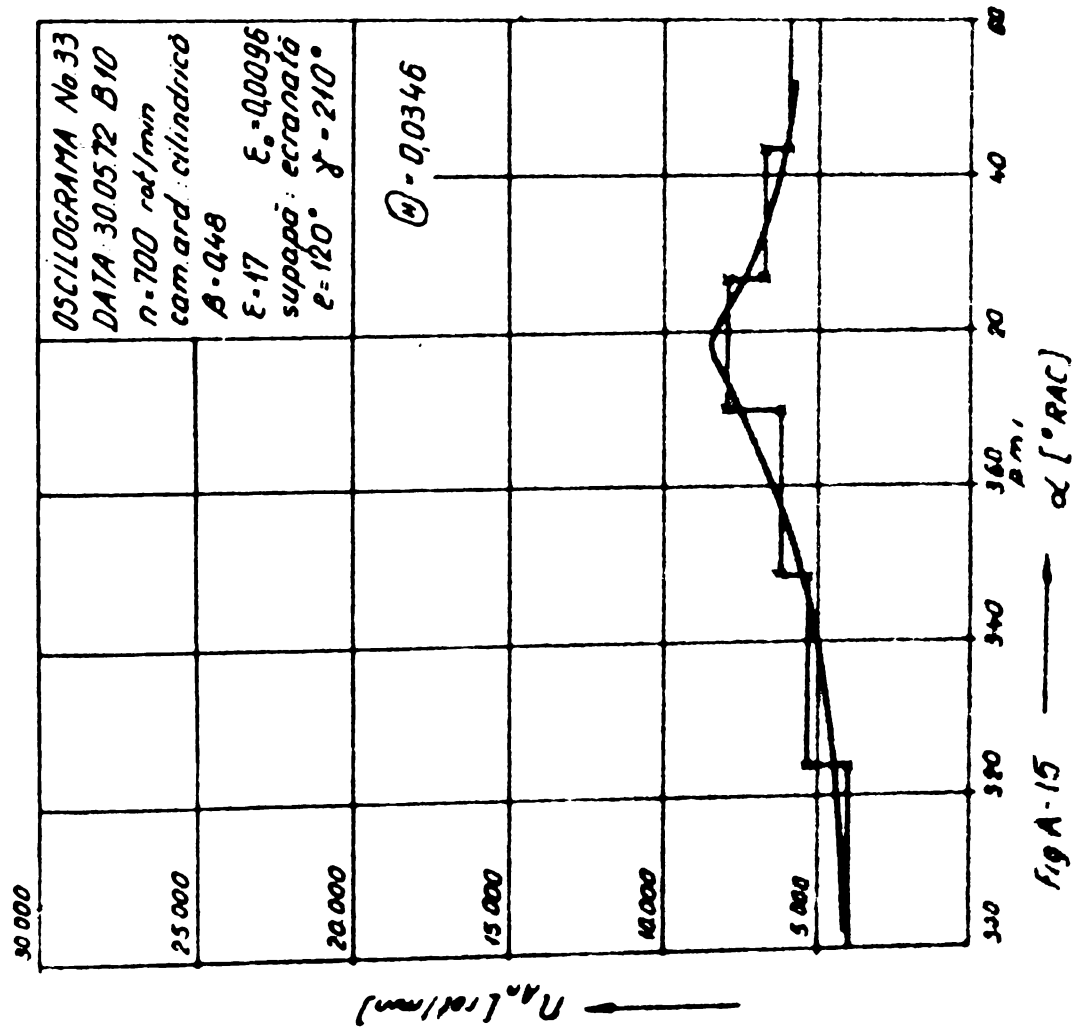
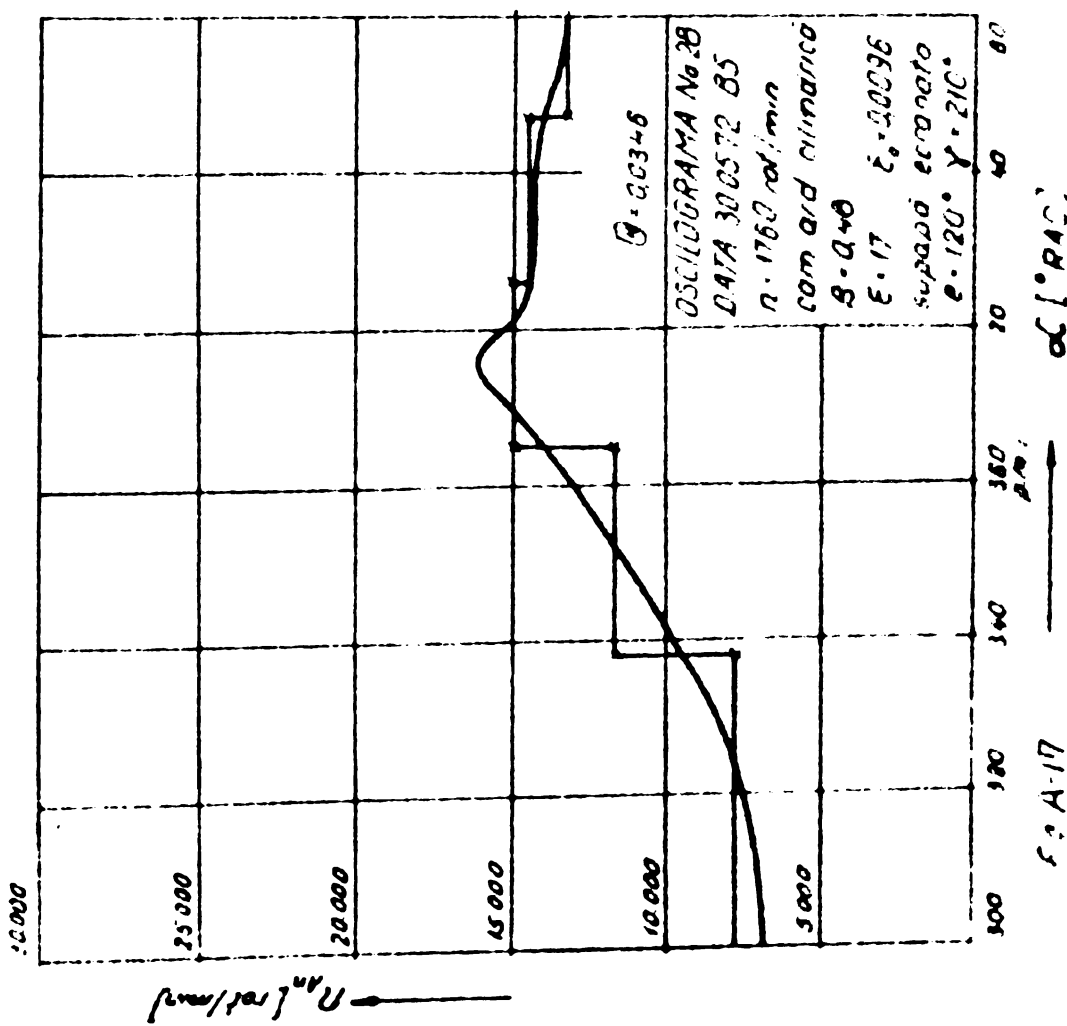
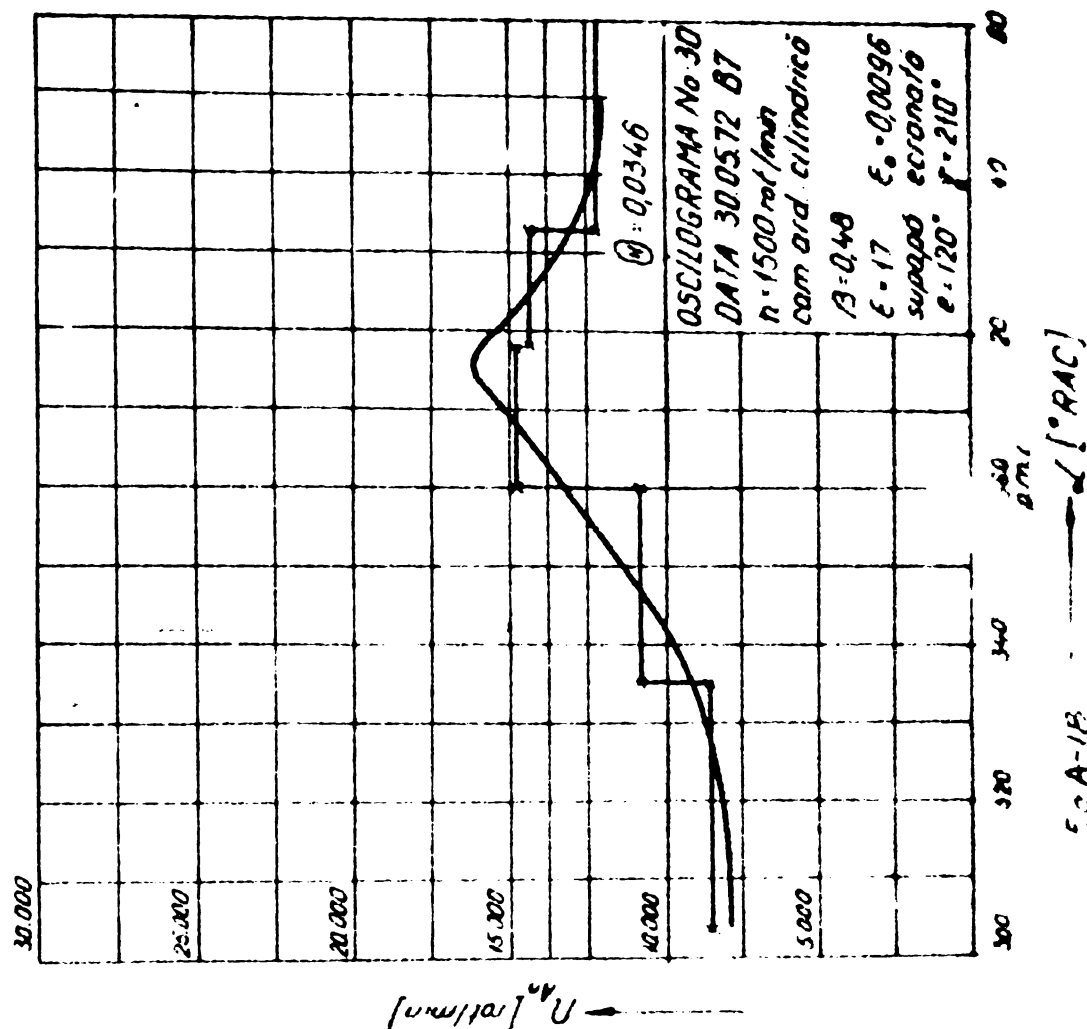
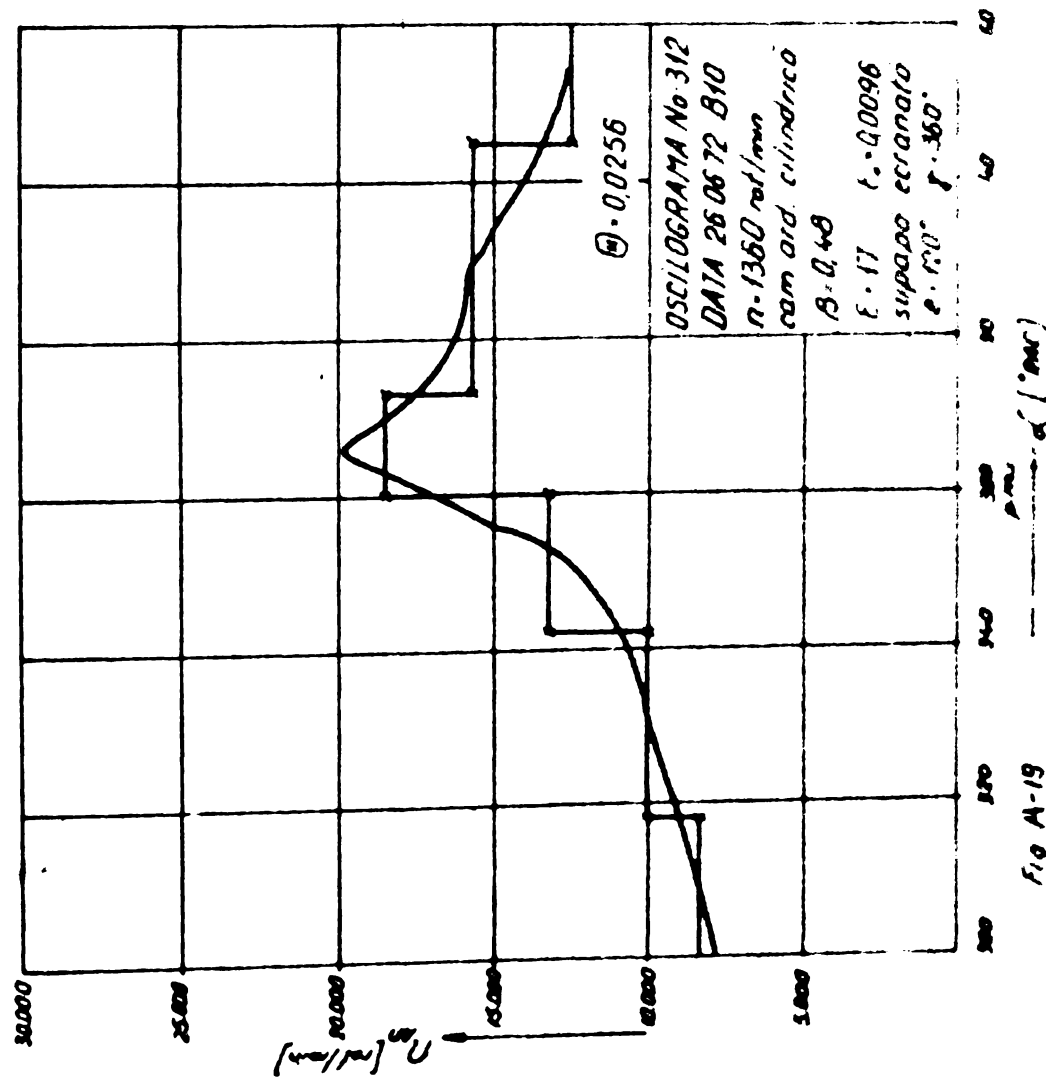
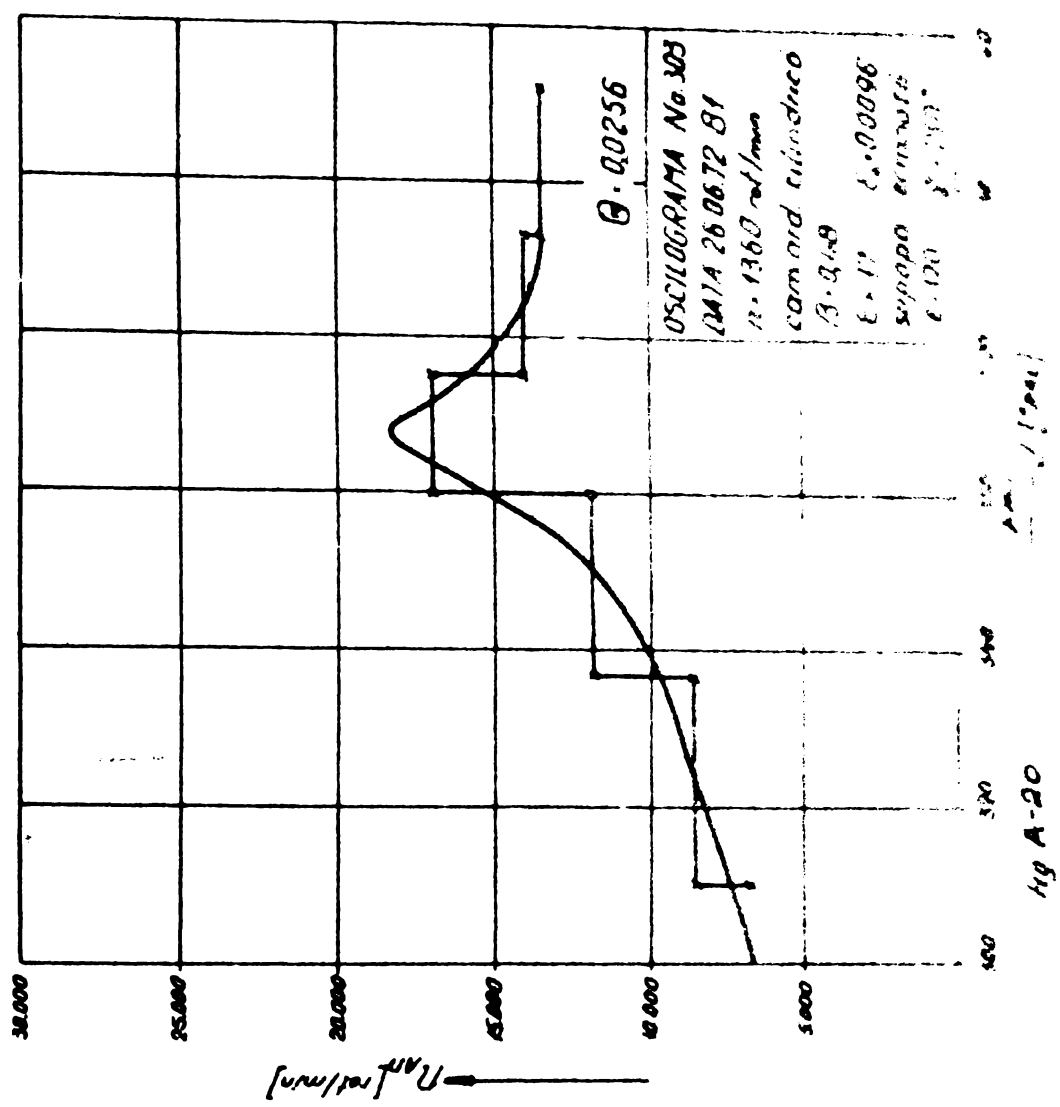


fig A-15





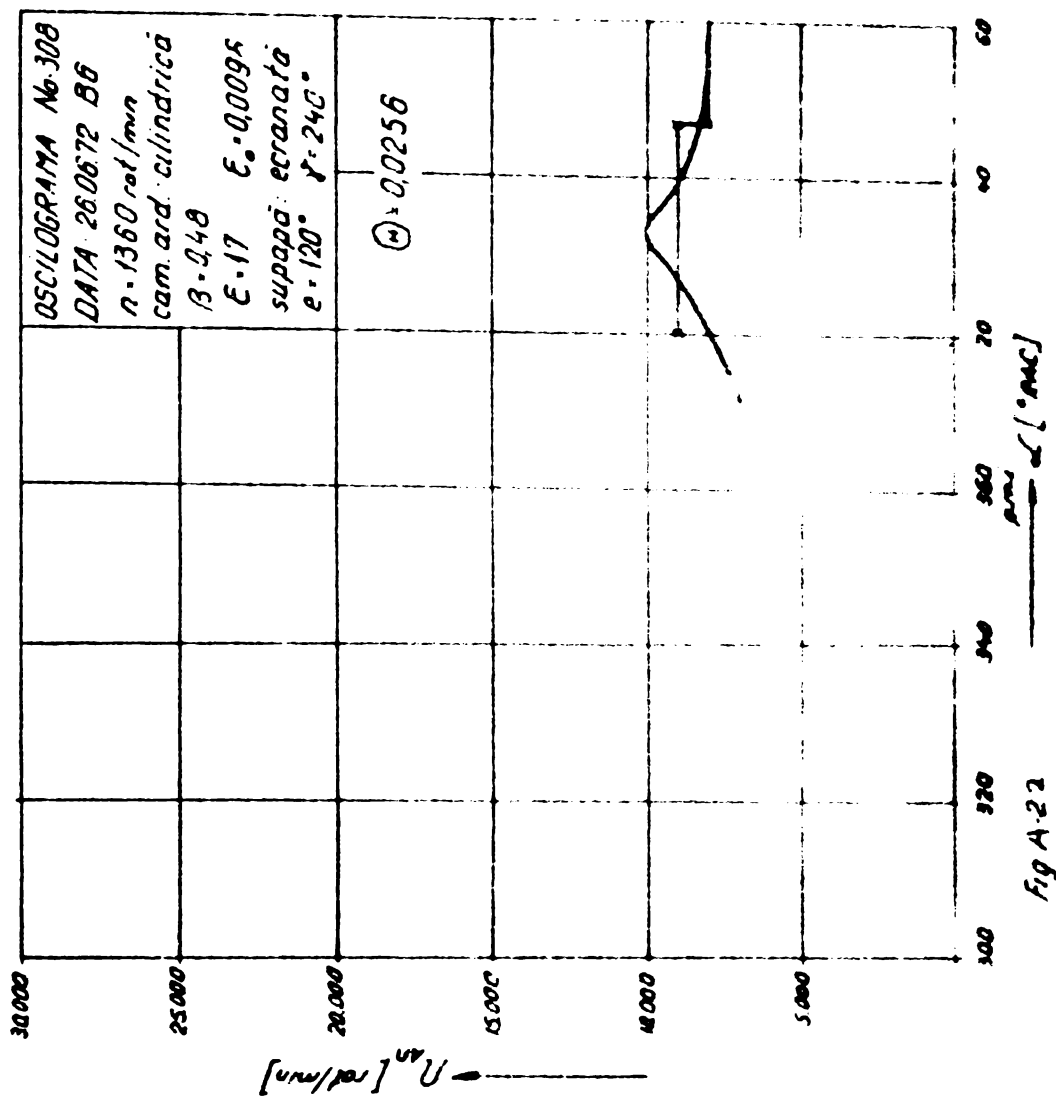


Fig A.22

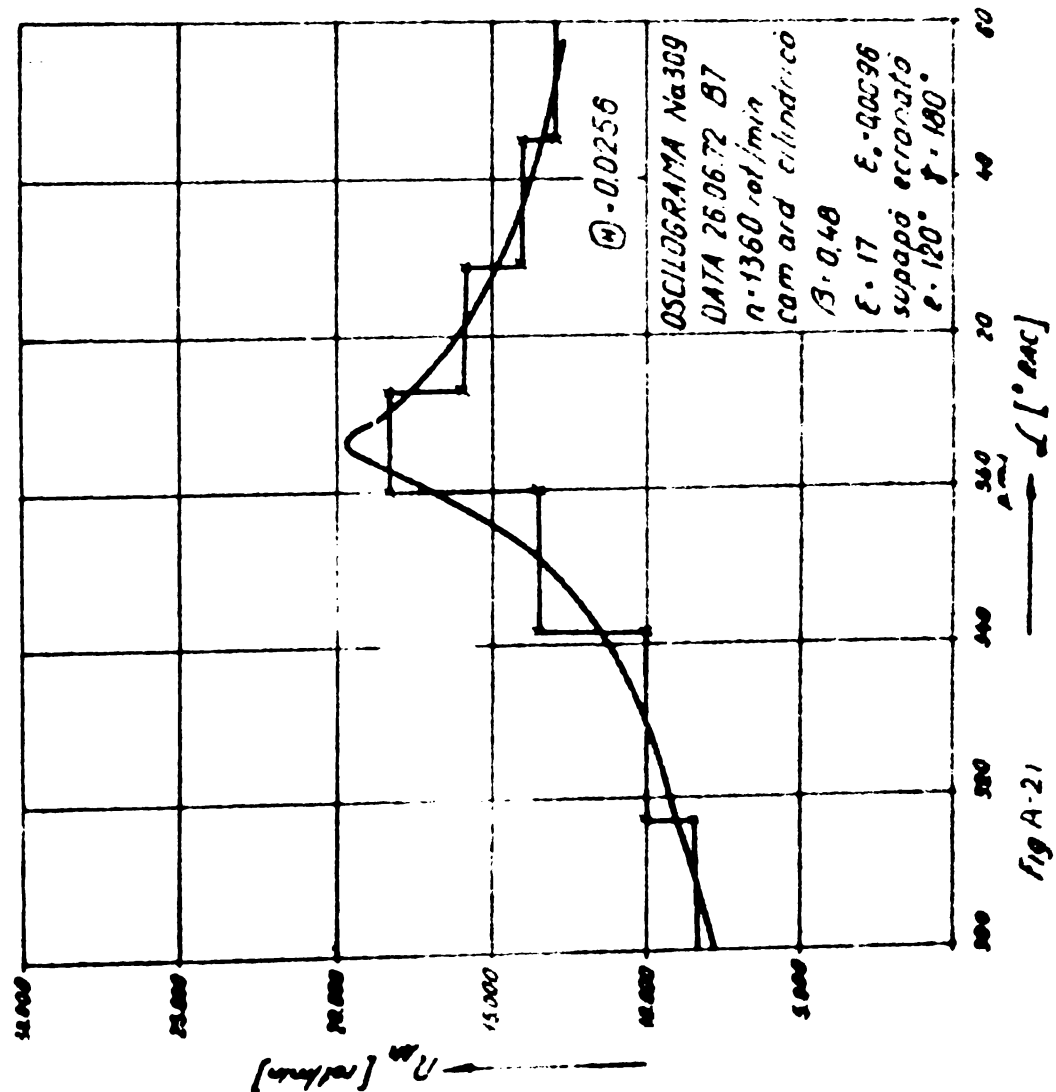
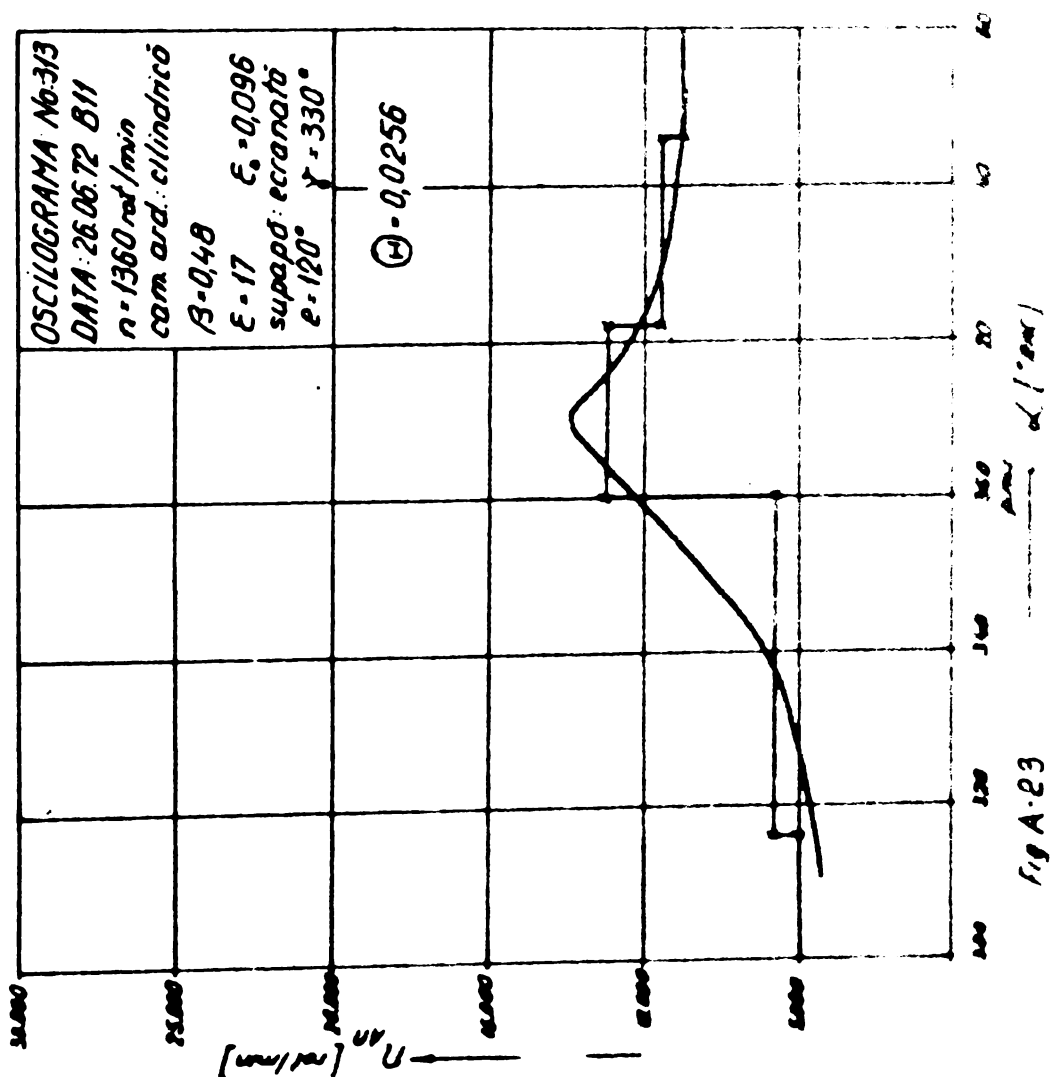
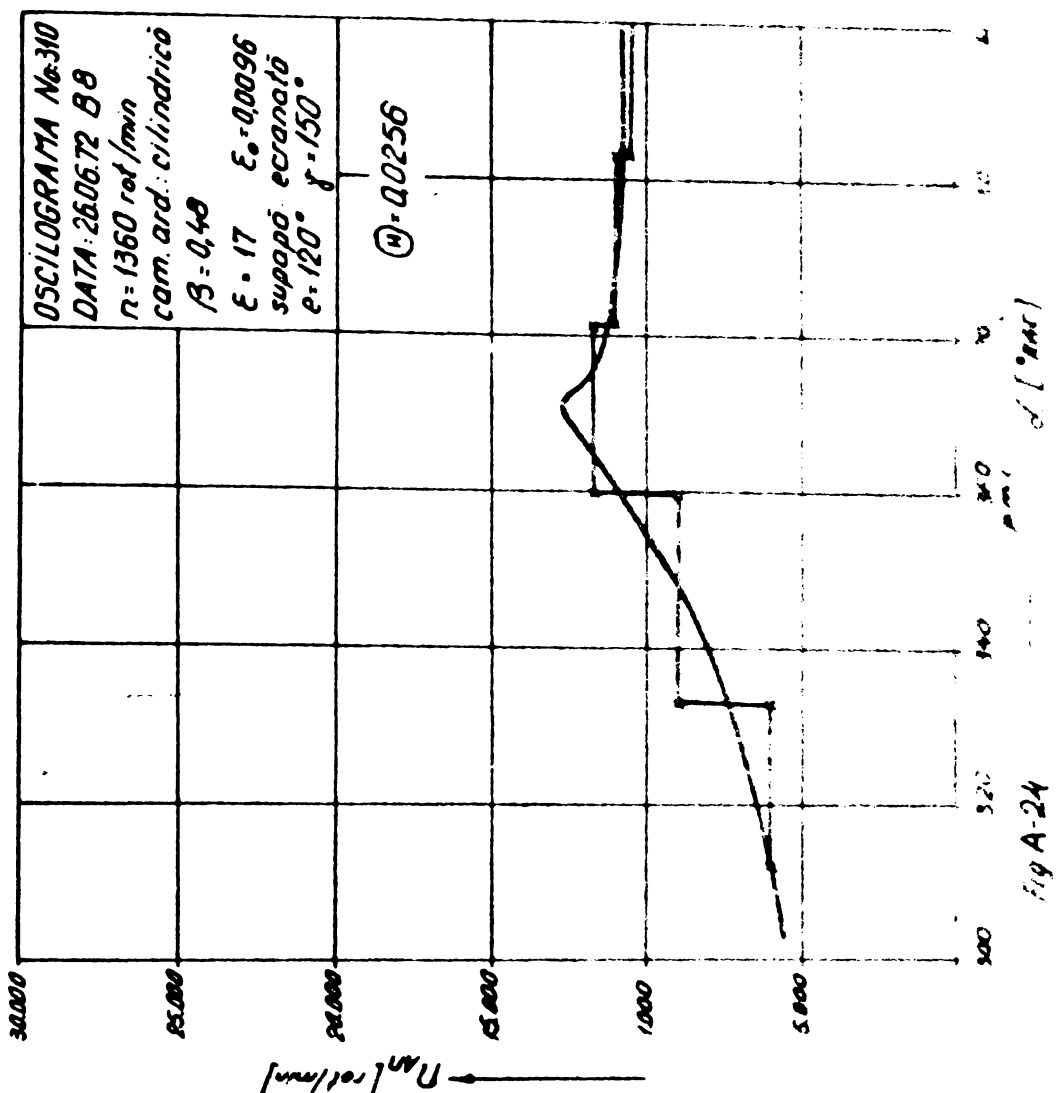


Fig A.21



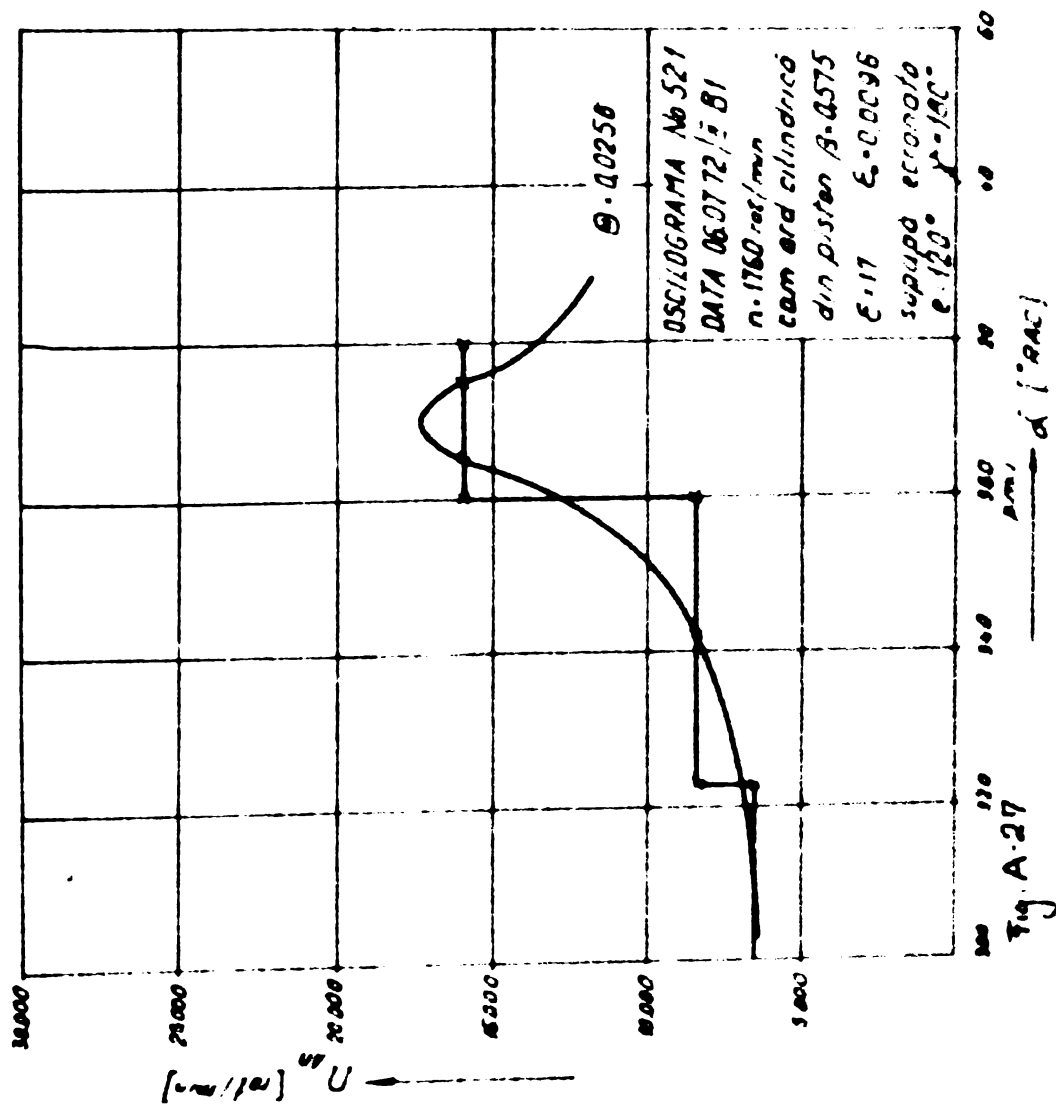
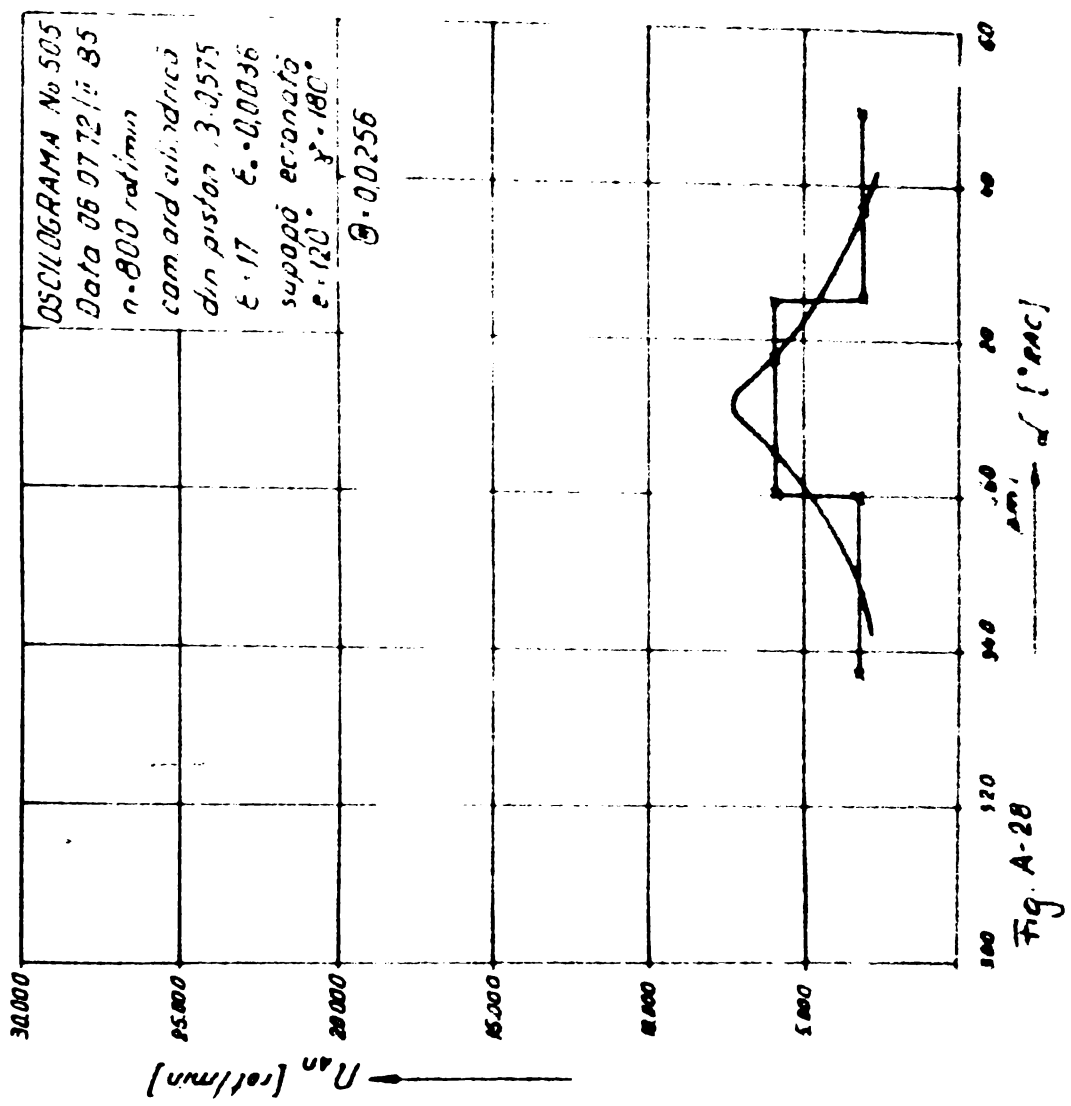
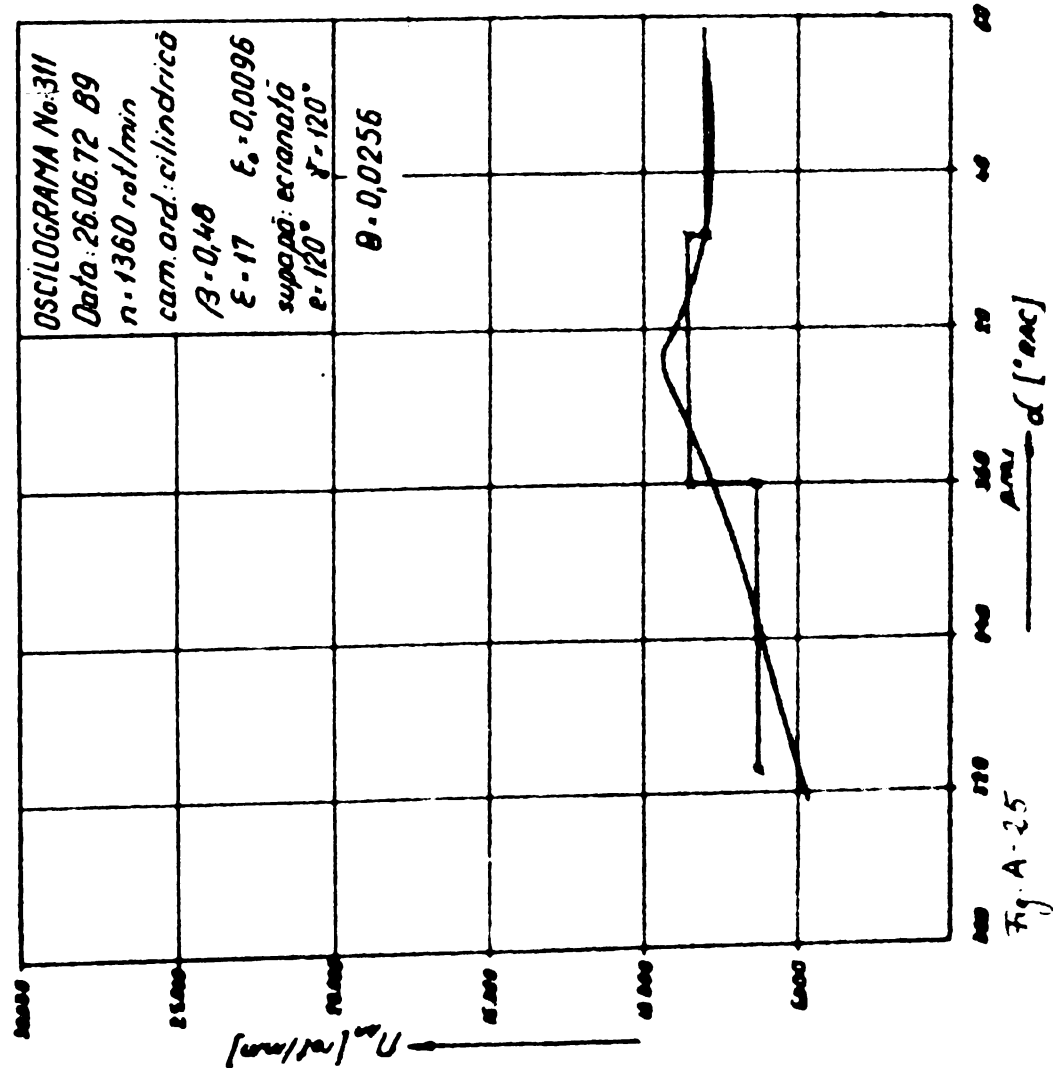
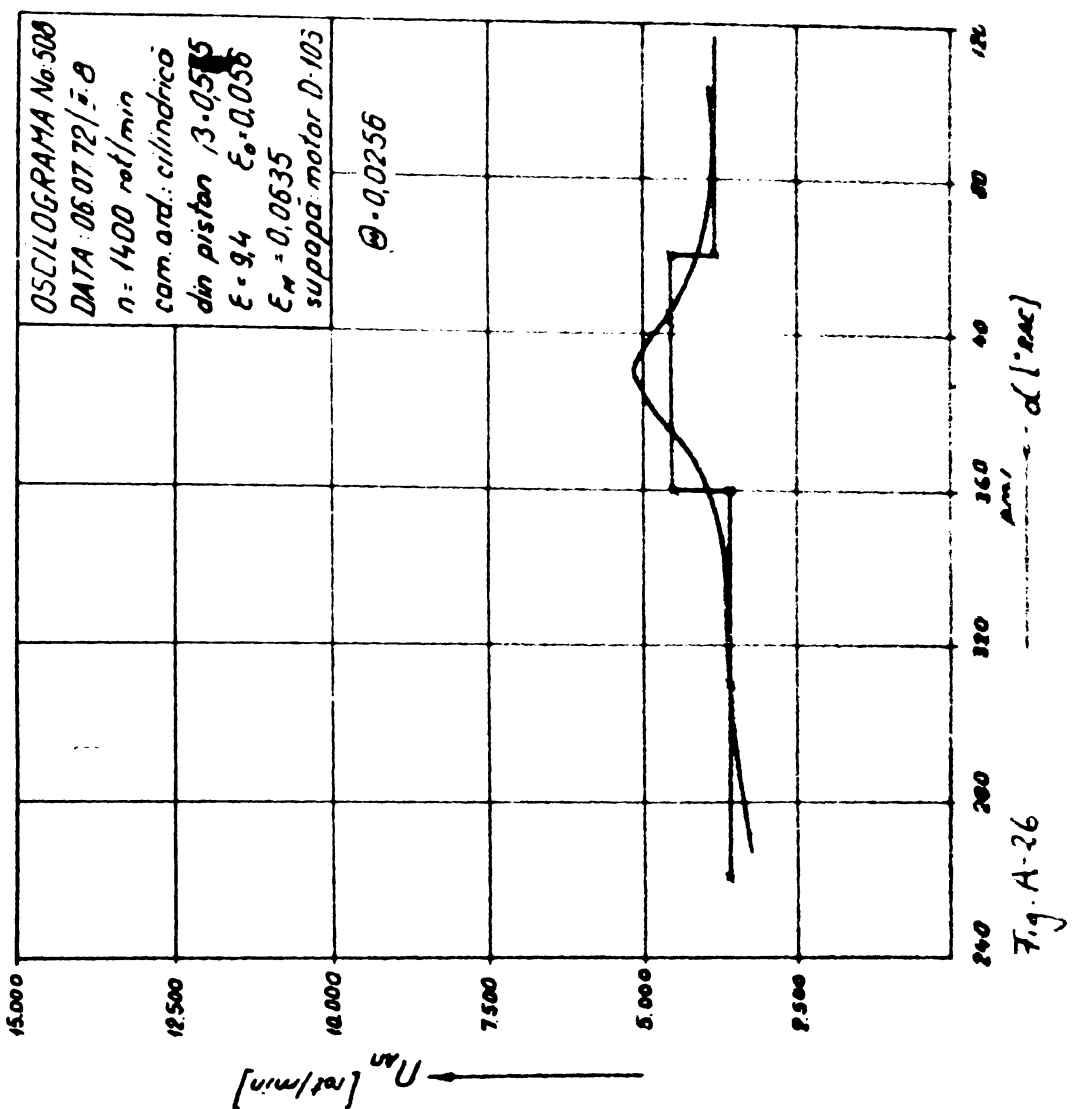
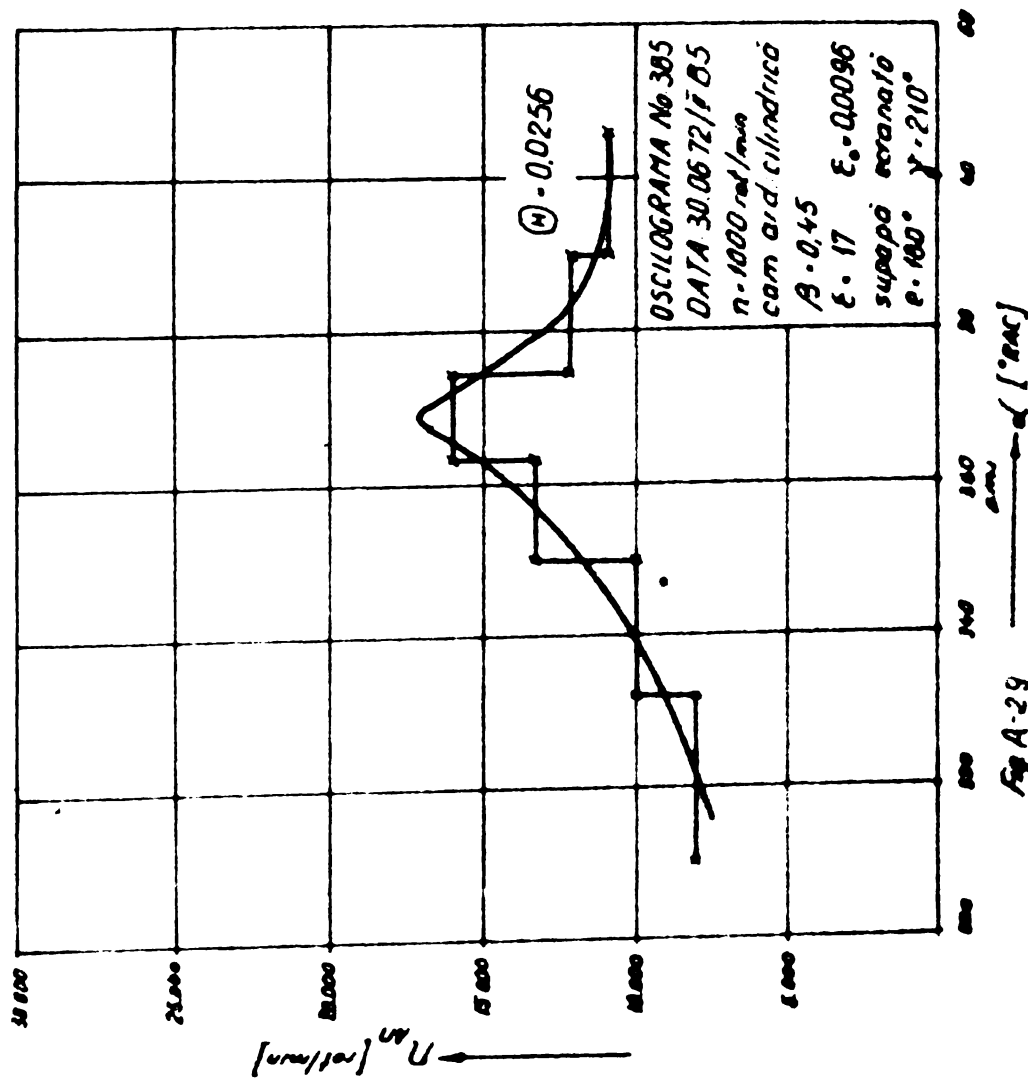
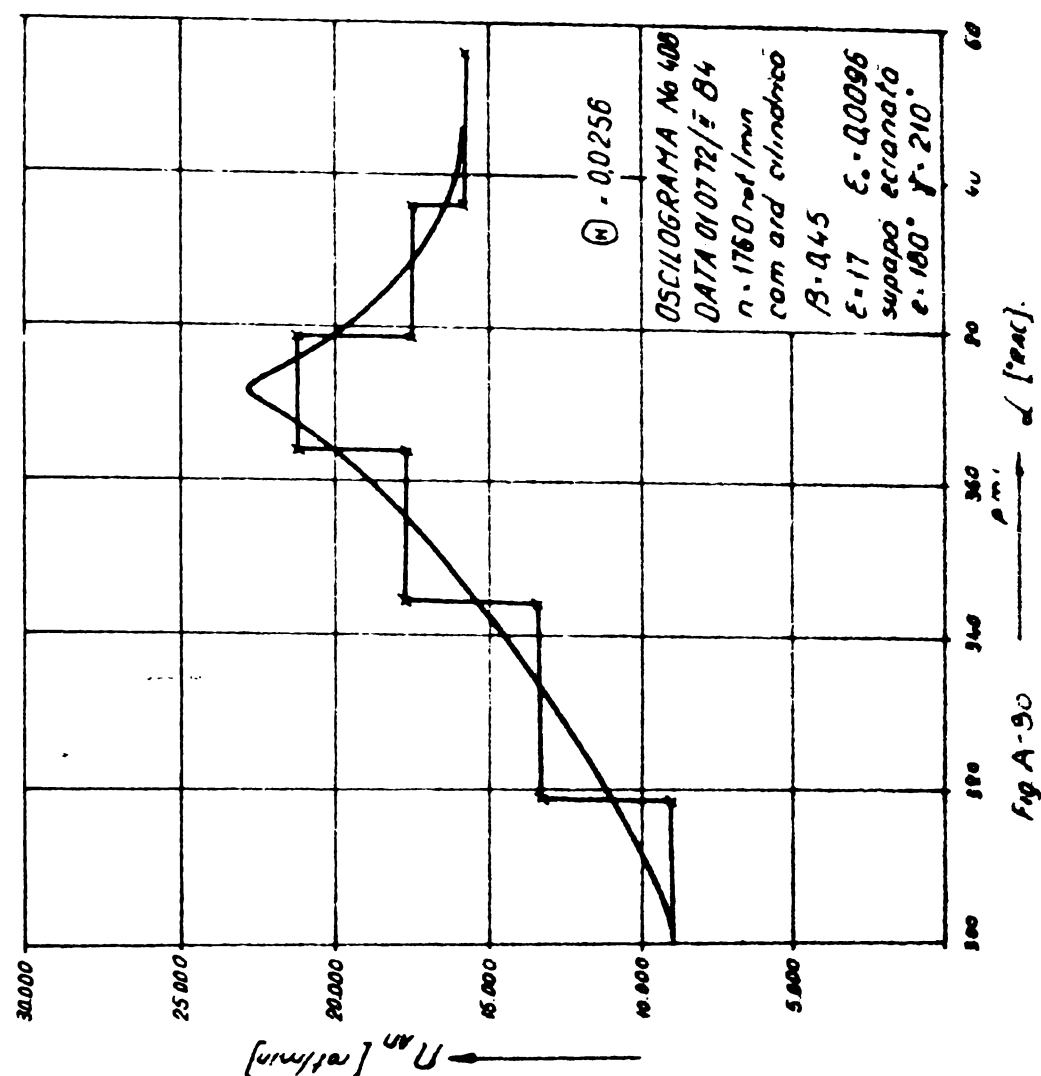
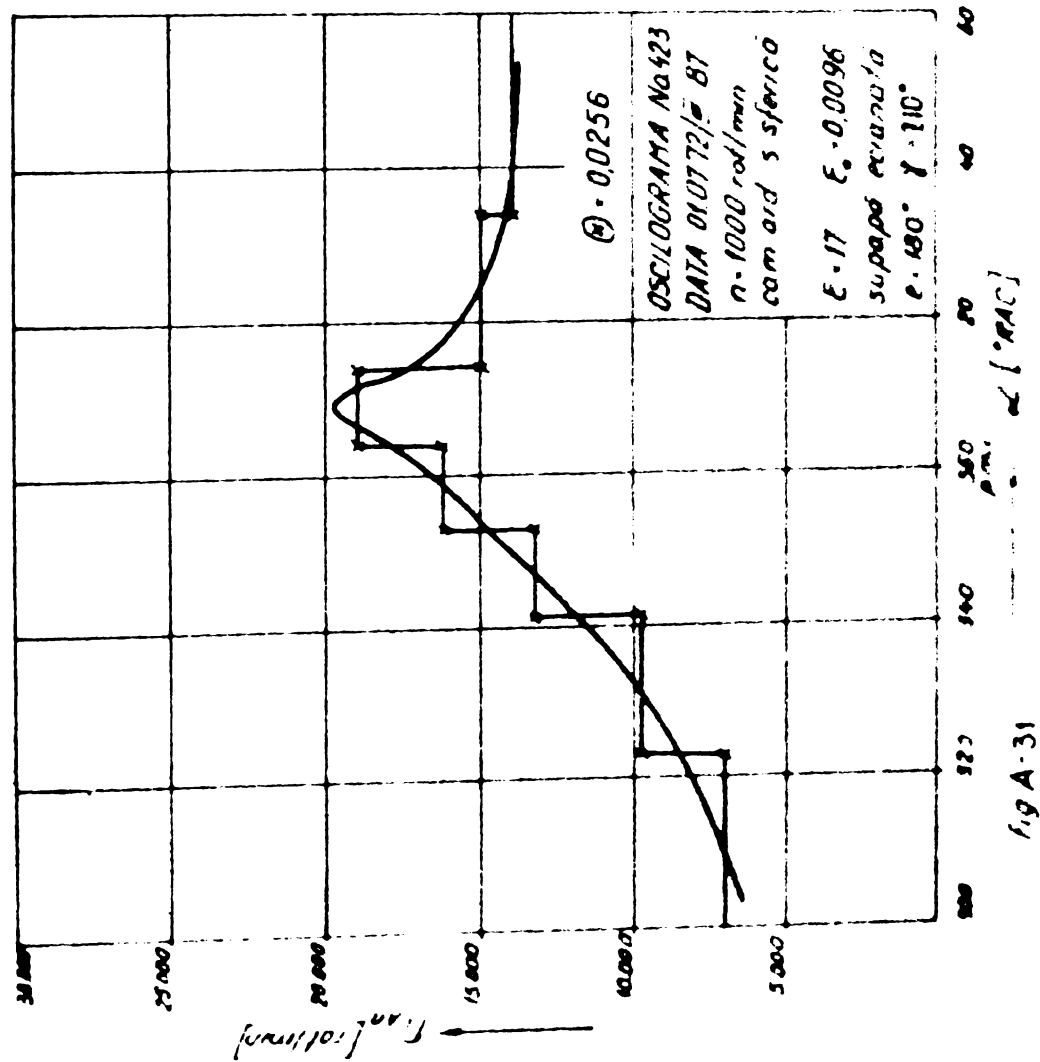
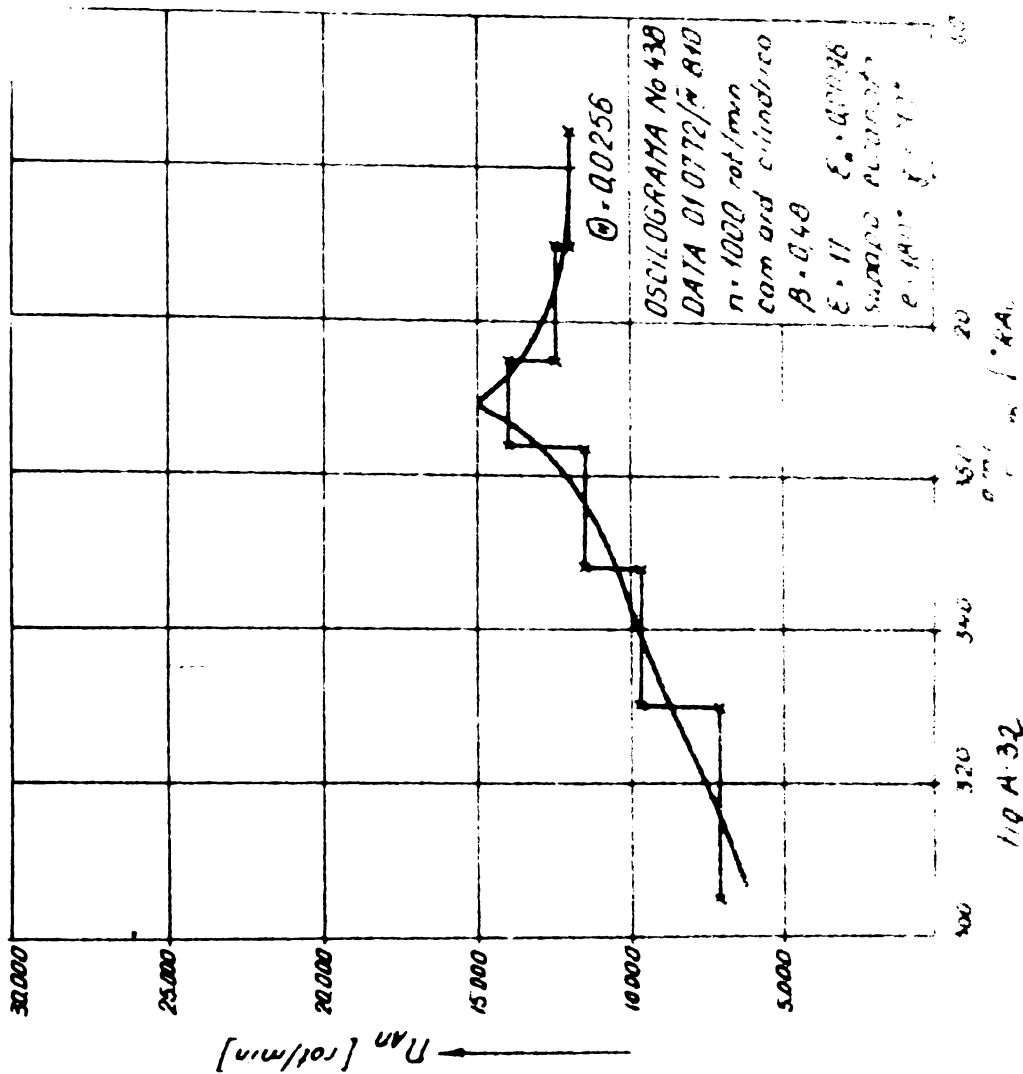


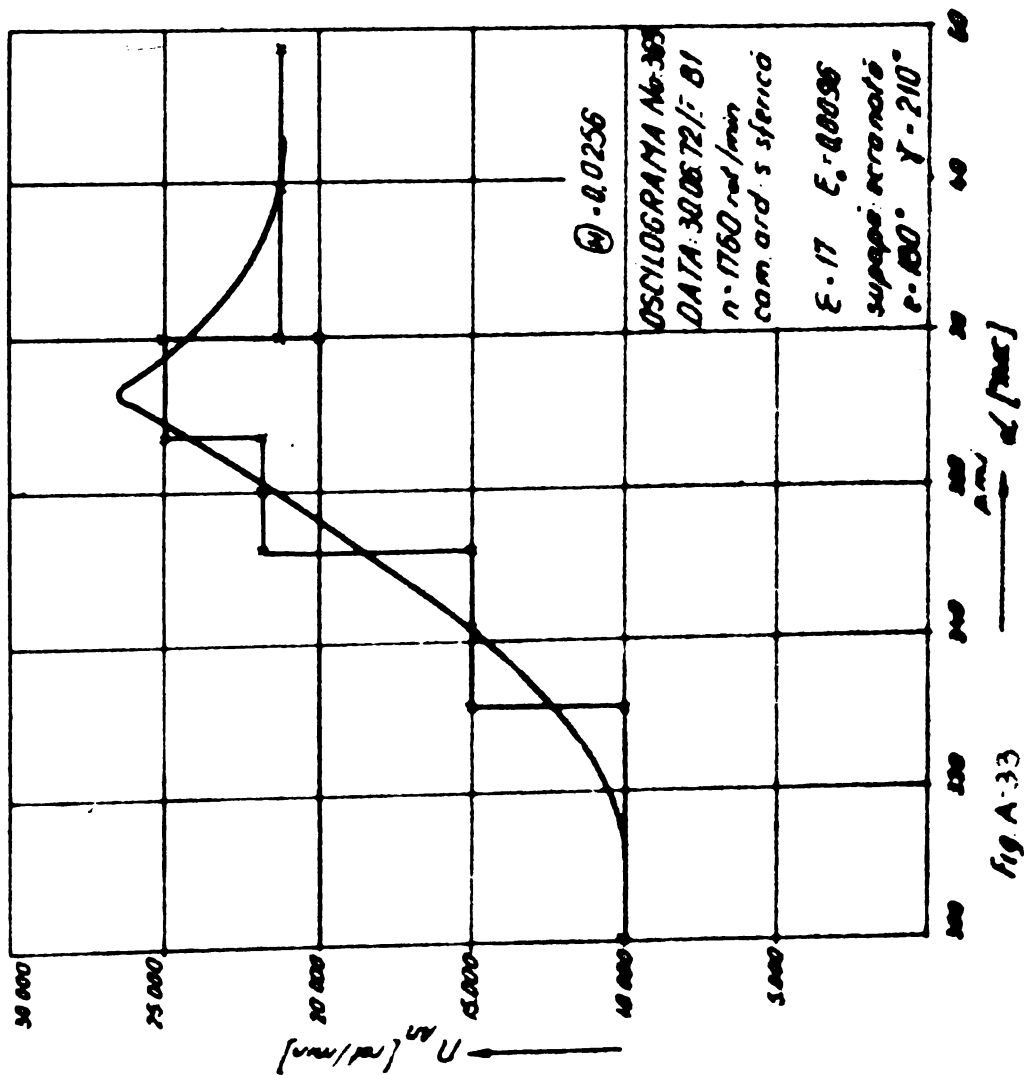
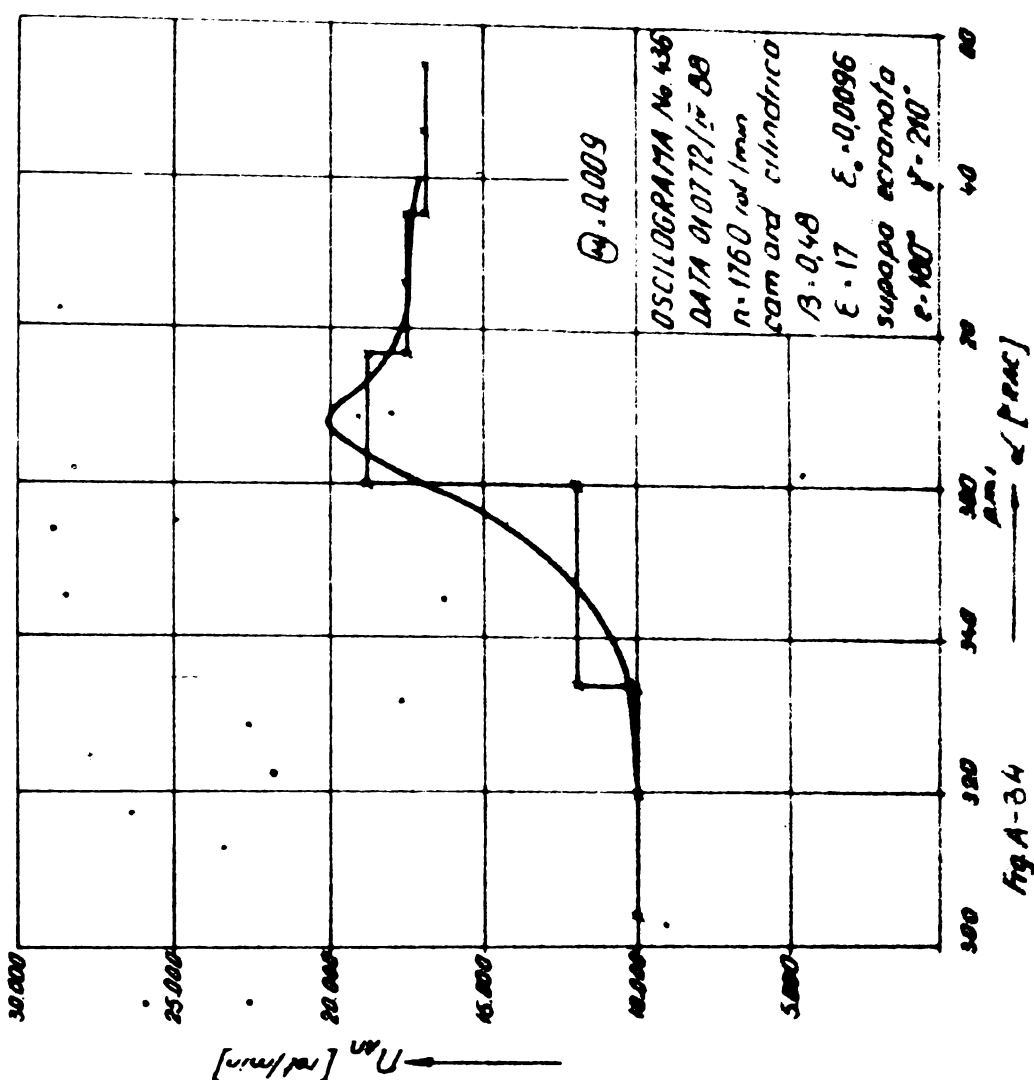
Fig. A-27
di fronte

- 104 -









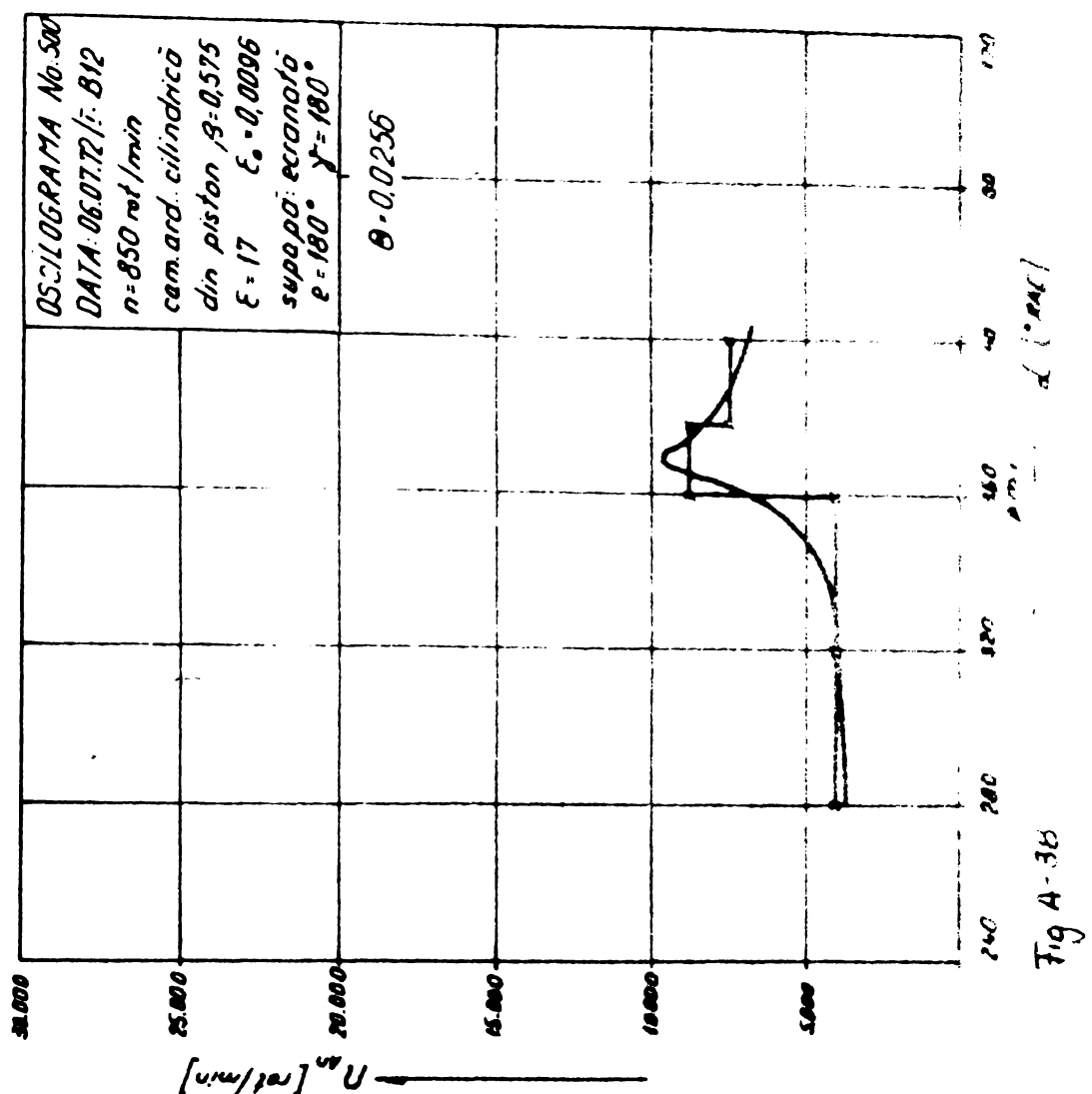


Fig A-36

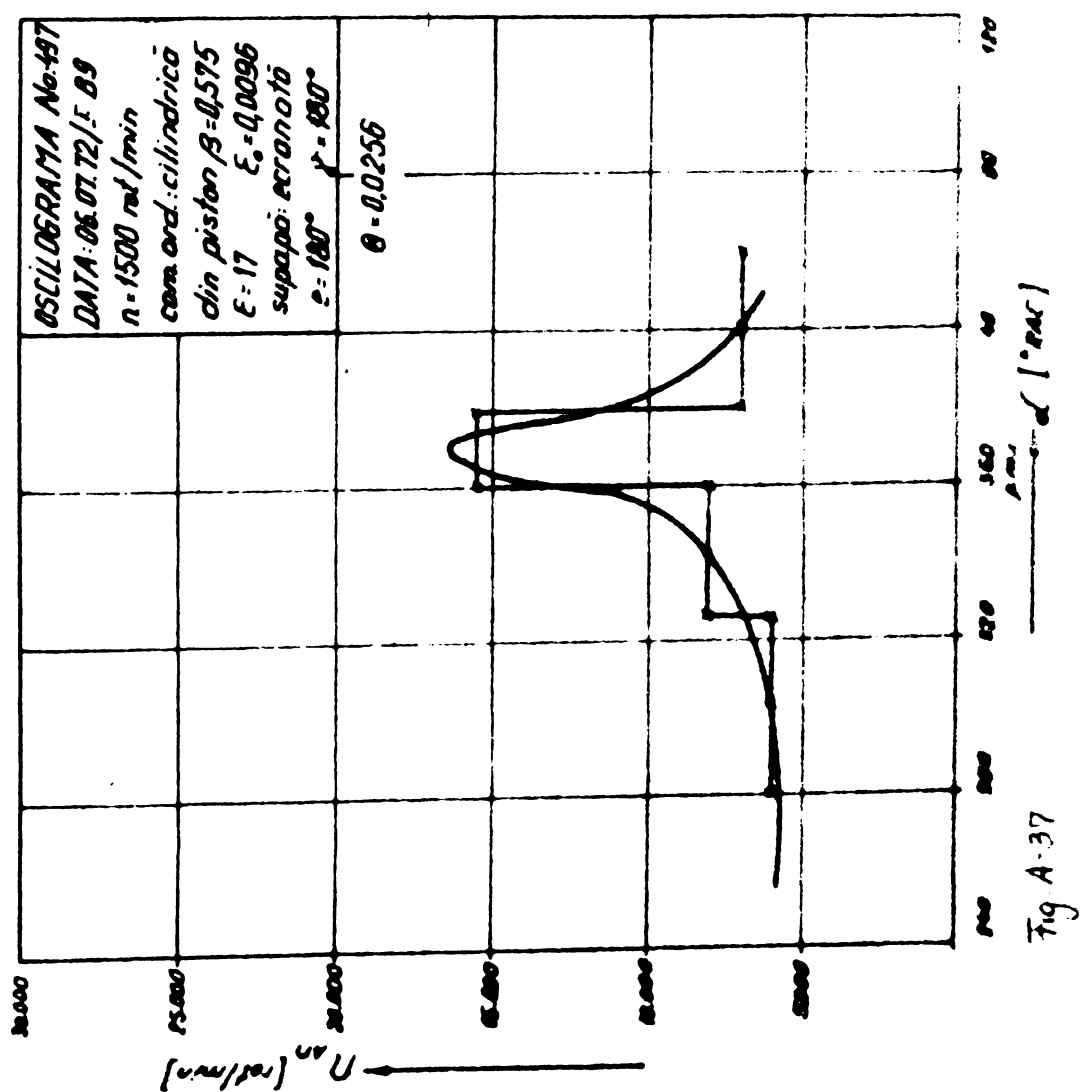
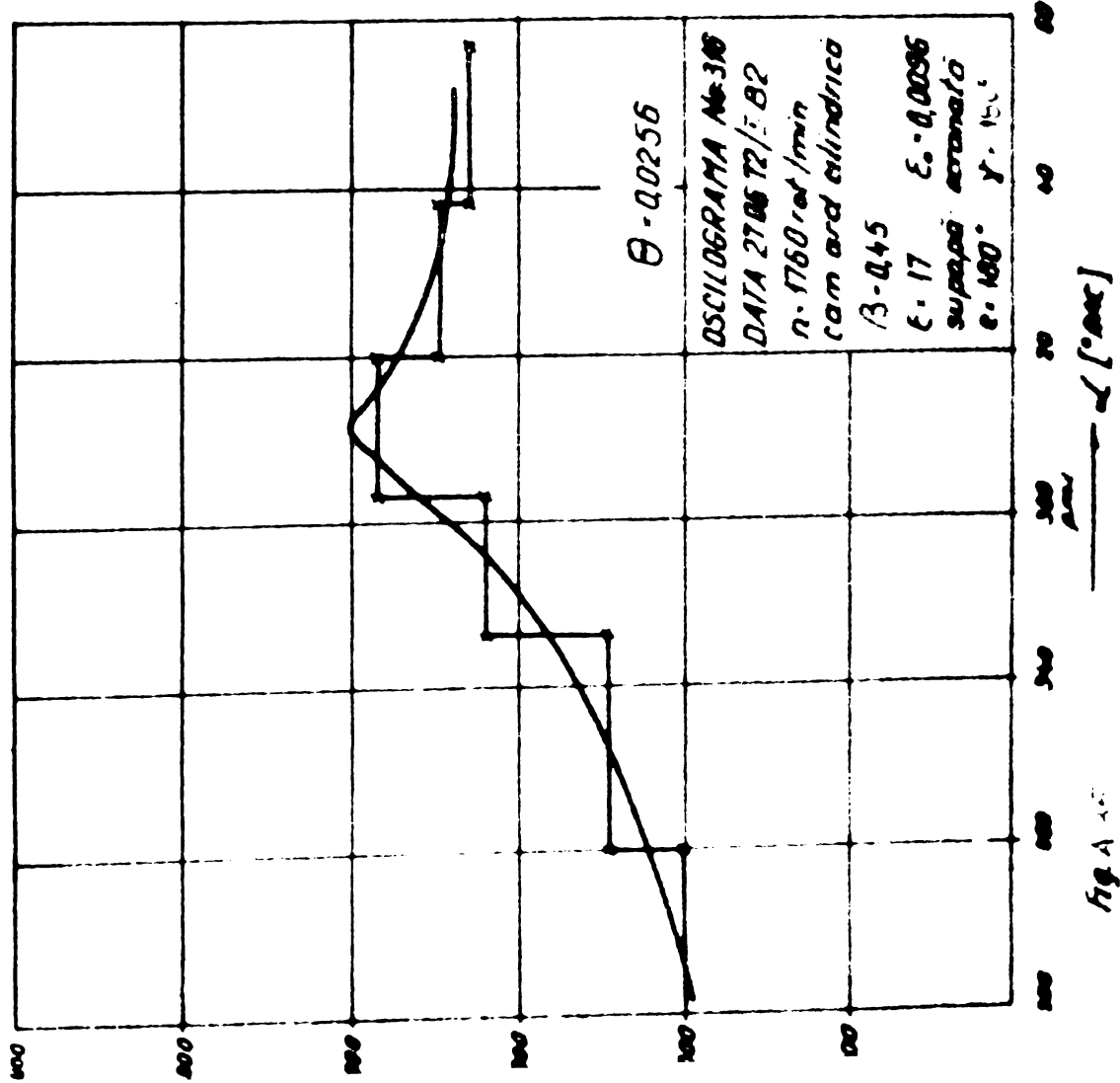
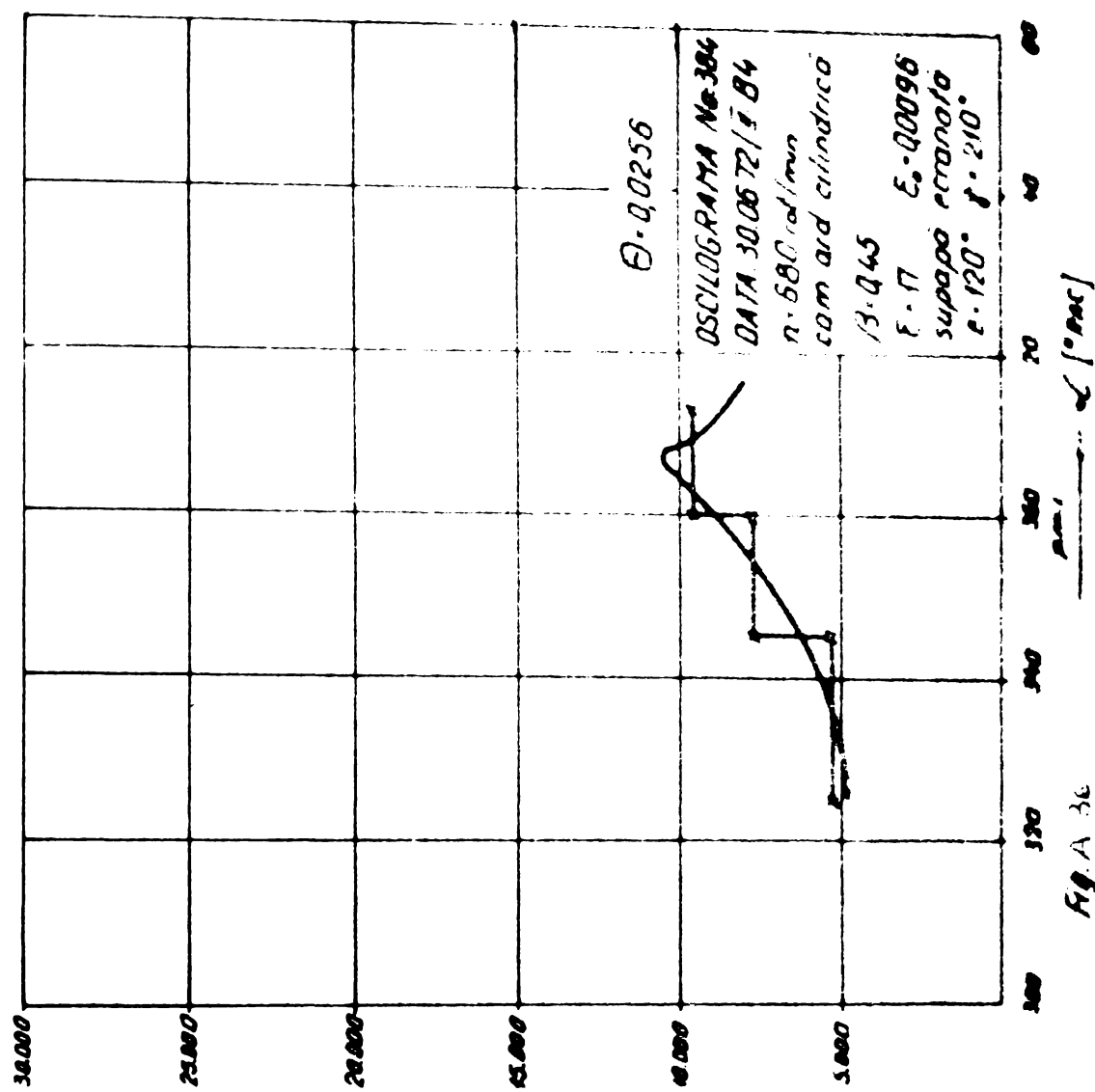
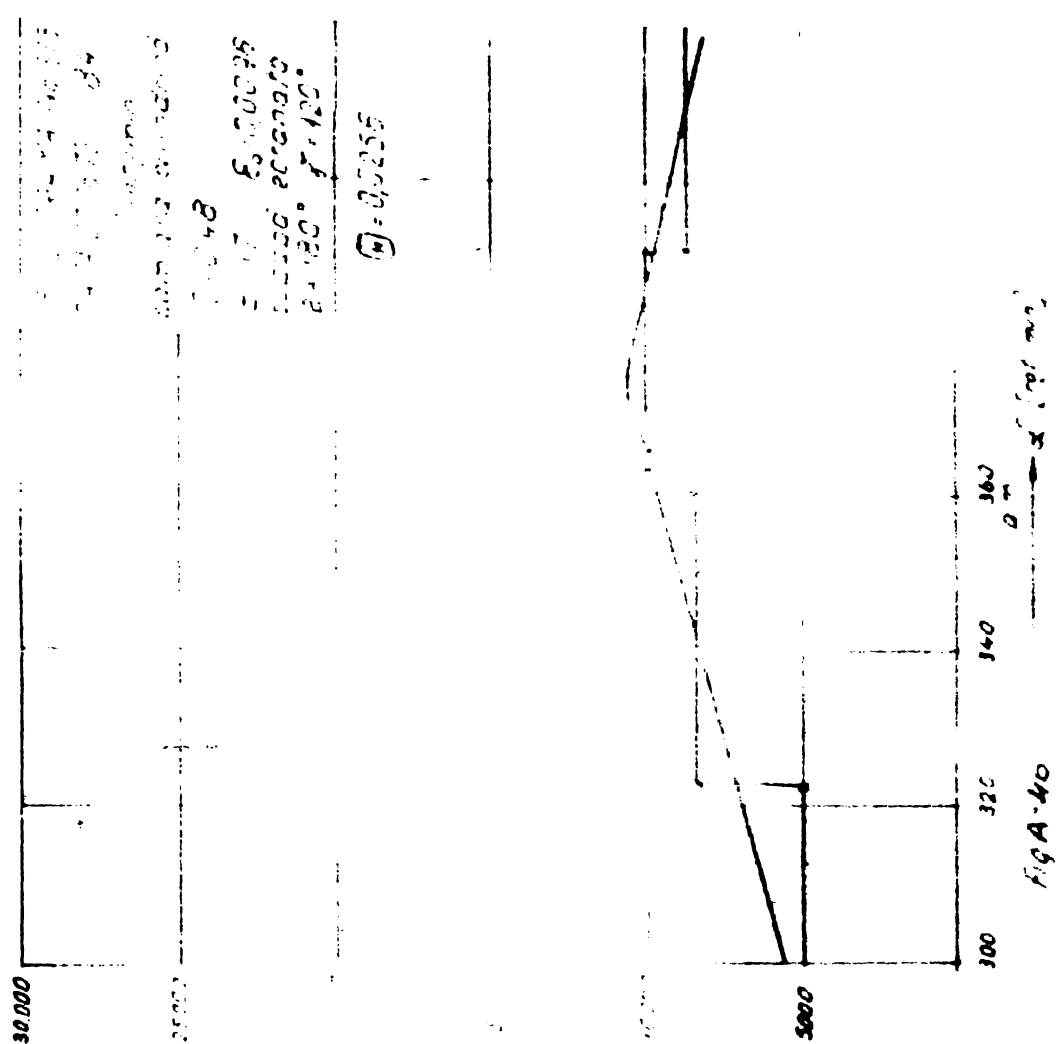
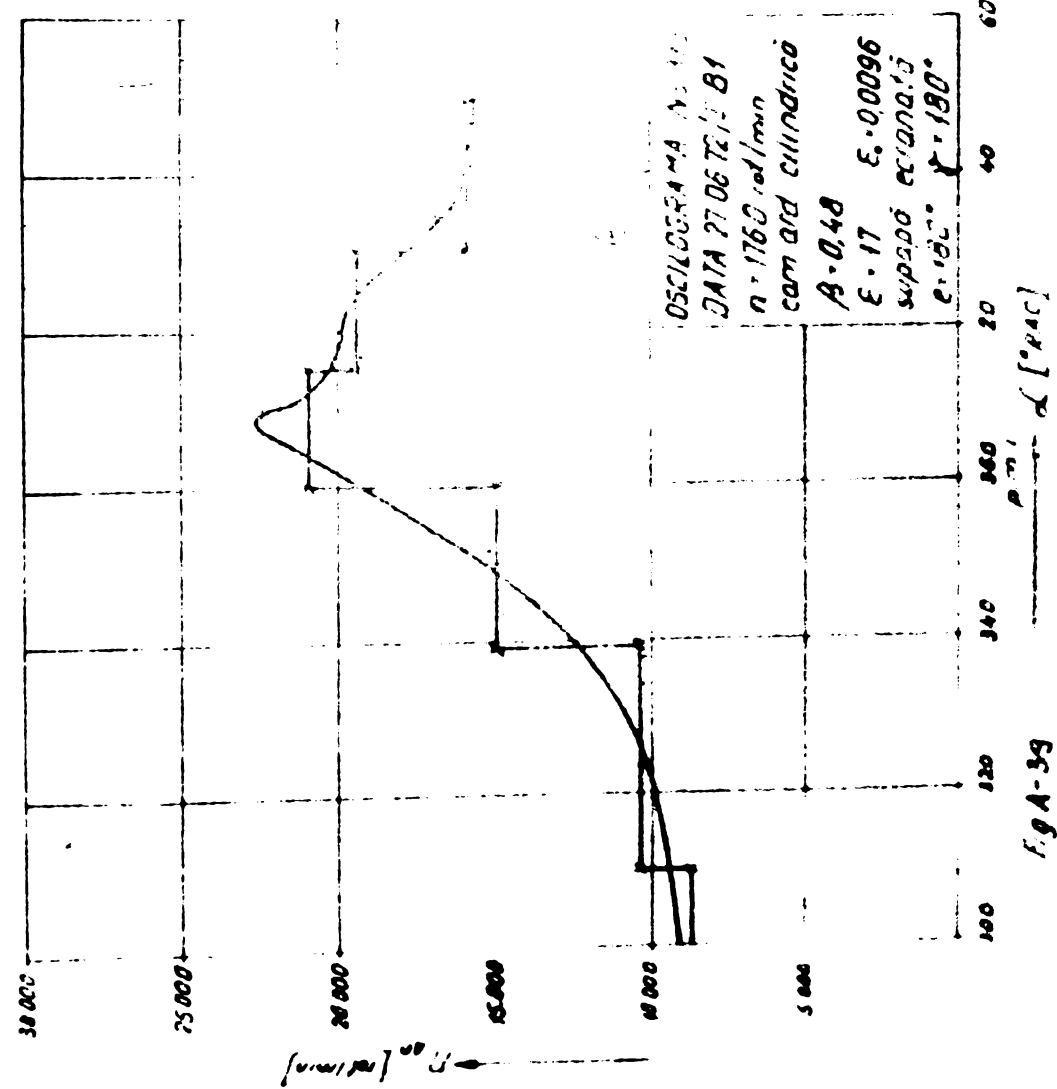


Fig A-37





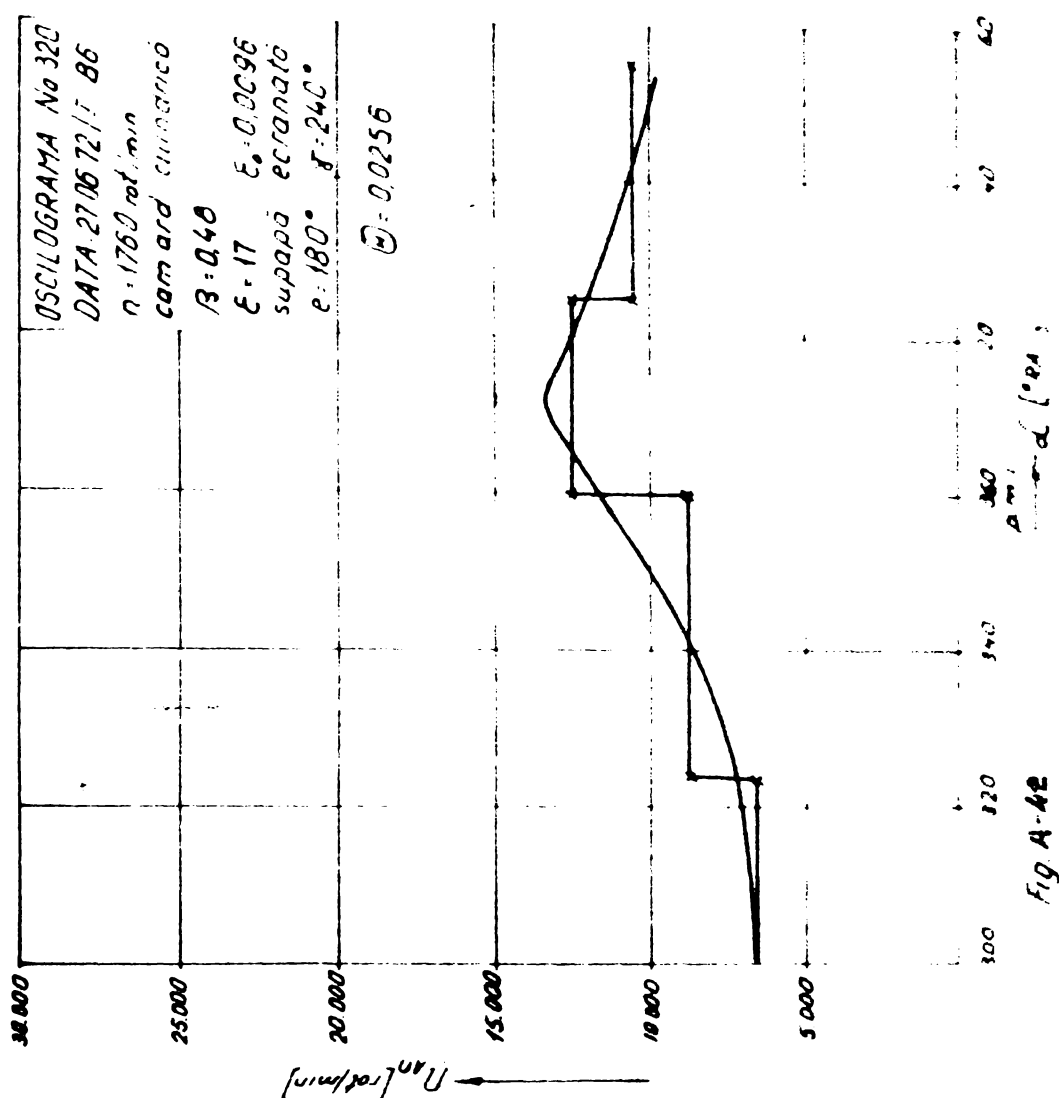


Fig. A-42

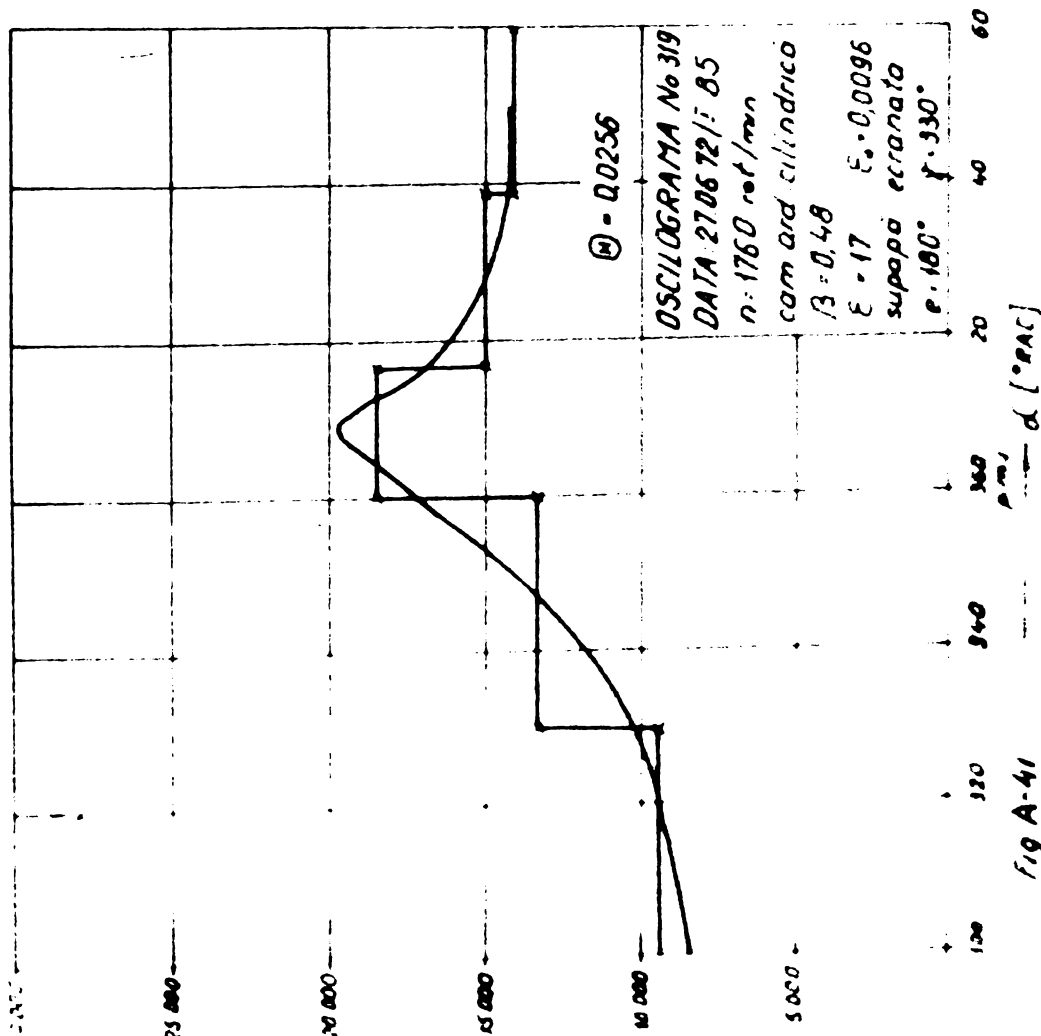
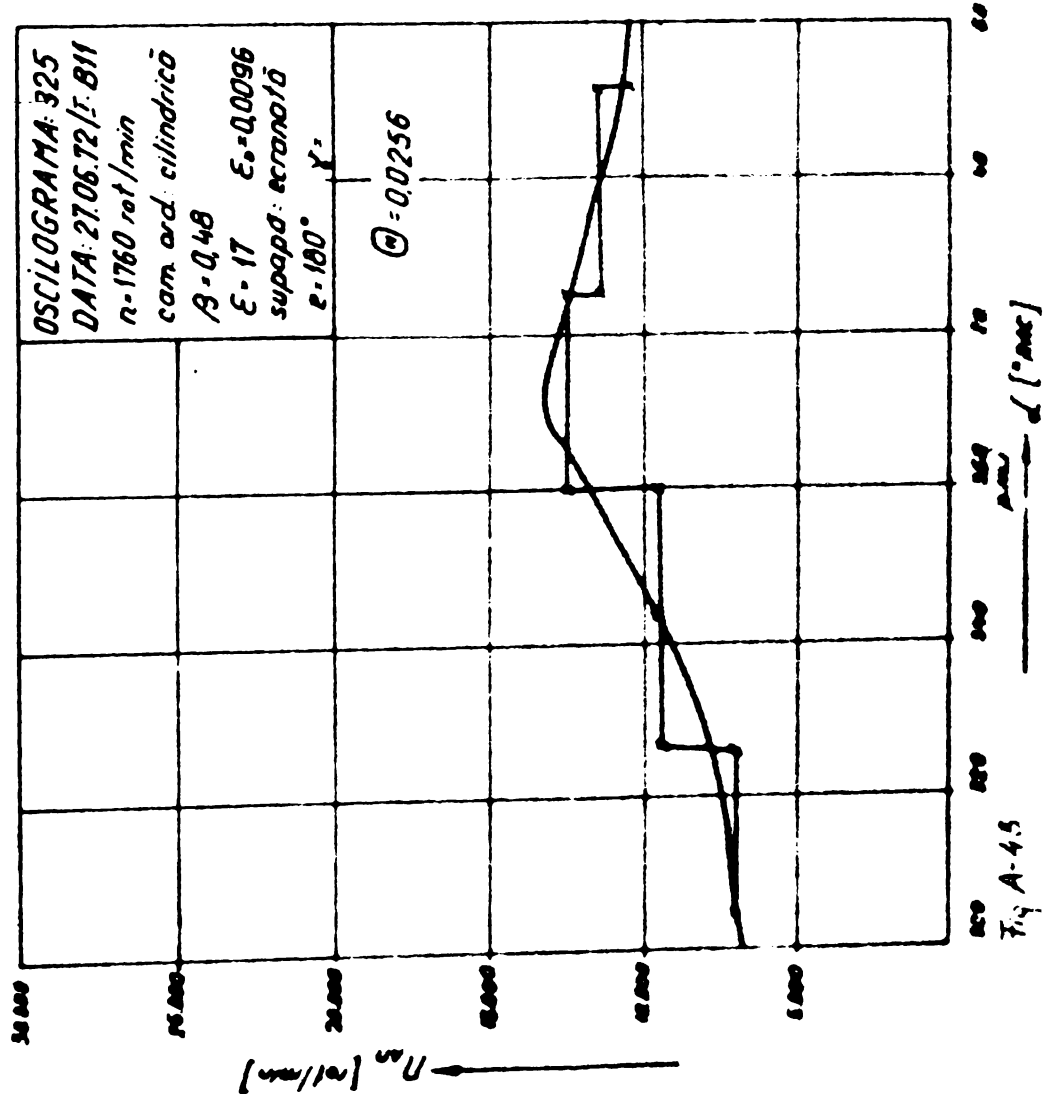
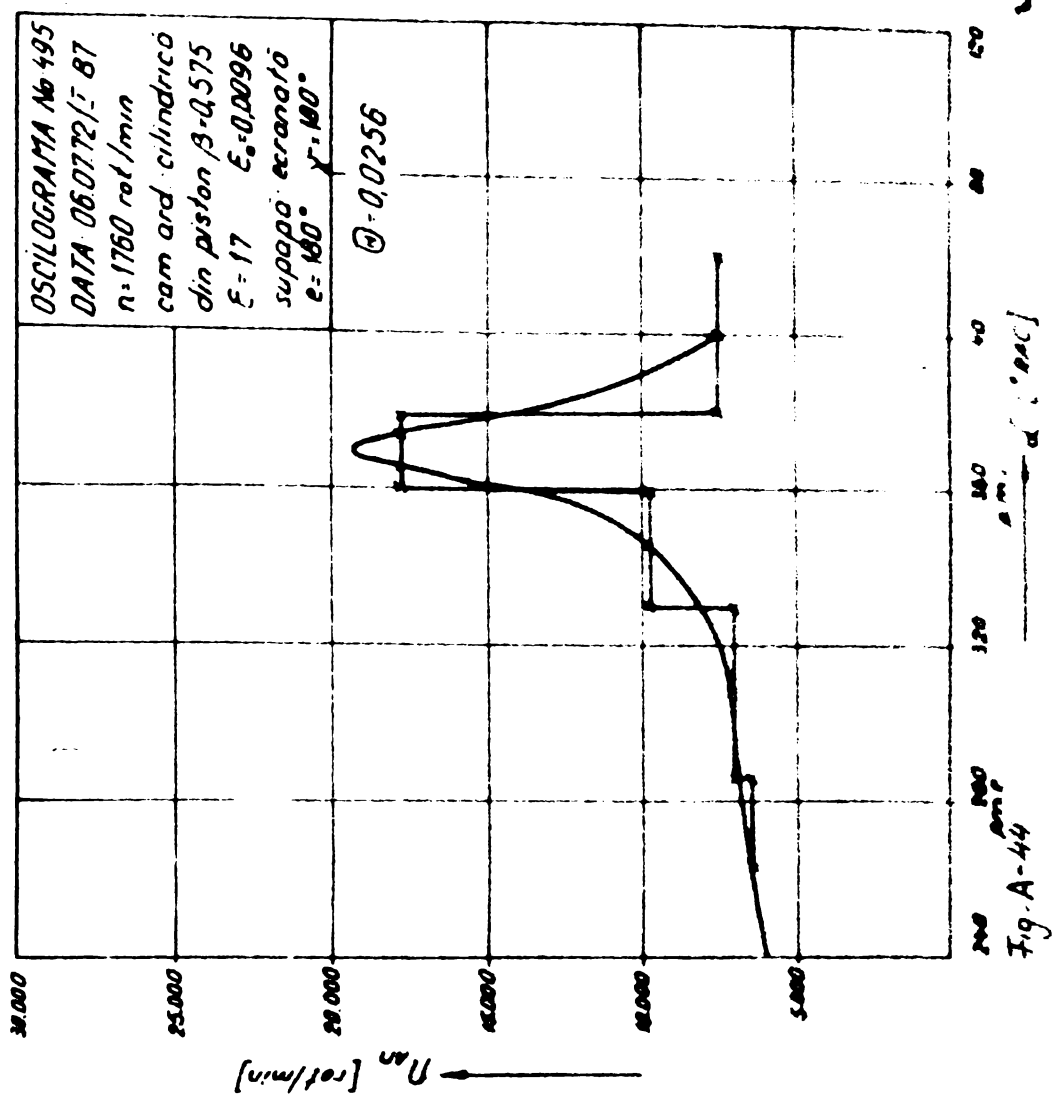
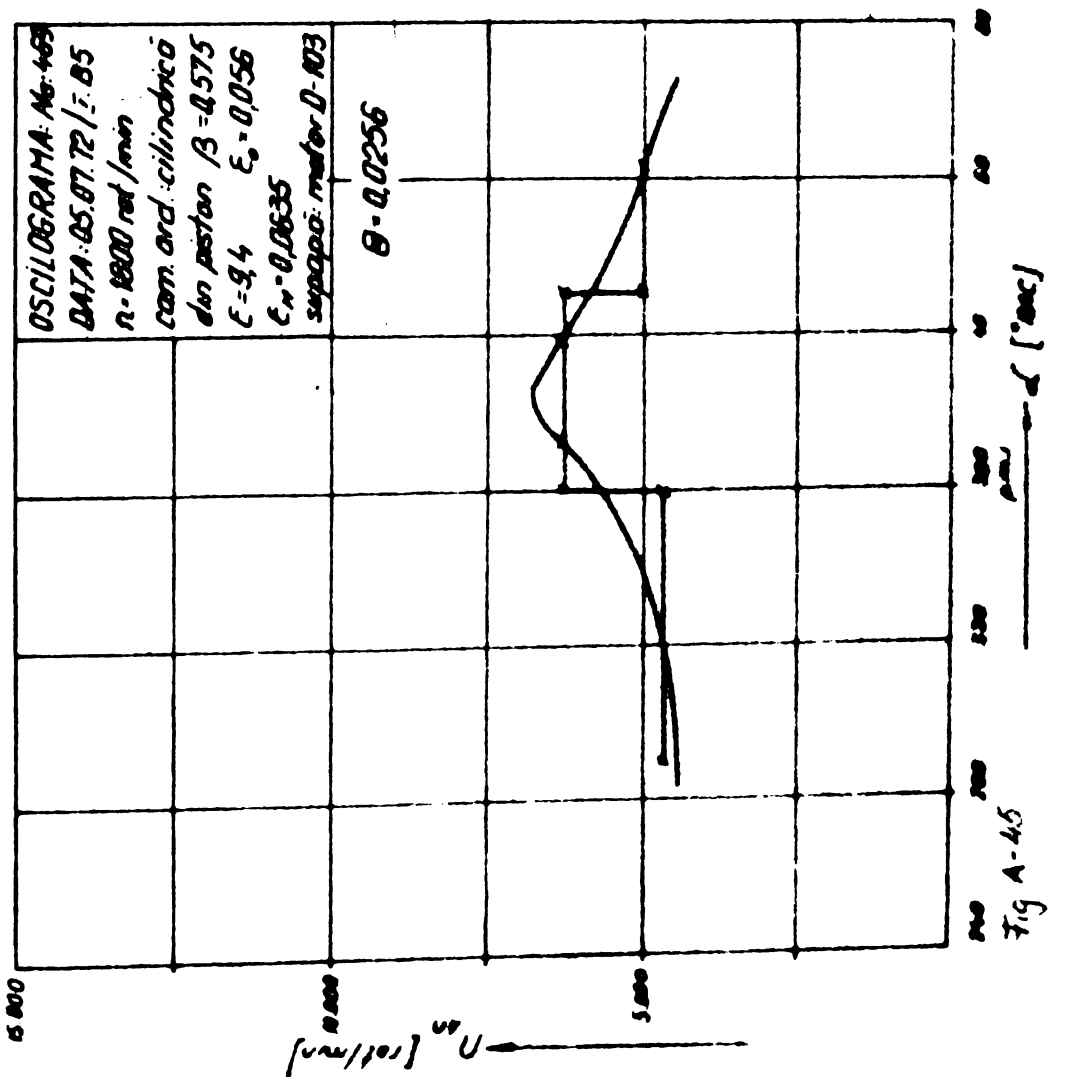
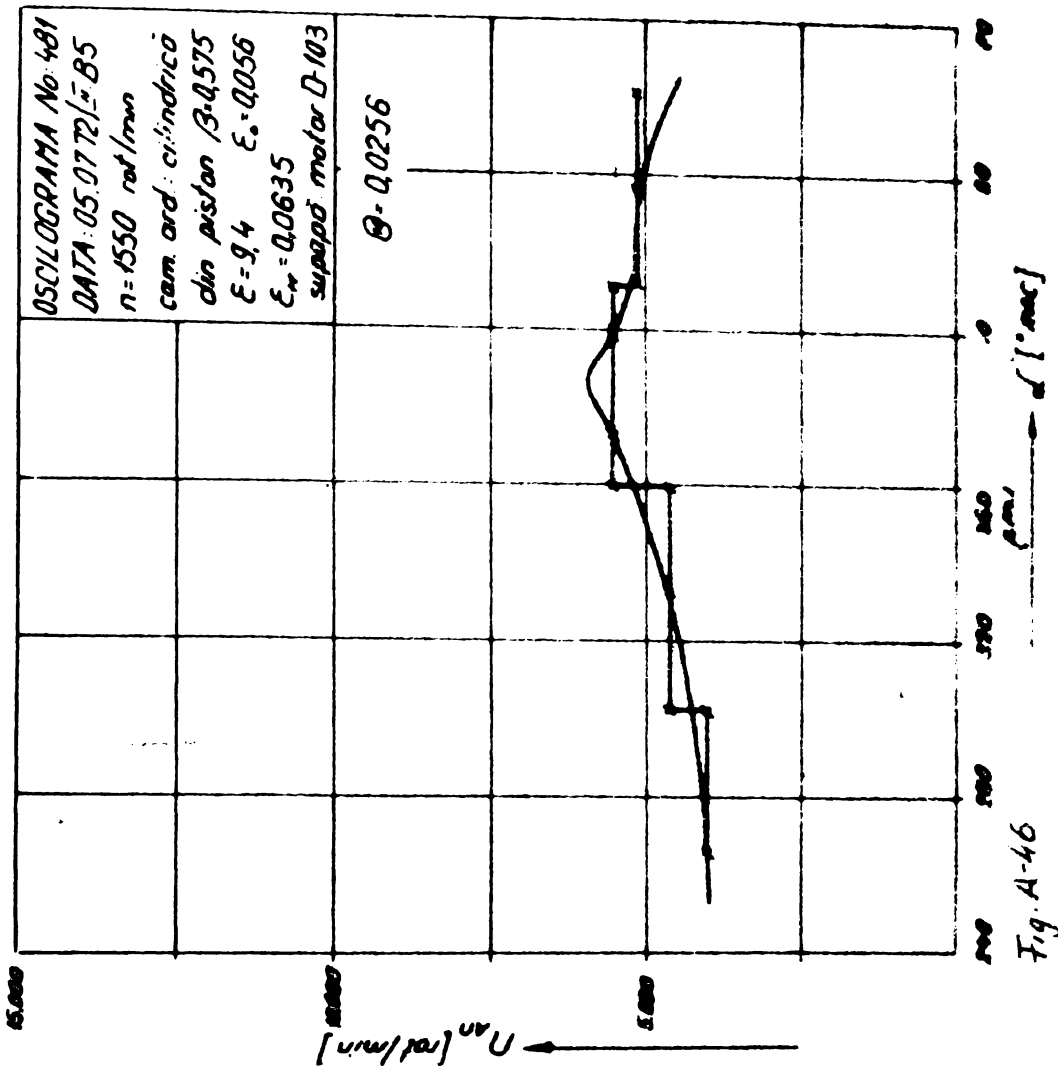


Fig. A-41





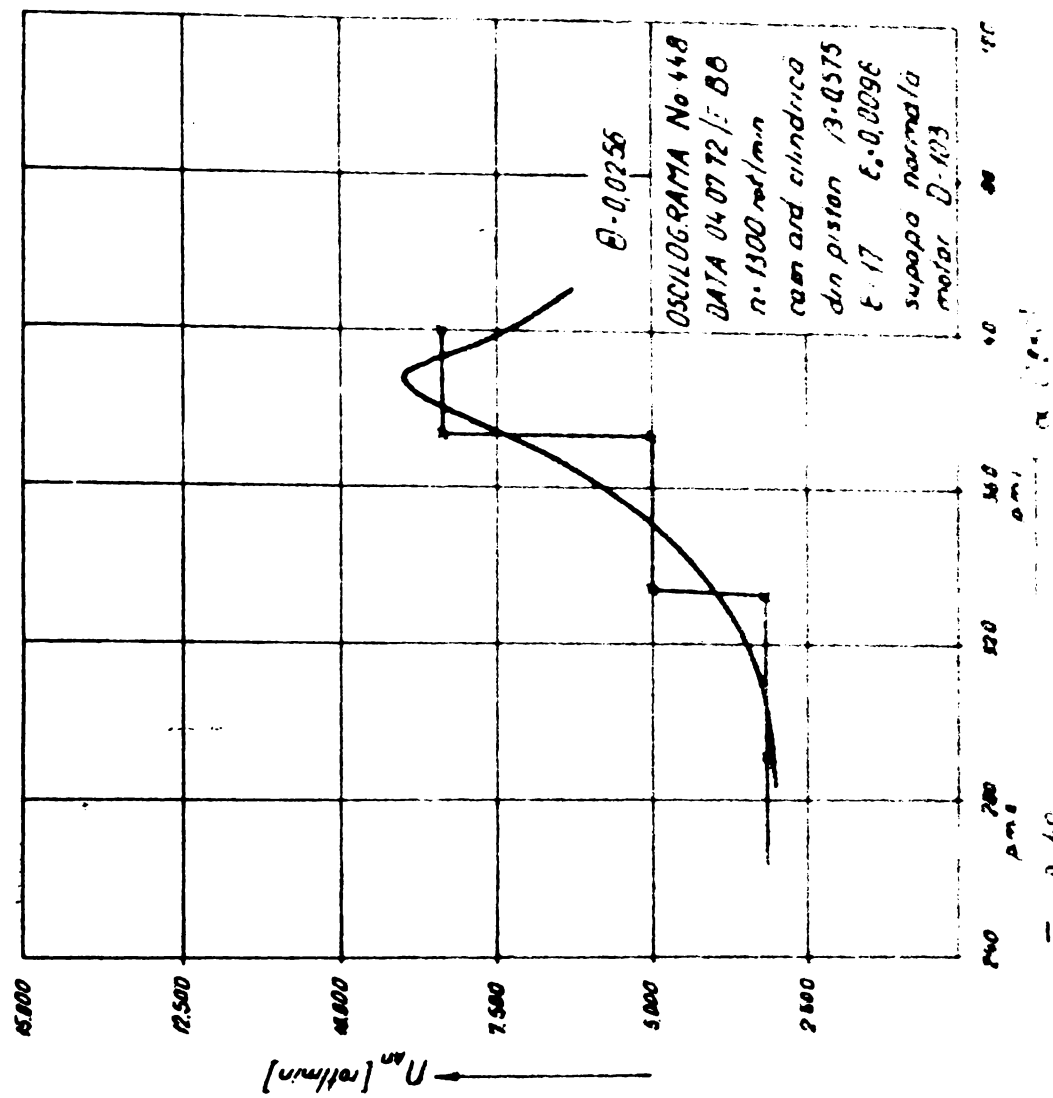


Fig. A-48

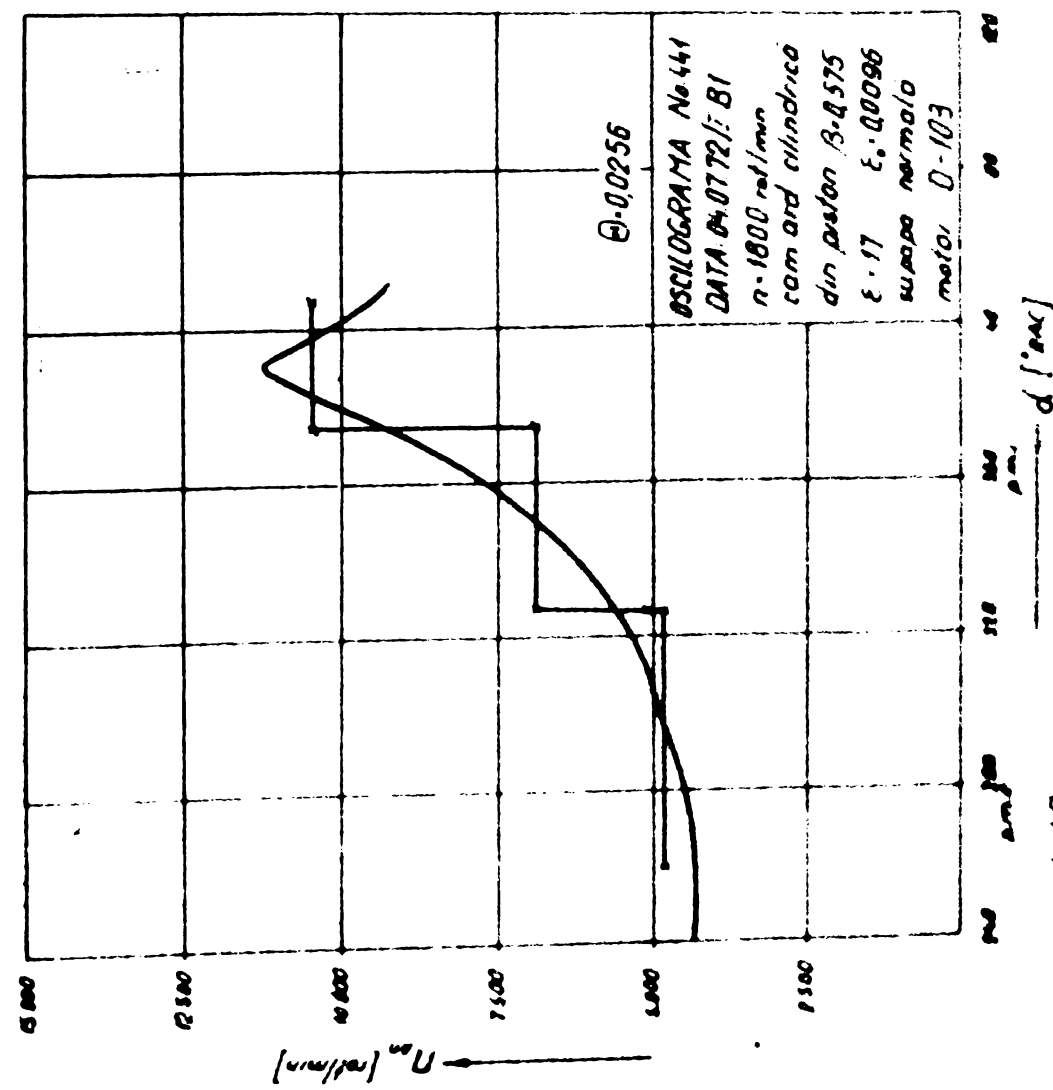


Fig. A-47

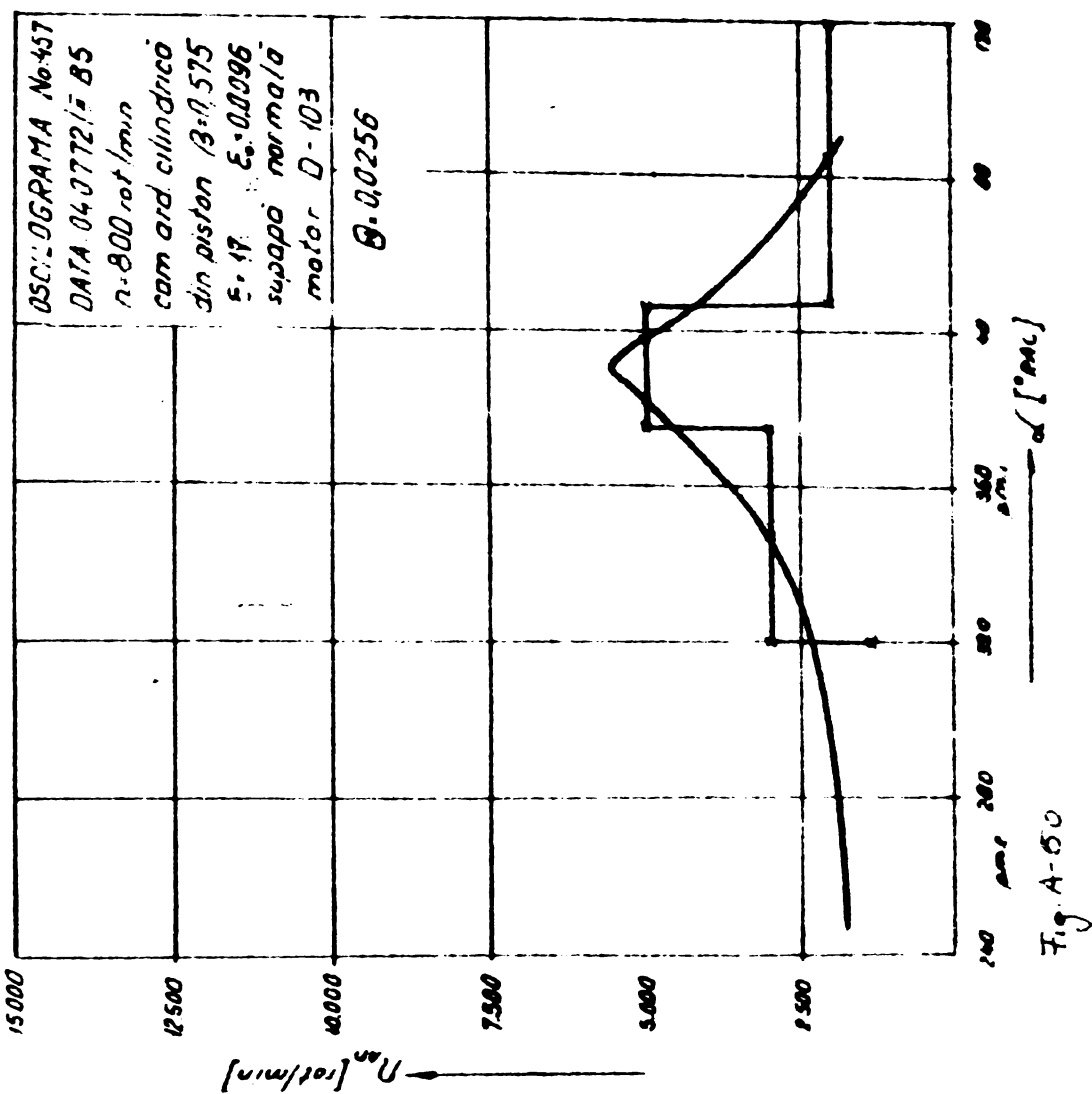


Fig. A-50

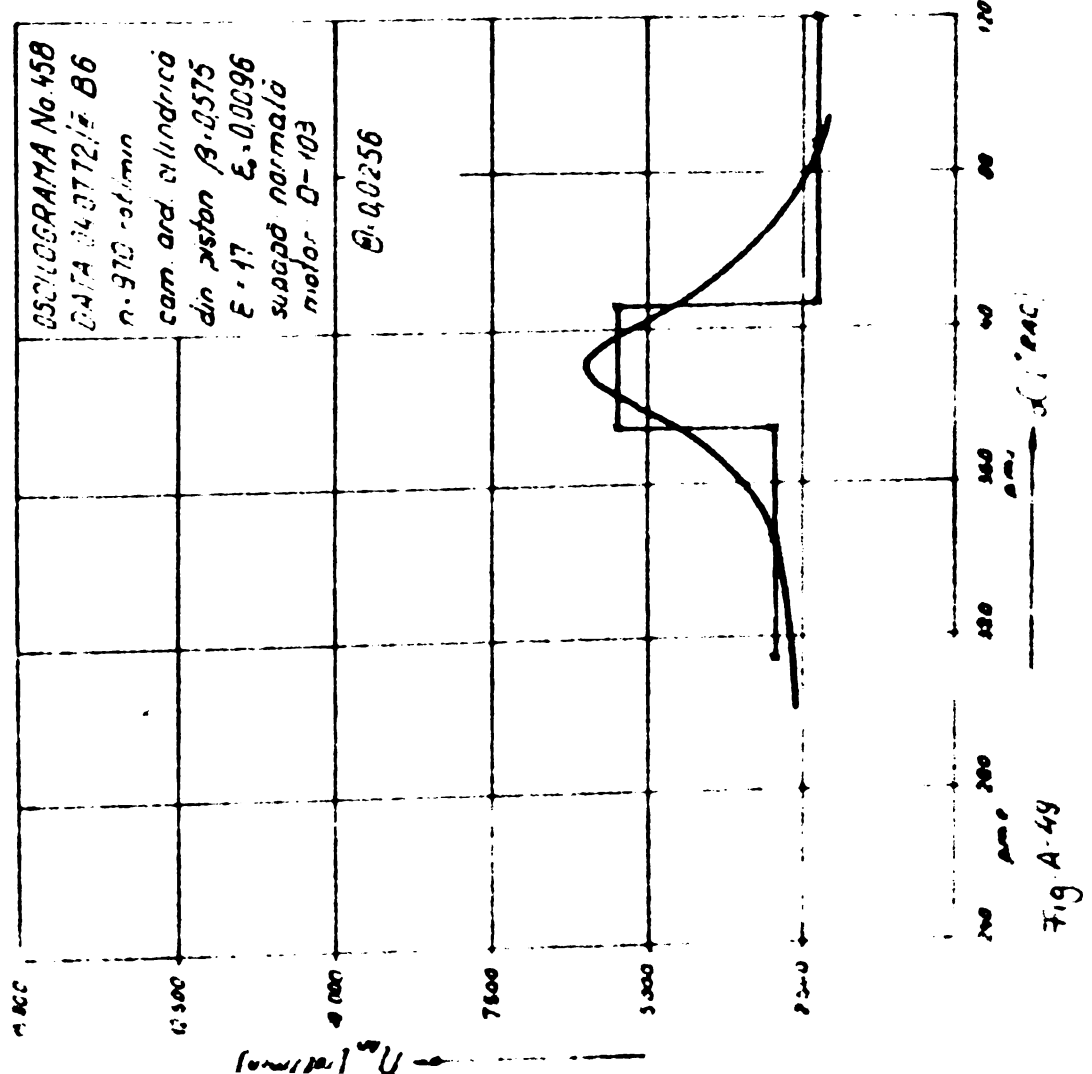


Fig. A-49

Joseph SCAFF, AM:
COMPILE FORTRAN
C CALCUL PRESTANTI, UTILIZZI SI MASCHI ARROTTI ADITS

REAL K, R1, R2, R3, LAN
DIMENSION CNSI(50), ALF(50), DEPZ(50), PZ(50), WA(50), CZZA(50), Z(50)
DATA R, K, R00, P0, TD, '1•40•1•138•1•02•30L./'
READ(105, 91) I_L, (CNSI 61), I=1, 117
91 FORMAT(15/(SP10.0))
READ(105, 92) S, R1, D, VH, GA, VC, RM, LAN, ALIN, ALIA, DEAL, TAE
92 FORMAT(8F10.0)
I0=(2. R TO) 0.5
BET=(D/R D) 2
M1=S JV(3.0. 3.19)
R2=RJ(180. 1.1)
R3=R00 VH R2
ALF(1)=ALF H
Z(1)=0
PZ(1)=1
DO 10 I=2, 1
V2=VC+3.14 D R01 (1.065-(0.05*(ALF(I-1))+LAN SIN(ALF(I-1))/4.))
10 Y_I=V2/VH
DEZ=Z(1)-Z(1-1)
X2=P0 ((GA-K)/(2. K)) PZ(1-1) (-GA(2. K)) (P0-PZ(1-1)) 0.5
X1-X2 (P0-Z(1-1)) {(K-1)/K}
X3-X2 (PZ(1-1)/P0) {1./K}
DEZ Z(1)=K (K-1) TAE CNSI(1) LAN, Z)/Z(1)
WA(1)=K
CZZA(1)=K3 Z(1) CNSI(1)
PZ(1)=PZ(1-1)+1. Z(1) Z(1-1)
10 ALF(1)=ALF(1-1)+1. ALF
WRITE(103, 93)
93 FORMAT(SA, 18., X, 'ALFA', ?DX, 'MASCHI', ?Z, '15X, ' A',
 MDF(103, 94)(1, ALF(1), E(1), 'A(1)', CNSA(1), '1-1', 1E)
94 FORMAT(103, 17, 5A, P3, C, 12L, M4.7, 3X, M4.7, 124.7, 5X, M4.7)
STAR

L100
RUS AM : C, C, M, L1
END